

Universitatea din București

Facultatea de Matematică și
Informatică

Modele de simulare

Autor **Prof. Dr. Ion Văduva**

BUCUREȘTI 2004

Prefață

Lucrarea constituie suportul de curs pentru disciplina **Modele de simulare** predată studenților de la secțiile de *Informatică* și *Matematică-Informatică* din universități, ca disciplină obligatorie.

Materialul cuprinde un volum de noțiuni mai mare decât s-ar cuveni pentru numărul de ore afectate disciplinei respective (un semestru), dar el este indestulător pentru un curs de un an. Lucrarea poate fi utilizată și de către studenții de la unele specializări de *Master* în informatică, precum și ca material documentar pentru lucrări de licență. Ea poate servi și ca suport de curs opțional, mai ales ca material de inițiere, fiind completată la nevoie cu bibliografie suplimentară pentru capitolele de aplicații, sau pentru unele probleme noi ce nu au fost tratate aici.

Structurată pe șapte capitole, lucrarea prezintă mai întâi problemele generale ale construcției modelelor de simulare a sistemelor de orice fel, precum și o introducere în limbajul specializat de simulare GPSS (General Purpose Simulation System), interesant mai ales pentru studenții de la specializările de *informatică*. Se prezintă și o introducere formală în studiul *sistemelor cu evenimente externe discrete*, pe baza cărora se construiesc modelele de simulare cu calculatorul, precum și alte aplicații informatice.

Capitolele 2-4 se ocupă de simularea numerelor aleatoare, variabilelor aleatoare și vectorilor aleatori, construind și analizând algoritmi pentru simularea principalelor repartiții de probabilitate, unidimensionale sau multidimensionale, întâlnite în practică.

Capitolul al cincilea prezintă proceduri de simulare a traiectoriilor lanțurilor Markov sau a unor procese stochastice particulare.

Capitolul al șaselea tratează câteva probleme de calcul numeric rezolvate cu ajutorul metodei Monte Carlo cum sunt: calculul integralelor, rezolvarea sistemelor de ecuații liniare și a ecuațiilor integrale, rezolvarea numerică a problemei Dirichlet.

Intrucât o problemă importantă a aplicării simulării este *validarea* modelului construit, ultimul capitol prezintă câteva modele de simulare pentru sisteme de așteptare sau sisteme de stocuri, acestea prilejuind și o scurtă introducere matematică în teoria firelor de așteptare și în teoria stocurilor. Modelele matematice corespunzătoare se folosesc de regulă la validarea modelelor de simulare.

Toate capitolele conțin și câteva exerciții menite să antreneze cititorul în înțelegerea mai aprofundată a materialului tratat în lucrare. Pentru fiecare exercițiu se dau indicații de rezolvare sau se prezintă chiar soluția.

Când este cazul, prezentarea noțiunilor și rezultatelor este însoțită de figuri sau grafice și este presărată cu exemple menite să ușureze înțelegerea unor tehnici sau metode teoretice. Pentru sintetizarea unor rezultate sunt alcătuite uneori tabele.

Bibliografia cuprinde de regulă cărți sau lucrări ce pot fi găsite de către studenți sau alți cititori în biblioteci.

Considerăm că această lucrare poate fi utilă ca documentație de inițiere și lucrătorilor din informatică ce abordează teme de proiectare asistată de calculator sau de modelare.

Prin conținutul său, cartea de față constituie numai un material de inițiere. Elaborarea modelelor de simulare pentru sistemele reale este un demers dificil care implică colaborarea unor echipe specializate. Totuși, un curs de inițiere ca cel de față poate contribui la acumularea unei experiențe minimale pentru început.

Autorul

București, iunie 2004.

Cuprins

Cap.1. Generalități despre simulare	7
1.1 Introducere	7
(• Model matematic, p.8; • Clasificări ale modelelor matematice, p.10)	
1.2 Construcția unui model de simulare	11
1.2.1 Structura unui model de simulare	12
(• Ceasul simulării, p.12; • Agenda simulării, p.13)	
1.2.2 Concepte de bază în modelarea sistemelor	19
(• Nivele de reprezentare a sistemelor, p.20;	
• Reprezentarea la nivel de comportare, p.20;	
• Reprezentarea la nivel de structură de stare, p.20;	
• Reprezentarea modulară, p.21)	
1.2.3 Modelul sistemului cu evenimente externe discrete	22
1.2.4 Metodologia de realizare a experimentelor de simulare (Metodologia simulării)	23;
(• Utilitatea simulării, p.26)	
1.3. Generalități despre limbajul GPSS	27
(• Entitățile limbajului GPSS, p.27;	
• Structura instrucțiunii GPSS, p.29)	
1.3.1 Exemple de programe GPSS	33
(• E1. Model de simulare pentru un sistem de așteptare cu o stație, p.33; • E2. Model de simulare pentru un sistem de așteptare cu stații paralele, p.33; • E3. Model cu stații paralele și preferințe, p.34; • E4. Un model complex, p.35)	
 Cap 2. Numere aleatoare	39
2.1 Noțiuni introductive	39
(• Repartiția uniformă, p.40)	
2.2 Necesitatea simulării numerelor aleatoare	42
2.3 Metode congruențiale liniare	44
2.4 Alți generatori de numere aleatoare uniforme	47
(• Generatorul aditiv congruențial sau Fibonacci decalat, p.48;	
• Generatorul congruențial inversiv, p.48;	
• Generatorul matricial congruențial, p.49;	
• Generatori bazați pe registre de deplasare, p.49;	

- Amestecarea de generatori, p.49)
- Exerciții 50

Cap.3. Simularea variabilelor neuniforme.....53

- 3.1 Metoda inversă 53
- 3.2 Metoda compunerii sau amestecării 55
- 3.3 Metoda respingerii 59
- 3.4 Alte metode 67
 - 3.4.1 Simularea repartițiilor inrudite cu repartiția normală.. 72
 - (• Familia de variabile de tip Johnson, p.74)
- 3.5 Simularea unor variabile aleatoare particulare 74
 - 3.5.1 Repartiția exponențială 74
 - 3.5.2 Repartiția Gama 76
 - (• O metodă de compunere-respingere pt. cazul $0 < \nu < 1$, p.76;
 - Metode pentru simularea variabilei $\text{Gamma}(0, 1, \nu)$, $\nu > 1$, p.79)
 - 3.5.3 Repartiția Beta 81
 - 3.5.4 Repartiția normală 84
 - (• O metodă de compunere-respingere, p.84)
 - (• Metoda polară, p.86)
- 3.6 Simularea unor variabile discrete 88
 - 3.6.1 Simularea unor repartiții bazate pe probe Bernoulli ... 89
 - (• Repartiția binomială, p.89; Repartiția Pascal, p.91;
 - Repartiția geometrică, p.91)
 - 3.6.2 Repartiția hipergeometrică 92
 - 3.6.3 Repartiția Poisson 93
- 3.7 Validarea generatorilor 95
 - (• Construcția histogramei, p.95; • Testul χ^2 , p.99;
 - Un test simplu, p.99)
- Exerciții 99

Cap.4. Simularea vectorilor aleatori 103

- 4.1 Generalități 103
- 4.2 Simularea vectorilor uniformi 107
- 4.3 Simularea vectorilor normali 109
 - (• O metodă specială, p. 112)
- 4.4 Simularea repartiției Cauchy multidimensionale 113
- 4.5 Simularea repartiției multinomiale 114

4.6 Simularea repartiției Dirichlet	115
Exerciții	116
Cap. 5. Simularea proceselor stochastice	121
5.1 Generalități	121
5.2 Lanțuri și procese Markov	122
5.3 Simularea unui lanț Markov	124
5.4 Simularea unor procese gaussiene particulare	125
5.4.1 Procesul gaussian cu funcție de autocorelație exponențială	126
5.4.2 Procesul gaussian cu funcție de autocorelație liniarăp.	126
(• Simularea procesului de zgomot alb pur, p.128)	
5.5 Simularea procesului Poisson,.....	129
Cap. 6. Metoda Monte Carlo	131
6.1 Generalități	131
6.1.1 Calculul integralelor	133
6.2 Metoda Monte Carlo brută	134
6.3 Metode de reducere a dispersiei.....	136
6.3.1 Metoda Monte Carlo după importanță.....	136
(•• Observații, p.137)	
6.3.2 Metoda variabilei de control	139
6.3.3 Metoda variabilelor corelate	140
6.3.4 Metoda variabilelor antitetice.....	140
6.3.5 Metoda selecției stratificate.....	141
6.3.6 Reducerea dimensiunii de integrare	142
6.4 Rezolvarea unor ecuații operatoriale	143
6.4.1 Rezolvarea sistemelor de ecuații liniare	143
6.4.2 Rezolvarea ecuațiilor integrale	145
6.5 Rezolvarea ecuațiilor cu derivate parțiale	148
Exerciții	152
(G6.4 Problema lui Buffon, p.154)	
Cap. 7. Câteva modele de simulare	157
7.1 Generalități despre modelele de așteptare.....	157
7.1.1 Procese de naștere și deces	159
(• Teorema de bază, p.159)	
7.1.2 Calculul unor caracteristici ale modelului de așteptare	162
7.2 Simularea unui sistem cu o stație.....	162

7.2.1 Modelul cu ceas variabil	162
7.2.2 Modelul cu ceas constant	165
7.2.3 Validarea modelului cu o stație	167
7.3 Simularea unui sistem cu N stații paralele	170
(• Validarea modelului cu N stații paralele, p. 171)	
7.4 Modele de simulare pentru stocuri	174
7.4.1 Introducere in teoria matematică a stocurilor	174
7.4.2 Modele deterministe pentru stocarea unui produs	177
(• Modelul clasic al lotului economic, p.177;	
• Modelul clasic al lipsei de stoc, p.179)	
7.4.3 Modele de simulare particulare	181
(• Primul model, p.181;	
• Al doilea model, p.184)	
Exerciții	186
Bibliografie	189

Cap. 1

Generalități despre simulare

1.1 Introducere

Cuvantul *simulare* este de origine latina si inseamna *capacitatea de a reproduce ceva*. In informatica, termenul de simulare a fost introdus de John von Neumann la inceputul anilor '40, odata cu aparitia primelor calculatoare electronice. J. von Neumann impreuna cu grupul de savanti de la Scoala *Los Alamos* (Ulam, Metropolis, etc) au dezvoltat primele aplicatii ale calculatoarelor. Tot ei au introdus cuvintele *Cercetari operaționale* (pentru a desemna aplicațiile legate de dirijarea operațiilor militare pe arii geografice mari ale globului pamntesc!) precum și *metoda Monte-Carlo* (pentru a desemna aplicații ale calculatoarelor bazate pe utilizarea numerelor aleatoare). In accepțiunea actuala a informaticii, simularea cuprinde o serie de aplicații care realizează *imitarea* comportamentului unor părți ale lumii reale (simularea stochastica), luand in considerare si comportamentul aleator al acesteia. Din domeniul simulării face parte și metoda Monte Carlo.

Lucrarea de față trateaza simularea sub acest aspect general, pornind de la următarea definiție mai puțin formalizată [10].

Definiția 1.1 *Simularea este o tehnică de realizare a experimentelor cu calculatorul, care implică utilizarea unor modele matematice și logice care descriu comportarea unui sistem real (sau a unor componente ale sale) de-a lungul unor perioade mari de timp.*

Deci simularea se realizeaza pe baza unui model special, numit *model*

de simulare, cu ajutorul căruia se realizează experimentele prin intermediul calculatorului. Modelul de simulare se construiește pe scheletul unui model matematic și se finalizează într-un algoritm. De aceea în cele ce urmează vom prezenta schema generală a unui model de simulare, pornind de la descrierea principalelor elemente ale unui model matematic.

• **Model matematic.** Prin definiție, un model [10] este un *analog* ce reprezintă o parte a lumii înconjurătoare într-un mod ușor de perceput de către noi. Modelul ne reprezintă uneori realitatea prin scheme, figuri geometrice sau alte obiecte ce ne sunt familiare și pe care le înțelegem ușor (i.e. la fel de bine cum le ”vedem” sau le ”pipăim”). Modelul matematic ne reprezintă realitatea folosind elemente sau abstracțiuni matematice.

Elementele constitutive ale unui model matematic sunt următoarele [10]:

a) *Variabile* (V) și *Parametri* (P) care pot fi de **intrare** (VI, PI), dacă pot fi percepute (masurate sau înțelese *ușor*), sau de **ieșire** (VE, PE), dacă dimpotrivă, măsurarea sau perceperea lor este dificilă. Variabilele și parametri pot lua valori numerice sau logice. Deosebirea dintre variabile și parametri constă în aceea că parametrii nu își schimbă valorile pe perioade mari de timp, în timp ce variabilele își schimbă valorile chiar pe intervale mici de timp. *Scopul* modelului este de a exprima variabilele și parametri de ieșire în funcție de variabilele și parametri de intrare, cu eventuala satisfacere a unor condiții de performanță de către sistem (de ex. condiții de optim). Unele VI pot fi *aleatoare*, caz în care și unele variabile sau parametri de ieșire vor fi de asemenea aleatoare.

b) *Relațiile funcționale* constituie o altă categorie de elemente ale unui model matematic. Ele sunt de forma

$$F_i(VI, PI, VE, PE) = 0$$

(adică implicate) și pot fi la randul lor de două tipuri:

- ecuații, care sunt satisfăcute numai de anumite valori ale variabilelor sau parametrilor, și ;
- identități, care sunt satisfăcute de orice valori ale variabilelor și parametrilor; ele exprima *condiții de echilibru* sau *legi de conservare*.

Ecuatiile si identitațiile pot fi relații algebrice sau transcendente, diferențiale sau integrale, deterministe sau stochastice, etc.

c) *Caracteristicile operative* constituie o altă categorie de elemente ce compun un model matematic și ele pot fi:

- ipoteze de lucru (referitoare la relațiile funcționale);
- ipoteze statistice (referitoare la VI-aleatoare).

d) *Tehnica de rezolvare* este un alt element constitutiv al unui model matematic. Ea este o tehnică matematică ce realizează separarea elementelor de ieșire în funcție de elementele de intrare, adică:

$$(V, P)_E = f_j(V_I, P_I).$$

Cu alte cuvinte, tehnica de rezolvare a modelului exprimă sub forma *explicită* variabilele și parametri de ieșire în funcție de variabilele și parametri de intrare.

Tehnicile matematice de rezolvare a modelelor sunt însă *sărace* atât ca varietate cât și ca performanță. De exemplu, ecuațiile modelului se pot rezolva numai dacă sunt liniare sau uneori pătratice, iar dacă sunt de grad superior ele se pot rezolva numai dacă au forme particulare. La fel, ecuațiile diferențiale sau cu derivate parțiale se pot rezolva cu metode matematice deductive numai în anumite cazuri particulare. De aceea în construcția modelelor matematice se fac de multe ori *ipoteze simplificatoare* care permit aplicarea tehnicilor de care dispune matematica. (Acesta este scopul utilizării de către model a caracteristicilor operative!). Din aceste motive, modelarea matematică este aproximativă și ea nu permite rezolvarea *realistă* a problemelor practice. *Utilizarea calculatorului permite îmbunătățirea performanțelor modelelor matematice prin utilizarea metodelor numerice.* Dar și în aceste condiții modelele matematice nu pot descrie corect realitatea în toată complexitatea ei deoarece nu toate relațiile dintre obiectele lumii reale se pot exprima prin formule matematice. Într-o atare situație modelul matematic trebuie *completat* cu descrieri care să *imite* anumite comportări ale lumii reale. Acestea se realizează prin descrieri algoritmice de tipul **if-then-else-** sau **if-then-** combinate cu alte structuri algoritmice (cicluri, secvențe, etc.). În acest fel, modelul matematic se completează și extinde sub formă de algoritm și devine *model de simulare*. **Simularea mărește deci mult posibilitatea de tratare realistă**

a problemelor aplicative. Construcția unui model de simulare, care în fapt este un algoritm complex, dezvoltat pe *scheletul* unui model matematic, este o sarcină nu prea ușoară; o vom trata mai jos.

• **Clasificări ale modelelor matematice.** Mai întâi să vedem însă cum pot fi clasificate modelele matematice?

(i). Clasificarea modelelor matematice după natura variabilelor utilizate de model: **continue/discrete**; statice/**dinamice** (dacă timpul nu intervine sau dacă apare explicit ca variabilă a modelului); deterministe/**stochastice** (după cum nu conține sau conține măcar o variabilă de intrare ca variabilă aleatoare).

(ii). Clasificare topologică, după structura determinată de părțile în care se descopune modelul (când este cazul): cu *o componentă*/ **cu mai multe componente în serie , în paralel, în rețea**. (Tipurile de modele scrise cu caractere îngroșate sunt importante căci sunt *realiste* și se construiesc cu dificultate. Modelele de simulare sunt de aceste tipuri).

Un model, fie el matematic sau de simulare, constituie de fapt o *clasă de modele*.

Pentru a ilustra caracteristicile componente ale unui model matematic vom da un exemplu.

Exemplul 1.1 [10,11]. **Sistemul de așteptare** este o parte a lumii reale în care se produc *aglomerări*. Un astfel de sistem constă din una sau mai multe stații de serviciu care servesc (după anumite reguli) clienți care *sosesc* în sistem. Dacă sosesc mulți clienți și stațiile de servire nu pot să-i servească repede, atunci se formează *cozi de așteptare* în sistem. Proprietarul sau administratorul sistemului trebuie să dirijeze sistemul astfel încât nici clienții să nu *aștepte* mult până primesc serviciul, dar nici stațiile de serviciu să nu *lenevească* prea mult, căci lenevirea lor aduce pierderi administratorului sistemului.

Modelarea matematică a sistemelor de așteptare are deci ca *scop* realizarea unui echilibru între pierderile cauzate clienților prin așteptări și pierderile cauzate administratorului prin leneviri. Modelele matematice de acest tip sunt cunoscute sub numele de *teoria matematică a cozilor sau teoria așteptării*. Ele sunt utilizate în diverse situații practice: în comerț, în managementul sistemelor de comunicații și de transport,

dar și în dirijarea și controlul funcționării în timp real a rețelelor de calculatoare.

Un model de așteptare conține de regula următoarele elemente:

Variabilele de *intrare* (cunoscute) VI : AT = timp de intersosire (al clienților); ST = timp de serviciu al unui client (caracteristică a stațiilor); aceste variabile sunt de regulă aleatoare, fapt ce mărește dificultatea modelării. Sosirile se pot *măsura* și prin NA = număr de clienți sosiți pe unitatea de timp iar serviciile se pot măsura și prin NS = număr de clienți serviți pe unitatea de timp. Acestea sunt deci variabile aleatoare *discrete*.

Variabilele de *ieșire* (necunoscute) VE sunt: WT = timp de așteptare (sau WL = lungimea cozii, variabilă discretă);

TID = timp de lenevire (sau NID = numărul de stații de servire care *lenevesc*, variabilă discretă);

Scopul modelului: cunoscând repartițiile de probabilitate ale lui AT și ST să se determine informații despre WT (WL) sau TID (NID) și să se stabilească cum trebuie să se realizeze ST astfel încât o anume funcție de eficiență (sau cost) să fie optimă sau convenabilă pentru administratorul sistemului.

Construcția modelelor de simulare se bazează pe studierea (în funcție de ipotezele făcute asupra variabilelor de intrare AT, ST) a procesului stohastic discret $N(t)$ = numărul de clienți în sistemul de așteptare la momentul de timp t . Acest proces este *proces de naștere și deces*. Nu vom studia aceste procese deocamdată. (Acest lucru va fi făcut în ultimul capitol!). Vom prezenta mai întâi *construcția unui model de simulare*.

1.2 Construcția unui model de simulare

Modelul de simulare (MS) presupune utilizarea calculatorului și el se construiește pe baza/scheletul unui model matematic; mai precis el completează modelul matematic descriind unele *relații* prin algoritmi, deci în final MS este un algoritm. Acest algoritm trebuie să descrie *corect* evoluția sistemului și să permită efectuarea de experiențe (prin rulări pe calculator), care să înlocuiască experiențele ce ar trebui realizate asupra sistemului real.

1.2.1 Structura unui model de simulare

Construcția unui MS utilizează două concepte de bază: **ceasul simulării** și **agenda simulării**

- **Ceasul simulării.** Ceasul asigură eşalonarea corectă în timp a evenimentelor create de model și uneori ajută la implementarea condiției de terminare a simulării. El este de două feluri:

a) **ceas cu creștere constantă;**

b) **ceas cu creștere variabilă;**

Notă: Evenimentele corespund unor *modificări în sistem* adică modificări ale valorilor unor variabile care se calculează sau se generează prin instrucțiuni ale modelului (chiar și dacă sunt *aleatoare!*).

În Figura 1.1 sunt prezentate cele două modalități de creștere a ceasului. Ceasul pornește cu valoarea zero la începutul simulării. Dacă modelul se bazează pe ceasul cu creștere variabilă, atunci ceasul este crescut cu valoarea ce corespunde apariției *primului eveniment următor*; apoi programul *prelucrează* evenimentul, după care ceasul crește din nou reluându-se *ciclul simulării*, până când ceasul atinge o valoare data inițial, T_{max} care corespunde perioadei pe care se realizează simularea.

Ceasul cu creștere constantă presupune că de fiecare dată creșterea se realizează cu o *cuantă* de timp c constantă; apoi se prelucrează toate evenimentele apărute pe intervalul de timp de lungime c , după care se reia ciclul simulării. Simularea se termină de asemenea când ceasul atinge valoarea T_{max} .

Terminarea simulării se poate realiza și impunând condiția ca modelul să prelucreze un anumit număr dat de evenimente de un tip precizat. (De exemplu, în cazul unui model de simulare a unui sistem de așteptare, se poate impune condiția ca simularea să se termine când s-a simulat servirea unui număr dat de clienți).

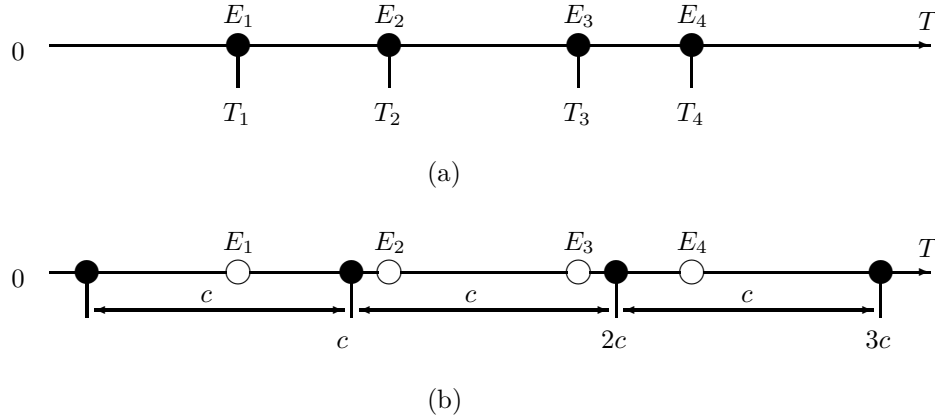


Fig. 1.1. Variația ceasului.

a) Cazul ceasului cu creștere variabilă. T_i = valorile ceasului.b) Cazul ceasului cu creștere constantă c .

A rămas oarecum ne precizat ce se înțelege prin prelucrarea unui eveniment. Acest fapt se înțelege ușor dacă precizăm și conceptul de *agendă a simulării*.

• **Agenda simulării.** Agenda se compune din elementele *memo-rate* de modelul de simulare. Variabilele modelului iau diverse valori pe parcursul simulării; de aici rezulta că pe parcursul simulării apar multe evenimente. Memorarea în totalitate a acestor evenimente, împreună cu caracteristicile lor, nu este nici recomandată dar nici necesară dacă simularea se realizează pe perioade mari de timp. De aceea, se memorează (în agenda) numai ceea ce este strict necesar. Evenimentele sunt de *diverse tipuri*; unele variabile descriu și *stări* ale sistemului (sau ale unor componente ale acestuia). Evenimentele sunt create sau generate la *momente de timp* ulterioare valorii ceasului. De aceea agenda se compune din două părți: **agenda evenimentelor curente AEC** și **agenda evenimentelor viitoare**.

Deci **agenda** $A = AEC \oplus AEV$, unde:

AEC = agenda evenimentelor curente (care au timpul de apariție egal cu valoarea ceasului); iar

AEV = agenda evenimentelor viitoare (care au timpul de apariție ulterior valorii curente a ceasului).

Algoritmul simulării prelucrează deci numai evenimentele din AEC ; prelucrarea unui eveniment înseamnă fie determinarea apariției unui nou eveniment (ce se memorează în AEV) sau modificarea unei stări,

fie distrugerea unui eveniment ("stergerea") lui din agendă. Prelucrările evenimentelor țin seama și de stările sistemului la acel moment.

Algoritmul simulării gestionează/actualizează agenda prin *interacțiunea acesteia cu ceasul*; într-un ciclu al simulării ceasul este actualizat, după care se selectează din agenda A evenimentele care fac parte din AEC și se prelucrează aceste evenimente până când AEC devine vidă. Atunci, ceasul este crescut din nou și se reia **ciclul simulării**. Deci agenda simulării se modifică pe parcursul simulării conform următoarei relații de dinamică

$$A = A \oplus AE_{gen} \ominus AE_{elim}$$

unde A_{gen} sunt evenimentele generate pe parcursul unui ciclu, iar A_{elim} sunt evenimentele eliminate cu ocazia prelucrării AEC . (Semnele \oplus și \ominus se autexplică).

Structura generală a unui MS este descrisă în schema logică din Figura 1.2, pentru a cărei înțelegere este necesară și urmărirea schemelor ajutătoare din Fig. 1.3, a)-g). Descrierea structurii MS este prezentată structurat.

În Figura 1.3 a) se prezintă schema logică generală a *rutinei principale*; MS este conceput ca un *joc* constituit din *mutări*. Se urmărește ca jocul să conducă la o performanță a sistemului prin efectuarea a mai multe mutări, fiecare mutare fiind aleasă astfel încât să conducă în final la *satisfacerea jocului*. În blocul central al Fig.1.3 a) (rutina principală!) se execută ciclul de bază al simulării (interacțiunea ceas-agendă!). Rutina de comutație alege evenimentul ce urmează a fi prelucrat din AEC și transferă controlul la rutina eveniment care-l va prelucra.

Rutina eveniment prelucrează evenimente după schema:

$$A \rightarrow B, A..... > B$$

care înseamnă că A îl determină *sigur* pe B , respectiv A îl poate determina pe B (cu o probabilitate); sau,

$$A \rightarrow /B, A.... / > B$$

care înseamnă că A îl *distrugă* (elimină) pe B sigur, respectiv A îl poate *distrugă* pe B cu o probabilitate dată. Prelucrarea evenimentului

ține seama de regulile de prelucrare ale acelui tip de eveniment și de starea/stările sistemului.

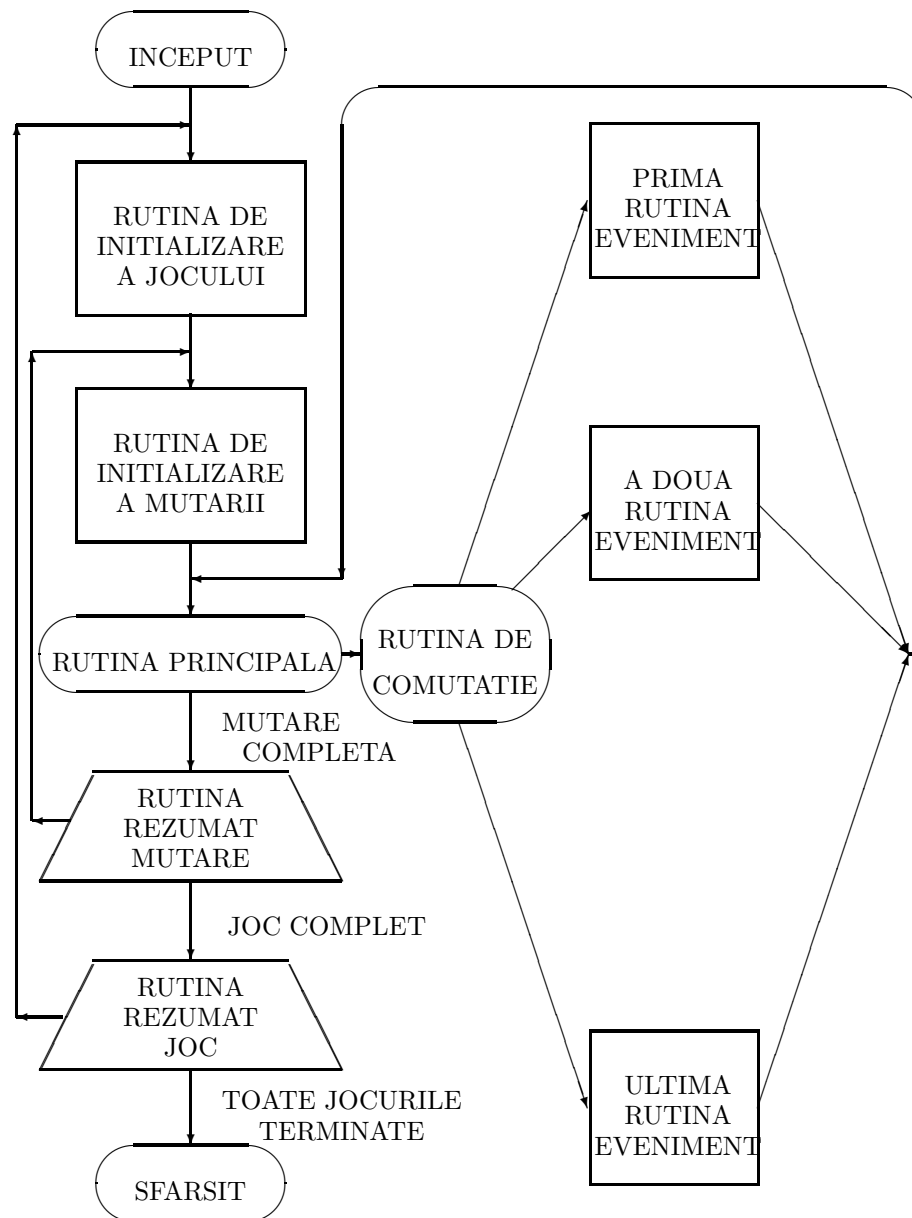


Fig. 1.2. Schema logică globală a unui program

de simulare bazat pe ceas cu creștere variabilă.

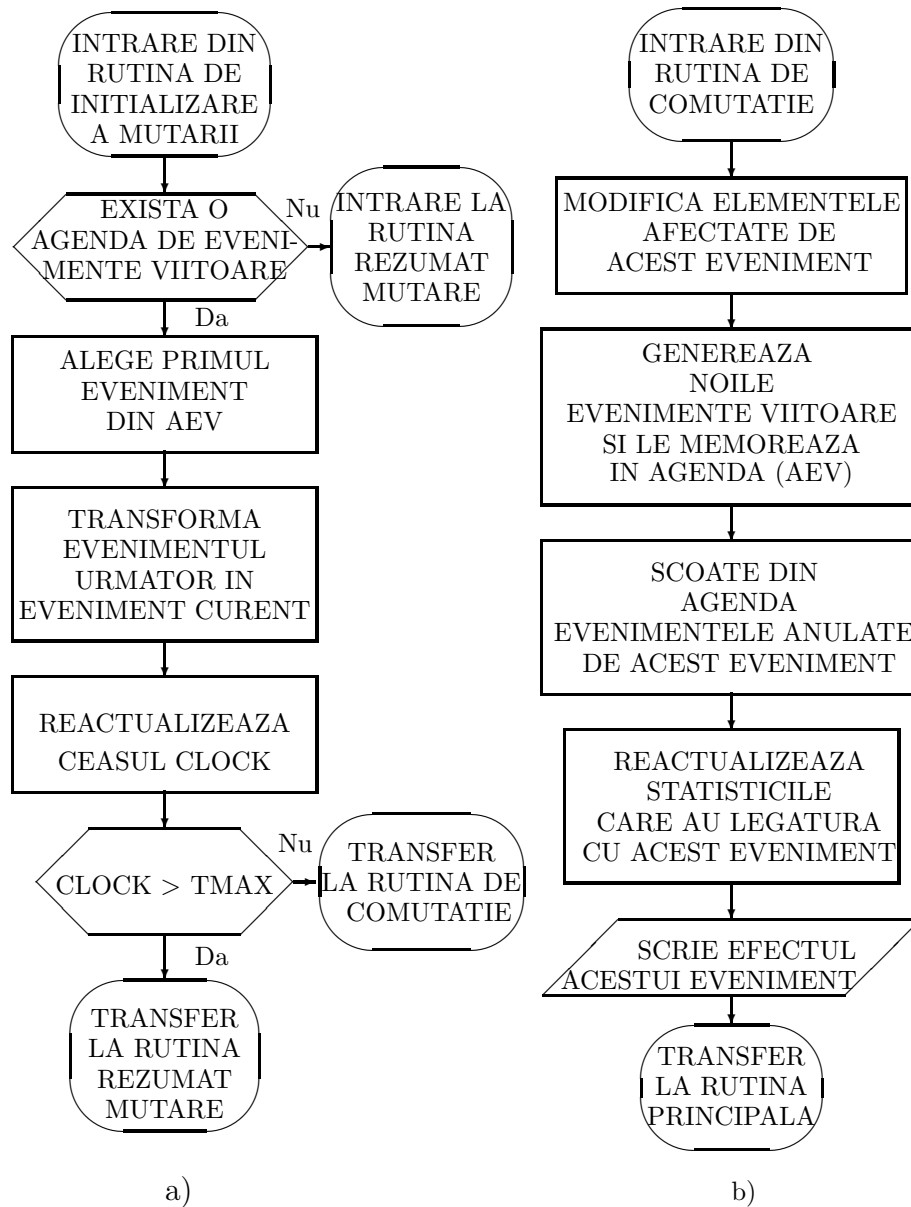


Fig. 1.3. Schemele logice ale rutinelor programului de simulare.

a) Rutina principala

b) Rutina eveniment

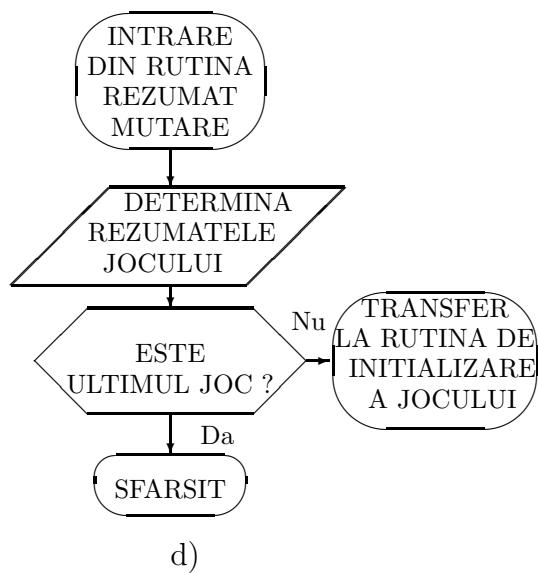
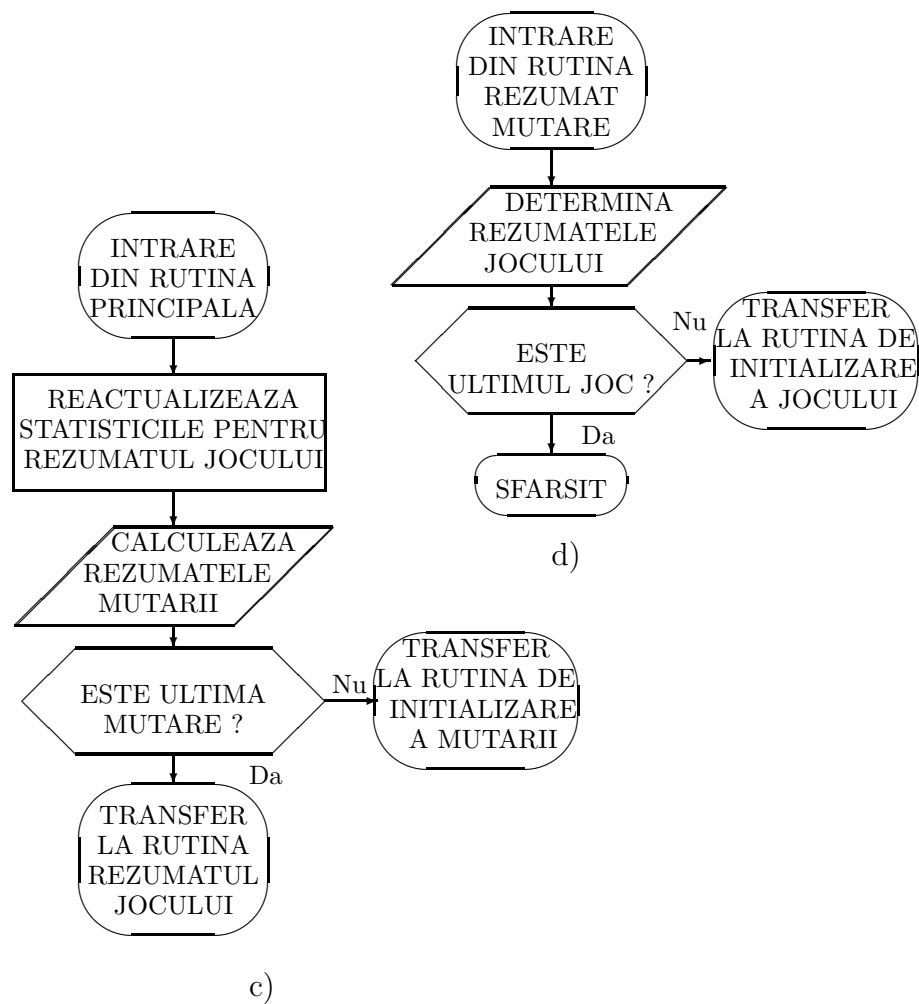


Fig.1.3(continuare) Schemele logice ale rutinelor
programului de simulare.

c) Rutina rezumat mutare;

d) Rutina rezumat joc;

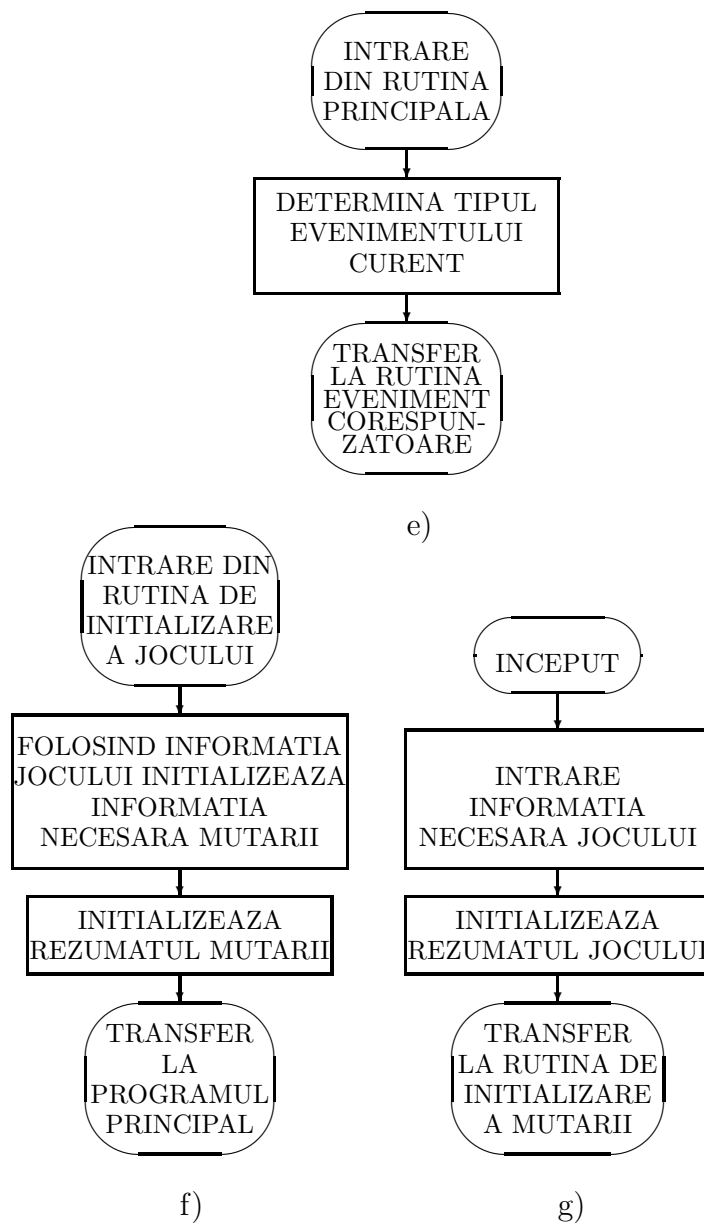


Fig.1.3(continuare) Schemele logice ale rutinelor programului de simulare.

- e) Rutina de comutație;
- f) Rutina de inițializare a mutării;
- g) Rutina de inițializare a jocului.

1.2.2 Concepte de bază în modelarea sistemelor

Descrierea unui MS prezentată mai sus poate fi realizată într-un cadru formal general folosind concepte din *teoria matematică a sistemelor* [8, 12, 13].

Prin sistem [8] se înțelege, sub forma cea mai vagă, o mulțime de obiecte \mathcal{O} interconectate prin intermediul unei relații \mathcal{R} , adică **Sistem** = $(\mathcal{O}, \mathcal{R})$, unde

$$\mathcal{R} \subset \mathcal{O} \times \mathcal{O}.$$

Definiția formală generală a unui sistem este [8]:

Definiția 1.2 Un sistem este următoarea structură de mulțimi:

$$S = (T, X, \Omega, \Sigma, Y, \delta, \lambda)$$

unde:

T = **timpul de bază al sistemului** (ceasul sistemului);

X = **mulțimea intrărilor**;

Ω = mulțimea **segmentelor de intrare** (forma intrărilor!)

segment = $\omega : (t_0, t_1) \mapsto X, \omega_{(t_0, t_1)}$ = grafic = $\{(t, \omega(t)), t_0 \leq t \leq t_1\}$.

Se folosește de regulă notația $\omega_{(t, t_1)} = \{(\tau, \omega(\tau)), t < \tau \leq t_1\}$ și notațiile $\omega = \omega_{(t_0, t_1)}$, $\omega_t = \omega_{(t_0, t)}$, $\omega_t = \omega_{(t, t_1)}$; $\omega = \omega_t \omega_t$;

Σ = **mulțimea stărilor interne ale sistemului** = *memoria sistemului*;

Conceptul de *stare* este esențial în modelarea sistemelor; el descrie structura internă (intimă!) a sistemului;

δ = **funcția de tranziție a stărilor** definită ca

$$\delta : \Sigma \times \Omega \mapsto \Sigma.$$

Ea satisface relația

$$\delta(\sigma, \omega) = \delta(\delta(\sigma, \omega_t), \omega_t), \forall t, \omega = \omega_t \omega_t,$$

care este *axioma semigrupului* sau proprietatea de *separabilitate a stărilor*.

Mulțimea (graficul) (ω, σ) se numește *traietorie a stărilor*;

Y = **mulțimea ieșirilor** (Sistemul este presupus *deschis*, intrările și ieșirile fiind exterioare sistemului).

Mulțimea Y conține *răspunsul* sistemului la intrarea de forma ω când la momentul *inițial* t_0 sistemul sa află în starea σ .

λ = **funcția de răspuns**, de forma $\lambda : \Sigma \times X \times T \mapsto Y$;

$\lambda(\sigma, x, t)$ conduce la un *segment de ieșire* ce reprezintă forma răspunsului sistemului la intrarea x , la momentul t când starea la momentul inițial $t_0, t_0 < t$, este σ .

Nota: din definiție rezultă că pentru o stare inițială σ , (la momentul t_0) când are loc intrarea de forma ω se realizează o *traietorie unică a stărilor*. Cu alte cuvinte, traectoria stărilor satisface relațiile:

$$STRAJ_{\sigma, \omega} : (t_0, t_1) \mapsto \Sigma, \quad a.i. STRAJ_{\sigma, \omega}(t_0) = \sigma$$

$$STRAJ_{\sigma, \omega}(t) = \delta(\sigma, \omega_t), \forall t \in (t_0, t_1).$$

Proiecția $STRAJ$ obținută prin funcția de tranziție a stărilor compusă cu funcția de răspuns, este *traietoria de ieșire*

$$OTRAJ_{\sigma, \omega} : (t_0, t_1) \mapsto Y.$$

Dacă $\lambda = \lambda(\sigma)$ (*ieșirea* depinde numai de σ) atunci rezulta relația simplă

$$OTRAJ_{\sigma, \omega}(t) = \lambda(STRAJ_{\sigma, \omega}(t)).$$

• **Nivele de reprezentare a sistemelor.** Există mai multe *nivele de reprezentare a sistemelor* și anume [8]:

• **Reprezentarea la nivel de comportare.** Sistemul este o cutie neagră (**black box**), exprimat formal prin relația

$$R_s = \{(\omega, \rho) | \omega \in \Omega, \rho = OTRAJ_{\sigma, \omega}, \sigma \in \Sigma\}.$$

Acest nivel de reprezentare este cel mai vag. El descrie numai relațiile de intrare/ieșire ce se pot observa dinafara sistemului (care deci se comportă ca o *cutie neagra*).

• **Reprezentarea la nivel de structură de stare.** La acest nivel se *intră* în structura internă (*intimă*) a sistemului, adică se stabilesc elementele acestuia : $(T, X, \Omega, \Sigma, Y, \delta, \lambda)$, definite ca mai sus.

• **Reprezentarea modulară** (ca structură compusă). Dacă sistemul este complex, atunci se identifică *subsisteme* ale acestuia precum și interconexiunile dintre ele în sensul că ieșirile unor subsisteme sunt intrări în alte subsisteme, intrările unor subsisteme fiind intrări ale sistemului și ieșirile unor subsisteme fiind ieșiri ale sistemului. Cele trei nivele de reprezentare ale unui sistem sunt ilustrate grafic în Fig.1.4.

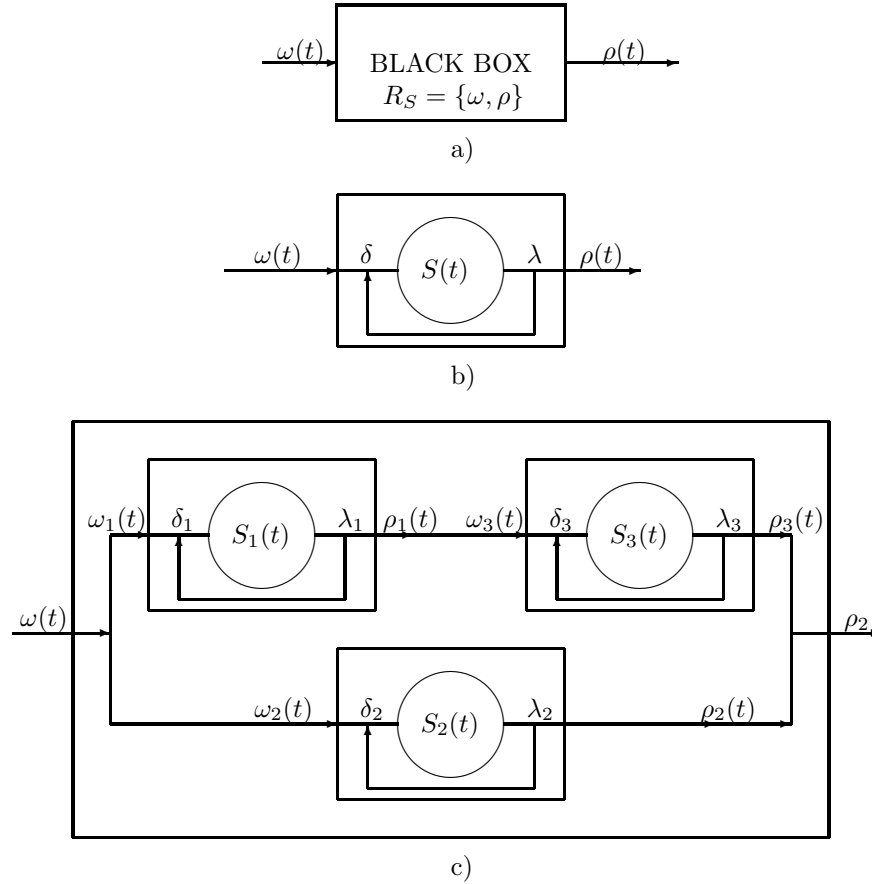


Fig. 1.4. Descrierea sistemului

a) Sistem la nivel de comportare

b) Sistem la nivel de structură de stare

c) Sistem la nivel de structură compusă.

Nivelele de reprezentare a sistemelor, pornind de la forma cea mai vagă și continuând până la forma detaliată legitimează **Metodologia**

”**TOP DOWN**” de proiectare a sistemelor de orice fel, in particular, metodologia de proiectare a **sistemelor informatice** si in general metodologia de proiectare *ierarhică, descendantă* a programelor.

1.2.3 Modelul sistemului cu evenimente externe discrete

Modelul de simulare se incadrează in categoria *modelului de sistem cu evenimente externe discrete* (DEVS=Discrete EVent System), [8, 12,13]. Acesta este un sistem particular de forma

$$S_M = (X_M, S_M, Y_M, \delta_M, \lambda_M, \tau_M)$$

in care timpul T este considerat *implicit* iar elementele au urmatoarea semnificație:

X_M = mulțimea (discretă) de evenimente *externe*; (înțelegem evenimentele ca niște entități oarecari);

S_M = mulțimea secvențelor discrete de stări interne pe care le pot parcurge evenimentele externe când acestea intră in sistem;

Y_M = mulțimea ieșirilor, sau răspunsurilor sistemului;

δ_M = funcția de *quasi-tranziție* exprimată prin două componente:

$\delta_M^\emptyset : S_M \mapsto S_M$ care spune ce stări parcurg evenimentele externe când *nu găsesc* alte evenimente intrate in sistem;

$\delta_M^{ex} : X_M \times S_M \times T \mapsto S_M$ -adică $\delta_M^{ex}(x, s, e)$ care spune cum se transformă starea când intră in sistem x , dacă starea inițială era s și dacă e este timpul scurs de la apariția ultimei tranziții de stare;

λ_M = funcția de ieșire (de răspuns), $\lambda_M : S_M \mapsto Y_M$, $\lambda_M(s) \in Y_M$;

τ_M = funcția de întârziere (decalaj), $\tau_M : S_M \mapsto R^+$, care spune cât întârzie sistemul in starea s (întârzierea este $\tau_M(s)$);

Sa arătăm acum de ce S_M este un sistem in sensul general definit mai sus.

S_M este un $S = (T, X, \Omega, \Sigma, Y, \delta, \lambda)$ deoarece

$T = [t_0, \infty)$, t_0 – *initial* și el este subînțeles in mod implicit;

$X = X_M \cup \emptyset$; (\emptyset = nu este eveniment);

Ω = mulțimea segmentelor; segmentele sunt secvențe discrete, finite de evenimente asociate cu momentele (ordonate) de timp când acestea intră in sistem;

Σ = mulțimea stărilor,adică

$$\Sigma = \{(s, e) | s \in S_M, 0 \leq e \leq \tau_M(s)\}.$$

δ se construiește din δ_M astfel

$$\delta : \Sigma \times X \mapsto \Sigma;$$

$$\delta(s, e, \emptyset) = (s, e) \in \Sigma, \text{ dacă } e < \tau_M(s)$$

$$\delta(s, \tau_M(s), \emptyset) = (\delta_M^\emptyset(s), \tau_M(s))$$

$$\delta(s, e, x) = (\delta_M^{ex}(x, s, e), e);$$

Funcția de ieșire este $\lambda = \lambda_M$.

O formalizare a teoriei modelelor de simulare discretă se găsește în cărțile lui ZEIGLER [12,13].

Ea poate servi ca metodologie de construcție a modelelor de simulare și conduce la construcția **modelelor de simulare OO** (=Orientate Obiect), [13].

1.2.4 Metodologia de realizare a experimentelor de simulare (Metodologia simulării), [10, 11].

Etapela realizării unui experiment de simulare sunt:

1⁰ Formularea problemei, care constă în a preciza întrebările la care trebuie să răspunda modelul și a preciza domeniul lumii reale ce trebuie analizat. Aici se precizează și forma răspunsului la întrebări (de ex. dacă se vor produce grafice, tabele sau chiar texte scrise).

2⁰ Realizarea unor experimente preliminare; în această etapă se stabilesc, pe baza observațiilor sau datelor culese din lumea reală, sau existente, referitoare la aceasta (istorice), *variabilele și parametri* și care din acestea sunt de intrare sau de ieșire.

3⁰ Prelucrarea (interpretarea) primară a datelor preliminare; acum se disting *variabilele aleatoare*, se estimează parametri și se testează ipoteze statistice. (Statistica matematică joacă un rol important în simulare).

4⁰ Formularea unui model matematic preliminar, incomplet; în această etapă se precizează relații funcționale, ipoteze de lucru (care să concorde cu datele existente, colectate) și se indentifica ce relații nu pot fi exprimate matematic și care sunt dificultățile ce ar trebui înlăturate pentru a răspunde la întrebările formulate.

5⁰ **Evaluarea modelului (etapă de decizie!)**; se urmărește să se evalueze *complexitatea* modelului, dacă el poate răspunde în timp real și *complet* la întrebări; în această etapă se pot eventual reizui unele din etapele precedente făcându-se simplificări sau completări ale modelului matematic propus.

6⁰ **Construcția modelului de simulare** (sub formă de algoritm detaliat); modelul se construiește conform celor precizate anterior urmărindu-se ca el să fie *general*. La construcția algoritmului simulării se va avea în vedere și cum se va realiza programarea: într-un **limbaj evoluat** sau într-un **limbaj specializat de simulare**. Există un număr mare de limbaje de simulare toate având la bază, mai mult sau mai puțin, filozofia DEVS. Un astfel de limbaj (ce va fi prezentat în secțiunea următoare) este GPSS= General Purpose Simulation System [1, 14]. O versiune românească a acestui limbaj este SIMUB (limbajul de SIMulare al Universității din București) și el a fost implementat la sfârșitul anilor '70 pe sistemele de calcul FELIX C-256 de cercetători ai Centrului de calcul al Universității din București (CCUB).

În anii '60-70 au fost construite [10] și implementate multe limbaje de simulare pentru sistemele de calcul de generația a III-a.

Printre limbajele de simulare introduse atunci menționăm limbajul SIMULA, care introduce conceptul de *clasă* pentru a desemna o mulțime de obiecte ale unui program care au anumite proprietăți și care se supun unui tratament comun; acest concept a generat pe cel de *obiect* și este deci premergător *programării orientată spre obiecte*. Un alt limbaj, care se bazează de fapt pe o subrutină complexă FORTRAN, ce putea fi combinată cu alte subprograme în acest limbaj și care prezintă din această cauză multă flexibilitate în scrierea de programe de simulare este limbajul GASP IV; o versiune a acestui limbaj, numită GASP-SIMPATIC a fost implementată la începutul anilor '80 pe sistemele de calcul FELIX C-256 și pe minicalculatoarele CORAL și INDEPENDENT, de către cercetători ai CCUB.

Limbajele de simulare sunt atât limbaje de programare cât și instrumente care facilitează construcția modelelor de simulare. Utilizând un astfel de limbaj, analistul-programator va fi scutit de grija construcției instrumentelor specifice simulării (organizarea agendei, manipularea și controlul ceasului al AEC sau AEV, etc.), el putându-se astfel concentra numai asupra definirii elementelor specifice sistemului pe care-l

modelează (tipurile de evenimente, componentele și stările sistemului, definirea răspunsurilor la întrebări, etc).

Avantajele utilizării limbajelor de simulare: modelele se construiesc rapid, experimentele de simulare se realizează repede (sunt experiențe artificiale ce nu au nevoie de scurgerea timpului fizic pentru a fi observate). **Dezavantajele** constau în faptul că modelele de simulare realizate în limbaj specializat sunt supuse unor restricții determinate de posibilitățile limitate ale acestora.

De regulă modelele de simulare generează valori ale variabilelor de intrare și produc *selecții statistice* de valori asupra variabilelor de ieșire. Pentru formularea răspunsurilor la întrebări ar trebui prelucrate în mod cât mai evoluat aceste selecții. Limbajele de simulare nu dispun de regulă de astfel de facilități, mai ales presupunând (ceea ce este un fapt real!), că valorile de selecție produse de simulare nu sunt independente stochastice.

Avantajele modelelor dezvoltate în limbaje evaluate sunt: acuratețea rezultatelor, flexibilitatea modelelor (adică pot fi extinse cu noi tehnici numerice de calcul, pot fi mai generale, etc). **Dezavantajele** constau în faptul că se construiesc mult mai greu (utilizatorul trebuie să implementeze tehnicile de manipulare a ceasului și de gestionare a agendei).

⁷⁰ **Validarea modelului** este de asemenea o etapă importantă. În afară de validarea formală (testare sintactică și logic-formală a programului), trebuie să se decidă dacă modelul rezolvă **corect** problema formulată. Acest lucru se realizează prin compararea rezultatelor simulării fie cu rezultate practice cunoscute, fie prin compararea cu soluția obținută cu ajutorul unui model matematic. (De ex. în **teoria cozilor** se cunoaște soluția matematică a modelului în anumite ipoteze restrictive; se va obține soluția prin simulare pe baza unei selecții de volum mare a variabilelor de ieșire. Dacă soluția simulată se apropie de soluția matematică, atunci, în virtutea *legii numerelor mari*, rezultă corectitudinea modelului de simulare, acesta fiind deci *valid* și în ipoteze diferite de cele considerate la validare).

⁸⁰ **Planificarea experiențelor de simulare** este următoarea etapă necesară. Așa cum am precizat, simularea este un experiment realizat cu calculatorul pe baza unui model ce descrie sistemul real. Orice

experiment (cu caracter statistic ca in cazul simulării) trebuie să se desfășoare pe baza unui plan experimental. Pentru planificarea experimentelor de simulare se folosesc metode ale **statisticii matematice** (așa zisele *experimental design*).

9^o Prelucrarea și interpretarea experiențelor de simulare este o etapă la fel de importantă ca și cele precedente. Programul de simulare rulat pe calculator produce de regulă valori de selecție asupra variabilelor de ieșire, dar care nu definesc selecții statistice in sensul obișnuit (nu sunt selecții bernouliene deoarece valorile de selecție sunt de regulă dependente). De aceea prelucrarea experimentelor de simulare se face cu mijloace statistice din cele mai sofisticate (prelucrarea seriilor dinamice). Toate limbajele de simulare posedă un minim de facilități pentru prelucrări statistice simple (calcul de medii, dispersii, coeficienți de corelație, histogramme, etc.).

- **Utilitatea simulării.** Orice sistem complex, se proiectează pe baza simulării. Alegerea parametrilor de proiectare se realizează (ca într-un joc!) pe baza unor experiențe bazate pe modelul de simulare. Aceste experiențe sunt mult mai puțin costisitoare decat cele reale.

Cand experiențele reale sunt costisitoare este intotdeauna recomandabil ca experiențele să se realizeze prin simulare. (De exemplu, înainte de a construi un baraj, mai întâi **simulăm** comportarea lui pentru a alege cea mai buna variantă de proiectare și construcție).

In anumite situatii practice experiențele durează mult si de asemenea este nevoie să se recurgă la simulare. (De exemplu simularea **duratei de viață a unei comete** se realizează cu modelul de simulare in cel mult câteva minute sau zeci de minute). Experiențele legate de fiabilitatea sistemelor se realizează de asemenea mai degrabă prin simulare.

Când se construiesc sisteme mari noi, ne mai întâlnite se efectuează mai întâi simularea lor. (De exemplu **zborurile interplanetare**, sistemele hidroenergetice mari cu implicații ecologice, etc. se proiectează pe baza unor variante alese cu ajutorul simulării).

Când se proiectează politici complexe de dezvoltare economico-socială de asemenea se utilizează simularea. (De exemplu sistemele de producție complexe, politicile de dezvoltare regională, proiecte macroeconomice, evoluția mediului ambiant, etc).

Simularea joacă un rol important în dezvoltarea **tehnologiei GRID** un domeniu nou al informaticii în plină dezvoltare, care se bazează atât pe simulare cât și pe calcul performant, pe inteligență artificială, pe rețele de comunicație, etc.

1.3 Generalități despre limbajul GPSS

Limbajele de simulare sunt în același timp **limbaje de programare** și **limbaje de modelare**; ele implementează elementele esențiale ale simulării: manipularea **ceasului** și **gestionarea memoriei**. Utilizatorul are numai grija descrierii **evenimentelor** și a **prelucrării lor**.

Programele în limbaj de simulare sunt *mai scurte* dar și *mai puțin flexibile*. Sunt limitate în privința prelucrării și interpretării experimentelor de simulare.

Vom face o foarte scurtă prezentare a **limbajului GPSS** (General Purpose System Simulator), urmând ca cititorul interesat să recurgă la un manual detaliat sau să folosească facilitatea *help* existentă în implementarea GPSS/PC [1, 14]. Acest limbaj a fost dezvoltat pentru prima dată de firma IBM la începutul anilor '60.

- **Entitățile limbajului GPSS.** Limbajul GPSS se compune din 16 **tipuri de entități** (elemente de abstractizare).

La fiecare entitate se asociază un număr de proprietăți sau **attribute** în majoritatea lor **adresabile intern** (de către GPSS), dar unele sunt **adresabile și de către utilizator**;

Attributele sunt: **standard numerice** (numere) sau **standard logice** (valori logice);

Entitățile de bază sunt:

- 1) **Blocuri** (entități care descriu **activități**);

- 2) **Tranzacții** (elemente **circulante**); ele sunt create (printr-un bloc special GENERATE) și circulă prin model (sistem!), ca urmare a acțiunii altor blocuri. Blocurile au asociate caracteristici numerice sau logice și posedă argumente necesare descrierii activităților. Tranzacțiile posedă un număr de parametri standard dar și parametri introduși de utilizator. Prin programul de simulare utilizatorul poate accesa parametrii tranzacțiilor.

Entități de echipament:

3) **Stații de serviciu** sau **facilități**; (ele corespund subsistemelor cu o componentă care tratează de regulă o singură tranzacție!);

4) **Multistații** de serviciu sau **depozite**; acestea tratează de regulă mai multe tranzacții (de ex. liftul, autobuzul, pot transporta mai mulți clienți considerați ca tranzacții, etc!);

5) **Comutatorii logici** sunt variabile logice care permit utilizatorului să realizeze ramificarea după dorință a fluxului de execuție în programul de simulare.

Entități de calcul ce permit efectuarea (limitat!) a unor calcule:

6) **Variabile aritmetice**; permit evaluarea unor expresii aritmetice, iar rezultatul este memorat de o variabilă aritmetică;

7) **Variabile booleene**; permit evaluarea unor expresii booleene, iar rezultatul este memorat de o variabilă booleană;

8) **Funcții** descrise prin tabele sau *prin segmente* de dreaptă (liniare pe porțiuni);

9) **Funcții analitice** descrise prin expresii mai complicate; (ele există numai în SIMUB și au rolul de a facilita simularea diverselor variabile aleatoare prin *metoda inversă*);

Entitățile statistice, permit colectarea unor **statistici** sau **estimații** privind VE sau PE; printre acestea se remarcă :

10) **Cozile** care sunt entități statistice ce memorează tranzacțiile întârziate în sistem;

11) **Tabele de frecvențe** care descriu **histograme** ale VE;

12) **Tabele de frecvență bidimensionale**, sau **tabele de contingență**; (acestea sunt disponibile numai în SIMUB);

Entități de referință care memorează anumite informații pe care le dorește utilizatorul și anume:

13) **Cuvinte de salvare** care memorează valori ce corespund câte unui cuvânt de memorie al calculatorului;

14) **Matrice de cuvinte de salvare** care memorează matrici;

Entități de tip lanț, care sunt de două tipuri:

15) **Lanțuri ale utilizatorilor** în care se pot depune sau scoate tranzacții după dorința utilizatorului; (Există și lanțuri ale sistemului, manipulate intern de către GPSS, care nu pot fi accesate de utilizator).

16) **Grupuri** care **separă** tranzacții (cu anume scopuri de prelucrare dorite de utilizator, sau cu anumite proprietăți).

NOTA. Toate entitățile trebuie definite/identificate și declarate de către utilizator la începutul programului. Pentru fiecare entitate se alocă memorie; la instalarea limbajului se alocă și un **număr maxim** de entități care se pot utiliza într-un program.

Entitățile se **invocă** prin instrucțiuni cu structură fixă. (Limbajul este un **interpret**).

Limbajul permite descrierea modulară a unui model de simulare general (vezi schema generală 1.1); cel mai important este modulul principal (**ciclul de bază**). Ieșirile sunt standard; se afișează/scriu valori ale atributelor, statistici, tabele de frecvență, etc.

Limbajul GPSS este un **interpret**, ceea ce înseamnă că fiecare instrucțiune scrisă corect (și recunoscută ca atare de către GPSS) se execută imediat.

• **Structura instrucțiunii GPSS.** Instrucțiunea GPSS are un format fix (vezi Figura 1.5).

1) Blocurile descriu acțiuni (sunt entități **active** spre deosebire de tranzacții care sunt entități pasive, în sensul că ele sunt *mișcate* prin model ca urmare a acțiunii blocurilor).

Nume simbolic (Etichetă)	Numele blocului (Cunânt cheie)	Argumente/parametri (separate prin virgulă)
Opțional pt.referiri	Verb imperativ care desemnează acțiunea blocului	A,B,C,...

Fig 1.5. Structura instrucțiunii GPSS.

Tipurile de blocuri sunt:

1a) *Blocuri de acțiune*: SEIZE/RELEASE (tranzacția curentă ocupă sau eliberează o facilități); PREEMPT (tranzacția intrată în acest bloc poate ocupa o stație de serviciu indicată de parametrul-argument sau o poate **prelua** dacă este ocupată de altă tranzacție); ENTER/LEAVE (ocupă sau eliberează o poziție dintr-o multistație); QUEUE/DEPART (intră în coadă sau pleacă din coadă); LINK/UNLINK (introduce sau

scoate tranzacția dintr-un lanț al utilizatorului); SPLIT (descompune tranzacția în mai multe tranzacții care formează o *familie*); ASSEMBLE/GATHER (unifică tranzacțiile dintr-o familie fără, sau cu păstrarea atributelor de bază din familie); MATCH (sunt 2 blocuri conjugate; ele sincronizează deplasarea tranzacțiilor care întâlnesc aceste blocuri); ADVANCE (întârzie tranzacțiile; simulează de ex. **durata de serviciu** a tranzacției); BUFFER (înseamnă prelucrarea tranzacțiilor în ordinea priorităților); JOIN/REMOVE (introduc sau scot tranzacția într-un grup); SCAN (verifică dacă există o tranzacție în grup cu o anumită proprietate);

1b) *Blocuri de creare și distrugere de tranzacții*: GENERATE/TERMINATE (generarea se face cu **generatori specializați de numere aleatoare**, tranzacția putând fi prevăzută cu priorități);

1c) *Blocuri de control logic al tranzacțiilor*: TEST (controlează dacă 2 atribute ale tranzacției satisfac o condiție); TRANSFER (asigură transfer condiționat sau nu al fluxului de execuție la blocul indicat prin argument); GATE (modifică drumul tranzacțiilor în funcție de condiții referitoare la atribute ale facilităților, multistațiilor, comutatoarelor logici sau tranzacțiilor); EXAMINE (modifică fluxul în funcție de apartenența la un grup); LOOP (repetă execuția de la blocul menționat ca argument până la blocul LOOP);

ATENȚIE: fluxul tranzacției se modifică și prin blocurile:PREEMPT, LINK/UNLINK, REMOVE, ALTER, SCAN, SELECT.

1d) *Blocuri de modificare a caracteristicilor tranzacțiilor și a valorilor unor entități de referință*: ASSIGN (atribuie valori numerice parametrilor tranzacțiilor și/sau le modifica; când se generează o tranzacție poate fi prevăzută cu "locuri" pentru un număr de maximum 12 parametri referibili de către utilizator; numărul parametrilor poate fi standard sau precizat de utilizator la generare); INITIAL (inițializează cuvintele sau matricile de cuvinte păstrate); PRIORITY (modifică prioritățile; lucrează în legătură cu blocul BUFFER); LOGIC (poziționează pe *true* sau *false* un comutator logic ce poate juca rol de *semafor*); MARK (utilizat pentru a marca într-un cuvânt special asociat fiecărei tranzacții, valoarea ceasului); SAVEVALUE/MSAVEVALUE (memorează într-un cuvânt/matrice valoarea unui atribut standard numeric precizat); COUNT (determină numărul de entități ce satisfac o anumită condiție și-l memorează într-

un parametru al tranzacției specificat ca argument al lui COUNT); SELECT (selectează prima entitate dintr-o gamă de entități ce satisfac o anumită condiție); ALTER (modifică condiționat sau nu, parametri sau prioritatea uneia sau mai multor tranzacții dintr-un grup putând modifica opțional și drumul tranzacției); HELP (permite includerea unor proceduri de calcul ale utilizatorului; este un bloc pretențios căci necesită interfața între GPSS și limbajul în care este scrisă procedura; în SIMUB se foloseau subrutine FORTRAN!);

1e) *Blocuri pentru obținerea de statistici*: TABULATE (pentru construirea histogramei); (În SIMUB se folosește și BTABULATE pentru construirea tabelelor de contingentă, adică *histograme bidimensionale*).

1f) *Blocuri pentru listări*: PRINT (permite scrierea parțială a unor statistici; cele mai multe statistici se scriu automat de GPSS la sfârșitul simulării);

2a) *Tranzacțiile* se generează cu GENERATE și se distrug cu TERMINATE. La generare tranzațiile primesc automat niște parametri interni și un număr de parametri (limitat de ex la 100) declarați și care pot fi accesați de utilizator; în funcție de implementare, un program GPSS poate utiliza un număr maxim de tranzacții (acesta este un dezavantaj al limbajelor de simulare datorat faptului că limbajul **gestionează agenda**, GPSS rezolvând astfel el însuși detaliile de programare pe care într-un limbaj evoluat le rezolvă utilizatorul).

3a) *Stațiile* de serviciu pot fi ocupate de o singură tranzacție la un moment dat.

4a) *Depozitele* sau multistațiile au o capacitate declarată în prealabil și în ele pot intra mai multe tranzacții (cât permite capacitatea).

5a) *Comutatorii logici* sunt de fapt variabile booleene, ce trebuie inițializate (precizează condiții satisfăcute de "echipoamente").

Toate entitățile de echipament sunt identificate printr-un număr (întreg). Ele posedă attribute standard numerice sau logice.

6a) *Variabilele* au cuvântul cheie VARIABLE, au un nume și o expresie aritmetică (de dimensiune limitată) care conține attribute standard numerice, cuvinte de salvare, parametri, etc.

7a) *Variabilele booleene* BVARIABLE, sunt construite analog (de către utilizator) folosind attribute standard logice, inclusiv comutatori logici).

8a) 9a) *Funcția* (FUNCTION) desemnează o funcție de o variabilă dată printr-o listă sau funcție liniară precizându-se argumentul prin care aceasta este referită.

10a) *Coadă* este o entitate statistică pentru care se reține automat *lungimea medie* și *lungimea maximă* care se listează la sfârșitul simulării.

11a) 12a) *Tabela de frecvență* se definește la începutul programului cu TABLE și reprezintă o histogramă a unei variabile de ieșire din model, de regulă atribut numeric. La definire se precizează argumentul tabelat și numărul de clase de frecvențe.

13a) 14a) *Cuvintele* sau *matricile de cuvinte* păstrate sunt invocate prin INITIAL, SAVEVALUE sau MSAVEVALUE și ele se folosesc pentru a reține anumite valori pe parcursul simulării. Sunt referite printr-un număr de identificare.

15a) *Lanțurile sistemului* sunt: lanțul evenimentelor curente (LEC), lanțul evenimentelor viitoare (LEV), lanțuri ale tranzacțiilor intrerupte, lanțuri ale tranzacțiilor în așteptare pentru sincronizări, lanțuri de întârziere (asociate echipamentelor). Orice tranzacție *activă* la un moment dat se găsește într-un lanț. Tranzacțiile care se deplasează în sistem se găsesc în lanțul evenimentelor curente. Mecanismul de actualizare a lanțului evenimentelor curente și al celor viitoare este cel cunoscut (descrie prin relația dintre A , AEC și AEV din secțiunea 2.1). Tranzacțiile terminate (prin blocul TERMINATE) sunt distruse; blocul START precizează printr-un argument al sau câte tranzacții se vor prelucra (termina). Prelucrarea tranzacțiilor din LEC înseamnă transferul lor în alt lanț sau distrugerea. Tranzacțiile întârziate (de ex prin ADVANCE) sunt introduse în LEV.

Lanțurile sistemului sunt controlate automat de către sistemul GPSS.

Lanțurile utilizatorului (LU) sunt definite de acesta și ele (sau atribute ale lor) pot fi referite în programul GPSS. Tranzacțiile pot fi introduse sau scoase din LU prin LINK și UNLINK și ele se folosesc la implementarea unor *discipline de serviciu* (în cazul prelucrării tranzacțiilor din cozi).

16a) *Grupurile* oferă utilizatorului un instrument de *clasificare* a tranzacțiilor care au anume propriități. De ex. toate stațiile care la un moment dat depășesc un anumit grad de utilizare pot fi făcute membre ale unui grup.

Un program GPSS este o listă ordonată de BLOCURI ale căror argumente se referă la diverse entități.

În cele ce urmează sunt prezentate patru programe GPSS care se bazează pe câteva din entitățile și instrucțiunile uzuale ale acestui limbaj.

1.3.1 Exemple de programe GPSS.

• **E1. Model de simulare pentru un sistem de așteptare cu o stație.**

Programul GPSS pentru acest model este:

001	GENERATE	10,2	;Sosiri aleatoare la 10 ± 2 minute
003	SEIZE	FRIZER	;Ocupă stația de serviciu "FRIZER"
005	ADVANCE	12,3	; Durata servirii 12 ± 3 minute
007	RELEASE	FRIZER	; Eliberează stația
009	TERMINATE	1	; Ieșire din sistem un client

Comentariu. Cifrele din fața tabelului reprezintă etichetele instrucțiunilor/blocurilor, iar textele de la terminarea liniilor reprezintă comentarii. După denumirile blocurilor apar parametri acestora.

Modelul nu este complet deoarece în fața blocului SEIZE pot să apară așteptări de aceea înaintea acestui bloc trebuie introdus un bloc QUEUE și după el un bloc DEPART ca mai jos (etichetele indică locul unde se introduc aceste blocuri respectând ordinea).

002	QUEUE	COADA1	; Tranzacția ocupă COADA1
003	SEIZE	
004	DEPART	COADA1	;Tranzacția pleacă,se actualizează așteptările;

Pentru a prelucra 200 tranzacții se va da la început comanda

000 START 200

La sfârșitul simulării apelând procedura GPSSREPT.EXE se va afișa un *raport final* privind simularea care conține:

- durata totală a prelucrării tranzacțiilor(durata simulării);
- gradul de ocupare a stației de serviciu (media și maxima);
- durata medie a așteptărilor, etc.

• **E2. Model de simulare pentru un sistem de așteptare cu stații paralele.**

Modelul de mai jos simulează un sistem de așteptare cu 3 stații paralele (ghișee ale unei bănci) în care serviciul se realizează cu disciplina FIFO (First In First Out) adică serviciul se execută în ordinea sosirii clienților și nu se consideră priorități ale unor clienți. Clientul va trece pe la stația multiplă de servire (depozit), dar el va ocupa o singură stație care-l servește (STORAGE 3). În final el va trece și la stația CASIER unde primește un alt serviciu (primește sau plătește banii pe baza formelor elaborate de ghișeul parcurs anterior!). Desigur, pentru executarea modelului care urmează ar trebui adăugată comanda START corespunzătoare și apelat în final modulul de ieșire GPSSREPT.EXE. Modelul este dat de programul:

GHISEE	STORAGE	3	; Declararea dimensiunii multistației
001	GENERATE	4,1	;Sosesc clienți
002	QUEUE	COADA	;Clientul în coada căci dorim statistici
003	ENTER	GHISEE	Ocupă un loc în GHISEE (dacă există!)
004	DEPART	COADA	;Clientul pleacă din coada (spre servire!)
005	ADVANCE	15,3	;Clientul este servit (durata de servire!)
006	LEAVE	GHISEE	Se eliberează un log (un ghișeu)
007	SEIZE	CASIER	; ocupă locul la casier;
007	ADVANCE	2	; Servirea clientului este 2 minute
008	RELEASE	CASIER	; Eliberează casierul(clientul pleacă)
009	TERMINATE	1	;Plecarea client.

• **E3. Model cu stații paralele și preferințe.** Se modelează serviciul la o frizerie unde lucrează 3 frizeri (trei stații de serviciu!):Figaro, Gică și Tică. Clienții care sosesc sunt primiți în proporție de 60% de Figaro (care este preferat!) iar restul de 40% sunt serviți de ceilalți doi, dar din aceștia 50% merg la Gică și 50% merg la Tică. Modelul nu conține comenzile de START și cele de ieșire.

001	GENERATE	6,1	;Sosesc clienți
002	TRANSFER	.4,,ALTII	;60% clienți merg la Figaro
003	QUEUE	COADAFIG	;Intră în coada lui Figaro
004	SEIZE	COADAFIG	; Clientul se duce la Figaro
005	DEPART	COADAFIG	;Se culeg date despre ac.coadă
006	ADVANCE	8,1	;Clientul e servit
007	RELEASE	FIGARO	;Figaro devine liber
008	TRANSFER	,CASA	; Clientul merge să plătească
ALTII	TRANSFER	,LAGICA	;Tică și Gică sunt la fel
010	SEIZE	TICA	; 50% din clienți merg la Gică
011	ADVANCE	12,2	; Tică servește mai încet ca Figaro
012	RELEASE	TICA	; Tica este eliberat

013	TRANSFER	,CASA	;Clientul plătește
LAGICA	SEIZE	GICA	;50% din 40% clienți merg la Gica
015	ADVANCE	12,2	; Gică servește ca și Tică
016	RELEASE	GICA	; Se eliberează Gica
CASA	SEIZE	CASIERA	; Se ocupă stația CASIERA
018	ADVANCE	1	;Plata într-un minut
019	RELEASE	CASIERA	; Se eliberează CASIERA
020	TERMINATE	1	;Tranzacția pleacă

Nota. Cele trei stații sunt folosite explicit, nu ca multistație. Folosim coada numai la Figaro căci numai acolo (presupunem!) ne interesează statistici finale.

În programele GPSS etichetele sunt opționale și ele pot fi mnemonice (care denumesc obiecte modelate ca de ex. LAGICA sau ALTII), sau pot fi constante întregi care sugerează ordinea instrucțiunilor; sunt obligatorii etichetările blocurilor la care se referă alte blocuri (vezi TRANSFER mai sus).

Parametri unor entități pot desemna *nume simbolice* (de ex. stația GICA sau coada COADAFIG).

• **E4. Un Model complex.** Acest model este de complexitate ridicată și instrucțiunile ce descriu programul de simulare *GPSS* sunt prezentate mai jos.. El simulează în *GPSS/PC* activitățile de reparație a unui automobil într-un *service* care are ateliere separate de reparații *motor, caroserie și tinichigerie*. Unitatea de timp este *ora* iar repartiția de probabilitate a duratelor de reparație este exponențială și funcția de repartiție este descrisă de funcția *continuuă* numită *XPDIS* dată prin instrucțiunea '50' de mai jos care are ca argument generatorul de numere aleatoare *RN2*, este de tip *continuu* și este descrisă prin coordonatele a 24 puncte, *C24*. Instrucțiunea 60 descrie o histogramă a timpului *M1* petrecut de tranzacții (automobilele ce se repară) în sistem. Blocul GENERATE 70 simulează sosiri exponențiale cu media 48 folosind metoda inversă (vezi capitolul următor) aplicată funcției de repartiție definită în preambulul programului. (Funcția este descrisă prin coordonatele unor puncte prin care trece graficul ei și care puncte sunt date prin perechile de coordonate, despărțite prin *slash* /.

În continuare programul descrie activitățile ce au loc în sistem: blocul 80 include în coadă automobilul sosit (prin GENERATE); blocul

90 simulează ocuparea stației *SEFATELIER*; blocul 100 simulează (prin 100 *ADVANCE*) activitatea de *constatare* a șefului de atelier care are repartiție uniformă de medie 2 ± 1 ; apoi blocul 110 *RELEASE* simulează eliberarea șefului de atelier, după care blocul 120 *SEIZE* ocupă mecanicul *MEC1* care realizează demontarea blocului motor de pe caroserie. În continuare blocul 150 *SPLIT* trimite motorul la mecanici denumiți în model *ATELMEC* (blocul *SPLIT* ramifică traseul tranzațiilor). În continuare comentariul 160 * *traseulcaroseriei* indică faptul că blocurile 170-400 descriu traseul caroseriei prin întreprinderea de service, traseu care se termină la blocul

410 *ATELMEC SEIZE MEC1* care prin eticheta *ATELMEC* indică faptul că motorul (desprins de caroserie prin blocul 130) a fost transferat în atelierul mecanic. În secvența de instrucțiuni 170 – 400 (care simulează activitățile din secția *Caroserie*, se remarcă blocurile 230 și 290 care sunt blocuri *MATCH* conjugate și care semnifică faptul că trebuie sincronizate activitățile lui *OM2* (ajutor de sudor care demontează ușile) cu cele ale lui *OM1* (care realizează sudura propriuzisă). În secvența de instrucțiuni referitoare la caroserie activitățile descrise sunt explicate prin comentarii și prin etichetările cu mnemonice ale blocurilor; majoritatea blocurilor au fost deja întâlnite și în cadrul celorlalte exemple de programe *GPSS*. Menționăm ca deosebite blocurile 260 (transfer necondiționat la blocul 320 *ASSEMBLE* care assemblează ușile de corpul caroseriei) și 400 (transfer necondiționat la blocul 450 *MONFINAL* care realizează montajul final al motorului și caroseriei). În instrucțiunile finale ale programului *GPSS* remarcăm secvența 410 – 440 care descrie traseul motorului și secvența 450 – 500 care descrie asamblarea finală a componentelor automobilului. O instrucțiune nouă aici este 490 *TABULATE* care înregistrează (pe parcursul simulării) frecvențele în tabela *TABCLASE* definită la început.

Descriem în continuare programul sursă *GPSS*. La început sunt descrise instrucțiunile de definire a funcției, după care urmează blocurile ce simulează activitățile în service-ul auto.

; GPSS/PC Program File E4.GPS. (V2, #39399) 08-02-2003 04:13:29

10 * Modelul reparatiei unui automobil, in ateliere separate

20 * pentru motor si pentru tinichigerie(, urmata de vopsire).

30 * -Unitatea de timp a modelului este ora.-

40 * Repartitia exponentiala standard

50 XPDIS FUNCTION RN3,C24

0,0/.1,.104/.2,.222/.3,.355/.4,.509/.5,.69/.6,.915/.7,1.2/.75,1.38

.8,1.6/.84,1.83/.88,2.12/.9,2.3/.92,2.52/.94,2.81/.95,2.99/.96,3.2

.97,3.5/.98,3.9/.99,4.6/.995,5.3/.998,6.2/.999,7/.9998,8

60	TABCLASE	TABLE	M1,40,20,20	;Pt.histogr. timp in sistem.
70		GENERATE	48,FN\$XPDIS	;Sosiri expon., cu media 48 ore.
80		QUEUE	DURATA	;Incepe inregistrarea.
90		SEIZE	SEFATELIER	;Pt.diagnostic & eval.cost.
100		ADVANCE	2,1	;Durata constatarii.
110		RELEASE	SEFATELIER	
120		SEIZE	MEC1	;Demont.motor de pe caroserie.
130		ADVANCE	3,1	;Durata demont. de catre Mec1
140		RELEASE	MEC1	
150		SPLIT	1,ATELMEC	;Trimitere motor la mecanici
160	*Tras.caroserie:			
170		SEIZE	SUD2	;Ajutorul de tinichigiu (sudor)
180		ADVANCE	2,1	;demonteaza usi, capote, aripi.
190		RELEASE	SUD2	
200		SPLIT	1,USI	;La ajutor (Sud2), pt.usi, etc.
210		SEIZE	SUD1	
220		ADVANCE	14,FN\$XPDIS	;Durata suduri corp (cu Sud1)
230	OM1	MATCH	OM2	;Verificare potriviri balamale
240		ADVANCE	8,FN\$XPDIS	;Alte suduri corp (Sud1)
250		RELEASE	SUD1	
260		TRANSFER	,MONCAROS	
270	USI	SEIZE	SUD2	;Traseul usilor demontate:
280		ADVANCE	12,FN\$XPDIS	;Durata suduri usi+capote(Sud2)
290	OM2	MATCH	OM1	;Verific la balamale cu corpul.
300		ADVANCE	9,FN\$XPDIS	;Alte suduri usi (Sud2).
310		RELEASE	SUD2	;Ajutorul tinichigiu a terminat.
320	MONCAROS	ASSEMBLE	2	;Usile cu corpul caroseriei.
330		SEIZE	SUD1	
340		ADVANCE	2	;Mont.la loc caroserie + reglaj
350		RELEASE	SUD1	;usi de catre tinich.principal
360		SEIZE	VOPSITOR	;Secventa de vopsire.
370		ADVANCE	24,3	
380		RELEASE	VOPSITOR	
390		ADVANCE	1	;Transportul il face altcineva.
400		TRANSFER	,MONFINAL	;Pt.asamblare cu motorul.
410	* Traseu motor:			
420	ATELMEC	SEIZE	MEC1	
430		ADVANCE	20,FN\$XPDIS	;Reparatii, facute de Mec1.

440		RELEASE	MEC1	
445	* Reasambl.finala			
450	MONFINAL	ASSEMBLE	2	;Motorul cu caroseria.
460		SEIZE	MEC1	;El face asamblarea.
470		ADVANCE	2	
480		RELEASE	MEC1	
490		TABULATE	TABCLASE	;Timp in sistem, pe clase
500		DEPART	DURATA	;Inchei inreg.timpului
510		TERMINATE	1	;Iesire din sistem.

Exemplele prezentate sunt simple, alese gradual, de la simplu la complex și au desigur un scop didactic. Ele ilustrează utilizarea celor mai importante blocuri și instrucțiuni ale limbajului *GPSS*. Pentru rezolvarea unor probleme practice complexe este necesară consultarea unor decumetații complete privind limbajul [14].

În ultimul capitol vor fi prezentate modele de simulare asemănătoare primelor două de mai sus, dar care sunt implementabile într-un limbaj evoluat; scopul tratării acelor modele va fi acela de a se ilustra cum se face validarea unui model de simulare, ceea ce nu s-a făcut aici, în cazul modelelor implementate în *GPSS*.

Cap. 2

Numere aleatoare

2.1 Noțiuni introductive

Vom aminti mai întâi câteva notiuni de bază. Presupunem că X este o *variabilă aleatoare* și fie $F(x) = P(X < x)$ *funcția sa de repartiție*. Densitatea de repartiție, când aceasta există, este derivata funcției de repartiție, adică $f(x) = F'(x)$. Funcția F satisface proprietățile: $F(-\infty) = 0$, $F(+\infty) = 1$, $F(a) \leq F(b)$ dacă $a < b$. Intre $F(x)$ și $f(x)$ are loc relația

$$F(x) = \int_{-\infty}^x f(u) du.$$

De obicei X reprezintă o caracteristică a unei mulțimi de obiecte care variază aleator de la un obiect la altul; acea mulțime se numește *populație statistică*. Dacă luăm la întâmplare un număr n de obiecte din populație și considerăm valorile X_1, X_2, \dots, X_n ale caracteristicii X ce corespund acestor obiecte spunem că aceste valori determină o *selecție de volum n* asupra lui X . În statistica matematică selecția X_1, X_2, \dots, X_n este considerată ca fiind o mulțime de variabile aleatoare independente și identic repartizate ca și X (aceasta numindu-se *selecție bernouliană*). *Independența* a două variabile aleatoare se definește astfel: X este o variabilă aleatoare *independentă* de Y dacă $P(X < x, Y < y) = P(X < x)P(Y < y)$ sau, dacă notăm $F(x, y) = P(X < x, Y < y)$ funcția de repartiție *comună* a variabilelor X și Y și notăm $F_1(x) = P(X < x)$, $F_2(y) = P(Y < y)$ funcțiile de repartiție *marginale*, ale lui X respectiv

Y , atunci *condiția de independență* se scrie

$$F(x, y) = F_1(x)F_2(y). \quad (2.1)$$

Să observăm că se face distincție între variabila aleatoare X și o valoare x a acesteia (care reprezintă un număr real fixat!).

Valorile efectiv obținute prin procesul de selecție constituie o mulțime de n numere care se spune că reprezintă o realizare a selecției bernuliene. Deoarece fiecare din aceste numere pot să reprezinte oricare valoare a lui X se considera că valorile de selecție (numite și variabile de selecție) sunt independente și identic repartizate ca și X .

Când pentru o variabilă aleatoare X se cunoaște F sau f spunem că se cunoaște *repartiția de probabilitate* sau *repartiția statistică* a lui X . Există multe tipuri de repartiții de probabilitate. Cele mai importante vor fi introduse în acest capitol, dar și în capitolele următoare.

• **Repartiția uniformă.** Una din repartițiile de probabilitate importante, dar care este *naturală*, este *repartiția uniformă pe un interval* $[a, b]$ (vezi [2, 3, 5, 6, 7, 10, 11]) care are densitatea de repartiție de forma

$$g(x) = \begin{cases} k, & \text{daca } x \in [a, b] \\ 0, & \text{in rest} \end{cases}, \quad \int_{-\infty}^{\infty} g(x)dx = 1 \rightarrow k = \frac{1}{b-a}. \quad (2.2)$$

Variabila V având densitatea de repartiție (2.2) se spune că este repartizată *uniform* pe $[a, b]$. Deci toate valorile variabilei V sunt *egal probabile*. Funcția de repartiție corespunzând densității (2.2) este

$$G(x) = \int_{-\infty}^x g(u)du = \begin{cases} 0, & \text{daca } x < a \\ \frac{x-a}{b-a}, & \text{daca } x \in [a, b] \\ 1, & \text{daca } x > b. \end{cases} \quad (2.3)$$

O repartiție uniformă interesantă este repartiția uniformă pe $[0, 1]$ așa cum se va vedea în continuare.

Să notăm cu U variabila aleatoare uniformă pe $[0, 1]$, pe care o vom numi pe scurt variabilă uniformă $0-1$. Densitatea de repartiție și funcția de repartiție a lui U sunt respectiv

$$f(x) = \begin{cases} 1, & \text{daca } x \in [0, 1] \\ 0, & \text{in rest,} \end{cases} \quad F(x) = \begin{cases} 0, & \text{daca } x < 0, \\ x, & \text{daca } x \in [0, 1] \\ 1, & \text{daca } x > 1. \end{cases} \quad (2.4)$$

În Fig. 2.1 se prezintă graficele densităților și funcțiilor de repartiție uniforme f, F, g, G . Graficele densităților uniforme ilustrează intuitiv faptul că valorile variabilelor uniforme sunt *egal probabile*, adică au aceleași șanse de apariție într-un experiment.

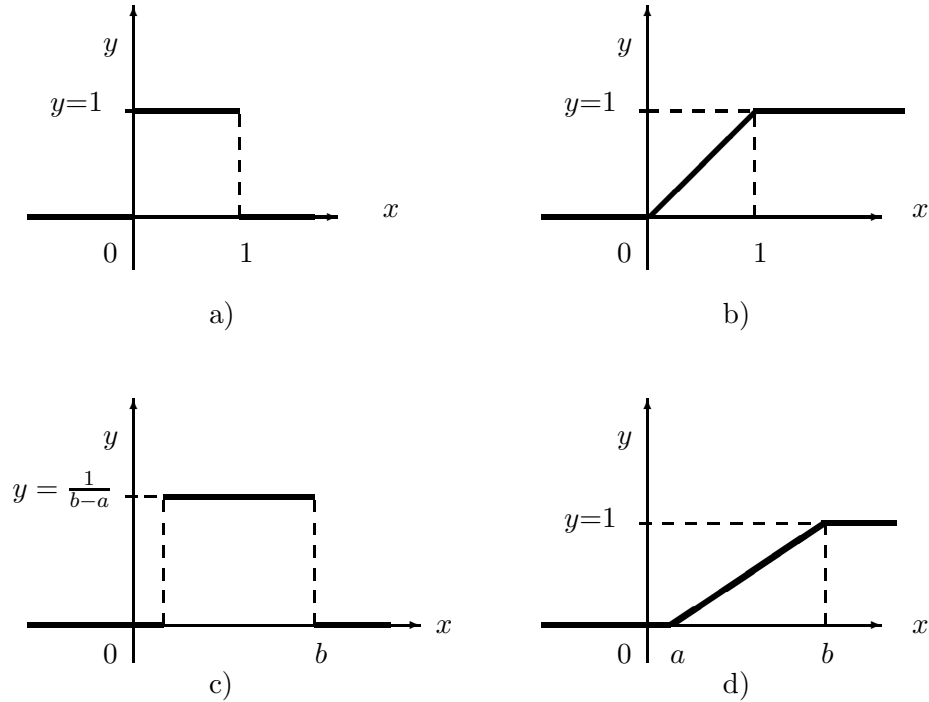


Fig. 2.1. Repartiții uniforme

- a) Densitatea uniformă $0 - 1$
- b) Funcția de repartiție uniformă $0 - 1$
- c) Densitatea uniformă pe $[a, b]$
- d) Funcția de repartiție uniformă pe $[a, b]$

Valorile de selecție asupra variabilelor aleatoare uniforme se numesc [2, 5, 6, 7, 10, 11] *numere aleatoare*. Așa cum se va vedea mai jos, nu este posibil să se producă cu calculatorul, printr-un algoritm, secvențe de numere aleatoare care să fie uniform repartizate pe intervalul $[0, 1]$ și care să fie *independent stochastic*. De aceea numerele produse cu calculatorul, vor fi numite *numere pseudoaleatoare* și ele vor putea fi folosite drept numere aleatoare dacă au

un comportament cât mai aleator (vezi §2.3). Un algoritm care produce un număr aleator (pseudoaleator) se numește *generator* de numere aleatoare (pseudoaleatoare). Iterând un generator se poate obține o selecție (secvență) de numere aleatoare. Când este nevoie de numere aleatoare cu cât mai bune calități se pot aplica metode care combină doi sau mai mulți generatori, rezultând un alt generator care produce secvențe de numere pseudoaleatoare mai bune. În multe aplicații sunt însă suficient de bune numerele produse de generatori simpli, așa cum se va vedea mai jos.

2.2 Necesitatea simulării numerelor aleatoare

Următoarea teoremă [2, 3, 5, 10] stabilește legătura între repartiția uniformă $0 - 1$ și repartiția uniformă pe un interval $[a, b]$ oarecare.

Teorema 2. 1 *Dacă U este o variabilă uniformă $0 - 1$ atunci $V = a + (b - a)U$ este o variabilă uniformă pe $[a, b]$ și reciproc, dacă V este o variabilă aleatoare uniformă pe $[a, b]$ atunci variabila*

$$U = \frac{V - a}{b - a}$$

este uniformă $0 - 1$.

Să vedem acum de ce sunt necesare numerele aleatoare în simulare. Fiind dată o variabilă aleatoare oarecare X , pentru care se cunoaște funcția de repartiție F , este adevărată următoarea propoziție [2, 3, 10] care evidențiază importanța repartiției uniforme $0 - 1$, adică importanța numerelor aleatoare.

Teorema 2. 2 *Variabila aleatoare $F(X)$ este uniformă $0 - 1$ iar dacă notăm cu F^{-1} inversa funcției F atunci $F^{-1}(U)$ are funcția de repartiție F (sau cu alte cuvinte $F^{-1}(U) = X$).*

Demonstrație. Demonstrăm partea a doua a teoremei deoarece aceasta joacă un rol esențial în simulare.

Funcția de repartiție a lui $F^{-1}(U)$ se scrie

$$P(F^{-1}(U) < x) = P(F(F^{-1}(U)) < F(x)) = P(U < F(x)) = F(x).$$

Ultima egalitate rezultă din (2.3) cu $a = 0$ și $b = 1$. Teorema este demonstrată. Ea este cunoscută sub numele de *teorema lui Hincin*.

Din teorema 2 rezultă următoarea consecință practică: dacă am putea produce valorile de selecție U_1, U_2, \dots, U_n asupra lui U și am cunoaște funcția de repartiție F a lui X , atunci am putea produce valorile de selecție X_1, X_2, \dots, X_n asupra lui X cu formula $X_i = F^{-1}(U_i)$, $1 \leq i \leq n$. Dacă funcția F^{-1} se poate calcula cu un algoritm atunci valorile de selecție X_i ar putea fi produse (*generate*) cu calculatorul folosind următorul algoritm

Metoda inversă. (Algoritm)

repetă de n ori următoarele instrucțiuni

generează o valoare de selecție U uniformă $0 - 1$;

calculează $X = F^{-1}(U)$;

Spunem că acest algoritm *simulează o selecție de volum n asupra lui X* . Dar pașii cei mai importanți ai algoritmului sunt ultimii doi pași care produc o valoare de selecție X , căci dacă putem genera numere U uniforme $0 - 1$ și *independente* atunci prin iterare, conform primului pas, am produce valorile selecției de volum n asupra lui X . Din această cauză, pentru simularea diverselor variabile *ne vom concentra asupra problemei simulării unei singure valori de selecție* care să folosească un algoritm astfel încât prin iterare să poată produce selecția care ne interesează.

Revenind la metoda inversă, dacă am putea genera valori de selecție $U_i, 1 \leq i \leq n$ uniforme $0 - 1$ independente, atunci și $X_i = F^{-1}(U_i)$ ar fi independente.

Un algoritm pentru generarea (simularea) unei selecții $U_i, 1 \leq i \leq n$ de variabile uniforme $0 - 1$ va trebui deci să producă în primul rând un număr uniform $0 - 1$, iar prin iterări același algoritm să fie în măsură să producă selecția de volum n ; deci selecția se va produce printr-o relație iterativă de forma $U_{i+1} = g(U_i)$, iar algoritmul trebuie să permită producerea de numere U_i independente stocastic. Valorile de selecție U_i se numesc *numere aleatoare uniforme* sau simplu *numere aleatoare*.

2.3 Metode congruențiale liniare

Fie X o variabilă aleatoare discretă repartizată uniform având repartiția

$$X : \left(\begin{array}{cccc} 1, & 2, & \dots, & m \\ \frac{1}{m}, & \frac{1}{m}, & \dots, & \frac{1}{m} \end{array} \right), m < \infty, \quad (2.5)$$

unde $m \in N^+$. Conform teoremei 2.1, variabila U uniformă $0 - 1$ se poate obține astfel

$$U = \frac{X}{m} \in (0, 1) \quad (2.5')$$

unde în ultima relație împărțirea se execută *in real*.

Valori de selecție asupra variabilei X se pot obține prin relația *congruențială liniară* [2, 5, 6, 7, 10]

$$X_{i+1} \equiv (aX_i + c)(\text{mod } m), \quad (2.6)$$

care spunem că definește *generatorul mixt congruențial liniar* (X_0, a, c, m) unde cele patru constante sunt numere naturale date.

Pentru ca generatorul (2.6) să producă *numere aleatoare*, trebuie alese constantele (X_0, a, c, m) astfel încât să satisfacă condițiile:

1⁰. Numerele X_i să reprezinte o repartiție uniformă de forma (2.5); acest lucru se realizează dacă sirul $\{X_i\}$ are o *perioadă* λ mare adică dacă cel mai mic număr λ pentru care $X_i = X_{i+\lambda}$ are loc pentru un λ cât mai mare. Acest lucru se întâmplă dacă cele patru constante se aleg astfel încât relația (2.6) să producă toate resturile modulo m , adică numerele $0, 1, \dots, m-1$, iar m este mare.

2⁰. Numerele X_i să fie independente stochastic; acest lucru nu este practic posibil deoarece X_{i+1} depinde de X_i conform relației (2.6); este însă posibil ca numerele X_i, X_{i+1} să fie *slab dependente* stochastic. Această condiție înseamnă că numerele respective au un *coeficient serial de corelație* ρ apropiat de 0, ρ definit astfel

$$\rho = \rho_1 = \text{Corr}(X_i, X_{i+1}) = \frac{E[X_i X_{i+1}] - E[X_i]E[X_{i+1}]}{\sqrt{\text{Var}[X_i]\text{Var}[X_{i+1}]}} \quad (2.7)$$

$$\text{Var}[X_i] = E[X_i - E[x_i]]^2 = E[X_i^2] - \{E[X_i]\}^2$$

unde cu $E[Y]$ se notează valoarea medie a variabilei aleatoare Y .

Din motive impuse de aritmetica sistemelor de calcul, *modulul* m se ia de forma $m = p^e$ unde p este un număr prim [10]. Următoarea teoremă [10] precizează condiții pentru alegerea constantei a care definește generatorul (2.6).

Teorema 2.3 *Perioada maximă a generatorului (2.6) este $\lambda = p^e$ dacă și numai dacă*

$$\begin{aligned} a &\equiv 1(\text{mod } p) \quad \text{cand } p > 2 \\ a &\equiv 1(\text{mod } 4) \quad \text{cand } p = 2, \quad 1 < a < p. \end{aligned} \quad (2.8)$$

O valoare a lui a poate fi $a = p^k + 1$, $2 \leq k \leq e$. Alegerea lui a folosind numai această teoremă poate însă să producă un șir de întregi $X_0, X_1, \dots, X_{\lambda-1}$ care să nu fie aleator; acest șir care conține sigur numărul 0, poate să conțină subșiruri de lungime mare care să fie sau crescătoare, sau descrescătoare, sau să prezinte o periodicitate mare. Presupunând că $X_0 = 0$ (ceea ce este desigur permis) se observă că șirul $\{X_n\}$ este de forma

$$X_n = \frac{(a^n - 1)c}{b} \pmod{m}, \quad b = a - 1. \quad (2.6')$$

Dacă în relația precedentă luăm $a = b + 1$ atunci (2.6') devine

$$X_n \equiv c(n + C_n^2 b + \dots + C_n^s b^{s-1}) \pmod{m} \quad (2.6'')$$

unde s este cel mai mic număr natural care satisface relația

$$b^s \equiv 0 \pmod{m}. \quad (2.6''')$$

Numărul s se numește *potența* generatorului mixt congruențial. Din relația (2.6'') rezultă că X_n este de forma unui polinom în b modulo m și deci generatorul este cu atât mai bun cu cât potența sa s este mai mare. S-a constatat că din punct de vedere practic, potența trebuie să fie cel puțin 5.

Un caz interesant este acela când $m = 2^e$ unde e este apropiat de *cuvântul* calculatorului pe care se implementează generatorul (2.6). În acest caz se arată că o alegere bună a lui a este de forma $a = 2^{f_1} + 2^{f_2} + \dots + 1$, $f_1 > f_2 > \dots$. Deci un generator pentru care m și a satisfac condițiile teoremei 3 generează un șir de numere aleatoare întregi de perioada λ mare și care nu prezintă *regularități* (nu conțin subșiruri periodice de lungimi mari sau subșiruri cu monotonii periodice). Constanta c poate fi deocamdată arbitrar aleasă.

Să vedem acum cum putem alege constantele generatorului (2.6) astfel încât ρ să fie suficient de mic.

Numerele produse de (2.6) au o repartiție de forma (2.5) în care valorile lui X sunt $0, 1, \dots, m-1$. Deci în acest caz avem [10]

$$E[X] = \frac{\sum_{x=0}^{m-1} x}{m}, \quad Var[X] = \frac{\sum_{x=0}^{m-1} x^2}{m} - \{E[X]\}^2$$

$$\rho_1 = \rho = \frac{m \sum_{x=0}^{m-1} x s(x) - \left(\sum_{x=0}^{m-1} x \right)^2}{m \sum_{x=0}^{m-1} x^2 - \left(\sum_{x=0}^{m-1} x \right)^2}, \quad s(x) = (ax + c) \pmod{m}.$$

Evaluarea lui ρ se face cu dificultate. Se arată că

$$\rho \approx \frac{1}{a} \left(1 - 6 \left(\frac{c}{m} \right) + 6 \left(\frac{c}{m} \right)^2 \right) \pm \epsilon, \quad \epsilon \approx \frac{a}{m}. \quad (2.9)$$

O valoare conciliantă a lui a , care să asigure o valoare mică a lui ρ este $a \approx \sqrt{m}$ iar din condiția $\rho \approx 0$ se deduce că c/m trebuie să satisfacă ecuația

$$1 - 6x + 6x^2 = 0 \quad \text{adica} \quad \frac{c}{m} = \frac{1}{2} - \frac{1}{6}\sqrt{3} = 0.211324865. \quad (2.10)$$

Ultima relație dă o **condiție pentru alegerea lui c** .

Notând $\rho_k = \text{Corr}(X_i, X_{i+k})$, se arată că $\rho_k \leq \rho_1$, $k > 1$, ceea ce asigură o dependență slabă a numerelor *depărtate* din secvența X_1, X_2, \dots

În concluzie pentru ca generatorul (2.6) să fie bun trebuie să alegem un modul m cât mai mare, să selectăm un a astfel încât să satisfacă teorema 3 împreună cu o potență mai mare decât 5 și să ia o valoare apropiată de \sqrt{m} , iar c să satisfacă (2.10). Numărul *de start* X_0 , care se mai numește și *sămânța* generatorului poate fi orice număr natural mai mic decât m .

Pentru a produce un număr aleator întreg X , generatorul (2.6) necesită deci efectuarea unei înmulțiri și a unei adunări și apoi calcularea restului modulo m . Dacă am alege $c = 0$ atunci am obține *generatorul multiplicativ congruențial* $(X_0, a, 0, m)$ care are avantajul că necesită numai operația de înmulțire el fiind deci de forma

$$X_{n+1} \equiv (aX_n)(\text{mod } m). \quad (2.11)$$

În acest caz X_0 *trebuie să fie neapărat pozitiv* căci altfel sirul produs de (2.11) ar avea toate elementele egale cu zero deci nu ar fi un sir de numere aleatoare uniforme întregi. Condiția de *perioadă maximă* se modifică și ea și într-un caz interesant din punct de vedere practic se exprimă prin teorema următoare.

Teorema 2. 4 *Perioada maximă a generatorului $(X_0, a, 0, m)$ se obține când:*

- (i) X_0 este un întreg pozitiv prim cu m ;
- (ii) a este rădăcină primitivă modulo m , și dacă $p_i, 1 \leq i \leq t$ sunt numere prime atunci perioada este

$$\begin{aligned} \lambda(2^e) &= 2^{e-2}, \quad \text{daca } e \geq 3, \\ \lambda(p^e) &= p^{e-1}(p-1), \quad \text{daca } p > 2, \\ \lambda(p_1^{e_1} \dots p_t^{e_t}) &= \text{cmmmmc}(\lambda(p_1^{e_1}) \dots \lambda(p_t^{e_t})). \end{aligned} \quad (2.12)$$

Desigur, generatorul recomandabil este cel de forma (2.11) deoarece necesită numai o operație de înmulțire. Există însă și alți generatori de numere aleatoare întregi. Enumerăm în continuare câțiva.

2.4 Alți generatori de numere uniforme

Există multe idei ce se folosesc pentru simularea de numere aleatoare uniforme $0-1$. Uneori sunt necesari generatori cu *calități* statistice foarte bune; acești generatori au de regulă complexitate de calcul mare și necesită utilizarea de calculatoare cu putere de calcul mare mai ales privind efectuarea calculelor aritmetice (calculatoare cu *cuvânt mare!*). Alteori însă sunt necesari generatori mai puțin performanți, care produc numere **pseudo-aleatoare** cu proprietăți statistice mai sărace; de exemplu, numere U_i care sunt aproximativ independente stochastice și repartizate numai *aproape* uniform.

Există un adevărat arsenal de **teste statistice** [6, 10] cu care se verifică proprietățile statistice ale secvențelor de numere aleatoare (uniformitatea repartiției, independența stochastică a numerelor succesiv generate, non-periodicitatea secvențelor, etc.). Printre acestea, un loc important îl ocupă *testele de concordanță* care verifică ipoteza că numerele aleatoare $U \in [0, 1]$, produse cu un generator, sunt uniform repartizate pe acel interval; asemenea teste sunt *testele de tip Kolmogorov-Smirnov* și *testul general χ^2 de concordanță*. Există, de asemenea, multe teste care se referă la caracterul aleator. Nu vom prezenta detalii privind aceste teste (Vezi de ex. § 3.7). Cititorul interesat în aprofundarea acestei probleme poate consulta de exemplu [10]. Precizăm numai faptul constatat experimental că generatorii care produc secvențe de perioade λ mari, au de regulă, proprietăți statistice corespunzătoare.

În cele ce urmează prezentăm câțiva generatori de numere aleatoare care sunt, de regulă, implementați în limbajele de programare evaluate. Aproape orice astfel de limbaj are o funcție (sau procedură) care, prin apelări succesive, produce secvențe de numere pseudoaleatoare de bună calitate. (De ex. în Pascal și C este funcția *random* a cărei sămânță este inițializată standard la implementare sau care poate fi reinițializată prin *randomize* de către utilizator). Fără să insistăm asupra detaliilor privind calitatea generatorilor și implementarea lor efectivă, în cele ce urmează vom trece în revistă câteva metode ce se utilizează în construcția practică a unor astfel de generatori (problemă care constituie mai degrabă o *temă de cercetare științifică*).

• **Generatorul aditiv congruențial, sau Fibonacci decalat** notat $(k; X_0, X_1, \dots, X_k; j; m)$ și bazat pe relația

$$X_n = (X_{n-j} - X_{n-k})(\text{mod } m) \quad (2.13)$$

iar o alegere bună a constantelor este $j = 24$, $k = 55$, $m = 2^e$, $e \geq 31$ care asigură o perioadă $\lambda \geq 2^{55} - 1$.

• **Generatorul congruențial inversiv** notat $(X_0, a, c, m)^{-1}$ cu m -prim, definit de relația

$$X_n = (aX_{n-1}^{-1} + c)(\text{mod } m) \quad (2.14)$$

unde X_i^{-1} este *inversul* ($\text{mod } m$) al lui X_i în raport cu operația de înmulțire a claselor de resturi, când acesta există sau este zero altfel. (Dacă m -prim și $X_i \neq 0$ atunci inversul există!).

• **Generatorul matricial congruențial** care este de forma

$$\mathbf{X}_n = (A\mathbf{X}_{n-1} + C)(\text{mod } m) \quad (2.15)$$

unde \mathbf{X}_n, C sunt vectori d -dimensionali iar A este matrice $d \times d$. Înmulțirea matriceală va produce vectori \mathbf{X}_n cu componente corelate. Acest tip de generatori se utilizează pe calculatoare paralele.

• **Generatori bazați pe registre de deplasare** care utilizează *reprezentarea binară* a numerelor întregi în calculator. Dacă notăm cu $a_i, 1 \leq i \leq p$ cifrele binare ale lui x_{n-1} și considerăm cifrele c_i nu toate egale cu zero, atunci generarea cifrelor a_i ale lui X_n se realizează prin relația

$$a_i = (c_p a_{i-p} + c_{p-1} a_{i-p+1} + \dots + c_1 a_{i-1})(\text{mod } 2). \quad (2.16)$$

În practică se folosește forma mai simplă

$$a_i = (a_{i-p} + a_{i-p+q})(\text{mod } 2), \quad p > q > 0 \quad (2.16')$$

sau dacă notăm \oplus operația binară *or-exclusiv* ca suma de biți modulo 2 atunci relația precedentă devine

$$a_i = a_{i-p} \oplus a_{i-p+q}. \quad (2.16'')$$

Să observăm că relația de recurență referitoare la biții a_i este aceeași cu relația de recurență a numerelor aleatoare X_i interpretate ca p -tupluri de biți, adică

$$X_n = X_{n-p} \oplus X_{n-p+q}. \quad (2.17)$$

Un generator bun este de exemplu generatorul $X_n = X_{n-3p} \oplus X_{n-3q}$, $p = 521$, $q = 32$, care are o perioadă $\lambda = 2^{521-1}$. Formula (2.17) se poate extinde matricial sub forma

$$\mathbf{X}_n = \mathbf{X}_{n-p} \oplus \mathbf{X}_{n-p+q}. \quad (2.17')$$

• **Amestecarea de generatori** se obține astfel: Să presupunem că se dau doi generatori G_1, G_2 și folosim o tabelă $T[1..k]$, (de ex $k = 64$ sau $k = 128$). Algoritmul de amestecare a celor doi generatori este

Inițializăm $T[i] = U_i$ cu numere U_i produse cu G_1 ;
 Generăm cu G_2 un indice aleator $j \in \{1, 2, \dots, k\}$;
 Luăm $Y := T[j]$; Generăm U cu G_1 și luăm $T[j] := U$.

Generarea indicelui aleator j , care este un intreg uniform repartizat cu valori în $\{1, 2, \dots, k\}$ se face astfel

Generează U cu G_2 ;
 Ia $j = \text{trunc}(U \times k) + 1$.

Generatorul G rezultat din amestecare este *mai aleator* decât părinții săi G_1, G_2 , iar perioadele satisfac relația: $\lambda(G) = \text{cmmc}(\lambda(G_1), \lambda(G_2))$.

• În final, prezentăm câteva **exemple concrete** de generatori:

1. Generatorul $(X_0, 125, 0, 2796203)$;
2. Generatorul $(x_0, 16807, 0, 2^{31} - 1)$;
3. Generatorul de numere uniforme U_i obținute astfel:

$$X_i = 171X_{i-1}(\text{mod } 30269), Y_i = 172Y_{i-1}(\text{mod } 30307),$$

$$Z_i = 170Z_{i-1}(\text{mod } 30323), U_i = \left(\frac{X_i}{30269} + \frac{Y_i}{30307} + \frac{Z_i}{30323} \right) (\text{mod } 1).$$

Primii doi generatori sunt multiplicativ-congruențiali și satisfac condițiile precizate anterior. Pentru cel de-al treilea se presupune date *semințele* (X_0, Y_0, Z_0) ce corespund la trei generatori multiplicativ-congruențiali și se arată că U_i au perioada de ordinul 10^{12} .

În cele ce urmează vom presupune că dispunem de un generator de numere aleatoare uniforme $0 - 1$, reprezentat generic de funcția *random*.

Exerciții.

E2.1 Demonstrați (2.6') și (2.6'') pentru generatorul mixt congruențial.

E2.2 Fie $\mathbf{V} = (V_1, V_2, \dots, V_k)'$ un vector aleator uniform pe intervalul $I = [a_1, b_1] \times [a_2, b_2] \times \dots \times [a_k, b_k]$, $-\infty < a_i < b_i < \infty, 1 \leq i \leq k$. Să se arate că V_i sunt variabile aleatoare uniforme pe $[a_i, b_i]$ și independente stochastic. Reciproca este de asemenea adevărată.

Indicație: Se consideră densitățile de repartiție ale lui \mathbf{V} și V_i , adică

$$f(\mathbf{v}) = \begin{cases} \frac{1}{\prod_{i=1}^k (b_i - a_i)}, & \text{daca } \mathbf{v} \in I \\ 0, & \text{in rest} \end{cases}, \quad f_i(v_i) = \begin{cases} \frac{1}{b_i - a_i}, & \text{daca } v_i \in [a_i, b_i] \\ 0, & \text{in rest} \end{cases}$$

și se observă că $f(\mathbf{v}) = \prod_{i=1}^k f_i(v_i)$.

E2.3 Arătați că dacă U este uniform $0 - 1$ atunci $V = a + (b - a)U$, cu $-\infty < a < b < +\infty$ este uniform pe $[a, b]$ și reciproc.

Indicație: Folosind funcția de repartiție F a lui U dată de (2.4), se arată că funcția de repartiție a lui V este G dată de (2.3) și invers.

E2.4 Să se arate că dacă U este o variabilă uniformă $0 - 1$ atunci și $1 - U$ este o variabilă repartizată uniform pe $[0, 1]$.

Indicație: se arată că $P(1 - U < x) = x$, $x \in [0, 1]$.

E2.5 Folosind metoda de simulare a *indicelei aleator* j descrisă în ultima secțiune precizați în ce condiții metoda poate fi folosită la simularea *aruncării cu zarul*, la simularea *tragerii la sorți*, sau la simularea unui semn aleator?

Indicație: La aruncarea cu zarul se ia $k = 6$, iar la tragerea la sorți se ia $k = 2$.

Simularea semnului aleator se realizează cu instrucțiunea:

if $U \leq 0.5$ **then** $semn := 1$ **else** $semn := -1$;

Observație: pentru o variabilă aleatoare X continuă (care are densitate de repartiție), avem $P(X = x) = 0$, deci în particular $P(U = u) = 0$, ceea ce înseamnă că semnul \leq poate fi înlocuit cu semnul \geq în cadrul instrucțiunii **if** precedente.

E2.6 Fie $(U, V)'$ un vector aleator uniform pe $[0, 1] \times [0, 1]$, unde U este independent de V . Să se calculeze $P(U + V < x)$, $x \in \mathbb{R}$.

Indicație. În general avem $P(U + V < x) = \int_D dudv$, $D = \{(u, v) | u + v < x\}$. Pornind de aici și calculând ariile unor triunghiuri obținem $P(U + V < x) = x^2/2$, dacă $0 \leq x \leq 1$; $P(U + V < x) = 1 - (2 - x)^2/2$, dacă $1 \leq x \leq 2$; $P(U + V < x) = 0$, dacă $x < 0$, $P(U + V < x) = 1$, dacă $x > 2$.

E2.7 Precizați cum se generează un indice aleator $i \in \{r, r + 1, \dots, s\}$ unde $r, s \in \mathcal{N}$ (adică r, s sunt numere naturale).

Indicație. Simularea se realizează cu instrucțiunea: $i = r + \text{trunc}[(s - r) \times U] + 1$, asemănător exercițiului 5.

E2.8 Construiți un generator de numere U uniforme pe $[0, 1]$ utilizând amestecarea a trei generatori G_1, G_2, G_3 .

Soluție. Se va folosi o idee asemănătoare aceleia care a condus la amestecarea a doi generatori G_1, G_2 , descrisă în ultimul algoritm de mai sus. Să considerăm un vector $L[1..m]$ în care se vor memora numere uniforme U generate cu G_1 . Să considerăm un alt vector cu valori întregi $L1[1..k]$ ale cărui valori sunt numere întregi $L1[j] \in \{1, 2, \dots, m\}$, $1 \leq j \leq k$. Algoritmul obținut prin amestecarea celor trei generatori este următorul:

Pasul 0. Incarcă vectorul L cu secvența de numere aleatoare U_1, U_2, \dots, U_m , uniforme pe $[0, 1]$, generate cu G_1 ; incarcă de asemenea vectorul $L1$

cu secvența de numere întregi j_1, j_2, \dots, j_k din $\{1, 2, \dots, m\}$, generate cu G_2 ;

Pasul 1. Generează cu G_3 un indice aleator j din mulțimea $\{1, 2, \dots, k\}$; ia $i := L1[j]$; generează cu G_2 un indice aleator i_1 în $\{1, 2, \dots, m\}$ și ia $L1[j] := i_1$;

Pasul 2. Ia $U := L[i]$; generează cu G_1 un număr aleator U_1 uniform pe $[0, 1]$ și ia $L[i] := U_1$.

Numărul aleator pe $[0, 1]$ nou generat este numărul U și el este obținut prin amestecarea generatorilor G_1, G_2, G_3 . Este de așteptat ca numerele U produse de acest algoritm să aibă proprietăți de *aleatorism* mai bune decât numerele ce s-ar produce cu fiecare generator în parte. Printre altele se arată că dacă λ_i este perioada generatorului $G_i, i = 1, 2, 3$, atunci perioada generatorului dat de algoritmul precedent este $\lambda = cmmmc(\lambda_1, \lambda_2, \lambda_3)$ care poate fi (dacă alegem convenabil generatorii G_i) mai mare decât cel mai mare din λ_i .

Dacă este necesar să se producă o secvență U_1, U_2, \dots, U_n atunci se execută o singură dată pasul 0 și se repetă de n ori pașii 1 și 2 ai algoritmului.

Cap. 3

Simularea variabilelor neuniforme

Teorema 2.2 din capitolul precedent ne spune că cel puțin teoretic, putem simula orice variabilă aleatoare X dacă cunoaștem funcția sa de repartiție F și putem calcula ușor și fără erori funcția inversă F^{-1} . Pornind de la acest fapt, precum și de la alte considerente ce vor fi menționate la locul potrivit, în literatura de specialitate s-au construit diverse metode, atât *generale* cât și *particulare*, pentru simularea diverselor tipuri de repartiții de probabilitate ne uniforme. Schema generală a acestor metode este de tipul următor: se presupun cunoscute metode de simularea unor variabile aleatoare *simple* S_1, S_2, \dots, S_n și se caută un algoritm (adică metoda!) care să transforme aceste variabile în variabila X care trebuie generată. (În particular de exemplu, variabila *simplă* U se transformă în variabila $X = F^{-1}(U)$).

În cele ce urmează vom prezenta mai întâi câteva metode generale de simularea variabilelor aleatoare neuniforme. Toate aceste metode presupun simularea unor variabile aleatoare simple (cele mai simple sunt cele uniforme), iar prin transformarea/combinarea acestora se obțin variabilele dorite.

3.1 Metoda inversă

Această metodă a fost deja introdusă ca o consecință directă a teoremei lui Hincin. Ea se aplică, așa cum s-a precizat, în cazul în care funcția de repartiție se poate inversa ușor. Dacă funcția de repartiție nu se inversează ușor, atunci ea se poate aproxima (pe intervale convenabil alese) cu o funcție

liniară pe porțiuni, *cozile* fiind approximate cu *exponențiale* convenabil alese. In tabela următoare se prezintă câteva repartiții de probabilitate *ce se pot simula ușor cu metoda inversă* (vezi și [10]).

Repartiția	Densitatea f	Inversa F^{-1}
$Exp(\lambda), \lambda > 0$	$f(x) = \lambda e^{-\lambda x}, x > 0$	$x = -\frac{1}{\lambda} \ln(u)$
$Weib(0, 1, \nu), \nu > 0$	$f(x) = \nu x^{\nu-1} e^{-x^\nu}$	$x = (-\ln(u))^{1/\nu}$
$Cauchy$	$f(x) = \frac{1}{\pi} \frac{1}{1+x^2}, x \in R$	$x = \tan \pi(u - \frac{1}{2})$
$PearsonXI, \alpha \in R, \nu > 0$	$f(x) = \frac{\nu^\alpha}{(1+\alpha x)^{\nu+1}}, x > 0$	$x = \frac{1}{u^{1/\nu}}$
$Arcsin$	$f(x) = \frac{1}{\pi} \frac{1}{\sqrt{1-x^2}}, x \in [-1, 1]$	$x = \sin \pi(u - \frac{1}{2})$
$Logistica$	$f(x) = \frac{e^{-x}}{(1+e^{-x})^2}, x \in R$	$x = \log \left(\frac{1-u}{u} \right)$

Tabelul 3.1. Metoda inversă

In formulele lui f din tabel se precizează numai valorile lui x pentru care $f(x) > 0$, presupunându-se că $f(x) = 0$ in rest.

In ultima coloană se scrie direct formula cu care se simulează variabila aleatoare X , deoarece se ține cont de exercițiul 4 din capitolul 2 (s-a înlocuit $1-u$ cu u [10], economisindu-se in acest fel o operație de scădere). Inlocuirea lui $1-u$ cu u se va face ori de câte ori se va ivi ocazia, dacă este posibil.

Folosind *metoda inversă* se poate construi ușor un algoritm pentru simularea variabilei discrete

$$X : \begin{pmatrix} a_1, & a_2, & \dots, & a_m \\ p_1, & p_2, & \dots, & p_m \end{pmatrix}, \sum_{i=1}^m p_i = 1. \quad (3.1)$$

Pentru simularea variabilei aleatoare X calculăm mai întâi valorile funcției de repartiție a acesteia. Avem

$$F(x) = \begin{cases} 0, & \text{daca } x < a_1 \\ p_1, & \text{daca } a_1 \leq x < a_2 \\ p_1 + p_2, & \text{daca } a_2 \leq x < a_3 \\ \dots\dots\dots \\ p_1 + p_2 + \dots + p_k, & \text{daca } a_k \leq x < a_{k+1} \\ \dots\dots\dots \\ 1 & \text{daca } a_m \leq x. \end{cases} \quad (3.2)$$

Algoritmul pentru simularea lui X constă deci in găsirea lui a_i a.î. $F(a_i) = U$ si este următorul:

Algoritmul SIMDISCRV [10]

Intrare tabela $T[1..m], T[i] := \sum_{j=1}^i p_j$; Intrare $a[1..m]$;
 Generează U uniform $0 - 1$; (cu $U := \text{random}$);
 $i := 1$; **while** $U > F[i]$ **do** $i := i + 1$;
 Ia $X := a[i]$.

3.2 Metoda compunerii sau amestecării

Această metodă se aplică variabilelor aleatoare X a căror repartiție de probabilitate satisface următoarea definiție [2, 3, 10]:

Definiția 3. 1 *Funcția de repartiție $F(x)$ este o amestecare (sau compunere sau mixtură) discretă a mulțimii de funcții de repartiție $\{F_i(x)\}_{1 \leq i \leq m}$ cu repartiția discretă*

$$J : \begin{pmatrix} 1, & 2, & \dots, & m \\ p_1, & p_2, & \dots, & p_m \end{pmatrix}, \sum_{i=1}^m p_i = 1, \quad (3.3)$$

dacă

$$F(x) = \sum_{i=1}^m p_i F_i(x). \quad (3.4)$$

Funcția de repartiție $F(x)$ este o amestecare continuă a familiei de funcții de repartiție $\{G(x, Y)\}_{Y \in R}$, cu funcția de repartiție continuă $H(y)$ a lui Y dacă ea este de forma

$$F(x) = \int_R G(x, y) dH(y) \quad (3.5)$$

ultima integrală fiind integrala Stieltjes.

Dacă notăm cu X variabila aleatoare care are funcția de repartiție $F(x)$ și cu X_i variabila aleatoare care are funcția de repartiție $F_i(x)$ atunci amestecarea discretă poate fi interpretată astfel

$$X = X_i \quad \text{cu probabilitatea } p_i$$

de unde rezultă următorul algoritm pentru simularea lui X

Algoritmul COMPDISCR

Generează un indice j având repartiția (3.3);
 Generează X_j având funcția de repartiție $F_j(x)$;
 Ia $X := X_j$.

O interpretare analogă are și amestecarea continuă, de unde se deduce următorul algoritm de simulare a variabilei aleatoare $X \rightsquigarrow F(x)$

Algoritmul COMPCONT

Generează variabila Y care are funcția de repartiție $H(y)$;

Generează variabila aleatoare Z_Y care are funcția de repartiție $G(x, Y)$;

Ia $X := Z_Y$.

Desigur, în algoritmii precedenți se presupun cunoscute metode de generare a variabilelor aleatoare J, X_i, Y, Z_Y . Dacă în definiția compunerii se consideră în loc de funcții de repartiție, densități de repartiție atunci formulele (3.4) și (3.5) se scriu respectiv [10,11]

$$f(x) = \sum_{i=1}^m p_i f_i(x) \quad (3.4')$$

$$f(x) = \int_R g(x, y) h(y) dy. \quad (3.5')$$

Exemplul 3.1, [10]. Presupunem că la o stație de benzină sosesc m tipuri de autoturisme și se cunoaște $p_i =$ probabilitatea să sosească un autoturism de tipul $i, 1 \leq i \leq m$. Presupunem că timpul X_i de intersosire al autoturismelor de tip i are repartiția $Exp(\lambda_i)$ adică *exponențială negativă de parametru λ_i* . Atunci timpul de intersosire X al autoturismelor oarecare (amestecate!) are o repartiție *mixtexponențială* (sau amestecat exponențială) adică este o amestecare discretă cu densitatea

$$f(x) = \begin{cases} 0, & \text{daca } x < 0 \\ \sum_{i=1}^m p_i \lambda_i e^{-\lambda_i x_i}, & \text{daca } x \geq 0. \end{cases}$$

Deci simularea unui timp de intersosire a două autoturisme oarecare se va face cu algoritmul **COMPDISCR**.

Exemplul 3.1'. Fie X variabila având repartiția *Laplace*(λ) [5] a cărei densitate este

$$f(x) = \frac{\lambda}{2} e^{-\lambda|x|}, \quad x \in R, \quad \lambda > 0.$$

Se observă că

$$f(x) = p_1 f_1(x) + p_2 f_2(x), \quad p_1 = p_2 = \frac{1}{2} = 0.5$$

$$f_1(x) = \begin{cases} \lambda e^{\lambda x}, & \text{daca } x \leq 0 \\ 0, & \text{daca } x > 0 \end{cases}, \quad f_2(x) = \begin{cases} 0, & \text{daca } x \leq 0, \\ \lambda e^{-\lambda x}, & \text{daca } x > 0. \end{cases}$$

Algoritmul de compunere pentru simularea lui X este

Algoritmul LAPCOMP pentru simularea variabilei Laplace

Generează $U \rightsquigarrow \text{uniform } 0 - 1$;

if $U \leq 0.5$ **then** $s := -1$ **else** $s := 1$; ($s = \text{semn aleator}$);

Generează $Y \rightsquigarrow \text{Exp}(\lambda)$; **ia** $X := sY$.

Simularea variabilei $\text{Laplace}(\lambda)$ se poate face ușor și cu metoda inversă.

Exemplul 3.2. Durata în funcționare $X, X > 0$ a unui aparat (de ex. computer) este exponențială de parametru $\eta\lambda$ unde $\lambda > 0$ este un parametru determinat de producător (în laborator!) iar η este un parametru aleator care indică influența mediului în care este exploatat calculatorul. Presupunând că repartiția de probabilitate a lui η este de tip $\text{Gamma}(0, b, a)$ adică are densitatea

$$h(\eta) = \begin{cases} 0, & \text{daca } x < 0 \\ \frac{b^a}{\Gamma(a)} \eta^{a-1} e^{-b\eta}, & \end{cases} \quad (3.6)$$

să se determine densitatea de repartiție a lui X .

Se observă [5,7] că este vorba de o amestecare continuă a cărei densitate este de forma (3.5') adică pentru $x \geq 0$ avem

$$\begin{aligned} f(x) &= \int_0^\infty \eta \lambda e^{-\lambda \eta x} \frac{b^a}{\Gamma(a)} \eta^{a-1} e^{-b\eta} d\eta = \frac{\lambda b^a}{\Gamma(a)} \int_0^\infty \eta^a e^{-\eta(\lambda x + b)} d\eta = \\ &= \frac{\lambda b^a \Gamma(a+1)}{\Gamma(a)(\lambda x + b)^{a+1}} = \frac{\lambda a}{b} \frac{b^{a+1}}{(\lambda x + b)^{a+1}} = \frac{a\theta}{(\theta x + 1)^{a+1}}, \theta = \frac{\lambda}{b}. \end{aligned}$$

Deci în final densitatea lui X este

$$f(x) = \begin{cases} 0, & \text{daca } x < 0 \\ \frac{a\theta}{(\theta x + 1)^{a+1}}, & \text{daca } x \geq 0, \quad \theta = \frac{\lambda}{b}. \end{cases} \quad (3.7)$$

În calculele de mai sus s-a folosit următoarea formulă

$$\frac{\Gamma(\nu)}{a^\nu} = \int_0^\infty x^{\nu-1} e^{-ax} dx. \quad (3.8)$$

Repartiția a cărei densitate este de forma (3.7) se numește repartiție *Lomax* și dându-se parametrii pozitivi λ, a, b simularea ei se realizează cu algoritmul **COMPCONT** cu condiția de a cunoaște un algoritm de simulare a variabilei $\text{Gamma}(0, b, a)$.

Exemplele de mai sus ilustrează două cazuri particulare când se poate aplica metoda compunerii. Totuși următoarea teoremă ne asigură că metoda compunerii discrete se poate aplica în general.

Teorema 3.1 Fie X o variabilă aleatoare care are densitatea $f(x), x \in \Delta, (\Delta \subseteq R)$ și să considerăm o diviziune a lui Δ adică $\Delta = \cup_{i=1}^m \Delta_i, \Delta_i \cap \Delta_j = \emptyset, \forall i \neq j$. Presupunând că $p_i = P(X \in \Delta_i) > 0$, există densitățile $f_i(x)$, nule pentru $x \notin \Delta_i$ astfel încât

$$f(x) = \sum_{i=1}^m p_i f_i(x). \quad (3.9)$$

Demonstrație [10]. Deoarece $p_i = \int_{\Delta_i} f(x)dx$ rezultă că putem defini densitățile de repartiție

$$f_i(x) = \begin{cases} \frac{f(x)}{p_i}, & \text{daca } x \in \Delta_i, \\ 0, & \text{daca } x \notin \Delta_i. \end{cases} \quad (3.9')$$

Fie un $x \in \Delta$, oarecare pentru care $f(x) \neq 0$. Atunci există un $i, 1 \leq i \leq m$ astfel încât $x \in \Delta_i$. Prin verificare directă se deduce că

$$f(x) = p_i f_i(x) = \frac{f(x)}{p_i} p_i = \sum_{j=1}^m p_j f_j(x), \text{ (caci } f_j(x) = 0, \forall j \neq i)$$

și teorema este demonstrată.

Metoda compunerii poate fi aplicată în combinație cu metoda inversă (de ex. pentru simularea variabilelor X_i din exemplul 3.1) așa cum se va vedea în multe cazuri ce vor fi tratate în continuare. Ea poate fi aplicată și în combinație cu metoda respingerii ce va fi tratată în continuare.

3.3 Metoda respingerii

Această metodă (denumită în mod *pesimistic* ca metodă a respingerii), ar putea fi denumită și metoda *acceptării-respingerii*. Ea are forma generală următoare dacă ne referim la simularea unei variabile aleatoare X .

Presupunem că se cunosc următoarele elemente [10]:

- Se cunoaște un procedeu de simulare a unei variabile aleatoare N care ia valori naturale pozitive;
- Se cunosc metode pentru simularea unor variabile aleatoare $S_i \in \mathcal{S}, i \geq 1$, unde \mathcal{S} este o familie de variabile aleatoare dată;
- Se cunoaște un predicat $\mathcal{P}(S_1, S_2, \dots, S_n)$ care se poate calcula $\forall S_i, n$; (Acest predicat sau condiție trebuie să poată fi evaluat fără calcule de mare complexitate!);

- Se cunoaște funcția Ψ astfel încât $X = \Psi(\{S_1, S_2, \dots, S_n\})$,
 $\mathcal{P}(S_1, S_2, \dots, S_n) = \text{true}$.

Când pentru o variabilă aleatoare X este posibil să se construiască cele patru elemente cu proprietățile precizate anterior, atunci se poate construi un algoritm pentru simularea lui X sub forma generală următoare:

ALGRES=Algorithm General de Respingere

repeat

Simulează o valoare n a lui N ;

Simulează valorile de selecție S_1, S_2, \dots, S_n din S ;

until $\mathcal{P}(S_1, S_2, \dots, S_n) = \text{true}$;

Ia $X = \Psi(S_1, S_2, \dots, S_n)$.

Să observăm că dacă $\mathcal{P}(S_1, S_2, \dots, S_n) = \text{false}$ atunci mulțimea de variabile aleatoare $\{S_1, S_2, \dots, S_n\}$ se respinge, de unde provine și numele de *metodă de respingere*. În aceeași ordine de idei, se observă că dacă $p_a = P(\mathcal{P}(S_1, S_2, \dots, S_n) = \text{true})$, numită *probabilitate de acceptare*, este mare (apropiată de 1), atunci algoritmul este *bun*; în caz contrar algoritmul este *lent*.

Vom prezenta în continuare câteva propoziții care fundamentează algoritmi de respingere pentru simularea unor variabile aleatoare [2,10].

Teorema 3. 2 *Fie dată o variabilă aleatoare X care are densitatea de repartiție $f(x), x \in R$, pe care dorim să o simulăm. Fie Y o altă variabilă aleatoare ce știm să o simulăm și a cărei densitate de repartiție este $h(x)$ astfel încât densitățile f, h au același suport S (adică iau valori diferite de zero pe aceeași mulțime $S \subset R$). Presupunem că există o constantă $\alpha, 0 < \alpha < \infty$, astfel încât $f(x) \leq \alpha h(x), \forall x \in S$. În aceste condiții dacă U este o variabilă uniformă $0 - 1$ independentă de Y , atunci densitatea de repartiție a variabilei Y , condiționată de $0 \leq U \leq f(Y)/(\alpha h(Y))$ este f .*

Demonstrație. Trebuie să demonstrăm că

$$P[(Y < x) | (0 \leq U \leq f(Y)/(\alpha h(Y)))] = F(x) = \int_{-\infty}^x f(v) dv.$$

Considerând evenimentele $A = \{Y < x\}, B = \{0 \leq U \leq f(Y)/(\alpha h(Y))\}$, ultima formulă devine

$$P(A|B) = \frac{P(A \cap B)}{P(B)}$$

unde

$$P(B) = \int_{-\infty}^{\infty} \left[\int_0^{f(v)/(\alpha h(v))} du \right] h(v) dv = \int_{-\infty}^{\infty} \frac{f(v)}{\alpha h(v)} h(v) dv = \frac{1}{\alpha}, \alpha > 1.$$

deci

$$P(A|B) = \alpha \int_{-\infty}^x \left[\int_0^{f(v)/(\alpha h(v))} du \right] h(v) dv = \alpha \int_{-\infty}^x \frac{f(v)}{\alpha h(v)} h(v) dv = \int_{-\infty}^x f(v) dv.$$

Teorema este demonstrată. Această teoremă este cunoscută sub numele de *teorema înfășurătoarei* deoarece condiția referitoare la α înseamnă că graficul densității $f(x)$ se poate *înfășura* cu graficul lui $\alpha h(x)$.

Din demonstrație rezultă că probabilitatea de acceptare este $p_a = 1/\alpha$, de unde rezultă că pentru o metodă a înfășurătoarei ne banală trebuie să avem $\alpha > 1$. Procedura de respingere este formată din următoarele elemente: $N = 2$ (variabila aleatoare constantă); $\mathcal{S} = \{U, Y\}$; $\mathcal{P}(U, Y) = \text{true}$ dacă $0 \leq U \leq f(Y)/(\alpha h(Y))$; $\Psi(U, Y) = Y$, (adică *proiecția*).

Exemplul 3.3 [10]. Să considerăm densitatea de repartiție $\text{Gamma}(0, 1, \nu)$, $0 < \nu < 1$, numită repartiția gamma-standard cu ν subunitar. Să aplicăm metoda înfășurătoarei pentru simularea variabilei gamma notată X , folosind ca înfășurătoare densitatea $\text{Weib}(0, 1, \nu)$.

Soluție. Densitățile de repartiție sunt

$$f(x) = \begin{cases} 0, & \text{daca } x < 0 \\ \frac{1}{\Gamma(\nu)} x^{\nu-1} e^{-x}, & \text{daca } x > 0 \end{cases}, \quad h(x) = \begin{cases} 0, & \text{daca } x < 0 \\ \nu x^{\nu-1} e^{-x^\nu}, & \text{daca } x > 0 \end{cases}. \quad (3.10)$$

În vederea determinării constantei α a înfășurătoarei analizăm raportul

$$r(x) = \frac{f(x)}{h(x)} = \frac{1}{\nu \Gamma(\nu)} e^{-x+x^\nu}.$$

Punctul de maxim al funcției $r(x)$ este $x_0 = \nu^{1/(1-\nu)}$ de unde rezultă

$$\alpha = \frac{e^{\zeta(1-\nu)}}{\Gamma(\nu+1)}, \quad \zeta = \nu^{\frac{\nu}{1-\nu}}. \quad (3.11)$$

Deci în final algoritmul pentru simularea lui X este

Algoritmul GAMRESM1 [10] (algoritm de respingere pentru variabila gamma standard cu parametru subunitar)

Intrare ν ; *Calculează* $c := 1/\nu$, $\zeta := \nu^{\frac{\nu}{1-\nu}}$ $a := e^{\zeta(\nu-1)}$;

repeat

Generează U *uniform* $0 - 1$;

Calculează $Z := -\ln(U)$, $Y := Z^c$; {se generează $Y \rightsquigarrow \text{Weib}(0, 1, \nu)$ };

Generează alt U *uniform* $0 - 1$;

until $U \leq ae^{Z-Y}$;
Ia $X := Y$.

Primul pas al algoritmului este un *pas pregătitor*; în cazul când se simulează o selecție de volum $n > 1$ asupra lui X atunci acest pas se execută o singură dată și numai ceilalți pași se execută de n ori.

O altă metodă de respingere se poate obține din teorema următoare [2,10].

Teorema 3.3 *Fie X o variabilă aleatoare care are funcția de repartiție de forma*

$$F(x) = c \int_{-\infty}^x Q(\phi(x)) dR(x) \quad (3.12)$$

unde $Q(z)$ este funcția de repartiție a unei variabile aleatoare $Z, Z \in [0, M]$, $\phi(x)$ este o funcție ce ia valori în $[0, M]$ (unde M poate lua și valoarea ∞) iar $R(y)$ este funcția de repartiție a unei variabile aleatoare $Y, Y \in R$, iar variabilele Z, Y sunt independente stochastice. În aceste condiții funcția de repartiție a variabilei Y , condiționată de $Z \leq \phi(Y)$ este $F(x)$.

Demonstrație [10]. Notând ca în Teorema 3

$$A = \{Y < x\}, B = \{Z \leq \phi(Y)\}, P(A|B) = \frac{P(A \cap B)}{P(B)}, \quad (3.12')$$

ar trebui să demonstrăm că $P(A|B) = F(x)$. Să observăm mai întâi că constanta c din (3.12) este o constantă de normare adică

$$c = \left[\int_{-\infty}^{+\infty} Q(\phi(x)) dR(x) \right]^{-1}. \quad (3.12'')$$

Să calculăm acum numitorul din (3.12'). Avem

$$P(B) = \int_{-\infty}^{+\infty} \left(\int_0^{\phi(x)} dQ(y) \right) dR(x) = \int_{-\infty}^{\infty} Q(\phi(x)) dR(x) = \frac{1}{c}.$$

În continuare avem

$$P(A|B) = cP(A \cap B) = c \int_{-\infty}^x \left(\int_0^{\phi(t)} dQ(v) \right) dR(t) = c \int_{-\infty}^x Q(\phi(y)) dR(y) = F(x).$$

Teorema este demonstrată. Se observă din nou că probabilitatea de acceptare a algoritmului este $p_a = P(B)$. Este evident că teorema descrie un procedeu de respingere ale cărui elemente sunt ușor de precizat.

Teorema rămâne valabilă dacă condiția (3.12) se scrie în termeni de densități și anume

$$f(x) = cQ(\phi(x))r(x), \quad r(x) = R'(x). \quad (3.13)$$

O formă *duală* a teoremei se obține dacă $F(x)$ este de forma [10]

$$F(x) = c \int_{-\infty}^x (1 - Q(\phi(y))) dR(y); \quad c = \left[\int_{-\infty}^{+\infty} (1 - Q(\phi(y))) dR(y) \right]^{-1} \quad (3.14)$$

când predicatul devine $\{Z \geq \phi(Y)\}$ iar condiția (3.13) se scrie în termeni de densități

$$f(x) = c(1 - Q(\phi(x)))r(x). \quad (3.13')$$

Și în acest caz avem $p_a = P(Z \geq \phi(Y)) = 1/c$.

Exemplul 3.4 [5,7]. Fie X variabila aleatoare a cărei densitate de repartiție este

$$f(x) = c(1 - e^{-\lambda x})e^{-\mu x}, \quad x \geq 0 \quad (3.13'')$$

adică de forma (3.13) și se cere să se precizeze un algoritm de respingere pentru simularea lui X .

Soluție. Se observă că $\phi(x) = x$ și $Q(z) = 1 - e^{-\lambda z}$, $z > 0$, deci

$$c = \left[\int_0^{+\infty} (1 - e^{-\lambda x})e^{-\mu x} dx \right]^{-1} = \left[\frac{\lambda}{\lambda + \mu} \right]^{-1}.$$

Algoritmul de respingere pentru simularea lui X este

Algoritmul RESP34

repeat

Generează $Z \rightsquigarrow \text{Exp}(\lambda)$;

Generează $Y \rightsquigarrow \text{Exp}(\mu)$;

until $Z \leq Y$;

Ia $X := Y$.

Acest algoritm este rapid dacă $\mu \ll \lambda$.

Dacă se calculează în detalii funcția de repartiție $F(x)$ a densității (3.13'') se poate constata că rezolvarea ecuației $F(X) = U$ necesită o abordare numerică și deci metoda inversă nu este recomandabilă.

Următoarea teoremă [2, 10], ce va fi numită *teorema şirului descendent*, datorată lui Forsythe, fundamentează un algoritm introdus de John von Neumann pentru simularea exponenţialei $Exp(1)$, algoritm ce va fi prezentat într-o secţiune următoare.

Teorema 3. 4 *Presupunem date variabilele aleatoare $Z_i \rightsquigarrow G(x), i \geq 1$ şi $Z_0 \rightsquigarrow G_0(x)$, independente stochastic. Atunci, următoarele afirmaţii sunt adevărate*

(1) *Dacă x este fixat şi numărul k este fixat, atunci*

$$P(x \geq Z_1 \geq Z_2 \geq \dots \geq Z_{k-1} < Z_k) = \frac{[G(x)]^{k-1}}{(k-1)!} - \frac{[G(x)]^k}{k!}. \quad (3.15)$$

(2) *Dacă x este fixat şi K este indicele aleator la care se "rupe" subşirul descendent (ca la pct (1)), atunci*

$$P(K = nr.impar) = P(K(mod2) = 1) = e^{-G(x)}. \quad (3.15')$$

(3) *Dacă subşirul descendent este $Z_0 \geq Z_1 \geq \dots \geq Z_{K-1} < Z_K$ (adică se rupe la un K aleator şi începe cu $Z_0 \rightsquigarrow G_0(x)$), atunci*

$$P[Z_0 < x | K(mod2) = 1] = \frac{1}{p_a} \int_{-\infty}^x e^{-G(t)} dG_0(t), \quad (3.16)$$

unde p_a este constanta de normare

$$p_a = \left[\int_{-\infty}^{+\infty} e^{-G(x)} dG_0(x) \right]^{-1}. \quad (3.16')$$

Demonstraţie [10]. (1) Fie evenimentele $A = \{x \geq Z_1 \geq Z_2 \geq \dots \geq Z_{k-1}\}$, $B = \{x \geq Z_1 \geq Z_2 \geq \dots \geq Z_k\}$. Se observă că $B \subset A$ şi $P(Z_i \leq x) = G(x)$. Deoarece subşirul care defineşte A conţine numai una din cele $(k-1)!$ ordini relative în care se pot afla cele $k-1$ variabile aleatoare $Z_i, 1 \leq i \leq k-1$, rezultă că

$$P(A) = \frac{(G(x))^{k-1}}{(k-1)!}.$$

Pentru a demonstra (3.15) să observăm că probabilitatea din membrul stâng se scrie $P(A \setminus B)$ şi deoarece $A \subset B$ avem

$$P(A \setminus B) = P(A) - P(B) = \frac{[G(x)]^{k-1}}{(k-1)!} - \frac{[G(x)]^k}{k!}$$

și afirmația (1) este demonstrată.

Afirmația (2) rezultă din următoarele relații:

$$\begin{aligned} P(K = nr.impar) &= P(K = 1) + P(K = 3) + \dots = \\ &= 1 - \frac{G(x)}{1!} + \frac{[G(x)]^2}{2!} - \frac{[G(x)]^3}{3!} + \dots = e^{-G(x)}. \end{aligned}$$

Pentru a demonstra (3) să observăm că atunci când Z_0 este aleator avem

$$P(K = nr.impar) = P(K \bmod 2 = 1) = \int_{-\infty}^{\infty} e^{-G(x)} dG_0(x)$$

de unde folosind p_a dat de (3.16') obținem

$$P(Z_0 < x | K = nr.impar) = \frac{1}{p_a} \int_{-\infty}^x e^{-G(t)} dG_0(t)$$

și teorema este demonstrată.

Teorema reprezintă un prototip complex de metodă de respingere; se atribuie ca valoare a lui X valoarea Z_0 din *ultimul subsir descendent* care este acceptat.

Algoritmul de respingere rezultat din teoremă este următorul

Algoritmul RESPSIRD bazat pe siruri descendente.

repeat

Generează $Z_0 \rightsquigarrow G_0(x)$; *Ia* $Z^* = Z_0, K := 1$; *generează* $Z_1 \rightsquigarrow G(x)$;

while $Z_0 \geq Z_1$ **do begin**

$K := K + 1; Z_0 := Z_1$;

Generează $Z_1 \rightsquigarrow G(x)$;

end;

until $K \bmod 2 = 1$;

Ia $X := Z^*$.

Să analizăm acum performanța algoritmului. Observăm că p_a ne dă informație asupra vitezei algoritmului: cu cât p_a este mai mare, cu atât mai repede ajungem să acceptăm un Z_0 (când $K = nr.impar$). Dar p_a (probabilitatea de acceptare) nu este de ajuns pentru a caracteriza performanța algoritmului; ar trebui să vedem și *câte numere* $Z_i, i \geq 0$ sunt necesare pentru a obține un Z_0 — acceptat. Vom utiliza notațiile:

p_r este probabilitatea de a respinge un Z_0 (de a respinge un subsir!); avem $p_r = 1 - p_a$;

N_a = numărul de valori $Z_i, i \geq 1$ dintr-un subsir în care se acceptă un Z_0 ;

N_r = numărul de valori $Z_i, i \geq 1$ dintr-un subsir în care se respinge Z_0 ;

N^* = Numărul total de valori de selecție $Z_i, i \geq 0$ necesare până la acceptarea unui Z_0 .

Folosind aceste notații putem calcula valorile medii ale numerelor N .
Avem

$$E(N^*) = p_a E(N_a) + p_r [E(N_r) + E(N^*)]$$

de unde

$$E(N^*) = \frac{1}{p_a} [E(N_a)p_a + E(N_r)p_r].$$

Dar

$$E(N_a)p_a + E(N_r)p_r = E(K+1), \quad \text{deci} \quad E(N^*) = \frac{1}{p_a} E(K+1).$$

Se observă că

$$\begin{aligned} E(K+1) &= \sum_{k=1}^{\infty} (k+1) \int_{-\infty}^{+\infty} \left[\frac{(G(x))^{k-1}}{(k-1)!} - \frac{(G(x))^k}{k!} \right] dG_0(x) = \\ &= \sum_{k=0}^{\infty} (k+2) \int_{-\infty}^{+\infty} \frac{(G(x))^k}{k!} dG_0(x) - \sum_{k=1}^{\infty} (k+1) \int_{-\infty}^{+\infty} \frac{(G(x))^k}{k!} dG_0(x) = \\ &= 1 + \int_{-\infty}^{+\infty} \sum_{k=0}^{\infty} \frac{(G(x))^k}{k!} dG_0(x) = 1 + \int_{-\infty}^{+\infty} e^{G(x)} dG_0(x). \end{aligned}$$

În concluzie

$$E(N^*) = \frac{1}{p_a} \left(1 + \int_{-\infty}^{+\infty} e^{G(x)} dG_0(x) \right). \quad (3.17)$$

Exemplul 3.5 [10]. Presupunem că în Teorema 3.4, variabilele $Z_i, i \geq 0$ sunt toate uniforme $0-1$ și independente, adică $Z_i = U_i, i \geq 0$. Atunci, conform teoremei avem

$$P(U_0 \leq x | K = nr.\text{impar}) = \frac{1}{p_a} \int_0^x e^{-x} dx, \quad p_a = \int_0^1 e^{-x} dx = 1 - e^{-1}.$$

Cu alte cuvinte U_0 -acceptat are funcția de repartiție

$$F(x) = \begin{cases} 0, & \text{daca } x < 0, \\ \frac{1-e^{-x}}{1-e^{-1}}, & \text{daca } 0 \leq x \leq 1, \\ 1, & \text{daca } x > 1 \end{cases} \quad (3.18)$$

care este *repartiția exponențială negativă de parametru 1, trunchiată pe intervalul $[0, 1]$* . Deci simularea variabilei care are funcția de repartiție $F(x)$ din (3.18) se poate face cu algoritmul **RESPSIRD**. De fapt, într-un capitol următor vom arăta cum acest algoritm va fi completat astfel încât să permită simularea unei variabile exponențiale negativă netrunchiată. Numărul mediu $E(N^*)$ de variabile $\{Z_i\}_{i \geq 0}$ ce trebuie generate este conform formulei (3.17)

$$E(N^*) = \frac{1}{1-e^{-1}} \left(1 + \int_0^1 e^x dx\right) = \frac{e}{1-e^{-1}} = \frac{e^2}{e-1}. \quad (3.17')$$

3.4 Alte metode

Așa cum am menționat, metodele de simulare a variabilelor aleatoare neuniforme X , pot fi obținute fie prin transformarea unor variabile aleatoare uniforme $0-1$, fie sub forma

$$X = T(Y_1, Y_2, \dots, Y_n) \quad (3.19)$$

unde variabilele Y_i pot fi simulate. De fapt, metodele prezentate în primele trei subsecțiuni ale acestui capitol sunt toate de același tip: simularea lui X se reduce la simularea unor variabile mai simple $Y_i, 1 \leq i \leq n$, unde și n poate fi aleator.

În această secțiune vom prezenta metode de simulare a unor variabile aleatoare particulare care au tocmai astfel de proprietăți: repartițiile lor derivă din alte repartiții mai simple.

În tabelul 3.2. (vezi [10]) se dau câteva repartiții de probabilitate a căror simulare se realizează prin transformări simple de variabile U uniforme $0-1$ dar nu prin metoda inversă. În ultima coloană se precizează transformarea T .

Nr. crt.	Numele repartiției	Densitatea de repartiție	Transformarea T
1	Normală $N(0, 1)$	$f(x) = \frac{1}{\sqrt{2\pi}} e^{-x^2/2}$ $-\infty < x < \infty$	$X = \sum_{i=1}^{12} U_i - 6$
2	Modul	$f(x) = \begin{cases} 1 - x , & x \in [-1, 1] \\ 0, & \text{altfel} \end{cases}$	$X = U_1 - U_2$
3	Repartiția maximului	$f(x) = \begin{cases} nx^{n-1}, & x \in [0, 1] \\ 0, & \text{altfel} \end{cases}$	$X = \max\{U_1, U_2, \dots, U_n\}$
4	Repartiția minimului	$f(x) = \begin{cases} n(1-x)^{n-1}, & x \in [0, 1] \\ 0, & \text{altfel} \end{cases}$	$X = \min\{U_1, U_2, \dots, U_n\}$
5	Repartiția $Erlang(k)$ $k \in N^+$	$f(x) = \begin{cases} 0, & \text{dacă } x < 0 \\ \frac{1}{\Gamma(k)}, & \text{dacă } x \geq 0 \end{cases}$	$X = -\ln\{\prod_{i=1}^k U_i\}$

Tabelul 3.2. Repartiții simulate prin transformări de uniforme

Variabilele uniforme U_i care intervin în ultima coloană a tabelului sunt presupuse independente. Să vedem cum se justifică metodele prezentate sintetic în tabel.

1. Aici se folosește *teorema limită centrală* într-o formă simplificată și anume: dacă $\{V_n\}_{n \in N}$ este un șir de variabile aleatoare independente și identic distribuite care au momente de primele două ordine și dacă notăm $S_n = \sum_{i=1}^n V_i$, atunci

$$\lim_{n \rightarrow \infty} P\left(\frac{S_n - E(S_n)}{\sqrt{Var(S_n)}} < x\right) = \frac{1}{\sqrt{2\pi}} \int_{-\infty}^x e^{-\frac{t^2}{2}} dt. \quad (3.20)$$

În membrul al doilea este funcția de repartiție normală $N(0, 1)$. Dacă considerăm ca variabile V_i variabilele uniforme U_i avem

$$E(U_i) = \frac{1}{2}, \quad Var(U_i) = \frac{1}{12}.$$

Viteza de convergență în (3.20) depinde de viteza de generare a variabilelor V_i . În cazul când $V_i = U_i$ membrul stâng din (3.20) se apropie suficient de mult de funcția de repartiție normală $N(0, 1)$ din membrul drept dacă

$n \geq 10$. Luând $n = 12$ se obține expresia din ultima coloană a tabelului (3.20) care are (aproximativ!) repartiția normală $N(0, 1)$.

Densitatea de repartiție *normală* $N(m, \sigma)$ este

$$g(x) = \frac{1}{\sqrt{2\pi}\sigma} e^{-\frac{(x-m)^2}{2\sigma^2}}. \quad (3.21)$$

Notând Y variabila $N(m, \sigma)$ avem

$$m = E(Y), \quad \sigma^2 = Var(Y). \quad (3.21')$$

Dacă notăm $Z \rightsquigarrow N(0, 1)$ atunci se poate arăta cu ușurință că între Y și Z au loc relațiile

$$Y = m + Z\sigma, \quad Z = \frac{Y - m}{\sigma} \quad (3.21'')$$

de unde rezultă că simularea lui Y se reduce la simularea lui Z , care la rândul său se simulează folosind teorema limită centrală ca în tabelă.

2. Repartiția *modul* se obține pe o cale analogă celei folosite în exercițiul **E2.6**, Cap.2.

3. Justificarea este următoarea

$$\begin{aligned} F(x) &= P(\max\{U_1, U_2, \dots, U_n\} < x) = \\ &= P(X_1 < x, \dots, U_n < x) = \begin{cases} 0, & \text{daca } x < 0, \\ x^n, & \text{daca } x \in [0, 1], \\ 1, & \text{daca } x > 1 \end{cases} \end{aligned}$$

și derivând $F(x)$ se obține densitatea din tabel.

4. Observăm că

$$\begin{aligned} P(\min\{U_1, U_2, \dots, U_n\} < x) &= 1 - P(\max\{U_1, U_2, \dots, U_n\} \geq x) = \\ &= 1 - (1 - x)^n, \forall x \in [0, 1] \end{aligned}$$

și derivând ultima expresie se obține densitatea de repartiție din tabel.

5. Repartiția *Erlang*(k), $k \in N^+$, este un caz particular al repartiției *Gamma*(α, λ, ν), $\alpha, \lambda, \nu \in R^+$ care are densitatea de repartiție [3, 6, 7, 10]

$$f(x) = \begin{cases} 0, & \text{daca } x < \alpha, \\ \frac{\lambda^\nu}{\Gamma(\nu)} (x - \alpha)^{\nu-1} e^{-\lambda(x-\alpha)}, & \text{daca } x \geq \alpha. \end{cases} \quad (3.22)$$

Să notăm cu Y variabila *Gamma*(α, λ, ν). Relația dintre Y și variabila *gama standard* $X \rightsquigarrow \text{Gamma}(0, 1, \nu)$ este

$$Y = \alpha + \frac{X}{\lambda}, \quad X = (Y - \alpha)\lambda. \quad (3.22')$$

Pentru a arăta că variabila $Erlang(k)$ (care este *gamma standard* $Gamma(0, 1, k), k \in N^+$) se simulează ca în tabelă, vom demonstra teorema

Terema 3. 5 *Dacă $Z_i, 1 \leq i \leq k$ sunt variabile $Exp(1)$ independente, atunci variabila*

$$X = \sum_{i=1}^k Z_i \quad (3.23)$$

este o variabilă $Erlang(k)$.

Demonstrație [10]. Vom folosi tehnica funcției caracteristice și vom arăta că funcția caracteristică a variabilei X dată de (3.23) este aceeași cu funcția caracteristică a variabilei $Erlang(k)$ de unde se deduce că cele două repartiții coincid. Pentru variabila $Erlang(k)$ funcția caracteristică este

$$\begin{aligned} \varphi(t) &= E[e^{itX}] = \int_0^\infty e^{itx} \frac{1}{(k-1)!} x^{k-1} e^{-x} dx = \\ &= \frac{1}{(k-1)!} \int_0^\infty x^{k-1} e^{-x(1-it)} dx = \frac{1}{(k-1)!} \frac{\Gamma(k)}{(1-it)^k} = \frac{1}{(1-it)^k}. \end{aligned}$$

Pe de altă parte funcția caracteristică a variabilei X din (3.23) este

$$\varphi_X(t) = E[e^{it \sum_j Z_j}] = \prod_{j=1}^k \varphi_{Z_j}(t) = (\varphi_Z(t))^k.$$

Dar

$$\varphi_Z(t) = E[e^{itZ}] = \int_0^\infty e^{-(1-it)x} dx = \frac{1}{1-it}$$

deci

$$\varphi_X(t) = \left(\frac{1}{1-it} \right)^k,$$

adică aceeași cu $\varphi(t)$, ceea ce demonstrează teorema.

Folosind aceeași tehnică de demonstrație se poate demonstra și următoarea teoremă [10].

Teorema 3. 6 *Dacă $X \rightsquigarrow Gamma(0, 1, \nu)$, $Y \rightsquigarrow Gamma(0, 1, \mu)$ și X și Y sunt independente stochastic, atunci*

$$(Z = X + Y) \rightsquigarrow Gamma(0, 1, \nu + \mu).$$

Când o familie de variabile aleatoare are proprietatea că suma a două variabile independente este tot o variabilă din aceeași familie spunem că aceasta este o *familie stabilă* de variabile aleatoare. Teorema 3.6 spune deci că *familia variabilelor aleatoare gamma standard este stabilă*.

Tot cu ajutorul funcției caracteristice se poate demonstra teorema

Teorema 3.7 *Familia variabilelor normale este stabilă.*

Demonstrație. Se folosește faptul că dacă $X \rightsquigarrow N(m, \sigma)$ atunci funcția sa caracteristică este $\varphi_X(t) = E[e^{itX}] = e^{itm - \frac{t^2\sigma^2}{2}}$. Asemănător dacă $Y \rightsquigarrow N(p, \lambda)$ atunci $\varphi_Y(t) = e^{itp - \frac{t^2\lambda^2}{2}}$, iar dacă X, Y sunt independente atunci $\varphi_{X+Y}(t) = e^{it(m+p) - \frac{t^2(\sigma^2 + \lambda^2)}{2}}$, ceea ce înseamnă că $(X + Y) \rightsquigarrow N(m + p, \sqrt{\sigma^2 + \lambda^2})$.

3.4.1 Simularea repartițiilor inrudite cu repartiția normală

Vom defini acum o serie de variabile aleatoare care derivă din alte variabile aleatoare și care au importanță în statistica matematică.

Exemple 3.6. Repartiții inrudite cu repartiția normală [5, 7, 10].

Exemplul 3.6.1. Repartiția χ^2 . Dacă $Z_i, 1 \leq i \leq f$ sunt variabile normale $N(0, 1)$ independente atunci

$$\chi^2 = \sum_{i=1}^f Z_i^2 \quad (3.24)$$

se numește *variabilă hi patrat centrată cu f grade de libertate* notată χ_f^2 .

Dacă $Z_i \rightsquigarrow N(m_i, 1)$ atunci variabila (3.24) se numește *variabilă hi patrat necentrată cu f grade de libertate și cu parametrul de excentricitate δ , notată $\chi_{f,\delta}^2$, unde*

$$\delta^2 = \sum_{i=1}^f m_i^2. \quad (3.24')$$

Se arată că variabila χ_f^2 centrată este o variabilă de tip *Gamma*(0, $\frac{1}{2}$, $\frac{f}{2}$). Formula (3.24) permite simularea *directă*, pornind de la definiție a variabilelor $\chi_f^2, \chi_{f,\delta}^2$.

Exemplul 3.6.2. Dacă $Z \sim N(0, 1)$ este independentă de variabila hi-patrat χ_f^2 atunci variabila

$$t_f = \frac{Z}{\sqrt{\frac{\chi_f^2}{f}}} \quad (3.25)$$

se numește *variabila t a lui Student cu f grade de libertate*. Dacă în (3.25) în loc de χ_f^2 se introduce $\chi_{f,\delta}^2$ atunci se obține variabila notată $t_{f,\delta}$ care se numește *variabila t Student ne centrată cu f grade de libertate și cu parametrul de excentricitate δ* . Variabilele de tip t Student se simulează deci direct cu formule de tipul (3.25).

Exemplul 3.6.3. Dacă variabilele $\chi_{f_1}^2, \chi_{f_2}^2$ sunt independente atunci variabila

$$F_{f_1, f_2} = \frac{f_2 \chi_{f_1}^2}{f_1 \chi_{f_2}^2} \quad (3.26)$$

se numește variabila F a lui Snedecor centrată cu f_1, f_2 grade de libertate (în notația indicilor contează ordinea!). Dacă în (3.26) se folosește câte una din $\chi_{f_1, \delta_1}^2, \chi_{f_2, \delta_2}^2$ sau ambele, atunci se obțin variabilele F Snedecor *simplu ne-centrate* $F_{f_1, f_2; \delta_1, 0}, F_{f_1, f_2; 0, \delta_2}$, cu parametri corespunzători de excentricitate, sau variabila F Snedecor *dublu ne-centrată* $F_{f_1, f_2; \delta_1, \delta_2}$. Variabilele F pot fi de asemenea simulate direct prin formule de tipul (3.26).

În exemplele precedente mediile sunt $m = 0$ sau $m \neq 0$ iar dispersiile sunt $\sigma = \sigma^2 = 1$.

Exemplul 3.7 [10]. Variabila aleatoare pozitivă Y se numește *lognormală* $LN(\mu, \sigma)$ de parametri μ, σ dacă variabila $X = \log(Y)$ este normală $N(\mu, \sigma)$. Avem deci densitățile

$$X \rightsquigarrow f(x) = \frac{1}{\sqrt{2\pi}\sigma} e^{-\frac{(x-\mu)^2}{2\sigma^2}}, x \in R;$$

$$Y \rightsquigarrow g(y) = \frac{1}{\sqrt{2\pi}y\sigma} e^{-\frac{(\log(y)-\mu)^2}{2\sigma^2}}, y \in R + .$$

Calculând integralele corespunzătoare, în care se fac schimbări de variabile potrivite, se obțin următoarele relații

$$m = E[Y] = e^{\mu + \sigma^2/2}, \quad s^2 = Var[Y] = m^2(e^{\sigma^2} - 1) \quad (3.27)$$

de unde prin rezolvarea acestui sistem se obțin formulele

$$\mu = \log(m) - \frac{1}{2} \log \left[\frac{s^2}{m^2} + 1 \right], \quad \sigma^2 = \log \left[\frac{s^2}{m^2} + 1 \right]. \quad (3.27')$$

Dacă se dau media m și dispersia s^2 pentru variabila lognormală Y atunci media μ și dispersia σ^2 pentru X se calculează cu formulele (3.27'); deci simularea variabilei Y se realizează cu algoritmul simplu

Algoritmul LNORM pentru simularea lognormalei.

Intrare m, s^2 ; *calculează* μ, σ ; (acesta este un pas pregatitor!);

Generează $Z \sim N(0, 1)$; (ca în tabelul 3.1);

Calculează $X = \mu + Z\sigma$; (unde $\sigma = \sqrt{\sigma^2}$);

Ia $Y = e^X$. ($Y \sim LN(\mu, \sigma)$).

• **Familia de variabile de tip Johnson** [5, 7]. Din aceasta familie fac parte o serie de variabile ce se obțin prin transformări de variabile normale $X \sim N(m, \sigma)$. Aceste transformări sunt:

$Y = \lambda e^X + \xi$, - **variabila lognormală**;

$Y = \lambda [1 + e^X]^{-1} + \xi$ - **variabila logit normală**;

$Y = \lambda \sinh(X) + \xi$ - **Variabila Sinh⁻¹ normală**,

$\sinh(x) = \frac{e^x - e^{-x}}{2}$, unde $\lambda > 0, \xi \geq 0$, aceste constante alegându-se de obicei astfel încât $E\{Y\} = 0, Var\{Y\} = 1$.

Variabila *logonormală* a fost studiată mai sus, variabila *logit normală* este de tip *logistică*, iar variabila *Sinh⁻¹ normală* este de tip *sinus hiperbolic*.

3.5 Simularea unor variabile particulare

În secțiunile precedente am prezentat diverse metode, unele generale, pentru simularea variabilelor aleatoare ne uniforme. În această secțiune vom prezenta metode pentru simularea tipurilor de variabile aleatoare particulare, bazate fie pe metodele generale, fie pe anumite particularități, dar care conduc la algoritmi de regulă mai buni decât cei ilustrați în exemplele prezentate până acum. (A se vedea [2, 3, 5, 6, 7, 10, 11]).

3.5.1 Repartiția exponențială

Este suficient să ne ocupăm de repartiția variabilei $Z \sim Exp(1)$ a cărei densitate de repartiție este

$$f(x) = \begin{cases} 0, & \text{dacă } x \leq 0 \\ e^{-x}, & \text{dacă } x > 0, \end{cases} \quad (3.28)$$

căci simularea variabilei $X \sim Exp(\lambda)$ se realizează cu $X = \frac{Z}{\lambda}$. Metoda inversă pentru simularea lui Z , adică $Z = -\log(U)$, nu este recomandabilă deoarece dacă U este apropiat de zero atunci $\log(U)$ nu se poate calcula. De

aceea vom prezenta o metodă de *respingere* datorată lui *John von Newmann* care se bazează pe teorema următoare.

Teorema 3.8 *Să luăm în teorema subșirului descendent (Teorema 3.4), $Z_0 = U_0, Z_i = U_i, i \geq 1$, unde U_0, U_i sunt uniforme $0 - 1$. Dacă notăm cu N numărul aleator de subșiruri descendente respinse până când se acceptă un subșir, atunci $X = N + Z_0 \sim \text{Exp}(1)$, unde Z_0 este cel acceptat (din ultimul subșir descendent).*

Demonstrație [10]. Din **Exemplul 3.5** de mai sus, reținem că pentru $x \in [0, 1]$ avem

$$P(Z_0 \leq x | K = nr. \text{impar}) = \frac{1}{p_a} \int_0^x e^{-x} dx = F(x) = \frac{1 - e^{-x}}{p_a}, \quad p_a = 1 - e^{-1},$$

unde $F(x)$ este dat de (3.18). De aici rezultă că probabilitatea de a respinge un șir descendent (de forma $Z_0 \geq Z_1 \geq \dots \geq Z_{K-1} < Z_K$) este $p_r = 1 - p_a = e^{-1}$. Deci, $P(N = n) = e^{-n}(1 - e^{-1})$. Rămâne să arătăm că

$$P(N + Z_0 \leq x) = \begin{cases} 0, & \text{daca } x < 0 \\ 1 - e^{-x}, & \text{daca } x \geq 0. \end{cases} \quad (3.28')$$

Intr-adevăr, dacă pentru un $x > 0$ dat notăm $x = k + z, k = [x], z \in [0, 1)$ (k = partea întreagă) atunci avem

$$\begin{aligned} P(N + Z_0 \leq x) &= P(N + Z_0 \leq k + z) = P(N < k) + P(N = k, Z_0 \leq z) = \\ &= \sum_{j=0}^{k-1} (1 - e^{-1})e^{-j} + (1 - e^{-1}) \frac{e^{-k}}{1 - e^{-1}} \int_0^z e^{-u} du = \\ &= 1 - e^{-k} + e^{-k}(1 - e^{-z}) = 1 - e^{-(k+z)} = 1 - e^{-x}, \quad x > 0 \end{aligned}$$

și teorema este demonstrată.

De aici se deduce următorul algoritm pentru simularea lui Z .

Algoritmul EXRJ de simulare a exponențialei prin metoda respingerii
Inițializează $N := 0$;

repeat

 generează U_0, U_1 uniforme $0 - 1$ și independente; Ia $U^* := U_0, K := 1$;

while $U_0 \geq U_1$ **do begin**

$K := K + 1, U_0 := U_1$, generează U_1 uniform $0 - 1$;

end; (s-a simulat un subșir descendent);

if $K \bmod 2 = 0$ **then** $N := N + 1$; (se numără subșirurile respinse);
until $K \bmod 2 = 1$;
 $Ia\ Z := N + U^*$.

Pe lângă probabilitatea de acceptare $p_a = 1 - e^{-1}$, performanța algoritmului este caracterizată și de numărul N^* al variabilelor uniforme $\{U_i\}_{i \geq 0}$ necesare a fi generate până când se obține o valoare de selecție exponențială Z . Conform (3.17) avem

$$E(N^*) = \frac{1}{p_a} \left(1 + \int_0^1 e^z dz\right) = \frac{1}{1 - e^{-1}} (1 + e - 1) = \frac{e^2}{e - 1} \approx 3.8, \quad (3.17')$$

adică trebuie simulate în medie aproape 4 numere uniforme pentru a obține o valoare de selecție exponențială Z .

3.5.2 Repartiția Gama

Repartiția $Gamma(\alpha, \lambda, \nu)$ are densitatea dată de formula (3.22) iar formula (3.22') spune că este necesar și esențial să construim metode pentru simularea unei repartiții *Gamma standard*, adică $Gamma(0, 1, \nu)$, $\nu \in R^+$. Dacă $\nu = k \in N^+$ atunci repartiția gama devine repartiție Erlang și simularea acestei variabile (notată E_k) se face simplu prin însumare de exponențiale, conform Teoremei 3.5. Dacă $0 < \nu < 1$ atunci ținând seama de Exemplul 3.3, simularea variabilei $Ganna(0, 1, \nu)$ se realizează cu o metodă de respingere bazată pe *infășurarea* cu o densitate $Weibull(0, 1, \nu)$.

În această subsecțiune vom prezenta și alte metode pentru simularea variabilelor gamma [10].

• **O metodă de compunere-respingere pentru cazul $0 < \nu < 1$.**

Vom scrie densitatea de repartiție $Gamma(0, 1, \nu)$, $0 < \nu < 1$ dată de expresia

$$f(x) = \begin{cases} 0, & \text{daca } x < 0, \\ \frac{1}{\Gamma(\nu)} x^{\nu-1} e^{-x}, & \text{daca } x \geq 0, \end{cases}$$

sub forma

$$\begin{aligned} f(x) &= p_1 f_1(x) + p_2 f_2(x), \\ f_1(x) &= \begin{cases} \frac{f(x)}{p_1}, & \text{daca } x \in [0, 1], \\ 0, & \text{altfel} \end{cases}, \quad f_2(x) = \begin{cases} \frac{f(x)}{p_2}, & \text{daca } x \in (1, +\infty), \\ 0, & \text{altfel} \end{cases} \end{aligned} \quad (3.29)$$

$$p_1 = \frac{\Gamma(1; \nu)}{\Gamma(\nu)}, \quad p_2 = 1 - p_1 = \frac{\Gamma(\nu) - \Gamma(1; \nu)}{\Gamma(\nu)},$$

$$\Gamma(\nu) = \int_0^{\infty} x^{\nu-1} e^{-x} dx, \quad \Gamma(1; \nu) = \int_0^1 x^{\nu-1} e^{-x} dx.$$

Să notăm $X_1 \rightsquigarrow f_1(x)$, $X_2 \rightsquigarrow f_2(x)$. Atunci are loc următoarea teoremă

Teorema 3.9 *Variabila X_1 se simulează folosind Teorema 3.4 a subșirului descendent unde $Z_0 = U_0^{1/\nu}$, $Z_i = U_i$, cu $\{U_i\}_{i \geq 0}$ uniforme $0-1$, iar X_2 se simulează cu ajutorul Teoremei 3.3 duale unde densitatea $f_2(x)$ este de forma*

$$f_2(x) = c(1 - Q(x))r(x), \quad x > 0, \quad c = \frac{1}{e(\Gamma(\nu) - \Gamma(1; \nu))},$$

$$r(x) = \begin{cases} 0, & \text{daca } x < 1 \\ e^{-x+1}, & \text{daca } x \geq 1 \end{cases}, \quad Q(x) = \begin{cases} 0, & \text{daca } x < 1, \\ 1 - x^{\nu-1}, & \text{daca } x \geq 1. \end{cases}$$

Demonstrație [10]. Intr-adevăr, din enunțul teoremei rezultă că pentru $x \in [0, 1]$, în Teorema 3.4 avem

$$G_0(x) = P(U_0^{1/\nu} < x) = P(U_0 < x^\nu) = x^\nu,$$

$$H(x) = P(U_0 < x | K = nr.\text{impar}) = \frac{1}{p_a} \int_0^x e^{-t} dG_0(t) = \frac{1}{p_a} \int_0^x e^{-t} \nu t^{\nu-1} dt$$

$$p_a = \int_0^1 e^{-t} \nu t^{\nu-1} dt = \nu \Gamma(1; \nu),$$

de unde derivând $H(x)$ avem

$$H'(x) = h(x) = \frac{e^{-x} x^{\nu-1}}{\Gamma(1; \nu)} = f_1(x), \quad x \in [0, 1]$$

și prima parte a teoremei este demonstrată.

Cea de-a doua parte a teoremei se demonstrează dacă scriem forma detaliată a lui $f_2(x)$ adică

$$f_2(x) = \begin{cases} 0, & \text{daca } x < 1, \\ \frac{x^{\nu-1} e^{-x}}{\Gamma(\nu) - \Gamma(1; \nu)}, & x \geq 1 \end{cases}$$

care se observă că se reprezintă sub forma din enunțul teoremei.

Demonstrația este completă.

Presupunând că s-au calculat în prealabil

$$g = \Gamma(\nu), g_1 = \Gamma(1; \nu), p_1 = \frac{g_1}{g}, p_2 = \frac{g - g_1}{g},$$

$$c = \frac{1}{e(\Gamma(\nu) - \Gamma(1; \nu))}; \quad a = \frac{1}{\nu}, \quad b = -\frac{1}{1 - \nu}$$

algoritmul de simulare al variabilei $X \rightsquigarrow \text{Gamma}(0, 1, \nu)$, $0 < \nu < 1$, este

Algoritmul GAMCOMNL1 pentru simularea variabilei gamma de parametru subunitar prin componere și respingere:

Intrare p_1, p_2 ;

Generează $U \rightsquigarrow \text{uniform } 0 - 1$;

if $U \leq p_1$ **then begin**

Generează $X_1 \rightsquigarrow f_1(x)$; *Ia* $X := X_1$;

end

else begin

Generează $X_2 \rightsquigarrow f_2(x)$; *Ia* $X := X_2$;

end.

Variabilele X_1 și X_2 se generează cu algoritmi de respingere prezențați în continuare.

Algoritmul GAMRESNL1 pentru simularea variabilei X_1 :

repeat

Generează $U := \text{random}$; ($U = \text{uniform } 0 - 1$);

Ia $Z_0 := U^a$; *Generează* $Z_1 := \text{random}$; *Ia* $K := 1$; $Z^* := Z_0$;

While $Z_0 \geq Z_1$ **do begin**

$Z_0 := Z_1$; *Generează* $Z_1 := \text{random}$; $K := K + 1$;

end;

until $K \bmod 2 = 1$;

Ia $X_1 := Z^*$.

Pentru acest algoritm avem

$$p_a = \nu \Gamma(1; \nu); E(N_1^*) = \frac{1}{p_a} (1 + \int_0^1 \nu t^{\nu-1} e^t dt)$$

ultima integrală putând fi calculată numeric (de ex și cu metoda Monte Carlo, cf. Cap.6).

Algoritmul GAMRESNL2 pentru simularea variabilei X_2 :

repeat

Generează $U := \text{random}$; *Ia* $Z := U^b$;

Generează $X_0 \rightsquigarrow \text{Exp}(1)$; Ia $Y := X_0 + 1$; ($Y \rightsquigarrow r(x)$);
until $Y \leq Z$;
 Ia $X_2 := Y$.

Pentru acest algoritm avem

$$p_2 = 1 - p_1; E(N_2^*) = \frac{2}{p_2}$$

deci numărul mediu de variabile $Z_i, i \geq 0, Z, Y$ necesare pentru a genera în final un X este

$$E(N^*) = p_1 E(N_1^*) + p_2 E(N_2^*) = p_1 E(N_1^*) + 2.$$

• **Metode pentru simularea variabilei $\text{Gamma}(0, 1, \nu)$, $\nu > 1$.** Vom prezenta doi algoritmi de respingere bazați pe metoda înfășurătoarei.

G1. Să considerăm $X \rightsquigarrow f(x) \rightsquigarrow \text{Gamma}(0, 1, \nu), \nu > 1$ și să luăm ca înfășurătoare densitatea $h(x) \rightsquigarrow \text{Exp}(\frac{1}{\nu})$ adică

$$h(x) = \begin{cases} 0, & \text{daca } x < 0, \\ \frac{1}{\nu} e^{-\frac{x}{\nu}}, & \text{daca } x \geq 0. \end{cases} \quad (3.30)$$

Analizând raportul

$$r(x) = \frac{f(x)}{h(x)} = \frac{\nu x^{\nu-1} e^{-x}}{\Gamma(\nu) e^{-\frac{x}{\nu}}}, \nu > 1$$

se constată că acesta are ca punct de maxim $x = \nu$, deci constanta α din Teorema 3.2 (a înfășurătoarei) este

$$\alpha = r(\nu) = \frac{\nu^\nu e^{1-\nu}}{\Gamma(\nu)}.$$

Algoritmul de respingere în acest caz este simplu de construit și nu-l mai prezentăm. Probabilitatea de acceptare este deci

$$p_a = \frac{\Gamma(\nu)}{\nu^\nu e^{1-\nu}} \approx \sqrt{\frac{e^2 2\pi}{\sqrt{\nu-1}}}$$

unde în ultima relație s-a folosit aproximarea lui Stirling pentru $\nu \rightarrow \infty$ adică

$$\Gamma(\nu) \approx (\nu-1)^{\nu-1} e^{-(\nu-1)} \sqrt{2\pi(\nu-1)},$$

deci această probabilitate scade de ordinul $\sqrt{\nu}$.

G2 Algoritmul precedent este lent pentru ν foarte mare. De aceea vom prezenta în acest caz o altă metodă de respingere, bazată pe înfășurarea cu o densitate *Cauchy nonstandard trunchiată* pe $[0, \infty)$ de forma

$$h(x) = \frac{k}{1 + \frac{(x - (\nu - 1))^2}{c}}, \quad x \geq 0 \quad (3.31)$$

unde k este o constantă de normare. Putem enunța teorema [10]

Teorema 3. 10 *Dacă înfășurăm densitatea $\text{Gamma}(0, 1, \nu)$, $\nu > 1$, cu densitatea $h(x)$ dată de (3.31) atunci pentru $c \geq 2\nu - 1$ avem*

$$r(x) = \frac{f(x)}{h(x)} \leq \alpha = \frac{1}{k\Gamma(\nu)}(\nu - 1)^{\nu-1}e^{-(\nu-1)}. \quad (3.31')$$

Demonstrație. Avem

$$r(x) = \frac{1}{k\Gamma(\nu)}\varphi(x), \quad \varphi(x) = x^{\nu-1}e^{-x} \left[1 + \frac{(x - (\nu - 1))^2}{c} \right]$$

$$\varphi'(x) = -\frac{e^{-x}x^{\nu-1}}{c}[x - (\nu - 1)][(x - \nu)^2 + c - (2\nu - 1)]$$

de unde rezultă că ecuația $\varphi'(x) = 0$ are soluția $x_0 = \nu - 1 > 0$ iar dacă $c \geq 2\nu - 1$ atunci x_0 este punct de maxim. Dacă luăm $c = 2\nu - 1$ atunci avem

$$\alpha = \frac{1}{k\Gamma(\nu)}(\nu - 1)^{\nu-1}e^{-(\nu-1)}$$

ceea ce demonstrează teorema.

Pentru a descrie algoritmul dedus din teorema precedentă presupunem calculate în prealabil constantele

$$b = \nu - 1, \quad c = \nu + b, \quad s = \sqrt{2\nu - 1}.$$

Atunci algoritmul pentru generarea variabilei $X \rightsquigarrow \text{Gamma}(0, 1, \nu)$, $\nu > 1$ este este

Algoritmul GAMCAUCHY (simularea variabilei $\text{Gamma}(0, 1, \nu)$, $\nu > 1$ prin înfășurarea cu o densitate Cauchy)

repeat

repeat

Generează $U := \text{random}$ și ia $T = s.tg[\pi(U - 0.5)]$; (T este Cauchy standard pe $(-\infty, +\infty)$);

Ia $Y = b + T$; (Y este Cauchy non standard pe $(-\infty, +\infty)$);
until $Y > 0$; (Se aplica respingerea pentru a obține Y -trunchiată);
 Generează $U_1 := \text{random}$;
until $U_1 \leq e^{b \log(Y/b) - T + \log(1 + T^2/c)}$;
 Ia $X = Y$.

Se observă că constanta k nu intervine în construcția algoritmului dar ea este necesară pentru a calcula $p_a = \frac{1}{\alpha}$. Un calcul simplu arată că

$$k = \left[\frac{\pi}{2} + \text{arctg}\left(-\frac{\nu - 1}{\sqrt{2\nu - 1}}\right) \right]^{-1}.$$

Referitor la repartiția $\text{Gamma}(0, 1, \nu)$, $\nu > 1$ mai observăm și faptul că dacă descompunem ν sub forma $\nu = k + p$, $k = [\nu] \in N^+$, $p = \nu - k \in [0, 1]$ și considerăm variabilele $X \rightsquigarrow \text{Gamma}(0, 1, \nu)$, $E_k \rightsquigarrow \text{Erlang}(k)$, $Y \rightsquigarrow \text{Gamma}(0, 1, p)$, atunci simularea lui X se realizează cu relația $X = E_k + Y$, (E_k, Y) -independente.

3.5.3 Repartiția Beta

Variabila X are repartiția $\text{Beta}(a, b)$, $a > 0, b > 0$ [5, 7, 10, 11] dacă densitatea sa de repartiție este

$$f(x) = \begin{cases} \frac{1}{B(a, b)} x^{a-1} (1-x)^{b-1}, & \text{dacă } x \in [0, 1] \\ 0, & \text{altfel} \end{cases} \quad (3.32)$$

unde

$$B(a, b) = \int_0^1 x^{a-1} (1-x)^{b-1} dx, \quad B(a, b) = \frac{\Gamma(a)\Gamma(b)}{\Gamma(a+b)}. \quad (3.32')$$

Următoarea teoremă [10] permite simularea variabilei $\text{Beta}(a, b)$.

Teorema 3. 11 *Dacă $X_1 \rightsquigarrow \text{Gamma}(0, 1, a)$, $X_2 \rightsquigarrow \text{Gamma}(0, 1, b)$, X_1 independent de X_2 atunci variabila*

$$X = \frac{X_1}{X_1 + X_2} \quad (3.33)$$

este o variabilă $\text{Beta}(a, b)$.

Demonstrație. Densitatea comună de repartiție a lui (X_1, X_2) este

$$f(x_1, x_2) = \frac{1}{\Gamma(a)\Gamma(b)} x_1^{a-1} x_2^{b-1} e^{-(x_1+x_2)}.$$

Făcând în ultima integrala transformarea

$$u = \frac{x_1}{x_1 + x_2}, \quad v = x_2, \quad J = \frac{\partial(x_1, x_2)}{\partial(u, v)} = \frac{v}{1-u}, \quad 0 < u < 1,$$

avem

$$f(x_1(u, v), x_2(u, v)) = g(u, v) = \frac{1}{\Gamma(a)\Gamma(b)} \frac{u^{a-1} v^{a+b-1}}{(1-u)^a} e^{-\frac{v}{1-u}}, \quad 0 < v < \infty.$$

Densitatea de repartiție a variabilei $X_1/(X_1 + X_2)$ este

$$h(u) = \int_0^\infty g(u, v) dv = \frac{1}{\Gamma(a)\Gamma(b)} \int_0^\infty \frac{u^{a-1} v^{a+b-1}}{(1-u)^{a+1}} e^{-\frac{v}{1-u}} dv$$

adică după calcule deducem

$$h(u) = \frac{\Gamma(a+b)}{\Gamma(a)\Gamma(b)} u^{a-1} (1-u)^{b-1}.$$

și teorema este demonstrată.

Simularea variabilei $Beta(a, b)$ poate fi deci făcută cu (3.33). Dar deoarece această formulă presupune generarea prealabilă a două variabile gamma, rezultă că această metodă are o complexitate mare. De aceea, în cazuri particulare se pot folosi următoarele teoreme [5, 10]:

Teorema 3.12 Fie $a, b \in N^+$ și $n = a + b - 1$ și să considerăm variabilele U_1, U_2, \dots, U_n uniforme $0-1$. Să construim statisticile de ordine $U_{(1)} < U_{(2)} < \dots < U_{(n)}$ prin ordonarea valorilor $\{U_i\}_{1 \leq i \leq n}$. Atunci $U_{(a)} \rightsquigarrow Beta(a, b)$.

Nu prezentăm demonstrația acestei teoreme.

Teorema 3.13 Dacă $0 < a < 1, 0 < b < 1$ și U_1, U_2 sunt variabile aleatoare uniforme $0-1$ și independente și dacă $V = U_1^{\frac{1}{a}}, T = U_2^{\frac{1}{b}}$, atunci repartiția variabilei $X = \frac{V}{V+T}$ condiționată de $V+T < 1$ este $Beta(a, b)$.

Teorema 3.14 Dacă $0 < a < 1, b > 1$ și U_1, U_2 sunt variabile uniforme $0-1$ independente și considerăm $V = U_1^{\frac{1}{a}}, T = U_2^{\frac{1}{b-1}}$, atunci repartiția variabilei V condiționată de $V+T < 1$ este $Beta(a, b)$.

Demonstrație. Intrucât demonstrațiile ultimelor două teoreme sunt asemănătoare, vom prezenta numai demonstrația ultimei teoreme, folosind calea urmată cu ocazia demonstrației teoremei 3.11.

Mai întâi observăm că

$$F(x) = P(V < x) = P(U^{\frac{1}{a}} < x) = P(U < x^a) = x^a, \quad x \in [0, 1]$$

de unde rezultă că densitatea de repartiție a lui V este

$$f(x) = ax^{a-1}, \quad x \in [0, 1].$$

În mod asemănător densitatea de repartiție a lui T este

$$h(y) = (b-1)y^{b-2}, \quad y \in [0, 1].$$

Rezultă că densitatea comună de repartiție a variabilelor V, T -independente este

$$g(x, y) = a(b-1)x^{a-1}y^{b-2}$$

iar

$$P(V + T < 1) = a(b-1) \int_0^1 \left(\int_0^{1-x} y^{b-2} dy \right) x^{a-1} dx = aB(a, b).$$

Deci densitatea comună a variabilelor (V, T) condiționată de $V + T < 1$ este

$$p(x, y) = \frac{b-1}{B(a, b)} x^{a-1} y^{b-2}, \quad x \in [0, 1], y \in [0, 1].$$

De aici rezultă că densitatea lui V condiționată de $V + T < 1$ este

$$q(x) = \int_0^{1-x} p(x, y) dy = \frac{1}{B(a, b)} x^{a-1} (1-x)^{b-1}$$

și teorema este demonstrată.

Algoritmii ce rezultă din aceste ultime teoreme sunt ușor de construit. Vom prezenta algoritmul ce rezultă din teorema 3.13.

Algoritmul BETA13 pentru simularea variabilei $Beta(a, b)$, $0 < a, b < 1$

repeat

Generează U_1, U_2 uniforme $0 - 1$ și independente;

Ia $V = U_1^{\frac{1}{a}}, T = U_2^{\frac{1}{b}}$;

until $V + T < 1$;

Calculează $X = \frac{V}{V+T}$.

Probabilitatea de acceptare a acestui algoritm de respingere este

$$p_a = \frac{ab}{a+b} B(a, b). \quad (3.34)$$

Algoritmul de respingere construit pe baza teoremei 3.14 are probabilitatea de acceptare

$$p_a = aB(a, b). \quad (3.34')$$

3.5.4 Repartiția normală

Desigur, ne vom opri la simularea variabilei $Z \sim N(0, 1)$ căci dacă știm să simulăm această variabilă atunci $X \sim N(m, \sigma)$ se simulează cu formula $X = m + Z\sigma$. În tabelul 3.2 este prezentată metoda de simulare a variabilei $N(0, 1)$, bazată pe teorema limită centrală, dar această metodă este aproximativă. De aceea în această subsecțiune vom prezenta alte metode, exacte.

• **O metodă de compunere-respingere.** Să considerăm variabila normală standard $N(0, 1)$, notată cu X_1 , care are densitatea

$$f_1(x) = \begin{cases} 0, & \text{dacă } x < 0 \\ \sqrt{\frac{2}{\pi}} e^{-\frac{x^2}{2}}, & \text{dacă } x \geq 0. \end{cases} \quad (3.35)$$

De aici deducem că densitatea lui $X_2 = -X_1$ este

$$f_2(x) = \begin{cases} \sqrt{\frac{2}{\pi}} e^{-\frac{x^2}{2}}, & \text{dacă } x < 0 \\ 0, & \text{dacă } x \geq 0 \end{cases}. \quad (3.35')$$

Deci densitatea lui $Z \sim N(0, 1)$ se scrie

$$f(x) = \frac{1}{2} f_1(x) + \frac{1}{2} f_2(x)$$

adică este o compunere discretă a densităților $f_1(x)$ și $f_2(x)$. Pentru a construi un algoritm de simulare a lui Z va trebui să construim mai întâi un algoritm de simulare a lui X_1 .

Vom infășura densitatea $f_1(x)$ cu $h(x) \sim \text{Exp}(1)$. Rezultă teorema

Teorema 3. 15 *Dacă infășurăm $f_1(x)$ cu $h(x)$ avem*

$$\frac{f_1(x)}{h(x)} \leq \alpha = \sqrt{\frac{2e}{\pi}} \quad (3.36)$$

și deci putem aplica teorema de respingere a infășurătoarei pentru simularea variabilei X_1 .

Demonstrație. Observăm că

$$r(x) = \frac{f_1(x)}{h(x)} = \sqrt{\frac{2}{\pi}} e^{-\frac{x^2}{2} + x}$$

iar ecuația $r'(x) = 0$, are soluția $x_0 = 1$ care este un punct de maxim pentru $r(x)$, adică,

$$r(x) \leq r(x_0) = \sqrt{\frac{2e}{\pi}}$$

ceea ce demonstrează teorema.

Algoritmul pentru simularea lui $Z \rightsquigarrow N(0, 1)$ este

Algoritmul RJNORM de compunere respingere pentru simularea normalei $N(0, 1)$

repeat

Generează U uniform $0 - 1$;

Generează $Y \rightsquigarrow \text{Exp}(1)$;

until $u \leq e^{-\frac{Y^2}{2} + Y - 0.5}$;

Ia $X_1 := Y$;

Generează U uniform $0 - 1$;

if $U \leq 0.5$ **then** $s := 1$ **else** $s := -1$; (s este un semn aleator);

Ia $Z := sX_1$.

Se observă că probabilitatea de acceptare este

$$p_a = \sqrt{\frac{\pi}{2e}} \approx 0.72 \quad (3.36')$$

adică, în medie, din patru perechi (U, Y) , trei sunt acceptate pentru a produce un X_1 .

• **Metoda polară.** O altă metodă interesantă de simulare a variabilei $N(0, 1)$ este *metoda polară* dată de următoarea teoremă [10] datorată lui Box și Muller.

Teorema 3. 16 Dacă variabilele U_1, U_2 sunt uniforme $0-1$ și independente, atunci variabilele aleatoare

$$Z_1 = V_1 \sqrt{\frac{-2 \log S}{S}}, \quad Z_2 = V_2 \sqrt{\frac{-2 \log S}{S}} \quad (3.37)$$

unde

$$V_1 = 2U_1 - 1, \quad V_2 = 2U_2 - 1, \quad S = V_1^2 + V_2^2, \quad S < 1$$

sunt variabile normale $N(0, 1)$ independente.

Demonstrație. Să observăm mai întâi că (V_1, V_2) este un vector aleator uniform pe pătratul $I^2 = [-1, 1] \times [-1, 1]$ iar $V_i, i = 1, 2$ sunt uniforme pe $[-1, 1]$ și independente. Condiția $S < 1$ face ca vectorul $(V_1, V_2)|\{S < 1\}$ (condiționat de $S < 1$!) să fie vector uniform pe cercul unitate. De aceea să exprimăm V_i în *coordonate polare*, adică

$$V_1 = R \cos \theta, \quad V_2 = R \sin \theta, \quad 0 \leq R \leq 1, \quad 0 \leq \theta \leq 2\pi.$$

Identificând ultimele relații cu (3.37) rezultă că

$$S = R^2, \quad Z_1 = \sqrt{-2 \log S} \cos \theta, \quad Z_2 = \sqrt{-2 \log S} \sin \theta. \quad (3.37')$$

Pe de altă parte, însăși Z_1, Z_2 se pot exprima direct în coordonate polare și anume

$$Z_1 = R' \cos \theta', \quad Z_2 = R' \sin \theta' \quad (3.38)$$

de unde identificând (3.37') cu (3.38) avem

$$\theta' = \theta, \quad R' = \sqrt{-2 \log S}$$

și deoarece (V_1, V_2) independente pe I^2 , rezultă că și (R, θ) sunt independente, precum și (R', θ') sunt independente (dar nu pe cercul unitate!). Deoarece (V_1, V_2) are o repartiție uniformă pe cercul unitate, rezultă că θ' are o repartiție uniformă pe $[0, 2\pi]$ adică are densitatea

$$\varphi(\theta) = \begin{cases} \frac{1}{2\pi}, & \text{daca } \theta \in [0, 2\pi] \\ 0, & \text{altfel.} \end{cases} \quad (3.39)$$

Să determinăm acum repartiția lui R' . Avem

$$F(r) = P(R' \leq r) = P(\sqrt{-2 \log S} \leq r).$$

Dar deoarece $S = R^2$ este uniformă pe $[0, 1]$ rezultă că

$$F(r) = P(S > e^{-\frac{r^2}{2}}) = 1 - e^{-\frac{r^2}{2}}$$

deci densitatea de repartiție a lui R' este

$$\psi(r) = r e^{-\frac{r^2}{2}}, \quad r \in [0, 1]. \quad (3.40)$$

Pentru a demonstra teorema trebuie să arătăm că funcția de repartiție a variabilelor Z_1, Z_2 date de (3.37) este produsul a două funcții de repartiție normale $N(0, 1)$. Pentru aceasta să considerăm domeniile

$$D_{(r, \theta)} = \{(r, \theta); r \cos \theta \leq z_1, r \sin \theta \leq z_2\}$$

$$D_{(x,y)} = \{(x,y); x \leq z_1, y \leq z_2\}.$$

Avem

$$F(z_1, z_2) = P(Z_1 \leq z_1, Z_2 \leq z_2) = \int \int_{D_{(r,\theta)}} \frac{1}{2\pi} e^{-\frac{r^2}{2}} r dr d\theta$$

și după efectuarea schimbărilor de variabilă

$$\theta = \arctg\left(\frac{x}{y}\right), \quad r = \sqrt{x^2 + y^2}$$

deducem

$$F(z_1, z_2) = \frac{1}{2\pi} \int \int_{D_{(x,y)}} e^{-\frac{x^2+y^2}{2}} dx dy = \frac{1}{\sqrt{2\pi}} \int_{-\infty}^{z_1} e^{-\frac{x^2}{2}} dx \frac{1}{\sqrt{2\pi}} \int_{-\infty}^{z_2} e^{-\frac{y^2}{2}} dy$$

și teorema este demonstrată.

Algoritmul corespunzător metodei polare se deduce cu ușurință și el produce simultan două valori de selecție $N(0,1)$, Z_1 și Z_2 , independente.

Din demonstrația teoremei rezultă că variabilele Z_1, Z_2 pot fi simulate și cu formulele

$$Z_1 = \sqrt{-2\log U_1} \cos(2\pi U_2), \quad Z_2 = \sqrt{-2\log U_1} \sin(2\pi U_2). \quad (3.41)$$

În varianta bazată pe (3.37) se resping valorile pentru care $S \geq 1$ și deci probabilitatea de acceptare este

$$p_a = \frac{\pi}{4} \quad (3.41')$$

în timp ce varianta bazată pe (3.41) nu presupune nicio respingere. Totuși complexitatea calculului expresiilor (3.41) poate să mărească timpul de calcul față de cazul (3.37), ceea ce poate da câștig de cauză variantei (3.37) (din cauza funcțiilor *sin*, *log*, etc., consumatoare de timp).

3.6 Simularea unor variabile discrete

Pentru simularea unei variabile discrete ce ia un număr finit de valori se poate folosi algoritmul **SIMDISCRV** din secțiunea 3.1 bazat pe metoda inversă. Dacă X este o variabilă discretă care ia ca valori șirul $\{a_n\}_{1 \leq n \leq \infty}$ și se cunoaște funcția de frecvență $f(i) = P(X = a_i)$, f -calculabilă, atunci folosind proprietatea $\lim_{i \rightarrow \infty} f(i) = 0$, (dedusă din $\sum_{i=1}^{\infty} f(i) = 1$) se poate construi ușor un algoritm bazat pe metoda respingerii (măcar aproximativ!) și în acest caz.

În această secțiune vom prezenta însă algoritmi pentru simularea unor repartiții particulare.

3.6.1 Simularea unor repartiții bazate pe probe Bernoulli

Vom prezenta mai întâi ce înțelegem prin *probe Bernoulli* [10].

Fie un eveniment aleator observabil A care are probabilitatea *constantă* $p = P(A) > 0$. Într-o experiență întâmplătoare se poate produce A cu probabilitatea p sau evenimentul contrar \bar{A} cu probabilitatea $q = 1 - p$. O astfel de experiență se numește *probă Bernoulli*. Când se produce A spunem că avem de-a face cu un *succes*, iar când A nu se produce spunem că se realizează un *eșec*. Să asociem unei probe Bernoulli variabila aleatoare Z astfel încât $Z = 1$ dacă se produce A și $Z = 0$ dacă se produce \bar{A} , adică Z are repartiția

$$Z : \begin{pmatrix} 0 & 1 \\ q & p \end{pmatrix}, \quad E(Z) = p, \quad Var(Z) = pq = p(1 - p). \quad (3.42)$$

Funcția de repartiție a lui Z este

$$F(x) = P(Z < x) = \begin{cases} 0, & \text{daca } x < 0 \\ q, & \text{daca } 0 \leq x < 1 \\ 1 & \text{daca } x \geq 1. \end{cases} \quad (3.42')$$

De aici rezultă că algoritmul de simulare a lui Z prin metoda inversă este

Algoritmul BERN de simulare a unei variabile (probe) Bernoulli

Generează $U := \text{random}$;

if $U > p$ **then** $Z := 0$ **else** $Z := 1$.

Să observăm din nou că dacă $p = \frac{1}{2}$ atunci suntem în cazul particular al *aruncării la întâmplare cu banul* (tragerea la sorți).

• **Repartiția binomială.** Se spune că variabila aleatoare discretă $X \in N$ este o *variabilă binomială* $\text{Binom}(n, p)$, $n \in N^+$, $0 < p < 1$ dacă $X = \text{numărul de succese în } n \text{ probe Bernoulli independente}$, adică

$$X = \sum_{i=1}^n Z_i$$

unde Z_i sunt variabile identic repartizate Bernoulli, independente.

Simularea variabilei X se face deci simplu, prin *numărarea de succese în n probe Bernoulli independente*.

Se poate deduce cu ușurință că

$$P(X = \alpha) = C_n^\alpha p^\alpha q^{n-\alpha}, \quad q = 1 - p,$$

adică $P(X = \alpha)$ este termenul general al dezvoltării binomului $(p + q)^n$, de unde derivă și denumirea de *repartiție binomială*.

Funcția caracteristică a variabilei binomiale este

$$\varphi(t) = E[e^{itX}] = E[e^{it \sum_j Z_j}] = (q + pe^{it})^n. \quad (3.43)$$

Cu ajutorul funcției caracteristice se calculează ușor media și dispersia lui X , adică

$$\begin{aligned} EX &= E\left(\sum_{i=1}^n Z_i\right) = \sum_{i=1}^n E(Z_i) = np, \\ \text{Var}(X) &= \text{Var}\left(\sum_{i=1}^n Z_i\right) = \sum_{i=1}^n \text{Var}(Z_i) = npq \end{aligned} \quad (3.43')$$

iar din *teorema limită centrală* se deduce că pentru n suficient de mare ($n \rightarrow \infty$) variabila

$$W_n = \frac{X - np}{\sqrt{npq}} \rightsquigarrow N(0, 1).$$

De aici rezultă următorul algoritm simplu de generare a lui $X \rightsquigarrow \text{Binom}(n, p)$, $n = \text{mare}$ [10].

Algoritmul BINNORM

Generează $W \rightsquigarrow N(0, 1)$;

Calculează $X := \{np + W\sqrt{npq}\}$. (Notația $\{E\}$ înseamnă "cel mai apropiat întreg de E ").

Observație. Variabila $\text{Binom}(n, p)$ are și o interpretare în termeni de experiment cu o urnă. Astfel, să presupunem că într-o urnă avem A bile albe și B bile negre, $A + B = N$. Presupunem că se realizează extracții succesive din urnă și după fiecare extracție se introduce bila extrasă la loc în urnă (*experiența cu bila "intoarsă"*). Fie $p = A/N$ probabilitatea de a extrage o bilă albă într-o extracție. De aici rezultă că $X =$ numărul de bile albe în n extracții succesive *cu intoarcere* este o variabilă binomială $\text{Binom}(n, p)$.

• **Repartiția Pascal** [10]. Variabila X are *repartiția Pascal* (k, p) , $k \in \mathbb{N}^+$, $0 < p < 1$, dacă $X =$ numărul de eșecuri până la apariția a k succese într-un șir oarecare de probe Bernoulli independente. De aici rezultă că variabila $X \rightsquigarrow \text{Pascal}(k, p)$ se simulează cu următorul algoritm care numără eșecurile realizate până la realizarea a k succese într-un șir de probe Bernoulli independente.

Algoritmul PASCAL

Intrare $k \in N^+, p, 0 < p < 1; X := 0; j := 0; (X \text{ numără eșecurile și } j\text{-succesele});$

repeat

Generează $U := \text{random};$ **if** $U < p$ **then** $j := j + 1$ **else** $X := X + 1;$

until $j = k.$ (X este valoarea de selecție generată).

Să observăm că

$$P(X = \alpha) = C_{\alpha+k-1}^{k-1} p^k q^\alpha, \alpha = 0, 1, 2, \dots$$

care este termenul general al dezvoltării în serie a expresiei $p^k(1-q)^{-k}$ din care cauză repartiția $Pascal(k, p)$ se mai numește și *repartiția binomială cu exponent negativ*. De aici se deduce și faptul că dacă $X_1 \rightsquigarrow Pascal(k_1, p)$ și $X_2 \rightsquigarrow Pascal(k_2, p)$, sunt variabile independente, atunci $(X = X_1 + X_2) \rightsquigarrow Pascal(k_1 + k_2, p)$, adică repartiția Pascal este *stabilă*. (Demonstrația se poate face simplu utilizând funcția caracteristică).

Se arată că

$$E(X) = \frac{kq}{p}, \quad Var(X) = \frac{kq}{p^2}, \quad (3.44)$$

formule ce se folosesc la validarea algoritmului.

Observație. Interpretarea *cu urnă* din cazul repartiției $Binom(n, p)$ se poate adapta și în cazul repartiției $Pascal(k, p)$. Astfel, numărul X de bile negre extrase *cu intoarcere* până când se obțin k bile albe, este o variabilă $Pascal(k, p)$.

• **Repartiția geometrică** $Geom(p)$ [10] este un caz particular de repartiție Pascal, când $k = 1$. Simularea variabilei $X \rightsquigarrow Geom(p)$ se poate realiza cu algoritmul **PASCAL** sau cu metoda inversă după cum urmează:

Fie $P(X = x) = pq^x, x = 0, 1, 2, \dots$ și să notăm

$$F(x) = P(X < x) = \sum_{i=0}^{x-1} pq^i = 1 - q^x, x = 0, 1, 2, \dots$$

care este o funcție de repartiție discretă. ($P(X = x)$ este termenul unei *progresii geometrice*, de unde și numele de repartiție geometrică). Simularea variabilei geometrice se poate realiza prin metoda inversă cu formula

$$X = \left\lceil \frac{\log(U)}{\log(q)} \right\rceil. \quad (3.45)$$

unde $[a]$ este partea întreagă a lui a . Din (3.44) se deduce că pentru variabila geometrică X avem

$$E(X) = \frac{q}{p}, \quad Var(X) = \frac{q}{p^2}, \quad (3.44')$$

formule care de asemenea se pot folosi la validarea algoritmului.

3.6.2 Repartiția hipergeometrică

Această repartiție se introduce după cum urmează [10].

Să considerăm experimentul cu urnă descris în legătură cu repartiția binomială, cu deosebirea că aici cele n bile se extrag la întâmplare din urnă, *fără întoarcere*. În acest caz numărul X de bile albe extrase este o *variabilă hipergeometrică*. Să notăm cu u evenimentul care reprezintă extragerea unei bile albe și cu v evenimentul care constă în extragerea unei bile negre; atunci probabilitățile de a extrage în prima extragere o bilă albă respectiv neagră, sunt respectiv $p = P(u) = A/N$, $P(v) = B/N$. Probabilitățile de extragere a unei bile albe sau negre în a doua extragere sunt condiționate de rezultatele primei extrageri adică

$$P(u|u) = \frac{A-1}{N-1}, P(u|v) = \frac{A}{N-1}, P(v|u) = \frac{B}{N-1}, P(v|v) = \frac{B-1}{N-1}.$$

Se observă deci că la fiecare extragere *compoziția urnei se schimbă* și probabilitatea de a extrage o bilă albă sau neagră este variabilă în funcție de extragerile anterioare. Variabila hipergeometrică se notează $H(N, p, n)$, $0 < p < 1$, $n < N$, de unde $A = \{Np\}$ ($\{x\}$, $x \in R$ este cel mai apropiat întreg de x), $B = N - A$. Se demonstrează că probabilitatea ca în n extracții succesive *fără întoarcere*, să se extragă a bile albe este

$$P(X = a) = \frac{C_A^a C_B^{n-a}}{C_N^n}, \quad 0 \leq a \leq n, \quad n < N. \quad (3.46)$$

De asemenea se arată că

$$E(X) = np, \quad E(X^2) = \frac{np}{N-1}[n(Np-1) + N(1-p)],$$

$$Var(X) = np(1-p)\frac{N-n}{N-1}. \quad (3.47)$$

Având în vedere cele menționate, algoritmul de simulare a variabilei hipergeometrice X este

Algoritmul HIPERGEOM

Intrare A, B, N , $N = A + B$, n ; (Acesta este un pas pregător);

Calculează $p = A/N$; *Inițializează* $j := 0$, $X := 0$;

repeat

Generează $U := \text{random}$; *Ia* $j := j + 1$;

```

if  $U < p$  then begin
     $X := X + 1$ ;  $S := 1$  (S-a extras o bilă albă);
    end else  $S := 0$ ; (S-a extras o bilă neagră);
    Calculează  $N := N - 1$ ,  $A := A - S$ ,  $p := \frac{A}{N}$ ;
until  $j = n$ . ( $X \rightsquigarrow H(N, p, n)$ );

```

Formulele (3.47) se pot folosi la validarea algoritmului.

3.6.3 Repartiția Poisson

Variabila aleatoare X , $X \in \mathcal{N}$ are repartiția $Poisson(\lambda)$, $\lambda > 0$ dacă

$$P(X = \alpha) = \frac{\lambda^\alpha}{\alpha!} e^{-\lambda}, \quad \lambda > 0. \quad (3.48)$$

Funcția caracteristică a variabilei $Poisson(\lambda)$ este

$$\varphi(t) = E(e^{itX}) = \sum_{\alpha=0}^{\infty} \frac{(e^{it}\lambda)^\alpha}{\alpha!} e^{-\lambda} = e^{\lambda e^{it}} e^{-\lambda} = e^{\lambda(e^{it}-1)} \quad (3.49)$$

de unde deducem

$$E(X) = \lambda, \quad E(X^2) = \lambda^2 + \lambda \quad Var(X) = E(X^2) - \lambda^2 = \lambda. \quad (3.49')$$

Repartiția $Poisson(\lambda)$ este repartiția *evenimentelor rare* în sensul următor: evenimentele sunt independente și se produc la intervale aleatoare de timp astfel încât un eveniment se produce pe intervalul de timp $[t, t + \Delta t]$ cu probabilitatea $\lambda \Delta t + O(\delta t)$ unde

$$\lim_{\Delta t \rightarrow 0} O(\Delta t) = 0, \quad \lim_{\Delta t \rightarrow 0} \frac{O(\Delta t)}{\Delta t} = 0$$

($O(\Delta t)$ este *neglijabilă* în raport cu Δt) iar probabilitatea ca pe același interval să se producă *mai mult* de un eveniment (condiția de *raritate*) este $O(\Delta t)$ (adică este neglijabilă). Numărul de *evenimente rare ce se produc pe unitatea de timp* este o variabilă aleatoare $Poisson(\lambda)$. Numărul λ este *intensitatea* cu care se produc evenimentele rare.

Se arată că intervalul de timp θ la care se produc două evenimente rare consecutive are o repartiție $Exp(\lambda)$, fapt care spune că $X = j - 1$ dacă $\sum_{i=1}^{j-1} \theta_i \leq \lambda < \sum_{i=1}^j \theta_i$. Ținând acum seama de faptul că $\theta_i = -\log U_i / (\lambda)$, U_i uniforme $0 - 1$, atunci rezultă că

$$X = j - 1 \quad \text{daca} \quad , \prod_{i=1}^{j-1} U_i \geq e^{-\lambda} > \prod_{i=1}^j U_i. \quad (3.50)$$

Pe baza relației (3.50) se poate construi cu ușurință un algoritm pentru simularea lui X iar cu formulele (3.49') se poate realiza validarea algoritmului.

Repartiția Poisson poate fi dedusă din repartiția binomială $Bin(n, p)$; să notăm $\lambda = np$ și să presupunem că $n \rightarrow \infty$ și $p \rightarrow 0$, λ rămânând constant. Ținând seama de (3.43) rezultă că funcția caracteristică a variabilei $Binom(n, p)$ se scrie sub forma

$$\varphi(t) = \left(1 + \frac{\lambda(e^{it} - 1)}{n}\right)^n \rightsquigarrow e^{\lambda(e^{it} - 1)}$$

care conform (3.49) este funcția caracteristică a variabilei Poisson.

De aici rezultă că simularea variabilei $Poissonb(\lambda)$ se poate realiza (aproximativ!) în felul următor.

0. Se alege o probabilitate $p \approx 0$ (de ex $p = 0.001$);
 1. Se determină $n = \lambda/p$ întreg (n este în acest caz mare);
- Se simulează $X \rightsquigarrow Binom(n, p)$.

(Simularea variabilei binomiale se poate face utilizând ca mai sus teorema limită centrală).

3.7 Validarea generatorilor

Vom prezenta în finalul acestui capitol cum se poate face *validarea algoritmilor* cu care se simulează diversele tipuri de variabile aleatoare. Validare înseamnă nu numai verificarea corectitudinii formale a programelor ci în special dacă algoritmul implementat (programat) produce valori de selecție asupra variabilei aleatoare în cauză, adică dacă pe baza unei selecții X_1, X_2, \dots, X_n , de volum n suficient de mare se verifică ipoteza statistică $H : X \rightsquigarrow F(x)$, care se mai numește și ipoteză *de concordanță*.

Mai întâi ar trebui să verificăm intuitiv dacă *repartiția empirică* sau *repartiția de selecție* se aseamănă cu cea *teoretică*. Mai precis trebuie să construim grafic *histograma* și să vedem dacă ea se aseamănă cu densitatea de repartiție.

• **Construcția histogramei** se face astfel:

- se determină mai întâi $m = \min(X_1, X_2, \dots, X_n)$,
 $M = \max(X_1, X_2, \dots, X_n)$ care reprezintă *intervalul de variație* $[m, M]$;
- se alege un întreg pozitiv k , (practica recomandă $15 \leq k \leq 40$) care reprezintă *numărul de intervale ale histogramei*;
- se împarte intervalul $[m, M]$ în k intervale $I_i = [a_{i-1}, a_i)$, $1 \leq i \leq k$, $a_0 = m$, $a_k = M$;

- se determină f_i = numărul valorilor de selecție ce cad în intervalul $[a_{i-1}, a_i)$, $1 \leq i \leq k$; f_i se numesc *frecvențe absolute*;

- se determină *frecvențele relative* $r_i = \frac{f_i}{n}$.

Repartiția empirică este

$$\begin{pmatrix} I_1, & I_2, & \dots, & I_k \\ r_1, & r_2, & \dots, & r_k \end{pmatrix}. \quad (3.51)$$

Acum să reprezentăm grafic (3.51) astfel: luăm pe abscisă intervalele I_i și construim *dreptunghiuri* care au ca bază aceste intervale și ca înălțimi r_i . Graficul obținut reprezintă *histograma* selecției X_1, X_2, \dots, X_n date. (Ea este *histograma frecvențelor relative*; asemănător se obține și *histograma frecvențelor absolute*).

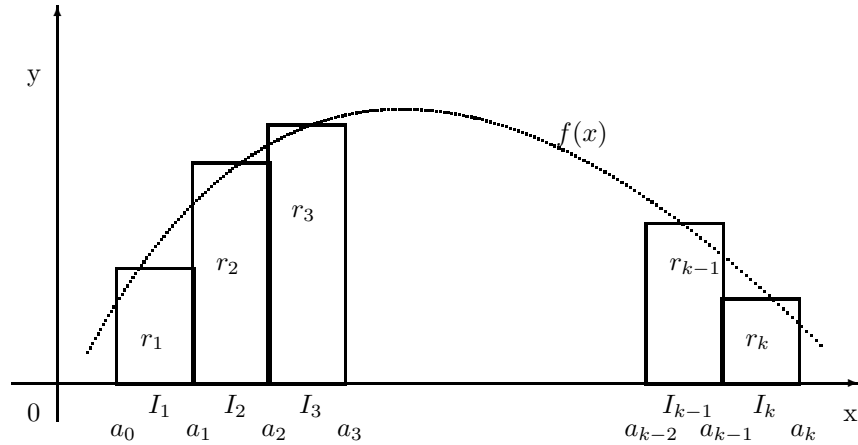


Fig.3.1. Histogramă.

În Fig. 3.1 se prezintă o histogramă; ea sugerează că linia punctată reprezintă forma *densității de repartiție*. Din această reprezentare grafică putem formula ipoteza H cu privire la funcția de repartiție $F(x)$ a variabilei X asupra căreia s-a efectuat selecția simulată X_1, X_2, \dots, X_n . În Fig. 3.2 se prezintă forma graficelor unor densități de repartiție considerate în acest capitol.

Când construim histograma unei selecții obținută prin simulare nu putem determina mai întâi m, M și apoi să construim I_i și f_i , $1 \leq i \leq k$ decât dacă memorăm *ad literam* toată selecția (ceea ce impune folosirea unei selecții de

volum n mic) sau dacă *repetăm* simularea selecției folosind aceeași sămânță a generatorului (ceea ce impune consum de timp de calcul dublu).

De aceea vom folosi următoarele idei pentru construcția histogramei:

- simulăm mai întâi un număr mic n_1 de valori de selecție X_1, X_2, \dots, X_{n_1} , $n_1 \ll n$ pe care le memorăm;
- cu ajutorul acestei selecții determinăm următoarele limite ale intervalelor histogramei: $a_1 = \min\{X_1, X_2, \dots, X_{n_1}\}$, $a_{k-1} = \max\{X_1, X_2, \dots, X_{n_1}\}$ și cu ajutorul lor determinăm intervalele I_2, \dots, I_{k-1} de lungimi egale cu $h = (a_{k-1} - a_1)/(k - 2)$, adică $I_i = [a_{i-1}, a_i)$, $2 \leq i \leq k - 1$, $a_i = a_{i-1} + hi$;
- cu ajutorul selecției de volum n_1 determinăm (parțial!) frecvențele absolute f_i , $2 \leq i \leq k - 1$ (utilizând pentru numărare formula (3.52) de mai jos; deocamdată a_0 și a_k nu sunt cunoscute!); luăm $a_0 = a_1$, $a_k = a_{k-1}$ care vor fi modificate ulterior; inițializăm $f_1 = 0$, $f_k = 0$;
- simulăm pe rând celelalte $n - n_1$ valori de selecție și pentru fiecare X astfel simulat efectuăm următoarele operații: dacă $X < a_1$ atunci luăm $a_0 = \min(a_0, X)$ și $f_1 := f_1 + 1$; dacă $X > a_{k-1}$ atunci luăm $a_k = \max(a_k, X)$ și $f_k := f_k + 1$; altfel dacă $a_1 \leq X < a_{k-1}$ atunci calculăm

$$j := \left\lceil \frac{X - a_1}{h} \right\rceil + 2, f_j := f_j + 1; \quad (3.52)$$

Când s-au prelucrat toate cele $n - n_1$ valori de selecție, s-au determinat toate elementele histogramei, care după reprezentarea și interpretarea grafică conduce la formularea ipotezei de concordanță.

Să remarcăm că această ultimă construcție conduce la o histogramă cu $k - 2$ intervale egale, iar intervalele I_1, I_k sunt de lungimi oarecare.

Dacă am fi ales arbitrar m, M și am fi construit apoi histograma ca în construcția precedentă, atunci histograma obținută ar fi putut avea multe frecvențe $f_i = 0$ și eventual frecvențele f_1 și/sau f_k foarte mari, fapt care nu ne-ar fi putut conduce la o formulare corectă a ipotezei de concordanță H . În concluzie, algoritmul cel mai bun, de construcție al histogramei unei selecții simulate asupra unei variabile aleatoare X , cu scopul de a valida algoritmul de simulare, este următorul:

Algoritmul HISTOGRAMA

Intrare n, n_1, k ; Considerăm tabela $f[1..k]$ și inițializăm:

for $j := 1$ **to** k **do** $f[j] := 0$;

Considerăm tabela $xi[1..n_1]$; Considerăm tabela $a[0..k]$;

for $i := 1$ **to** n_1 **do begin** Generează X și ia $xi[i] := X$; **end**;

Calculează $a[1] := \min(xi[1], xi[2], \dots, xi[n_1])$,

$a[k - 1] = \max(xi[1], xi[2], \dots, xi[n_1])$, $h := (a[k - 1] - a[1])/(k - 2)$;

```

for  $i := 1$  to  $n_1$  do  $j := trunc(\frac{x[i] - a[1]}{h}) + 2$ ,  $f[j] := f[j] + 1$ ;
  Ia  $a[0] := a[1]$ ,  $a[k] := a[k - 1]$ ;
for  $i := 1$  to  $n - n_1$  do begin
    Generează un  $X$ ;
    if  $a[1] < X < a[k - 1]$  then begin
       $j := trunc(\frac{X - a[1]}{h}) + 2$ ,  $f[j] := f[j] + 1$ ;
    end
    else if  $X \leq a[1]$  then begin
       $a[0] := \min\{a[0], X\}$ ,  $f[1] := f[1] + 1$ ;
    end
    else begin
       $a[k] := \max\{a[k], X\}$ ;  $f[k] := f[k] + 1$ 
    end;
  end.

```

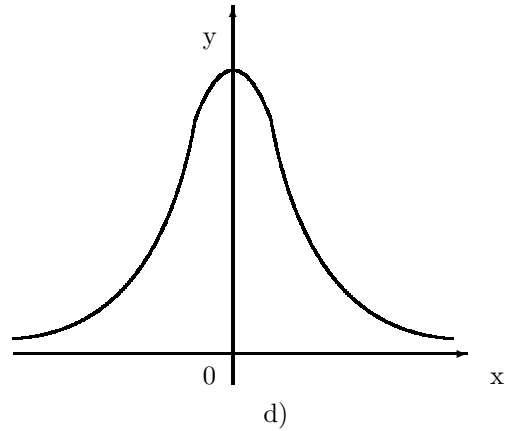
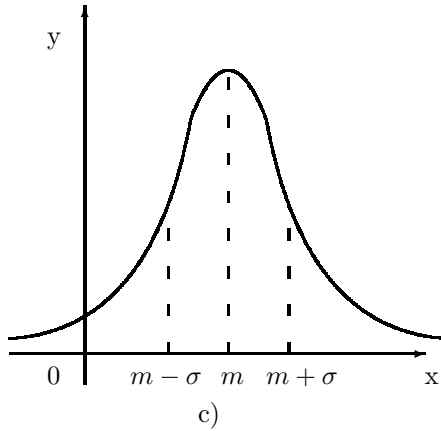
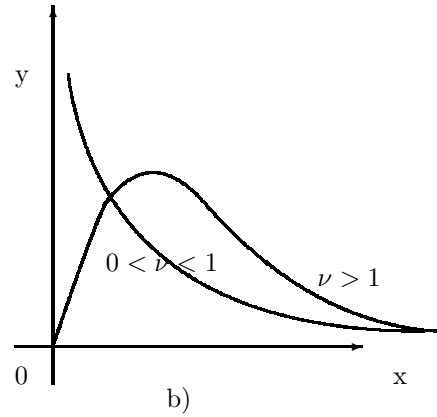
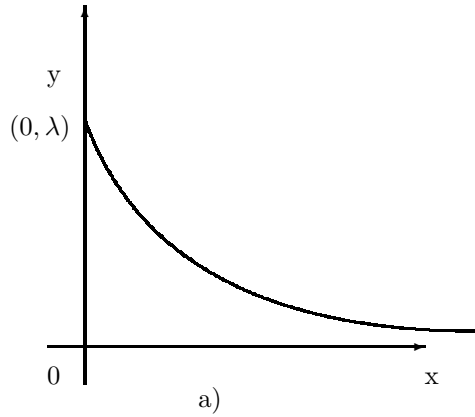


Fig. 3.2. Graficele unor densități de repartiție.

- a) Densitatea exponențială $\text{Exp}(\lambda)$.
- b) Densități de tipul $\text{Gamma}(0, 1, \nu)$, $\text{Weibull}(0, 1, \nu)$.
- c) Densitatea normală $N(m, \sigma)$.
- d) Densitatea de repartiție de tip Student.

• **Testul χ^2 .** Odată construită histograma putem aplica testul de concordanță χ^2 pentru verificarea ipotezei $H : X \rightsquigarrow F(x)$.

Pentru aceasta calculăm întâi probabilitățile

$$p_1 = F(a_1), p_i = F(a_i) - F(a_{i-1}), 2 \leq i \leq k-2, p_k = 1 - F(a_{k-1}).$$

Calculăm apoi

$$\chi^2 = \sum_{j=1}^k \frac{(f_j - np_j)^2}{np_j} \quad (3.53)$$

care se știe că are repartiția hi patrat cu $k-1$ grade de libertate, (χ_{k-1}^2 este variabila corespunzătoare). Fiind dat *riscul de genul I*, α , (o probabilitate mică, apropiată de zero) determinăm $\chi_{k-1, \alpha}^2$ (numită α -cuantilă superioară) astfel încât

$$P(\chi_{k-1}^2 > \chi_{k-1, \alpha}^2) = \alpha. \quad (3.53')$$

Ipoteza H se acceptă dacă

$$\chi^2 < \chi_{k-1, \alpha}^2 \quad (3.53'')$$

și se respinge în caz contrar.

• **Un test simplu.** Cel mai simplu mod de testare a unui generator care simulează o variabilă neuniformă X se poate realiza astfel:

- Se determină câteva momente teoretice ale lui X ca de ex. $m = E[X]$ și $\sigma^2 = \text{Var}[X]$;
- Cu ajutorul selecției simulate X_1, X_2, \dots, X_n se calculează momentele empirice de selecție

$$\bar{X} = \frac{\sum_{i=1}^n X_i}{n}, s^2 = \frac{\sum_{i=1}^n X_i^2}{n} - \bar{X}^2;$$

Se consideră că generatorul este bun dacă pentru n suficient de mare ($n > 1000$) valorile lui \bar{X} și s^2 sunt tot mai apropiate de m și σ^2 , ca o consecință a *legii numerelor mari*. Se presupune că momentele teoretice m, σ^2 sunt cunoscute.

Exerciții

E.3.1. Fie variabila $X \rightsquigarrow f(x)$ unde

$$f(x) = kg(x) \quad g(x) = \begin{cases} x(2-x), & \text{daca } x \in [0, 2] \\ 0, & \text{altfel} \end{cases}.$$

Sa se determine constanta k și să se precizeze o metodă de simulare a lui X .

Soluție. Impunând condiția $\int_R f(x)dx = 1$, se obține $k = 4/3$ și

$$F(x) = \begin{cases} 0, & \text{daca } x < 0 \\ x^2 - \frac{x^3}{3}, & 0 \leq x \leq 2 \\ 1 & \text{daca } x > 2 \end{cases}$$

iar simularea se poate face prin metoda inversă calculându-se numeric soluția $X \in [0, 2]$ a ecuației $F(X) = U$.

E.3.2. Variabila aleatoare Y are densitatea de repartiție

$$f(y) = \begin{cases} 0 & \text{daca } y < 0 \\ 2\lambda y e^{-\lambda y^2}, & \text{daca } y \geq 0. \end{cases}$$

Dacă $X \rightsquigarrow \text{Exp}(\lambda)$ să se arate că $Y = \sqrt{X}$ de unde se deduce metoda de simulare a lui Y .

Soluție Intr-adevăr

$$P(Y < t) = P(\sqrt{X} < t) = P(X < t^2) = \begin{cases} 0, & \text{daca } t < 0 \\ 1 - e^{-\lambda t^2} & \text{daca } t \geq 0. \end{cases}$$

E.3.3. Fie $X_1 \rightsquigarrow \text{Binom}(n_1, p)$ $X_2 \rightsquigarrow \text{Binom}(n_2, p)$ X_1, X_2 independente. Arătați că $(X_1 + X_2) \rightsquigarrow \text{Binom}(n_1 + n_2, p)$.

Soluție. Se folosește funcția caracteristică

$$\varphi_{X_j}(t) = (q + pe^{it})^{n_j}, j = 1, 2$$

și $\varphi_{X_1+X_2}(t) = \varphi_{X_1}(t)\varphi_{X_2}(t)$. (Repartiția binomială este stabilă).

E.3.4. Fie $X \rightsquigarrow F(x)$, $Y \rightsquigarrow G(x)$ independente. Să se determine funcția de repartiție a variabilei $Z = \max(X, Y)$. Să se precizeze de aici cum se poate simula variabila $Z \rightsquigarrow H(x)$ unde

$$H(x) = \begin{cases} (1 - e^{-\lambda x})(1 - \frac{1}{(1+\theta x)^c}) & \text{daca } x \geq 0 \\ 0, & \text{daca } x < 0. \end{cases}$$

Soluție. Se observă că $Z \rightsquigarrow H(x) = F(x)G(x)$, $X \rightsquigarrow \text{Exp}(\lambda)$, $Y \rightsquigarrow \text{Lomax}(\theta, c)$ de unde $Z = \max(X, Y)$.

E.3.5. Fie $X \rightsquigarrow \text{Poisson}(\lambda)$, $Y \rightsquigarrow \text{Poisson}(\mu)$ independente. Să se arate că $(X|X+Y=n) \rightsquigarrow \text{Binom}(n, \frac{\lambda}{\lambda+\mu})$.

Soluție. Avem $(X+Y) \rightsquigarrow \text{Poisson}(\lambda+\mu)$ și deci

$$P(X=r|X+Y=n) = \frac{P(X=r, X+Y=n)}{P(X+Y=n)} =$$

$$= \frac{e^{-\lambda} \lambda^r e^{-\mu} \mu^r}{r!(n-r)!} \frac{n!}{e^{-(\lambda+\mu)} (\lambda+\mu)^n} = C_n^r \frac{\lambda^r \mu^{n-r}}{(\lambda+\mu)^n}, r = 0, 1, \dots, n.$$

E.3.6. Fie $X \rightsquigarrow f(x)$ unde

$$f(x) = \begin{cases} 0, & \text{daca } x < 0 \\ \frac{1}{\lambda} \exp\{-\frac{e^x-1}{\lambda} + x\} & \text{daca } x \geq 0, \lambda > 0 \end{cases}$$

numită *repartiția valorii extreme*. Să se descrie o metodă pentru simularea lui X .

Soluție. Se aplică metoda inversă.

E.3.7. Fie $Y \rightsquigarrow \text{Exp}(1)$ și $X = k \exp(\frac{Y}{a})$. Să se determine repartiția lui X .

Soluție. Se deduce prin calcul direct că

$$F(x) = P(X < x) = \begin{cases} 0 & \text{daca } x < 0 \\ 1 - (\frac{x}{k})^{-a} & \text{daca } x \geq 0. \end{cases}$$

Se aplică metoda inversă.

E.3.8. Fie Z_1, Z_2 variabile normale $N(0, 1)$, independente. Să se arate că

$$U = \frac{2}{\pi} \arctg \frac{Z_1}{Z_2} \rightsquigarrow \text{uniforma } U(-1, 1).$$

Soluție. Densitatea de repartiție comună a lui Z_1, Z_2 este

$$f(x_1, x_2) = \frac{1}{2\pi} e^{-\frac{x_1^2 + x_2^2}{2}}.$$

Deci

$$P(U < y) = P(\frac{Z_1}{Z_2} < tg(2\pi y)) = \int \int_{x_1/x_2 < tg(2\pi y)} e^{-\frac{x_1^2 + x_2^2}{2}} dx_1 dx_2 = y.$$

E.3.9. Fie X și Y două variabile exponențiale de parametru 1, independente. Să se determine repartiția variabilei $T = X - Y$.

Soluție. Densitatea comună de repartiție este

$$g(x, y) = e^{-x-y}, x > 0, y > 0.$$

Facem transformarea

$$t = x - y, \quad v = y, \quad J = \frac{D(x, y)}{D(v, t)} = 1$$

și calculăm

$$h(t) = \int_0^{\infty} g(x(t, v), y(v, t)) |J| dv.$$

Se obține în final

$$h(t) = \begin{cases} \frac{1}{2}e^x & \text{dacă } x < 0, \\ \frac{1}{2}e^{-x} & \text{dacă } x \geq 0. \end{cases}$$

Deci densitatea lui T este de tip *Laplace*; variabila T se simulează deci ca diferența de două variabile $Exp(1)$ independente.

E.3.10. Variabila aleatoare X are densitatea $f(x) = \frac{3}{4}(1 - x^2)$, $x \in [-1, 1]$ și $f(x) = 0$, $x \notin [-1, 1]$. Să se simuleze X .

Soluție. Se poate aplica metoda respingerii folosind înfășurătura $h(x) = \frac{1}{2}$, $x \in [-1, 1]$; $h(x) = 0$, $x \notin [-1, 1]$ (adică $h(x)$ -uniformă pe $[-1, 1]$). Se obține

$$\frac{f(x)}{h(x)} \leq \alpha = \frac{3}{2}, \text{ etc.}$$

Se poate folosi și metoda inversă. Avem

$$F(x) = \begin{cases} 0, & x < -1, \\ \frac{3x-x^3+2}{4}, & x \in [-1, 1], \\ 1, & x > 1 \end{cases}$$

Se ia soluția $x_0 \in [-1, 1]$ a ecuației $F(x) = U$. (Ecuația poate avea trei soluții!).

Cap. 4

Simularea vectorilor aleatori

4.1 Generalități

Un vector $\mathbf{X} = (X_1, X_2, \dots, X_k)'$ (vector coloană) ale cărui componente X_i sunt variabile aleatoare, se numește *vector aleator*. Cazul în care componentele sunt independente stochastic este desigur banal de aceea cazul cel mai interesant este când componentele X_i sunt dependente sau *corelate*.

Funcția de repartiție a vectorului \mathbf{X} este

$$F(\mathbf{x}) = F(x_1, x_2, \dots, x_k) = P(X_1 < x_1, X_2 < x_2, \dots, X_k < x_k) \quad (4.1)$$

și ea se mai numește funcția de repartiție *comună* a lui $\{X_1, X_2, \dots, X_k\}$ sau funcția de repartiție multidimensională. Desigur,

$$F(-\infty, \dots, -\infty) = 0, F(+\infty, \dots, +\infty) = 1, F(\dots, x_i, \dots) \leq F(\dots, y_i, \dots), x_i < y_i$$

(adică F este monotonă pe componente). Funcția $f(x_1, x_2, \dots, x_k)$ definită de relația

$$f(\mathbf{x}) = f(x_1, x_2, \dots, x_k) = \frac{\partial^k F(x_1, x_2, \dots, x_k)}{\partial x_1 \partial x_2 \dots \partial x_k} \quad (4.2)$$

când derivata parțială există, se numește *densitate de repartiție multidimensională* a lui \mathbf{X} .

Funcția de repartiție $P(X_i < x_i) = F(+\infty, \dots, +\infty, x_i, +\infty, \dots, +\infty) = F_i(x_i)$ se numește *funcție de repartiție marginală a lui X_i* , iar $f_i(x_i) = F'_i(x_i)$ (când derivata există) se numește *densitate de repartiție marginală a lui X_i* . Se pot defini funcții de repartiție marginale pentru $2, 3, \dots, k-1$ componente, etc. De exemplu funcția de repartiție marginală $F_{ij}(x_i, x_j) = P(X_i <$

$x_i, X_j < x_j) = F(+\infty, \dots, x_i, \dots, x_j, \dots + \infty)$, $1 \leq i, j \leq k$ corespunde componentelor X_i, X_j ale vectorului \mathbf{X} . Au loc relațiile

$$F(\mathbf{x}) = F(x_1, \dots, x_k) = \int_{-\infty}^{x_1} \dots \int_{-\infty}^{x_k} f(u_1, \dots, u_k) du_1 \dots du_k = \int_{-\infty}^{\mathbf{x}} f(\mathbf{u}) d\mathbf{u}. \quad (4.3)$$

Dacă variabilele $X_i, 1 \leq i \leq k$ sunt independente atunci

$$F(x_1, x_2, \dots, x_k) = F_1(x_1)F_2(x_2) \dots F_k(x_k) \quad (4.4)$$

sau analog pentru densități

$$f(x_1, x_2, \dots, x_k) = f_1(x_1)f_2(x_2) \dots f_k(x_k). \quad (4.4')$$

Când există integralele

$$m_i = E(X_i) = \int_{-\infty}^{+\infty} x_i f_i(x_i) dx_i,$$

$$m_{ij} = E(X_i X_j) = \int_{-\infty}^{+\infty} \int_{-\infty}^{+\infty} x_i x_j f_{ij}(x_i, x_j) dx_i dx_j$$

acestea se numesc momente *de ordinul I*, respectiv *de ordinul II*. Expresiile

$$\sigma_{ij} = E[(X_i - m_i)(X_j - m_j)] = \int_{-\infty}^{+\infty} \int_{-\infty}^{+\infty} (x_i - m_i)(x_j - m_j) f_{ij}(x_i, x_j) dx_i dx_j$$

când integralele există, se numesc momente centrate; în acest caz, σ_{ij} se numește *covarianța* lui X_i cu X_j și se notează $\sigma_{ij} = Cov(X_i, X_j)$. Se observă că $\sigma_{ii} = Cov(X_i, X_i) = Var(X_i) = \sigma_i^2$. Este ușor de arătat că dacă X_i este independent de X_j , $i \neq j$, atunci

$$m_{ij} = E(X_i X_j) = m_i m_j = E(X_i)E(X_j), \quad \sigma_{ij} = Cov(X_i, X_j) = 0.$$

Este satisfăcută *inegalitatea lui Schwarz*, adică

$$|Cov(X_i, x_j)| \leq \sqrt{Var(X_i)Var(X_j)} \quad \text{sau} \quad |\sigma_{ij}| \leq \sigma_i \sigma_j.$$

Se numește *coeficient de corelație al variabilelor* X_i și X_j mărimea

$$\rho_{ij} = Corr(X_i, X_j) = \frac{Cov(X_i, X_j)}{\sqrt{Var(X_i)Var(X_j)}}. \quad (4.5)$$

Se observă că $\rho \in [-1, 1]$ și el are următoarea interpretare: $\rho_{ij} \approx 0 \Rightarrow X_i$ *depinde foarte puțin de* X_j ; dacă $\rho_{ij} < 0$, atunci X_i și X_j sunt *invers*

corelate iar dacă $\rho_{ij} > 0$, atunci X_i și X_j sunt *direct* corelate; dacă $|\rho_{ij}| \approx 1$ atunci X_i și X_j sunt *puternic* corelate.

Pentru un vector aleator mediile m_i definesc un vector $\mathbf{m} = (m_1, m_2, \dots, m_k)'$ numit *vectorul valoare medie* notat $\mathcal{E}(\mathbf{X})$ iar covarianțele σ_{ij} definesc o matrice $\Sigma = \|\sigma_{ij}\|$ (care este pozitiv definită, $\Sigma \succ 0$) și se notează $\Sigma = \text{Cov}(\mathbf{X}, \mathbf{X}')$.

Vom defini acum noțiunea de repartiție condiționată. Presupunem că \mathbf{X} are densitatea de repartiție $f(\mathbf{x})$ și să considerăm descopmunerea lui \mathbf{X} în doi subvectori $\mathbf{X} = (\mathbf{X}^{(1)}, \mathbf{X}^{(2)})'$ unde $\mathbf{X}^{(1)}$ este un vector r -dimensional iar $\mathbf{X}^{(2)}$ este un vector q -dimensional, $r < k$, $r + q = k$. Definim *densitatea de repartiție condiționată* $f(\mathbf{x}^{(1)}|\mathbf{x}^{(2)})$ a lui $\mathbf{X}^{(1)}$ când $\mathbf{X}^{(2)} = \mathbf{x}^{(2)}$ astfel

$$f(\mathbf{x}^{(1)}|\mathbf{x}^{(2)}) = \frac{f(\mathbf{x}^{(1)}, \mathbf{x}^{(2)})}{\int_{-\infty}^{+\infty} f(\mathbf{y}^{(1)}, \mathbf{x}^{(2)}) d\mathbf{y}^{(1)}}, \text{ unde } f(\mathbf{x}) = f(\mathbf{x}^{(1)}, \mathbf{x}^{(2)}). \quad (4.6)$$

Cu această densitate se definesc, când există, $E[\mathbf{X}^{(1)}|\mathbf{X}^{(2)} = \mathbf{x}^{(2)}]$, $\text{Cov}(\mathbf{X}^{(1)}, \mathbf{X}^{(1)}'|\mathbf{X}^{(2)} = \mathbf{x}^{(2)})$ adică *media condiționată*, respectiv *matricea de covarianță condiționată*. Uneori este necesar să simulăm $(\mathbf{X}^{(1)}|\mathbf{X}^{(2)} = \mathbf{x}^{(2)})$, când se cunoaște repartiția condiționată.

Metoda inversă este valabilă și în cazul simulării vectorilor aleatori. Fie $F(\mathbf{x}) = F(x_1, x_2, \dots, x_k) = P(X_1 < x_1, \dots, X_k < x_k)$, funcția de repartiție a lui \mathbf{X} și fie $F_1(x_1) = P(X_1 < x_1)$ funcția de repartiție marginală a lui X_1 , și $F_{1\dots i}(x_1, \dots, x_i) = P(X_1 < x_1, \dots, X_i < x_i)$ funcția de repartiție marginală a lui $(X_1, \dots, X_i)'$. Fie de asemenea funcțiile de repartiție condiționate $F_2(x_1, x_2) = P(X_2 < x_2|X_1 = x_1) = F(x_2|x_1)$, $F_3(x_1, x_2, x_3) = P(X_3 < x_3|X_1 = x_1, X_2 = x_2) = F(x_3|x_1, x_2)$, $F_i(x_1, x_2, \dots, x_i) = P(X_i < x_i|X_1 = x_1, \dots, X_{i-1} = x_{i-1}) = F(x_i|x_1, \dots, x_{i-1})$, $2 \leq i \leq k$. Să notăm cu F_i^{-1} inversa funcției $F_i(x_1, x_2, \dots, x_i)$ în raport cu x_i . Atunci are loc următoarea teoremă (metoda inversă pentru vectori).

Teorema 4. 1 *Dacă $U_i, 1 \leq i \leq k$ sunt variabile aleatoare uniforme 0 – 1 independente atunci vectorul aleator $\mathbf{Y} = (Y_1, Y_2, \dots, Y_k)'$ ale cărui componente sunt*

$$Y_1 = F_1^{-1}(U_1), Y_2 = F_2^{-1}(Y_1, U_2), Y_i = F_i^{-1}(Y_i, \dots, Y_{i-1}, U_i), 2 \leq i \leq k \quad (4.6')$$

are funcția de repartiție $F(\mathbf{x})$.

Demonstrație. Avem

$$P(Y_1 < x_1) = P(F_1^{-1}(U_1) < x_1) = P(U_1 < F(x_1)) = F_1(x_1),$$

$$\begin{aligned}
P(Y_1 < x_1, Y_2 < x_2) &= P(Y_2 < x_2 | Y_1 = x_1) P(Y_1 < x_1) = \\
&= P(F_2^{-1}(Y_1, U_2) < x_2 | Y_1 = x_1) F_1(x_1) = P(U_2 < F_2(x_1, x_2)) F_1(x_1) = \\
&= F_2(x_1, x_2) F_1(x_1) = F_{12}(x_1, x_2).
\end{aligned}$$

Repetând procedeul precedent obținem pentru $(Y_1, \dots, Y_i)'$

$$\begin{aligned}
P(Y_1 < x_1, \dots, Y_{i-1} < x_{i-1}, Y_i < x_i) &= \\
&= P(Y_1 < x_1, \dots, Y_{i-1} < x_{i-1}, F_i^{-1}(Y_1, \dots, Y_{i-1}, U_i) < x_i) = F_{1\dots i}(x_1, \dots, x_i).
\end{aligned}$$

Dar

$$F_{1\dots k}(x_1, \dots, x_k) = F(x_1, \dots, x_k)$$

ceea ce trebuia demonstrat. De aici se deduce următorul algoritm pentru simularea vectorului aleator \mathbf{X} când se cunosc inversele F_i^{-1} ale funcțiilor de repartiție condiționate $F_i(x_1, \dots, x_{i-1}, x_i)$ în raport cu x_i .

Algoritmul AIMULT pentru metoda inversă multidimensională.

Generează $U := \text{random}$; Calculează $Y_1 = F_1^{-1}(U)$;

for $i := 2$ **to** k **do begin**

Generează $U := \text{random}$;

Calculează $Y_i := F_i^{-1}(Y_1, \dots, Y_{i-1}, U)$;

end.

Vectorul $\mathbf{Y} = (Y_1, Y_2, \dots, Y_k)'$ are funcția de repartiție $F(\mathbf{x})$ conform teoremei 1.

Exemplul 4.1. Simularea repartiției Gumbel bidimensionale. Presupunem că vectorul aleator $(X, Y)'$ are funcția de repartiție

$$F(x, y) = \begin{cases} 1 - e^{-x} - e^{-y} + e^{-(x+y+\theta xy)}, & \text{daca } x > 0, y > 0, 0 < \theta < 1. \\ 0, & \text{altfel} \end{cases}$$

Se observă că

$$F_1(x) = \begin{cases} 1 - e^{-x}, & \text{daca } x > 0, \\ 0, & \text{altfel} \end{cases}$$

adică repartiția marginală a lui X este $\text{Exp}(1)$.

Prin calcule simple (utilizând (4.6)) se deduce că

$$f_2(y|x) = \begin{cases} e^{-y(1+\theta x)} \{(1+\theta x)(1+\theta y) - \theta\}, & \text{daca } y > 0, \\ 0, & \text{altfel} \end{cases}$$

și deci funcția de repartiție a lui Y condiționată de $X = x$ este

$$F_2(y|x) = \begin{cases} [1 - e^{-y(1+\theta x)}][1 + \theta(1+x)], & \text{daca } y > 0 \\ 0, & \text{altfel} \end{cases}$$

Putem deci aplica teorema 1 pentru simularea lui $(X, Y)'$ astfel

Algoritmul GUMBEL

Intrare θ ; (Acesta este un pas pregătitor);

Generează $X \rightsquigarrow \text{Exp}(1)$;

Generează $U := \text{random}$; *Generează* Y rezolvând ecuația

$$[1 - e^{-Y(1+\theta X)}][1 + \theta(1 + X)] = U; U \in (0, \infty).$$

Teorema înfășurătoare se poate aplica și în cazul vectorilor aleatori. (Vezi exercițiul **E4.5**).

4.2 Simularea vectorilor uniformi.

Vectorul aleator k -dimensional $\mathbf{V} = (V_1, V_2, \dots, V_k)'$ are repartiție uniformă pe domeniul mărginit $D \subset \mathbf{R}^k$ dacă densitatea sa de repartiție este

$$f(\mathbf{v}) = \begin{cases} k, & \text{daca } \mathbf{v} \in D, \\ 0, & \text{daca } \mathbf{v} \notin D \end{cases}, \quad k = \frac{1}{\text{mes}D}, \quad \text{mes}D = \int_D d\mathbf{v}. \quad (4.7)$$

Rezultă că \mathbf{V} are repartiție uniformă pe intervalul $I = [a_1, b_1] \times [a_2, b_2] \times \dots \times [a_k, b_k]$ $-\infty < a_i < b_i < +\infty, 1 \leq i \leq k$ dacă

$$f(\mathbf{v}) = \begin{cases} \frac{1}{\prod_{i=1}^k (b_i - a_i)}, & \text{daca } \mathbf{v} \in I \\ 0, & \text{daca } \mathbf{v} \notin I. \end{cases} \quad (4.7')$$

Din (4.7') rezultă că dacă \mathbf{V} este uniform pe I atunci V_i sunt variabile uniforme pe $[a_i, b_i]$ și independente deoarece

$$f(v_1, v_2, \dots, v_k) = \prod_{i=1}^k f_i(v_i), \quad f_i(v_i) = \begin{cases} \frac{1}{b_i - a_i}, & \text{daca } v_i \in [a_i, b_i] \\ 0, & \text{daca } v_i \notin [a_i, b_i]. \end{cases} \quad (4.7'')$$

De aici se deduce următorul algoritm simplu pentru simularea vectorului $\mathbf{V} \rightsquigarrow \text{uniform pe } I$.

Algoritmul VUNIFINT de simulare a vectorului uniform pe interval

Intrare $a_i, b_i, 1 \leq i \leq k$;
for $i := 1$ **to** k **do begin**
 Generează $U := \text{random}$; Ia $V_i := a_i + (b_i - a_i)U$;
end.

Pentru a simula un vector aleator \mathbf{W} uniform pe $D \subset \mathbf{R}^k$ (D fiind un domeniu oarecare), nu mai este adevărată (4.7"). Dar să observăm că dacă $D \subseteq I$ și \mathbf{V} e uniform pe I atunci restricția lui \mathbf{V} la D (vectorul notat \mathbf{W}), este un vector uniform pe D .

De aici rezultă următorul algoritm de *respingere* pentru simularea lui \mathbf{W} .

Algoritmul VECTUNIFD de simulare a vectorului uniform pe domeniu oarecare:

Construiește un interval minimal $I = [a_1, b_1] \times \dots \times [a_k, b_k]$ astfel încât $D \subseteq I$; (Acest interval există deoarece D este mărginit).

repeat

Generează V uniform pe I ;

until $\mathbf{V} \in D$;

 Ia $\mathbf{W} := \mathbf{V}$.

Probabilitatea de acceptare a acestui algoritm este

$$p_a = \frac{\text{mes}D}{\text{mes}I} = \frac{\text{mes}D}{\prod_{i=1}^k [b_i - a_i]}$$

de unde se deduce că pentru a obține un interval I cât mai bun, acesta trebuie să fie *minimal* astfel încât $D \subseteq I$.

4.3 Simularea vectorilor normali

Vectorul aleator k -dimensional \mathbf{X} are repartiția normală $N(\mu, \Sigma)$ dacă densitatea sa este

$$f(\mathbf{x}; \mu, \Sigma) = \frac{1}{(2\pi)^{k/2} [\det(\Sigma)]^{1/2}} e^{-\frac{1}{2}(\mathbf{x}-\mu)' \Sigma^{-1}(\mathbf{x}-\mu)}, \mathbf{x} \in \mathbf{R}^k. \quad (4.8)$$

Se arată că

$$\mathcal{E}(\mathbf{X}) = \mu, \quad \text{Cov}(\mathbf{X}, \mathbf{X}') = \Sigma. \quad (4.8')$$

Formulele precedente se deduc ușor cu ajutorul funcției caracteristice. În cazul variabilei normale $X \rightsquigarrow N(m, \sigma)$ conform teoremei 3.7 funcția caracteristică este

$$\varphi(t) = e^{itm - \frac{t^2 \sigma^2}{2}}.$$

Prin analogie, in cazul multidimensional funcția caracteristică este

$$\varphi(\mathbf{t}) = E[e^{i\mathbf{t}'\mathbf{X}}] = \int_{R^k} e^{i \sum_{j=1}^k t_j x_j} f(\mathbf{x}; \mu, \Sigma) d\mathbf{x}$$

care după efectuarea unor calcule devine

$$\varphi(\mathbf{t}) = e^{i\mathbf{t}'\mu - \frac{\mathbf{t}'\Sigma\mathbf{t}}{2}}.$$

Făcând deci analogie cu funcția caracteristică a variabilei normale $N(m, \sigma)$ rezultă că μ și Σ au semnificația din formulele (4.8'). Să notăm cu \mathbf{Z} vectorul normal $N(\mathbf{0}, I)$ unde I este matricea unitate k -dimensională iar $\mathbf{0}$ este vectorul nul din \mathbf{R}^k . Se constată cu ușurință că densitatea $f(\mathbf{z})$ a lui \mathbf{Z} satisface proprietatea

$$f(\mathbf{z}) = \prod_{i=1}^k f_i(z_i), \quad f_i(z_i) = \frac{1}{\sqrt{2\pi}} e^{-\frac{z_i^2}{2}} \quad (4.9)$$

adică componentele Z_i ale lui \mathbf{Z} sunt independente și normale $N(0, 1)$. Deci, simularea lui $\mathbf{Z} \rightsquigarrow N(\mathbf{0}, I)$ se realizează simplu astfel

Algoritmul VECNORMSTD de generare a vectorului normal standard.

for $i := 1$ **to** k **do begin**

Generează $T \rightsquigarrow N(0, 1)$; Ia $Z_i := T$;

end.

Pentru a simula $\mathbf{X} \rightsquigarrow N(\mu, \Sigma)$ vom folosi mai întâi teorema

Teorema 4. 2 Dacă $\mathbf{Y} \rightsquigarrow N(\mathbf{0}, \Sigma)$ și \mathbf{C} este o matrice $k \times k$ iar μ este un vector $k \times 1$ atunci

$$\mathbf{X} = \mu + \mathbf{C}\mathbf{Y} \rightsquigarrow N(\mu, \mathbf{C}\Sigma\mathbf{C}').$$

Demonstrație. Deoarece \mathbf{X} este o combinație liniară de variabile normale (componentele lui \mathbf{Y}), el are tot o repartiție normală și deci avem

$$\mathcal{E}(\mathbf{X}) = \mu + \mathbf{C}\mathcal{E}(\mathbf{Y}) = \mu + \mathbf{0} = \mu,$$

$$\text{Cov}(\mathbf{X}, \mathbf{X}') = \text{Cov}[(\mathbf{C}\mathbf{Y}), (\mathbf{C}\mathbf{Y})'] = \mathbf{C}\Sigma\mathbf{C}' \quad (4.10)$$

și teorema este demonstrată.

Fiind dată matricea $\Sigma \succ 0$ (pozitiv definită) se știe că există o matrice $\mathbf{C} = ||c_{ij}||$, $\mathbf{C} \succ 0$, inferior triunghiulară (adică $c_{ij} = 0$, $i < j$), astfel încât $\mathbf{C}\mathbf{C}' = \Sigma$. Matricea \mathbf{C} este *matricea Choleski*. De aici deducem teorema

Teorema 4. 3 Dacă $\mathbf{Z} \rightsquigarrow N(\mathbf{0}, \mathbf{I})$, μ este un vector $k \times 1$ și C este matricea Choleski a lui Σ , atunci $\mathbf{X} = \mu + C\mathbf{Z} \rightsquigarrow N(\mu, \Sigma)$.

Demonstrație. Din teorema 4.1 avem $\mathcal{E}(\mathbf{X}) = \mu$ și $\text{Cov}(\mathbf{X}, \mathbf{X}') = C\mathbf{I}C' = CC' = \Sigma$ și teorema este demonstrată.

Matricea C se determină cu ajutorul matricii $\Sigma = \|\sigma_{ij}\|$ cu formulele lui Choleski

$$\begin{aligned} c_{i1} &= \frac{\sigma_{i1}}{\sigma_{11}}, \quad 1 \leq i \leq k \\ c_{ii} &= \sqrt{\sigma_{ii} - \sum_{r=1}^{i-1} c_{ir}^2}, \quad 1 < i \leq k \\ c_{ij} &= \frac{\sigma_{ij} - \sum_{r=1}^{j-1} c_{ir}c_{jr}}{c_{jj}}, \quad 1 < j < i \leq k \\ c_{ij} &= 0, \quad 1 < i < j < k. \end{aligned} \quad (4.11)$$

Simularea vectorului $\mathbf{X} \rightsquigarrow N(\mu, \Sigma)$, după ce se calculează într-un pas pregător matricea C a lui Choleski se realizează cu următorul algoritm

Algoritmul NORMMULT de simulare a vectorului normal
Intrare μ, C ;
Generează $\mathbf{Z} \rightsquigarrow N(\mathbf{0}, \mathbf{I})$ cu algoritmul **VECNORMSTD**;
Calculează $\mathbf{X} = \mu + C\mathbf{Z}$.

Uneori este necesar să simulăm un subvector al unui vector normal când se dă celălalt subvector. Mai precis dacă $\mathbf{X} = (\mathbf{X}^{(1)}, \mathbf{X}^{(2)})' \rightsquigarrow N(\mu, \Sigma)$, cu $\mathbf{X}^{(1)}$ vector r -dimensional și $\mathbf{X}^{(2)}$ vector q -dimensional, $r + q = k$, se cere să se simuleze $\mathbf{X}^{(1)}$ condiționat de $\mathbf{X}^{(2)} = \mathbf{x}^{(2)}$.

Să considerăm scrierea *celulară* a lui μ și Σ , adică

$$\mu = \begin{pmatrix} \mu^{(1)} \\ \mu^{(2)} \end{pmatrix}, \quad \begin{pmatrix} \Sigma_{11} & \Sigma_{12} \\ \Sigma_{21} & \Sigma_{22} \end{pmatrix}. \quad (4.12)$$

Dacă μ și Σ sunt cunoscute atunci este adevărată următoarea teoremă

Teorema 4. 4 Repartiția condiționată a lui $\mathbf{X}^{(1)}$ când se dă $\mathbf{X}^{(2)} = \mathbf{x}^{(2)}$ este normală $N(\mu_*^{(1)}, \Sigma_{11}^*)$ unde

$$\mu_*^{(1)} = \mu^{(1)} + \Sigma_{12}\Sigma_{22}^{-1}(\mathbf{x}^{(2)} - \mu^{(2)}), \quad \Sigma_{11}^* = \Sigma_{11} - \Sigma_{12}\Sigma_{22}^{-1}\Sigma_{21}. \quad (4.13)$$

Nu prezentăm demonstrația acestei teoreme.

De aici se deduce algoritmul de simulare a lui $\mathbf{X}^{(1)}$ condiționat de $\mathbf{X}^{(2)} = \mathbf{x}^{(2)}$ și anume

Algoritmul NORMCOND de simulare condiționată.

Intrare $\mathbf{x}^{(2)}, \mu^{(i)}, \Sigma_{ij}, i, j = 1, 2;$

Calculează $\mu_*^{(1)}, \Sigma_{11}^*$;

Generează $\mathbf{Z}^{(1)} \rightsquigarrow N(\mathbf{0}, \mathbf{I}^{r \times r});$

Calculează C^* astfel încât $C^* C^{*'} = \Sigma_{11}^*$;

Calculează $\mathbf{X}_*^{(1)} = \mu_*^{(1)} + C^* \mathbf{Z}^{(1)}.$

Rezultatul este $\mathbf{X}_*^{(1)} \rightsquigarrow N(\mu_*^{(1)}, \Sigma_{11}^*).$

• **O metodă specială.** Presupunem că matricea de covarianță Σ are elementele de forma

$$\sigma_{ij} = \begin{cases} \sigma_i^2 & \text{daca } i = j, \sigma_i > 0 \\ \sigma_i \sigma_j \lambda_i \lambda_j & \text{daca } i \neq j, \lambda_i \in [-1, 1]. \end{cases} \quad (4.13')$$

Se arată simplu că dacă $\mathbf{Z} \rightsquigarrow N(\mathbf{0}, \mathbf{I})$ este un vector normal $(k+1)$ -dimensional, $\mathbf{Z} = (Z_0, Z_1, Z_2, \dots, Z_k)'$, atunci

$$X_i = \mu_i + \sigma_i(\sqrt{1 - \lambda_i^2} Z_i + \lambda_i Z_0), \quad 1 \leq i \leq k \quad (4.13'')$$

este un vector normal $N(\mu, \Sigma)$, $\mu = (\mu_1, \mu_2, \dots, \mu_k)'$.

Intr-adevăr, deoarece $Z_i \rightsquigarrow N(0, 1)$ rezultă că X_i sunt normale și deci $\mathbf{X} = (X_1, X_2, \dots, X_k)'$ are repartiție normală multidimensională. În plus avem

$$E(X_i) = \mu_i, \text{Var}(X_i) = \sigma_i^2(1 - \lambda_i^2 + \lambda_i^2) = \sigma_i^2, \sigma_{ij} = \text{Cov}(X_i, X_j) =$$

$$E[(X_i - \mu_i)(X_j - \mu_j)] = E[\sigma_i(\sqrt{1 - \lambda_i^2} Z_i + \lambda_i Z_0) \sigma_j(\sqrt{1 - \lambda_j^2} Z_j + \lambda_j Z_0)] =$$

$$= \sigma_i \sigma_j E[\sqrt{(1 - \lambda_i^2)(1 - \lambda_j^2)} Z_i Z_j + \lambda_j \sqrt{1 - \lambda_i^2} Z_0 Z_j +$$

$$+ \lambda_i \sqrt{1 - \lambda_j^2} Z_0 Z_i + \lambda_i \lambda_j Z_0^2] = \sigma_i \sigma_j \lambda_i \lambda_j, \quad i \neq j$$

adică σ_{ij} este dat de (4.13'). Simularea vectorului normal în acest caz special se face determinând componentele sale cu formula (4.13'').

4.4 Simularea repartiției Cauchy multidimensionale

În capitolul precedent s-a introdus repartiția Cauchy standard a cărei densitate este

$$f(x) = \frac{1}{\pi(1+x^2)} \quad (4.14)$$

și care se poate simula cu ajutorul metodei inverse (vezi tabelul 3.1). Se poate arăta că dacă Z_1, Z_2 sunt variabile normale $N(0, 1)$ independente, atunci variabila

$$X = \frac{Z_1}{Z_2} \quad (4.15)$$

are repartiția Cauchy standard.

Din această proprietate rezultă deci o metodă simplă de simulare a variabilei X -Cauchy standard unidimensionale ca raport de variabile normale $N(0, 1)$ independente.

O variabilă Y are repartiția $Cauchy(c, \sigma)$ dacă densitatea sa este

$$g(x) = \frac{1}{\sigma} \cdot \frac{1}{1 + \frac{(x-c)^2}{\sigma^2}}, \quad c \in R, \sigma > 0. \quad (4.16)$$

Simularea lui Y se va face cu formula $Y = c + \sigma X$.

În mod asemănător se poate introduce repartiția Cauchy standard multidimensională. Vectorul aleator \mathbf{X} are repartiția *Cauchy standard multidimensională* dacă densitatea sa de repartiție este de forma

$$f(\mathbf{x}) = \frac{\Gamma\left(\frac{k+1}{2}\right)}{\pi^{\frac{k+1}{2}}} \frac{1}{(1 + \mathbf{x}'\mathbf{x})^{\frac{k+1}{2}}}, \quad \mathbf{x} \in R^k. \quad (4.15')$$

Ca și în cazul unidimensional se arată că dacă \mathbf{Z} este un vector k -dimensional normal $N(\mathbf{0}, \mathbf{I})$ și η este o variabilă normală $N(0, 1)$ independentă de \mathbf{Z} , atunci \mathbf{X} se poate simula cu formula

$$\mathbf{X} = \frac{\mathbf{Z}}{\eta}. \quad (4.15'')$$

Se poate considera și repartiția multidimensională $Cauchy(\mathbf{c}, \Sigma)$ care are densitatea de forma

$$g(\mathbf{x}) = \frac{\Gamma\left(\frac{k+1}{2}\right)}{\pi^{\frac{k+1}{2}} (\det \Sigma)^{\frac{1}{2}}} \frac{1}{[1 + (\mathbf{x} - \mathbf{c})' \Sigma^{-1} (\mathbf{x} - \mathbf{c})]^{\frac{k+1}{2}}}. \quad (4.16')$$

Relația dintre vectorul Cauchy standard \mathbf{X} și vectorul $\mathbf{Y} \rightsquigarrow \text{Cauchy}(\mathbf{c}, \Sigma)$ este asemănătoare relației dintre vectorul \mathbf{Z} normal $N(\mathbf{0}, \mathbf{I})$ și vectorul \mathbf{Y} normal $N(\mathbf{c}, \Sigma)$, adică dacă \mathbf{X} are repartiție Cauchy standard și $\mathbf{Y} \rightsquigarrow \text{Cauchy}(\mathbf{c}, \Sigma)$ și considerăm matricea \mathbf{S} inferior triunghiulară astfel ca $\Sigma = \mathbf{S}\mathbf{S}'$, atunci \mathbf{Y} se poate genera cu formula

$$\mathbf{Y} = \mathbf{S}\mathbf{X} + \mathbf{c}. \quad (4.16'')$$

Combinând (4.15') cu (4.16'') rezultă că $\mathbf{Y} \rightsquigarrow \text{Cauchy}(\mathbf{c}, \Sigma)$ se simulează cu formula

$$\mathbf{Y} = \frac{\mathbf{Z}^*}{\eta} \quad (4.17)$$

unde $\mathbf{Z} \rightsquigarrow N(\mathbf{0}, \Sigma)$, independent de $\eta \rightsquigarrow N(0, 1)$.

4.5 Simularea repartiției multinomiale

Această repartiție este generalizarea multidimensională a repartiției binomiale. Vectorul aleator cu componente întregi nenegative $\mathbf{X} = (X_1, X_2, \dots, X_k)'$, $X_1 + X_2 + \dots + X_k = n$, are repartiția *multinomială* $\text{Multinom}(n, p_1, p_2, \dots, p_k)$ dacă

$$P(X_1 = n_1, X_2 = n_2, \dots, X_k = n_k) = \frac{n!}{n_1!n_2!\dots n_k!} p_1^{n_1} p_2^{n_2} \dots p_k^{n_k},$$

$$n_1 + \dots + n_k = n, \quad p_i > 0, 1 \leq i \leq k, \quad p_1 + p_2 + \dots + p_k = 1. \quad (4.18)$$

Se arată că

$$m_i = E[X_i] = np_i, \quad \sigma_i^2 = \text{Var}[X_i] = np_i(1 - p_i) = \text{Cov}(X_i, X_i),$$

$$\sigma_{ij} = \text{Cov}(X_i, X_j) = E[X_i X_j] - E[X_i]E[X_j] =$$

$$= n(n-1)p_i p_j - n^2 p_i p_j = -np_i p_j, \quad i \neq j. \quad (4.18')$$

Vectorul \mathbf{X} are o interpretare asemănătoare variabilei binomiale în cazul unui experiment cu urnă după cum urmează: să presupunem că într-o urnă se găsesc N_i bile de culoarea i , $1 \leq i \leq k$, $N = N_1 + N_2 + \dots + N_k$. Se presupune că se extrag n bile din urnă *cu intoarcere*, din care X_i sunt bile de culoarea i , $n = X_1 + X_2 + \dots + X_k$. Atunci vectorul aleator $\mathbf{X} = (X_1, X_2, \dots, X_k)'$ are repartiția $\text{Multinom}(n, p_1, \dots, p_k)$, $p_i = N_i/N$, $\sum_i p_i = 1$.

Această interpretare ne conduce la următorul algoritm pentru simularea lui \mathbf{X}

Algoritmul MULTINOM de simulare a repartiției multinomiale

Intrare $n, k, p_1, p_2, \dots, p_k$ și calculează $F[\alpha] = \sum_{i=1}^{\alpha} p_i, 1 \leq i \leq k$; (Acesta este un pas pregătitor);

Inițializează $X[1] = 0, \dots, X[k] = 0$;

for $i := 1$ **to** n **do begin**

Simulează $U := \text{random}$; *Ia* $i := 1$;

while $U \geq F[i]$ **do** $i := i + 1$;

Insumează $X[i] := X[i] + 1$;

end.

Testarea algoritmului se face în mod simplu astfel

- Se generează selecția de volum T , $\mathbf{X}^{(\alpha)} = (X_1^{(\alpha)}, \dots, x_k^{(\alpha)})', 1 \leq \alpha \leq T$;
- Se calculează mediile aritmetice și dispersiile empirice

$$\bar{X}_i = \frac{1}{T} \sum_{\alpha=1}^T X_i^{(\alpha)}, \quad s_i^2 = \frac{1}{T} \sum_{\alpha=1}^T [X_i^{(\alpha)}]^2 - \bar{X}_i^2.$$

Pentru validarea algoritmului, trebuie, ca pentru un T mare să avem $m_i \approx \bar{X}_i$, $\sigma_i^2 \approx s_i^2$, unde m_i și σ_i^2 sunt date de (4.18').

4.6 Simularea repartiției Dirichlet.

Un vector aleator \mathbf{X} are repartiția $Dirichlet(\nu_1, \nu_2, \dots, \nu_{k+1})$ dacă densitatea sa de repartiție este

$$f(x_1, x_2, \dots, x_k) = \begin{cases} \frac{\Gamma(\nu_1 + \dots + \nu_{k+1})}{\Gamma(\nu_1) \dots \Gamma(\nu_{k+1})} x_1^{\nu_1} \dots x_k^{\nu_k} (1 - x_1 - \dots - x_k)^{\nu_{k+1}}, & \mathbf{x} \in S_k \\ 0, & \text{dacă } \mathbf{x} \notin S_k \end{cases}$$

$$\mathbf{x} = (x_1, \dots, x_k)', S_k = \{(x_1, \dots, x_k)' \in R^k, x_i \geq 0, 1 \leq i \leq k, \sum_i x_i \leq 1\}. \quad (4.19)$$

Se arată că dacă $Y_i \rightsquigarrow \text{Gamma}(0, 1, \nu_i), 1 \leq i \leq k + 1$ sunt variabile gama independente, atunci vectorul \mathbf{X} ale cărui componente sunt de forma

$$X_i = \frac{Y_i}{Y_1 + Y_2 + \dots + Y_{k+1}}, \quad 1 \leq i \leq k, \quad (4.20)$$

are o repartiție *Dirichlet*($\nu_1, \nu_2, \dots, \nu_{k+1}$). Se observă deci că repartiția Dirichlet este o extensie la cazul multidimensional a repartiției Beta. Formulele (4.16) simulează componentele unui vector Dirichlet, presupunându-se desigur că parametri ν_i , $1 \leq i \leq k+1$ sunt cunoscuți.

Exerciții

E4.1 Să se prezinte o metodă de simulare a unui vector $\mathbf{V} = (V_1, V_2)'$, uniform pe cercul $C(O, r)$.

Soluție. Se simulează un vector $\mathbf{W} = (W_1, W_2)'$ uniform pe $[-r, r] \times [-r, r]$ și se pune condiția ca el să aparțină cercului. Algoritmul este:

repeat

 Generează: $U_1 := \text{random}; U_2 := \text{random};$

$W_1 := -r + 2rU_1; W_2 := -r + 2rU_2;$

until $W_1^2 + W_2^2 \leq r^2;$

 Ia $V_1 := W_1; V_2 := W_2.$

E4.2 Să se prezinte o metodă de simulare a unui vector $\mathbf{W} = (W_1, W_2)'$ uniform pe elipsa de semiaxe $a, b > 0$.

Indicație. Se simulează un vector $\mathbf{V} = (V_1, V_2)'$ uniform pe intervalul $[-a, a] \times [-b, b]$ și se pune condiția ca $V_1^2/(a^2) + V_2^2/(b^2) \leq 1$.

E4.3 Se consideră vectorul $\mathbf{X} = (X_1, X_2, \dots, X_k)'$ unde $X_i \sim \text{Exp}(\lambda_i \eta)$ sunt independente iar $\eta \sim \text{Gamma}(0, b, a)$. Să se determine densitatea de repartiție a lui \mathbf{X} și să se indice un algoritm pentru simularea acestuia.

Soluție. Să notăm

$$g(\eta) = \begin{cases} \frac{b^a}{\Gamma(a)} \eta^{a-1} e^{-\eta b}, & \text{daca } \eta > 0 \\ 0, & \eta \geq 0. \end{cases}$$

Atunci densitatea de repartiție a lui \mathbf{X} este

$$\begin{aligned} f(x_1, x_2, \dots, x_k) &= \begin{cases} \left(\prod_{i=1}^k \lambda_i \right) \int_0^\infty \eta^{k+a-1} \frac{b^a}{\Gamma(a)} e^{-\sum_{i=1}^k x_i \lambda_i \eta} e^{-b\eta} d\eta, & x_i > 0 \\ 0, & \text{altfel} \end{cases} \\ &= \begin{cases} \frac{b^a}{\Gamma(a)} \left(\prod_{i=1}^k \lambda_i \right) \int_0^\infty \eta^{a+b-1} e^{-\eta \left(\sum_{i=1}^k x_i \lambda_i + b \right)} d\eta, & \text{daca } x_i > 0 \\ 0, & \text{altfel} \end{cases} \\ &= \begin{cases} \frac{b^a}{\Gamma(a)} \left(\prod_{i=1}^k \lambda_i \right) \frac{\Gamma(a+k)}{\left(b + \sum_{i=1}^k \lambda_i x_i \right)^{a+k}}, & x_i > 0 \\ 0, & \text{altfel} \end{cases} \end{aligned}$$

$$= \begin{cases} \frac{(\prod_{i=1}^k \theta_i) a(a+1) \dots (a+k-1)}{(1 + \sum_{i=1}^k \theta_i x_i)^{a+k}}, & \text{daca } x_i > 0 \\ 0, & \text{altfel,} \end{cases} \quad \theta_i = \frac{\lambda_i}{b}.$$

Simularea lui \mathbf{X} se poate face prin metoda compunerii.

Se poate arăta (folosind (4.6)) că pentru $x_i > 0$

$$f(x_m | x_1, \dots, x_{m-1}) = \frac{\theta_m(a+m-1)(1 + \sum_{i=1}^{m-1} \theta_i x_i)^{a+m-1}}{(1 + \sum_{i=1}^{m-1} \theta_i x_i + \theta_m x_m)^{a+m}}$$

de unde

$$F(x_m | x_1, \dots, x_{m-1}) = 1 - \left(\frac{1 + \sum_{i=1}^{k-1} \theta_i x_i}{1 + \sum_{i=1}^m \theta_i x_i} \right)^{a+m-1}.$$

Ultima formulă permite simularea lui \mathbf{X} utilizând teorema 4.1.

E4.4 Fie vectorul aleator $(X, Y)'$ cu componente pozitive având densitatea de repartiție

$$f(x, y) = \begin{cases} \alpha(\alpha + \beta)e^{-(\alpha+\beta)y}, & \text{daca } 0 \leq x < y \\ \beta(\alpha + \beta)e^{-(\alpha+\beta)x}, & \text{daca } 0 \leq y < x \end{cases}$$

(repartiția bidimensională a lui Freund). Să se determine $E(X), E(Y), Var(X), Var(Y)$ și să se găsească o metodă de simulare a vectorului $(X, Y)'$.

Indicație. Densitățile marginale și sunt

$$f_X(x) = [\alpha + x\beta(\alpha + \beta)]e^{-(\alpha+\beta)x}, \quad x > 0, \quad f_Y(y) = (\alpha + \beta)e^{-(\alpha+\beta)y}, \quad y > 0$$

iar

$$F_x(x) = 1 - (1 + \beta x)e^{-(\alpha+\beta)x}$$

de unde se pot calcula cu ușurință mediile și dispersiile.

Pentru simulare se aplică metoda inversă (teorema 4.1) unde $X \rightsquigarrow F_x(x)$ iar $f(y|x)$ este de forma

$$f(y|x) = \begin{cases} \frac{\beta(\alpha+\beta)}{\alpha+\beta(\alpha+\beta)x} & \text{daca } 0 < y < x \\ \frac{\alpha(\alpha+\beta)e^{-(\alpha+\beta)(y-x)}}{\alpha+\beta(\alpha+\beta)x} & \text{daca } y > x. \end{cases}$$

Se observă că

$$f(y|x) = p \frac{1}{x} I_{(0,x)} + (1-p)(\alpha + \beta)e^{-(\alpha+\beta)(y-x)} I_{(x,\infty)}, \quad p = \frac{\beta(\alpha + \beta)x}{\alpha + \beta(\alpha + \beta)x}$$

adică $f(y|x)$ este amestecarea densității uniforme pe $[0, x]$ cu densitatea $Exp(\alpha + \beta)$ trunchiată pe (x, ∞) . ($I_A(x)$ este funcția indicator a lui A).

E4.5 Enunțați și demonstrați *teorema de respingere a înfășurătoarei* pentru vectori aleatori. Aplicați această metodă pentru simularea vectorului $(X, Y)'$ din exemplul 4.4.

Soluție. Teorema înfășurătoarei în cazul multidimensional este

Teorema 4.5 Fie vectorul aleator $\mathbf{X} \rightsquigarrow f(\mathbf{x})$ pe care dorim să-l simulăm. Fie $\mathbf{Y} \rightsquigarrow h(\mathbf{x})$ pe care știm să-l simulăm. Presupunem că $f(\mathbf{x})$ și $h(\mathbf{x})$ au același suport $S \subseteq R^k$ și că există α , $0 < \alpha < \infty$ astfel încât $f(\mathbf{x}) \leq \alpha h(\mathbf{x})$, $\forall \mathbf{x} \in R^k$. Dacă U este o variabilă uniformă $0 - 1$ independentă de \mathbf{Y} , atunci densitatea de repartiție a lui \mathbf{Y} condiționată de $0 < U \leq \frac{f(\mathbf{Y})}{\alpha h(\mathbf{Y})}$ este $f(\mathbf{x})$.

Pentru a aplica această teoremă în cazul exemplului 4.4 să observăm că densitatea de repartiție este

$$f(x, y) = \begin{cases} e^{-(x+y+\theta xy)}[(1+\theta x)(1+\theta y) - \theta], & \text{dacă } x, y > 0 \\ 0, & \text{altfel.} \end{cases}$$

Pentru a aplica teorema înfășurătoarei vom lua

$$h(x, y) = \begin{cases} e^{-(x+y)} & \text{dacă } x > 0, y > 0 \\ 0 & \text{altfel,} \end{cases}$$

adică vectorul corespunzând densității înfășurătoare are componentele exponențiale $Exp(1)$ independente.

E4.6. Fie U_1, U_2, \dots, U_n numere aleatoare uniforme pe $[0, 1]$ independente și să considerăm aceste numere ordonate (adică statistica de ordine) $U_{(1)} \leq U_{(2)} \leq \dots \leq U_{(n)}$. Notăm $U_{(0)} = 0$, $U_{(n+1)} = 1$. Să se arate că vectorul aleator (S_1, S_2, \dots, S_n) , $S_i = U_{(i)} - U_{(i-1)}$, $1 \leq i \leq n+1$, are repartiție uniformă pe simplexul

$$A_n = \{(x_1, x_2, \dots, x_n); x_i \geq 0, \sum_{i=1}^n x_i \leq 1\}.$$

Soluție. Numerele $U_{(1)}, \dots, U_{(n)}$ sunt uniform repartizate pe domeniul (simplexul)

$$B_n = \{(x_1, \dots, x_n); 0 \leq x_1 \leq \dots \leq x_n \leq 1\}.$$

Să facem acum transformarea

$$s_1 = u_1; s_2 = u_2 - u_1, \dots, s_n = u_n - u_{n-1}$$

a cărei inversă este

$$u_1 = s_1, u_2 = s_1 + s_2, \dots, u_n = s_1 + s_2 + \dots + s_n.$$

Jacobianul acestei transformări este $J = 1$. Deoarece repartiția lui $(U_{(1)}, \dots, U_{(n)})$ este uniformă adică are densitatea

$$f(u_1, \dots, u_n) = \begin{cases} \frac{1}{\text{mes } B_n}, & (u_1, \dots, u_n) \in B_n \\ 0, & (u_1, \dots, u_n) \notin B_n \end{cases}$$

rezultă că (S_1, \dots, S_n) are tot densitate uniformă pe A_n (transformatul lui B_n) adică

$$g(s_1, \dots, s_n) = \begin{cases} \frac{1}{\text{mes } A_n} & (s_1, \dots, s_n) \in A_n \\ 0 & (s_1, \dots, s_n) \notin A_n, \end{cases} \quad \text{mes } A_n = \text{mes } B_n J.$$

Notă. De aici rezultă că simularea unui vector uniform pe domeniul $A_n \in R^n$ se realizează simulând U_1, \dots, U_n uniforme pe $[0, 1]$ independente, și calculând apoi (S_1, \dots, S_n) cu ajutorul statisticii de ordine $U_{(1)} \leq U_{(2)} \leq \dots \leq U_{(n)}$.

E4.7 Folosind teorema 4.1 construieți un algoritm pentru simularea vectorului aleator discret $(X, Y)'$ cu X și Y luând mulțimi finite de valori.

Indicație. Repartiția discretă a lui $(X, Y)'$ este dată de *tabela de contingență*

	$Y = b_1 \quad . \quad . \quad . \quad b_r$				$ p_{i.}$
$X = a_1$ a_2 $.$ a_s	$p_{11}.$	$.$	$.$	$.p_{1r}$	$ p_{1.}$
	p_{21}	$.$	$.$	$.p_{2r}$	$ p_{2.}$
	$.$	$.$	$.$	$.$	$ $
	p_{s1}	$.$	$.$	$.p_{sr}$	$ p_{s.}$
	$p_{.1}$	$.$	$.$	$.p_{.r}$	$ $

Repartiția marginală a lui X este

$$p_{1.} p_{2.} \dots p_{s.}$$

și cu ajutorul ei se simulează X , iar repartiția lui Y condiționată de $X = a_i$ este

$$\frac{p_{i1}}{p_{i.}} \frac{p_{i2}}{p_{i.}} \dots \frac{p_{ir}}{p_{i.}}$$

și din ea se simulează Y . (In tabela și in formulele de mai sus, indicii *inlocuiți cu punct* ($.$) notează rezultatele însumărilor pe coloane sau pe linii).

Notă. Dacă pentru un vector bidimensional (X, Y) se dă o selecție $(X_1, Y_1), (X_2, Y_2), \dots, (X_n, Y_n)$, cu ajutorul ei se poate construi o *tabelă de frecvență bidimensională* asemănătoare histogramei. Ea va fi de forma tablei de mai sus unde în loc de p_{ij} se vor scrie frecvențele f_{ij} . Aceasta se numește *tabelă de contingență*.

Cap. 5

Simularea proceselor stochastice

5.1 Generalități

O familie de variabile aleatoare, $\{X_t\}_{t \in T}, T \subset R$, deprinzând de parametrul real t (presupus a fi *timpul*) se numește *proces stochastic*. Dacă T este o mulțime discretă (de obicei $T = \{0, 1, 2, \dots\}$), atunci procesul se numește *lanț*. Dacă T este un interval $I \subseteq R$ atunci procesul este *cu timp continuu*. Valorile lui X_t se numesc stări. Fie S mulțimea valorilor unui proces stochastic. Dacă mulțimea S este discretă spunem că *procesul este cu stări discrete* iar dacă S este de puterea continuumului, spunem că *procesul este cu stări continue*. Mulțimea $\{(t, X_t) | t \in T\}$ se numește *traietorie a procesului stochastic*.

Procesul stochastic este cunoscut dacă pentru $\forall n, t_1, t_2, \dots, t_n$ este cunoscută funcția de repartiție

$$F_{t_1, t_2, \dots, t_n}(x_1, x_2, \dots, x_n) = P(X_{t_1} < x_1, \dots, X_{t_n} < x_n).$$

Definiția 5. 1 *Procesul stochastic $\{X_t\}_{t \in T}$ se numește staționar tare dacă $\forall n, h \in R, t_1 < t_2 < \dots < t_n$ avem*

$$F_{t_1+h, t_2+h, \dots, t_n+h}(x_1, x_2, \dots, x_n) = F_{t_1, t_2, \dots, t_n}(x_1, x_2, \dots, x_n). \quad (5.1)$$

Procesul $\{X_t\}_{t \in T}$ se numește staționar slab sau simplu staționar dacă are momente de ordinul doi, adică există și sunt finite $m_t = E[X_t], \sigma_{st} = \text{Cov}[X_s, X_t], s < t$ și $m_t = m = \text{const}, \sigma_{st} = \sigma(t - s)$.

Observăm că pentru un proces staționar tare, avem în particular $F_{t+h}(x) = F_t(x)$, adică procesul are aceeași funcție de repartiție la orice moment de timp t , dar variabilele X_t pot să nu fie independente pentru diverse valori ale lui t . Dacă variabilele X_t sunt independente atunci suntem în cazul banal clasic, al unei familii de variabile aleatoare independente.

Se poate observa cu ușurință că dacă $\{X_t\}_{t \in T}$ este staționar tare și are momente de ordinul doi, atunci el este staționar; reciproc nu este însă adevărat.

În ceea ce privește simularea proceselor stochastice, ne interesează să producem cu calculatorul *puncte* ale unor traiectorii finite. În cazul unui lanț de exemplu este necesar să producem un număr finit de puncte ale traiectoriei lanțului. În cazul unui proces cu timp continuu simulăm dintr-o traiectorie numai un număr finit de puncte ale acesteia, de obicei corespunzând valorilor discrete ale timpului $t = 0, 1, 2, \dots, n$. De fapt problema construirii unui algoritm de simulare a unui proces revine la următoarele: dându-se o valoare X_0 a procesului (presupusă a se afla pe o traiectorie a sa la momentul $t = 0$), se cere să se simuleze valoarea X_1 aflată pe aceeași traiectorie la momentul $t = 1$.

Desigur, problema simulării unui proces stochastic este mult mai complicată decât a variabilelor aleatoare. În cele ce urmează ne vom ocupa de simularea *lanțurilor și proceselor Markov* și de simularea unor procese *staționare* care au repartiții de probabilitate cunoscute.

5.2 Lanțuri și procese Markov

Procesele și lanțurile Markov sunt acelea care satisfac *proprietatea lui Markov*.

Definiția 5. 2 *Procesul $\{X_t\}_{t \in T}$ discret, este un proces Markov dacă satisface proprietatea*

$$P(X_{t_n} = x_n | X_{t_{n-1}} = x_{n-1}, \dots, X_{t_1} = x_1) = P(X_{t_n} = x_n | X_{t_{n-1}} = x_{n-1}) \quad (5.2)$$

adică procesul nu are memorie. Probabilitățile $P(X_{t_n} = x_n | X_{t_{n-1}} = x_{n-1})$ se numesc probabilități de tranziție sau probabilități de trecere.

Dacă $T = \{0, 1, 2, \dots, n, \}$ și $S = \{1, 2, \dots, m\}$, atunci avem de-a face cu un lanț Markov cu un număr finit de stări. Acest lanț este caracterizat de vectorul $\pi = (\pi_1, \pi_2, \dots, \pi_n)'$ care reprezintă repartiția inițială a stărilor și de mulțimea probabilităților de tranziție $P_{ij}(s, t) = P(X_t = j | X_s = i)$, $i, j \in S$, $s < t$, $s, t \in N$.

Se arată că probabilitățile de tranziție satisfac *relația lui Chapman-Kolmogorov*, adică

$$P_{ij}(s, t) = \sum_{k \in S} \sum_{s \leq r \leq t} P_{ik}(s, r) P_{kj}(r, t). \quad (5.2')$$

Observăm că $P_{ij}(s, t)$ definesc niște *matrici de probabilități de tranziție* care au proprietatea

$$\sum_{j \in S} P_{ij}(s, t) = 1. \quad (5.3)$$

Dacă $t - s = 1$ atunci matricile $\|P_{ij}(s, s + 1)\|, s \in N$ sunt *matrici de probabilități de tranziție într-un pas* și matricile $\|P_{ij}(s, t)\|, s, t \in N$ sunt matrici de tranziție în $t - s$ pași. Dacă $P_{ij}(s, s + 1) = p_{ij}$ (adică aceste probabilități nu depind de momentele s când au loc tranzițiile într-un pas) spunem că *lanțul Markov este omogen sau staționar*.

Să notăm cu P matricea probabilităților de tranziție într-un pas pentru un lanț Markov omogen și cu $P^{(n)}$ matricea probabilităților de trecere în n pași pentru același lanț. Atunci din (5.2') se deduce cu ușurință că

$$P^{(n+1)} = P^{(n)} P = P P^{(n)} = P^{n+1}. \quad (5.2'')$$

Dacă repartiția inițială $\pi = (\pi_1, \pi_2, \dots, \pi_m)'$ este cunoscută atunci folosind *formula probabilității totale*

$$P(X_n = s) = \sum_{j=1}^m P_{sj}^{(n)} \pi_j \quad (5.3)$$

deducem, utilizând și (5.2'') repartiția lanțului omogen la momentul n , $\pi^{(n)}$, astfel

$$\pi^{(n)} = P^n \pi, \quad P = \|p_{ij}\|, \quad \sum_{j=1}^m p_{ij} = 1. \quad (5.4)$$

Dacă o stare i a unui lanț omogen are proprietatea că există un j , $j \neq i$ astfel încât $p_{ij} > 0$, atunci starea i este *stare de tranziție*, iar dacă $p_{ii} = 1$ atunci starea i este *stare absorbantă*. (Când lanțul intră într-o stare absorbantă, el nu mai părăsește acea stare).

5.3 Simularea unui lanț Markov

Să presupunem că se cunoaște repartiția inițială $\pi = (\pi_1, \pi_2, \dots, \pi_m)'$ și matricea probabilităților de tranziție $P = \|p_{ij}\|$. Atunci starea inițială $I = i$ se

simulează ca variabila discretă

$$I : \begin{pmatrix} 1, 2, \dots, m \\ \pi_1, \pi_2, \dots, \pi_m \end{pmatrix}. \quad (5.5)$$

Dacă lanțul se află în starea i atunci starea aleatoare următoare în care trece lanțul se simulează ca variabila discretă

$$J : \begin{pmatrix} 1, 2, \dots, m \\ p_{i1}, p_{i2}, \dots, p_{im} \end{pmatrix}. \quad (5.5')$$

Deci, algoritmul de simulare a unei traiectorii i_1, i_2, \dots, i_n când se dau π, P este

Algoritmul MARKOVOMOG de simulare a lanțului omogen
Citește $\pi, P = \|p_{ij}\|$; *Citește* n ;
 calculează $f_i = \sum_{\alpha=1}^i \pi_\alpha$, $F_{ij} = \sum_{\alpha=1}^j p_{i\alpha}$, $1 \leq i \leq m$; (Acestea sunt calcule pregătitoare);
generează $U := \text{random}$; $i := 1$; **while** $U \geq f_i$ **do** $i := i + 1$;
for $k := 1$ **to** n **do**
 begin
 Generează $U := \text{random}$; *Ia* $j := 1$;
 while $U \geq F_{ij}$ **do** $j := j + 1$;
 Ia $i := j$, $i_k = i$; *Scrie* i_k ;
 end.

În mod asemănător se poate face și simularea lanțului neomogen, dacă se cunosc probabilitățile de tranziție într-un pas $P_{ij}(s, s+1)$, $1 \leq s \leq n$. În acest caz, probabilitățile $P_{ij}(s, s+1)$ sunt citite în cadrul ciclului **for** al algoritmului când se calculează pe rând și *probabilitățile cumulate* F_{ij} .

Să mai observăm că dacă lanțul Markov are o stare absorbantă i_0 , celelalte fiind de tranziție, atunci din orice stare inițială i ar porni procesul, există o traiectorie finită de lungime $N_{(i)}$ astfel încât $X_1 = i, \dots, X_{N_{(i)}} = i_0$, adică lanțul se *oprește* în starea absorbantă i_0 .

Pentru un *proces Markov cu o mulțime continuă* S de stări $\{X_t\}_{t \in T}$ se presupune dată densitatea de repartiție inițială $p(x) > 0$, $x \in S$ și densitatea de probabilitate de tranziție $q(x, y) > 0$, $x, y \in S$, densități care satisfac condițiile

$$\int_S p(x) dx = 1, \quad \int_S q(x, y) dy = 1. \quad (5.6)$$

Algoritmul în acest caz este

Algoritmul MARKOVCONT de simulare a unui proces Markov continuu

Intrare n ; (n = numărul de puncte ale traiectoriei);

generează starea inițială $X_0 \rightsquigarrow p(x)$;

for $i := 1$ **to** $n - 1$ **do**

begin

Generează $Y \rightsquigarrow q(X_0, y)$;

Ia $X_i := Y$; $X_0 := Y$; *Scrie* X_i ;

end.

Punctele traiectoriei generate sunt X_0, X_1, \dots, X_{n-1} .

5.4 Simularea unor procese gaussiene staționare

Fie procesul staționar care are *funcția de autocovarianță*

$$\phi(t) = \text{Cov}(X_s, X_{s+t}), t = 0, 1, 2, \dots \quad \phi(0) = \text{Var}(X_t) = \sigma^2 \quad (4.7)$$

și fără a pierde generalitatea considerăm $m_t = m = 0$. Dacă notăm $\rho(X_s, X_{t+s}) = \text{Corr}(X_s, X_{t+s})$ rezultă că $\rho(X_s, X_{t+s}) = \rho(t)$, $t = 1, 2, \dots$ Funcția $\rho(t)$ este *funcția de autocorelație a procesului*.

Dacă pentru orice t , repartiția lui X_t este normală $N(0, \sigma)$, atunci procesul $\{X_t\}_{t \in T}$ este un *proces gaussian*.

5.4.1 Procesul gaussian cu funcție de autocorelație exponențială

Acest proces are funcția de autocorelație

$$\rho(t) = \frac{\phi(t)}{\phi(0)} = \theta^t, t = 1, 2, \dots, 0 < \theta < 1 \quad (5.8)$$

și să considerăm σ^2 dispersia sa. Acest proces se simulează cu formula de recurență

$$Z_0 \rightsquigarrow N(0, 1), \quad Z_{t+1} = \theta Z_t + \sqrt{1 - \theta^2} \epsilon_t, t = 1, 2, \dots, X_{t+1} = \sigma Z_{t+1} \quad (5.8')$$

unde $\epsilon_t, t = 1, 2, \dots$ sunt variabile $N(0, 1)$ independente și independente de Z_t . Într-adevăr, Z_{t+1} are repartiție normală și $\text{Var}(X_t) = \sigma^2$ și

$$\text{Cov}(Z_t, Z_{t+1}) = \text{Cov}(Z_t, Z_{t+1}) = E[Z_t, Z_{t+1}] = E[Z_t(\theta Z_t + \sqrt{1 - \theta^2} \epsilon_t)] =$$

$$= E[\theta Z_t^2]E[\sqrt{1-\theta^2}Z_t\epsilon_t] = \theta + \sqrt{1-\theta^2}E[Z_t]E[\epsilon_t] = \theta.$$

Asemănător

$$\begin{aligned} Cov[Z_t, Z_{t+2}] &= E[\theta Z_t Z_{t+1}] + E[Z_t \sqrt{1-\theta^2}\epsilon_t] = \\ &= \theta\theta + E[Z_{t+1}]E[\epsilon_t]\sqrt{1-\theta^2} = \theta^2. \end{aligned}$$

Prin inducție se deduce că $E[Z_1 Z_{t+1}] = \theta^t$ și formula (5.8') este justificată. Această formulă iterativă permite deci simularea unei traiectorii X_1, X_2, \dots, X_n . Se observă că σ nu joacă un rol important și de aceea putem considera $\sigma = 1$.

5.4.2 Procesul gaussian cu funcție de autocorelație liniară

Să presupunem că pentru un întreg m dat funcția de autocorelație a procesului gaussian $\{X_t\}$ este de forma

$$\rho(t) = \begin{cases} 1 - \frac{t}{m}, & \text{daca } 1 \leq t \leq m \\ 0, & \text{altfel} \end{cases}, \quad Cov(X_t, X_{t+k}) = \Phi(k), \quad (5.9)$$

$$\rho(k) = \frac{\Phi(k)}{\Phi(0)}, \quad Var(X_t) = \sigma_*^2 = \Phi(0)$$

și dorim să simulăm un proces gaussian $\{X_t\}$ cu această funcție de autocorelație și cu $Var(X_t) = \sigma_*^2$.

Vom simula X_t utilizând *teorema limită centrală*. Pentru aceasta să considerăm variabilele aleatoare $V_i, i \geq 1$, independente și uniform distribuite pe $[-a, a]$, $a > 0$ cu a -dat. Avem deci

$$E[V] = 0, \quad Var[V] = \frac{a^2}{3} = \sigma^2. \quad (5.10)$$

Pentru a genera procesul gaussian $\{X_t\}_{t \in N}$ de medie 0 și dispersie σ_*^2 , alegem mai întâi $N > 10$ (impus de teorema limită centrală) și un număr natural p , $p > 0$ a cărui valoare va fi precizată mai jos. Simulăm valorile de selecție $X_t, X_{t+1}, t \in N$, astfel

$$X_t = \sum_{i=1}^n V_i, \quad X_{t+1} = \sum_{i=p+1}^{N+p} V_i, \quad (5.11)$$

5.4. SIMULAREA UNOR PROCESE GAUSIENE STAȚIONARE 123

și vom determina a, σ, p astfel încât

$$\text{Corr}(X_t, X_{t+k}) = \rho(k). \quad (5.12)$$

Deoarece în expresiile lui X_t, X_{t+1} apar $N - p$ variabile V_i independente, avem

$$\begin{aligned} \text{Cov}[X_t, X_{t+k}] &= E\{(X_t - X_{t+k})^2\} = E\{X_t^2 - 2X_tX_{t+k} + X_{t+k}^2\} = \\ &= E\{(X_t - X_{t+k})^2\} = 2N\sigma^2 - 2\Phi(k). \end{aligned} \quad (5.12)$$

Dacă $k < N/p$ atunci în expresia $E[(X_t - X_{t+k})^2]$ există numai $2kp$ variabile de selecție V_i independente stochastic, de unde

$$E[(X_t - X_{t+k})^2] = 2kp^2 = 2N\sigma^2 - 2\Phi(k) \rightarrow kp^2 = N\sigma^2 - \Phi(k).$$

Din ultima relație deducem că

$$\rho(k) = \frac{\Phi(k)}{N\sigma^2} = 1 - k\frac{p}{N}$$

și identificând cu prima relație (5.9) trebuie să luăm

$$p = \frac{N}{m}$$

pentru a obține expresia cerută a lui $\rho(k)$.

Trebuie să determinăm acum valoarea lui a . Deoarece $\text{Var}(X_t) = N\sigma^2 = \sigma_*^2$ și conform (5.10) $a = \sigma\sqrt{3}$, rezultă că trebuie să avem

$$\sigma = \frac{\sigma_*}{\sqrt{N}} \quad a = \frac{\sigma_*}{\sqrt{N}}\sqrt{3}.$$

În concluzie, dându-se m, σ_* și N (de ex. $N = 12$), simularea procesului gaussian cu funcția de autocorelație dată de prima formulă (5.9) se realizează cu următorul algoritm

Algoritmul PRGAUSLIN de simulare a procesului gaussian cu funcție de autocorelație liniară

Intrare m, σ_*, N ; *Calculează* $a := \frac{\sigma_*}{\sqrt{N}}\sqrt{3}$; *Determină* p *intreg astfel încât* $p = \frac{N}{m}$; (Dacă pentru m dat și N inițial ales nu există intregul p astfel încât $N = mp$ atunci se alege alt $N > 10$ pentru care să poată fi determinat p . Calculele precedente sunt calcule pregătitoare);

for $i := 1$ **to** N **do begin**

```

 $X_0 := 0$ ; Generează  $U := random$ ;
Calculează  $W := -a + 2aU$ ;  $V_i := W$ ;  $X_0 := X_0 + V_i$ ;
end;
Scrie  $X_0$ ;  $X_1 := 0$ ; (*)
for  $i := 1$  to  $N - p$  do begin  $V_i := V_{i+p}$ ;  $X_1 := X_1 + V_i$  end;
for  $i := N - p + 1$  to  $N$  do begin
  Generează  $U := random$ ;  $W := -a + 2aU$ ;  $V_i := W$ ;
   $X_1 := X_1 + V_i$ ; Scrie  $X_1$ ;
end.

```

Repetând de T ori instrucțiunile algoritmului precedent ce încep cu calculul sumei X_1 (instrucțiunea *) se obține traiectoria X_1, X_2, \dots, X_T a procesului gaussian.

• **Simularea procesului de zgomot alb pur.** Procesul *zgomotului alb* $\{X_t\}_{t \in T}$ este descris de următoarele relații de recurență

$$X_0 = \sqrt{\frac{1-\theta}{1+\theta}} V_0, \quad X_t = \theta X_{t-1} + (1-\theta) V_t, \quad 0 < \theta < 1, \quad (5.13)$$

unde $V_t, t = 0, 1, 2, \dots$ sunt variabile aleatoare independente și identic repartizate având proprietățile $E(V_t) = 0, Var(V_t) = \sigma^2$. Se observă că

$$E(X_t) = 0, \quad Var(X_t) = \sigma_*^2 = \frac{1-\theta}{1+\theta} \sigma^2. \quad (5.14)$$

Se deduce apoi că

$$Corr(X_t, X_{t+k}) = \rho(k) = \theta^k. \quad (5.15)$$

Intr-adevăr, deoarece X_{t-1} este independent de V_t rezultă că

$$\Phi(1) = Cov(X_t, X_{t-1}) = E[X_t, X_{t-1}] = \theta E[X_{t-1}^2] = \theta \sigma_*^2.$$

Prin inducție se arată că

$$\Phi(k) = Cov(X_t, X_{t+k}) = \theta^k \sigma_*^2$$

și (5.15) este demonstrată.

Algoritmul pentru simularea zgomotului alb este ușor de construit.

Dacă $V_t, t = 0, 1, \dots$ sunt variabile uniforme pe $[-a, a]$ cu a dat, atunci procesul $\{X_t\}_{t \in T}$ se numește *zgomot alb pur*. Desigur, asemănător celor de mai sus se deduce că

$$E[V_t] = 0, \quad Var(V_t) = \sigma^2 = \frac{a^2}{3}, \quad Var(X_t) = \sigma_*^2 = \frac{1-\theta}{1+\theta} \sigma^2$$

de unde, dându-se θ și σ_* avem

$$\sigma = \sigma_* \sqrt{\frac{1+\theta}{1-\theta}}, \quad a = \sigma\sqrt{3}.$$

Cu aceste elemente se construiește ușor algoritmul de simulare al zgomo-
tului alb pur pe baza relației (5.13).

5.5 Simularea procesului Poisson

Procesul Poisson este un caz particular de proces de naștere și deces (vezi § 7.1.1), mai precis este un proces de naștere pur cu intensitatea $\lambda_n = \lambda$, a
cărui repartiție satisface ecuațiile diferențiale

$$P'_0(t) = -\lambda P_0(t), \quad P'_n(t) = -\lambda P_n(t) + \lambda P_{n-1}(t), \quad n \geq 1. \quad (5.16)$$

Dacă se dau condițiile inițiale naturale $P_0(0) = 1, P_i(0) = 0, i > 0$ atunci
soluția sistemului (5.16) este

$$P_n(t) = \frac{(\lambda t)^n}{n!} e^{-\lambda t} \quad (5.16')$$

iar dacă λ depinde de t , ($\lambda = \lambda(t)$) atunci soluția este

$$P_n(t) = \frac{(\Lambda(t))^n}{n!} e^{-\Lambda(t)}, \quad \Lambda(t) = \int_0^t \lambda(u) du. \quad (5.16'')$$

Procesul având repartiția (5.16') se numește *proces Poisson omogen (PPO)*
iar procesul având repartiția (5.16'') se numește *proces Poisson neomogen (PPNO)*.

Simularea unei valori de selecție a PPO sau PPNO se poate realiza cu
ajutorul metodei din § 3.6.3. Pentru aceasta reamintim că o valoare de
selecție $N \rightsquigarrow Poisson(\lambda)$ satisface condiția

$$S_N \leq 1 < S_{N+1}, \quad S_k = \sum_{i=1}^k Z_i, \quad Z_i \rightsquigarrow Exp(\lambda).$$

Conceptul de PPO poate fi generalizat astfel: se consideră că procesul are
drept parametru tot $t = timpul$, și ia ca valori puncte $X \in A \subset R^k$; procesul,
numit *PPOU uniform pe A de intensitate λ* , ia ca valori $X_i \in A, 1 \leq i \leq N$
dacă $N \rightsquigarrow Poisson(\lambda Vol(A))$ și X_i sunt puncte uniform repartizate în A .
Desigur, PPOU pe A se simulează astfel

Algoritm PPOU

generează $N \rightsquigarrow \text{Poisson}(\lambda \text{Vol}(A))$;

generează X_1, X_2, \dots, X_k puncte uniform repartizate în A .

Punctele X_i reprezintă valori aleatoare ale PPOU.

În mod analog se poate considera *PPNOU* pe A când variabila aleatoare N are repartiția $N \rightsquigarrow \text{Poisson}(\Lambda(t)\text{Vol}(A))$.

Cap. 6

Metoda Monte Carlo

6.1 Generalități

Sub denumirea de *metode Monte Carlo* sunt cuprinse o serie de tehnici de rezolvare a diverse probleme utilizând *numere aleatoare, variabile aleatoare sau procese stochastice* simulate cu calculatorul. Mai precis se acceptă următoarea definiție

Definiția 6. 1 *Fie de rezolvat o problemă numerică \mathcal{P} care are soluția θ . O metodă Monte Carlo pentru rezolvarea lui \mathcal{P} constă în următoarele:*

- *se asociază în mod adecvat un proces stochastic ξ problemei astfel încât cu ajutorul lui ξ să se poată estima θ ; (de exemplu $\theta = E[\tau(\xi)]$, sau $E[\tau(\xi)] \rightarrow \theta$, sau $\tau(\xi)$ converge într-un sens probabilist către θ , unde τ este o funcție dată). Să notăm deci $\tau = \tau(\xi)$ estimatorul lui θ . ($\tau(\xi)$ se numește **estimator primar**.)*

- *se simulează o selecție $\xi_1, \xi_2, \dots, \xi_n$ asupra lui ξ și se calculează un estimator $\bar{\tau}_n$ al lui $\tau(\xi)$; dacă de exemplu $E[\tau(\xi)] = \theta$ atunci estimatorul lui $\tau(\xi)$ este*

$$\bar{\tau}_n = \frac{1}{n} \sum_{i=1}^n \tau(\xi_i) \quad (6.1)$$

*și el se numește **estimator secundar**.*

- *soluția problemei \mathcal{P} se aproximează cu $\bar{\tau}_n$.*

Dacă estimatorul primar $\tau(\xi)$ este *nedeplasat*, adică $E[\tau(\xi)] = \theta$, atunci estimatorul secundar $\bar{\tau}_n$ satisface de regulă *legea numerelor mari* și deci $\bar{\tau}_n \rightarrow \theta$ în probabilitate.

Desigur, nu există o regulă sau o tehnică matematică bine precizată pentru construcția unei metode Monte Carlo. Este mai degrabă o artă necesară pentru construcția unei astfel de metode.

De cele mai multe ori, estimatorul primar este $\tau(\xi)$ astfel ca $E[\tau(\xi)] = \theta$. (Deocamdată considerăm că θ este un număr, dar el poate fi și vector sau o funcție). Estimația Monte Carlo aproximează soluția θ , așa cum s-a precizat. Să presupunem că există $\sigma^2 = \text{Var}\{\tau(\xi)\} < \infty$ și că dorim să aproximăm θ cu o anumită eroare dată ϵ . Dar θ este determinist și $\bar{\tau}_n$ este aleator. De aceea eroarea ϵ trebuie considerată *in probabilitate*, adică

$$P(|\bar{\tau}_n - \theta| < \epsilon) = p = 1 - \delta \quad (6.2)$$

unde δ este o probabilitate mică (un *risc* mic). Deci conform legii numerelor mari, trebuie să alegem n astfel încât pentru ϵ și δ suficient de mici dați să fie satisfăcută relația (6.2).

Teorema 6.1 Volumul n al selecției $\xi_1, \xi_2, \dots, \xi_n$ necesar pentru a estima θ prin $\bar{\tau}_n$ cu eroarea ϵ dată și cu riscul δ admis este

$$n \geq n_0, \quad n_0 = \left\lceil \frac{t_\delta^2 \sigma^2}{\epsilon^2} \right\rceil + 1, \quad t_\delta = \frac{1}{\sqrt{\delta}} \quad (6.3)$$

unde $[x]$ este partea întreagă a lui x .

Demonstrație. Deoarece $\text{Var}(\tau(\xi)) = \sigma^2$ rezultă că

$$\text{Var}(\bar{\tau}_n) = \text{Var}\left(\frac{1}{n} \sum_{i=1}^n \tau(\xi_i)\right) = \frac{\sigma^2}{n}.$$

Aplicând *inegalitatea lui Cebâșev* variabilei $\bar{\tau}_n$ avem

$$P(|\bar{\tau}_n - \theta| < t \frac{\sigma}{\sqrt{n}}) \geq 1 - \frac{1}{t^2} = p.$$

Deoarece dorim ca $P(|\bar{\tau}_n - \theta| < \epsilon) \geq p = 1 - \delta$, impunem condițiile

$$1 - \frac{1}{t^2} = 1 - \delta, \quad t \frac{\sigma}{\sqrt{n}} \leq \epsilon$$

de unde deducem

$$t = t_\delta = \frac{1}{\sqrt{\delta}}, \quad n \geq \frac{t_\delta^2 \sigma^2}{\epsilon^2}$$

de unde rezultă (6.3) și teorema este demonstrată.

Cu ajutorul metodei Monte Carlo se rezolvă multe tipuri de probleme cum sunt: *calculul integralelor, rezolvarea sistemelor de ecuații liniare și a ecuațiilor integrale, rezolvarea problemei Dirichlet pentru ecuații cu derivate parțiale de tip eliptic, rezolvarea problemelor de optimizare cu restricții, etc.* O parte din astfel de probleme vor fi tratate în continuare.

6.1.1 Calculul integralelor

Calculul numeric al integralelor, așa zisele formule de cuadratură, constituie un domeniu bine studiat în cadrul analizei numerice clasice, mai ales în cazul *unidimensional*. În cazul multidimensional însă, calculul integralelor prin *discretizare*, (aproximare prin sume integrale) este dificil de realizat practic. De aceea în cazul multidimensional mult mai bune sunt procedurile Monte Carlo de calcul al integralelor. Totuși, pentru ușurarea expunerii, aici vom prezenta unele metode Monte Carlo de calcul al integralelor numai în cazul unidimensional, având ca scop numai simplificarea scrierii. Va trebui însă să avem ca obiectiv utilizarea metodelor mai ales în cazul multidimensional. Desigur, metodele Monte Carlo se aplică și la calculul integralelor unidimensionale când formulele de cuadratură sunt neaplicabile (de ex. în cazul integralelor improprii) sau se aplică cu dificultate.

Să presupunem deci, fără a restrânge generalitatea, că avem de calculat integrala

$$\theta = \int_0^1 f(x)dx. \quad (6.4)$$

Dacă am avea de calculat

$$I = \int_a^b g(t)dt, \quad -\infty < a < b < +\infty$$

atunci prin transformarea

$$x = \frac{t-a}{b-a}, \quad dt = (b-a)dx,$$

integrala capătă forma

$$I = (b-a) \int_0^1 f(x)dx = (b-a)\theta, \quad f(x) = g(a + (b-a)x),$$

și deci problema se reduce la calculul integralei de forma (6.4).

6.2 Metoda Monte Carlo brută.

Dacă considerăm U variabila aleatoare uniformă $0 - 1$, atunci θ se poate scrie

$$\theta = E[f(U)] = \int_0^1 f(u)du$$

adică $\tau = f(U)$ este un estimator primar *nedeplasat* al lui θ de unde rezultă că dacă considerăm selecția U_1, U_2, \dots, U_n atunci θ se estimează cu media aritmetică, adică cu estimatorul secundar

$$\bar{\theta}_n = \frac{1}{n} \sum_{i=1}^n f(U_i). \quad (6.5)$$

Metoda aceasta bazată pe formula (6.5) se numește *metoda Monte Carlo brută* (denumirea derivând din faptul că se folosește repartiția uniformă).

Exemplul 6.1 Calculul lui π . Să presupunem că se dă cercul de rază 1 cu centrul în origine $x^2 + y^2 = 1$, fie D discul mărginit de acest cerc și să considerăm $\chi_D(x, y)$ funcția indicator a acestui domeniu D . Atunci

$$a = \text{aria}(D) = \int \int_D dx dy = \pi = \int \int \chi_D(x, y) dx dy.$$

Să considerăm acum intervalul bidimensional (pătratul) $I^2 = [-1, 1] \times [-1, 1]$ și vectorul $V = (V_1, V_2)'$ uniform pe I^2 . Atunci

$$p = \frac{\text{aria}(D)}{\text{aria}(I^2)} = \frac{\pi}{4}$$

se estimează cu

$$\bar{p} = \frac{1}{n} \sum_{i=1}^n \chi_D(V_i) = \bar{\chi}_{D,n}$$

unde V_1, V_2, \dots, V_n este o selecție asupra lui V . Din ultima relație rezultă că

$$\pi \approx 4\bar{p} = \frac{4}{n} \sum_{i=1}^n \chi_D(V_i) = 4\bar{\chi}_{D,n} \quad (6.5')$$

formulă care dă aproximarea lui π . Dacă notăm $\sigma^2 = \text{Var}(\chi_D(V)) = p(1-p)$, rezultă că

$$\text{Var}(\bar{p}) = \frac{1}{n} p(1-p) \leq \frac{1}{n4}. \quad (6.5'')$$

Să revenim acum la analiza estimatorului (6.5).

Dacă se cere estimarea (aproximarea) lui θ cu eroarea ϵ dată și cu coeficientul de risc δ dat, atunci volumul necesar al selecției este dat de (6.3). Pentru a aplica formula (6.3) ar trebui să cunoaștem

$$\sigma^2 = \text{Var}[f(U)] = \int_0^1 (f(u) - \theta)^2 du = \int_0^1 f^2(u) du - \theta^2. \quad (6.6)$$

Suntem deci în fața unui caz special și oarecum ciudat: pentru a calcula θ ar trebui să-l cunoaștem mai întâi pe θ și să cunoaștem și integrala $\int_0^1 f^2(x) dx$ (presupunând deci că $f \in \mathcal{L}^2[0, 1]$). Dar nu putem abandona ideea. Putem determina (estima) pe n cu (6.3) într-unul din două moduri și anume:

(1) Presupunem că $f(x) \leq M < \infty$, $x \in [0, 1]$. Atunci avem $\sigma^2 < M^2$ și deci în (6.3) putem înlocui $\sigma^2 = M^2$ obținând un n mai mare dar care asigură *cu atât mai mult* precizia ϵ și riscul δ . În particular, în cazul exemplului 6.1 putem determina n_0 din (6.3) luând $\sigma^2 = p(1-p)$.

(2) Alt mod de a estima un n constă în a estima mai întâi pe σ^2 folosind o selecție de volum k , U_1, U_2, \dots, U_k și anume

$$\sigma^2 \approx s^2 = \frac{1}{k} \sum_{i=1}^k (f(U_i) - \bar{\theta}_k)^2$$

iar din (6.3) (luând $\sigma = s$) determinăm n .

Din cele analizate, rezultă că estimația $\bar{\theta}_n$ a lui θ are dispersia

$$\text{Var}(\bar{\theta}_n) = \frac{1}{n} \sigma^2, \quad \sigma^2 = \text{Var}(f(U)). \quad (6.7)$$

Deci precizia metodei depinde în mod esențial de σ . Dar, din prima integrală din (6.6) rezultă că σ^2 depinde direct de *mărimea variației pe $[0, 1]$ a lui $f(x) - \theta$* . Pentru a mări deci precizia metodei este necesar să *micșorăm dispersia* $\sigma^2 = \text{Var}[f(U)]$. De aceea vom prezenta în continuare *metode de reducere a dispersiei*.

6.3 Metode de reducere a dispersiei

Vom prezenta câteva metode de reducere a dispersiei estimatorului primar în calculul integralelor definite.

6.3.1 Metoda Monte Carlo după importanță.

Această metodă derivă tocmai din cerința de a micșora variația lui $f(x) - \theta$ pe $[0, 1]$. Pentru aceasta să alegem o *densitate de repartiție* $p(x)$, $x \in [0, 1]$ astfel

incât variația funcției $(f(x)/p(x) - \theta)^2 p(x)$ să fie mai mică decât variația lui $(f(x) - \theta)^2$ pe $[0, 1]$. (Acest lucru se obține dacă de exemplu se alege $p(x)$ astfel încât graficele funcțiilor $f(x)$ și $p(x)$ să fie aproape paralele!).

Cu această alegere a lui $p(x)$ integrala (6.4) se scrie

$$\theta = \int_0^1 \frac{f(x)}{p(x)} p(x) dx = E\left[\frac{f(X)}{p(X)}\right] \quad (6.8)$$

unde $X \sim p(x)$. Deci $\tau^{(i)} = f(X)/p(X)$ este un estimator primar pentru θ . Simulând o selecție X_1, X_2, \dots, X_n a lui X , din (6.8) rezultă că θ se estimează cu estimatorul secundar

$$\bar{\theta}_n^{(i)} = \frac{1}{n} \sum_{i=1}^n \frac{f(X_i)}{p(X_i)}.$$

Datorită alegerii densității $p(x)$ ca mai sus rezultă că

$$Var[f(U)] > Var\left[\frac{f(X)}{p(X)}\right], \rightarrow Var[\bar{\theta}_n] > Var[\bar{\theta}_n^{(i)}]$$

și deci se realizează reducerea dispersiei. Densitatea $p(x)$ se numește *funcție de importanță*, de unde și denumirea de *metoda Monte Carlo după importanță*.

Să observăm că metoda *după importanță* se poate aplica cu succes la calculul unor integrale pe interval necompact, chiar integrale multiple.

Exemplul 6.2 Să ne propunem să calculăm integrala

$$I = \int_0^\infty \int_0^\infty e^{-x^{5/2}-y^{3/2}} \sqrt{x^2 + y^2 + 1} dx dy.$$

Să alegem funcția de importanță

$$p(x, y) = \begin{cases} e^{-x-y}, & \text{daca } x > 0, y > 0 \\ 0, & \text{altfel.} \end{cases}$$

Se observă că vectorul aleator $T = (X, Y)'$ care are densitatea $p(x, y)$, are componentele sale X și Y repartizate $Exp(1)$ și independente, ele putându-se simula cu ușurință. Se poate deci aplica metoda Monte Carlo după importanță pentru estimarea integralei I .

Exemplul 6.3. Să considerăm integrala

$$\theta = \int_0^1 \frac{g(x)}{\sqrt{x}} dx$$

unde $g(x)$ este cotinuuă pe $[0, 1]$. Metoda Monte Carlo brută conduce la estimatorul secundar

$$\bar{\theta}_n = \frac{1}{n} \sum_{i=1}^n \frac{g(U_i)}{\sqrt{U_i}}, \quad U_i \rightsquigarrow \text{uniform}[0, 1].$$

Deoarece $\text{Var}\left(\frac{g(U)}{\sqrt{U}}\right) = \infty$, rezultă că metoda Monte Carlo brută nu este bună. Dar dacă luăm ca *funcție de importanță* densitatea pe $[0, 1]$

$$p(x) = \frac{1}{2\sqrt{x}}, \quad F(x) = P(X < x) = \begin{cases} 0, & x < 0 \\ 1 - \sqrt{x}, & x \in [0, 1] \\ 1, & x > 1 \end{cases}$$

atunci dispersia estimatorului *după importanță* este finită și deci această ultimă metodă este mai bună.

●● **Observații.** (1) Să observăm că metoda selecției după importanță se poate aplica la calculul oricărei integrale, simplă sau multiplă de forma

$$\theta = \int_D f(x)p(x)dx = \int f(x)p(x)dx, \quad D \subseteq R_k \quad (6.8')$$

unde $p(x)$ este densitate. Valoarea integralei θ se aproximează cu estimatorul secundar

$$\bar{\theta}_n = \frac{1}{n} \sum_{i=1}^n f(Y_i), \quad Y_i \rightsquigarrow p(x).$$

Să alegem acum o altă densitate $q(x)$, $x \in D$ și fie $X \rightsquigarrow q(x)$. Scriind

$$\theta = \int \frac{f(x)p(x)}{q(x)}q(x)dz = E\left[\frac{f(X)p(X)}{q(X)}\right]$$

putem determina un estimator nedeplasat al lui θ astfel

$$\hat{\theta}_n = \frac{1}{n} \sum_{i=1}^n \frac{f(X_i)p(X_i)}{q(X_i)}, \quad X_i \rightsquigarrow q(x).$$

Se poate arăta că dispersia estimatorului $\hat{\theta}_n$ se micșorează față de cea a lui $\bar{\theta}_n$ dacă alegem ca densitate $q(x) = q_0(x) \sim |f(x)|p(x)$, adică satisface această relație de proporționalitate. Utilizarea celor două densități $p(x), q_0(x)$ pentru calculul unei integrale, (cu $q_0(x)$ ales ca mai sus) poate deci conduce la micșorarea dispersiei față de metoda brută.

(2) Să presupunem că avem de calculat mai multe integrale multiple pe același domeniu de forma (6.8'), adică

$$\theta_i = \int_D f_i(x) p_i(x) dx = \int f_i(x) p(x) dx, \quad 1 \leq i \leq s$$

și pentru fiecare alegem o aceeași densitate *de importanță* $q(x)$ ca la observația (1), precedentă. Obținem atunci estimatorii secundari

$$\hat{\theta}_n^{(i)} = \frac{1}{n} \sum_{i=1}^n f_i(X_i) \frac{p(X_i)}{q(X_i)}, \quad X_i \rightsquigarrow q(x).$$

Presupunem că se dau constantele $a_i, 1 \leq i \leq s$, și dorim să alegem $q(x)$ astfel încât $Var(\sum_i a_i \hat{\theta}_n^{(i)})$ să fie minimă. Avem

$$Var(\hat{\theta}_n) = Var(\sum_i a_i \hat{\theta}_n^{(i)}) = \int \sum_{i=1}^s a_i^2 f_i^2(x) \frac{p^2(x)}{q(x)} dx - \sum_{i=1}^s a_i^2 \theta_i^2$$

iar minimum acestei dispersii se obține când este minimă expresia

$$S = \int \sum_{i=1}^s a_i^2 f_i^2(x) \frac{p^2(x)}{q(x)} dx.$$

Să considerăm variabila aleatoare

$$\eta = \left(\sum_{i=1}^s a_i^2 f_i^2(X) \right)^{\frac{1}{2}} \frac{p(X)}{q(X)}, \quad X \rightsquigarrow q(x)$$

și să observăm că $Var(\eta) = S - \bar{T}^2$, unde

$$\bar{T} = \int \left(\sum_{i=1}^s a_i^2 f_i^2(x) \right)^{\frac{1}{2}} p(x) dx$$

de unde

$$S \geq \left(\int \left(\sum_{i=1}^s a_i^2 f_i^2(x) \right)^{\frac{1}{2}} p(x) dx \right)^2.$$

În concluzie dispersia $Var(\hat{\theta}_n)$ devine minimă când

$$q(x) = q_0(x) = \frac{1}{\bar{T}} \left(\sum_{i=1}^s a_i^2 f_i^2(x) \right)^{\frac{1}{2}} p(x), \quad S = \bar{T}$$

și acest minim se atinge pentru $q_0(x)$ și el este $\bar{T}^2 - \sum_{i=1}^s a_i^2 \theta_i^2$.

6.3.2 Metoda variabilei de control

Să presupunem că pentru a calcula integrala (6.6) cunoaștem o funcție φ pentru care putem calcula ușor integrala

$$\mu = \int_0^1 \varphi(u) du$$

și presupunem că φ este selectată astfel încât

$$Var[f(U) - \varphi(U)] < Var[f(U)]. \quad (6.9)$$

Deoarece

$$\theta = \mu + \int_0^1 [f(u) - \varphi(u)] du = \mu + E[f(U) - \varphi(U)] \quad (6.10)$$

rezultă că putem estima θ cu

$$\mu + \bar{\theta}_n^{(c)} = \mu + \frac{1}{n} \sum_{i=1}^n \psi(U_i), \quad \psi(u) = f(u) - \varphi(u).$$

Dar din (6.9) avem

$$Var[\mu + \psi(U)] = Var[\psi(U)] < Var[f(U)]$$

și deci dispersia estimatorului $\mu + \bar{\theta}_n^{(c)}$ este mai mică decât cea a estimatorului brut $\bar{\theta}_n$. Funcția φ se numește *funcție de control* de unde derivă și denumirea metodei.

6.3.3 Metoda variabilelor corelate

Să presupunem că alegem o funcție φ (ca în cazul metodei variabilei de control) astfel încât

$$\theta = \int_0^1 \varphi(u) du + \int_0^1 [f(u) - \varphi(u)] du$$

unde integrala $\mu = \int_0^1 \varphi(u) du$ se poate calcula exact și ușor. Dacă în plus se alege φ astfel încât

$$Var[\varphi(U)] - 2Cov[\varphi(U), f(U)] < 0, \quad (6.11)$$

atunci, de asemenea se poate realiza reducerea dispersiei deoarece

$$\begin{aligned} Var[\varphi^*(U)] &= Var[f(U) - \varphi(U)] = \\ &= Var[f(U)] + Var[\varphi(U)] - 2Cov[f(U), \varphi(U)] < Var[f(U)]. \end{aligned}$$

Variabila aleatoare $\varphi(U)$ care satisface (6.11) se numește variabilă *corelată* (cu $f(U)$), de unde și denumirea metodei.

6.3.4 Metoda variabilelor antitetice

Să considerăm integrala (6.4) care se scrie

$$\theta = E[\tau] = E[f(U)],$$

să alegem un alt estimator primar $f^*(U)$, $\theta = E[f^*(U)]$ și să considerăm estimatorul primar

$$\varphi = f^*(1 - U), \quad E[\varphi(U)] = E[f^*(1 - U)] = E[f^*(U)] = \theta.$$

Atunci, putem considera estimatorul primar

$$\psi = \frac{1}{2}(\tau + \varphi)$$

pentru care avem

$$Var(\psi) = \frac{1}{4}\{Var(\tau) + Var(\varphi) + 2Cov(\tau, \varphi)\} \text{ si } Cov(\tau, \varphi) < 0.$$

Dacă se alege f^* astfel încât

$$Var(\psi) < Var(\tau) \quad (6.12)$$

atunci estimatorul ψ realizează reducerea dispersiei. Uneori puntem alege simplu $\varphi = f(1 - U)$ care satisface (6.12).

6.3.5 Metoda selecției stratificate

Această metodă derivă tot din ideea de a micșora dispersia estimatorului primar prin reducerea variației funcției ce se integrează. Fie $0 = \alpha_0 < \alpha_1 < \dots < \alpha_m = 1$ o diviziune a intervalului $[0, 1]$. Atunci integrala (6.4) se scrie

$$\theta = \sum_{j=1}^m \int_{\alpha_{j-1}}^{\alpha_j} f(v) dv$$

de unde se deduce că fiecare din cele m integrale ale sumei precedente se poate estima prin metoda Monte Carlo brută, obținându-se în final estimatorul secundar

$$\bar{\tau}_m^* = \sum_{j=1}^m \sum_{i=1}^{k_j} (\alpha_j - \alpha_{j-1}) \frac{1}{k_j} f(\alpha_{j-1} + (\alpha_j - \alpha_{j-1})U_{i_j}) \quad (6.13)$$

unde U_{ij} , $1 \leq j \leq m$, $1 \leq i \leq k_j$ sunt selecții de numere aleatoare independente și uniforme $0 - 1$ de volume k_j , iar $n = \sum_{j=1}^m k_j$. Cu selecțiile de volume k_j de numere aleatoare uniforme $0 - 1$ se estimează integralele pe intervalele $[\alpha_{j-1}, \alpha_j]$. Cele m intervale se mai numesc (în limbaj statistic) *straturi* iar selecția formată din cele m selecții ale straturilor se numește *selecție stratificată*. Făcând schimbări de variabile în integralele (6.13) se deduce că

$$Var(\bar{\tau}_m^*) = \sum_{j=1}^m \frac{(\alpha_j - \alpha_{j-1})^2}{k_j} \int_{\alpha_{j-1}}^{\alpha_j} f^2(u) du - \sum_{j=1}^m \frac{1}{k_j} \left[\int_{\alpha_{j-1}}^{\alpha_j} f(u) du \right]^2. \quad (6.14)$$

Notând

$$\theta_j = \int_{\alpha_{j-1}}^{\alpha_j} f(u) du, \quad 1 \leq j \leq m$$

dispersia lui $\bar{\tau}_m^*$ se micșorează dacă variațiile funcțiilor $f(u) - \theta_j$ pe intervalele $[\alpha_{j-1}, \alpha_j]$ sunt mult mai mici decât variația funcției $f(u) - \theta$, $u \in [0, 1]$. Din teoria statistică a sondajelor stratificate se știe că dacă se fixează volumul total al selecției n , atunci volumele de selecție ale straturilor k_j se aleg proporționale cu valorile

$$(\alpha_j - \alpha_{j-1}) \int_{\alpha_{j-1}}^{\alpha_j} f^2(u) du - \left[\int_{\alpha_{j-1}}^{\alpha_j} f(u) du \right]^2. \quad (6.15)$$

Punctele diviziunii α_j se pot alege astfel încât lungimile intervalelor să fie egale cu $\frac{1}{m}$ (adică $\alpha_j = \frac{j}{m}$) sau se aleg astfel încât variația funcției să fie aceeași pe fiecare interval.

Dispersia $Var(\bar{\tau}_m^*)$ se calculează de obicei greu, dar ea se poate estima astfel

$$Var(\bar{\tau}_m^*) \approx s_m^2 = \sum_{j=1}^m \frac{(\alpha_j - \alpha_{j-1})^2}{k_j(k_j - 1)} \sum_{i=1}^{k_j} (f_{i_j} - \bar{f}_j)^2 \quad (6.16)$$

unde

$$f_{i_j} = f(\alpha_{j-1} + (\alpha_j - \alpha_{j-1})U_{i_j}), \quad \bar{f}_j = \frac{1}{k_j} \sum_{i=1}^{k_j} f_{i_j}. \quad (6.16')$$

6.3.6 Reducerea dimensiunii de integrare

Să presupunem că avem de calculat integrala multiplă

$$\theta = \int_D f(\mathbf{x})p(\mathbf{x})d\mathbf{x}, \quad D \in R^k \quad (6.4')$$

unde $p(\mathbf{x})$ este densitate de repartiție. (Oricând, o integrală multiplă se poate scrie așa). Să notăm $\mathbf{x} = (\mathbf{y}, \mathbf{z})'$, $\mathbf{y} = (x_1, x_2, \dots, x_s)'$, $s < k$, $\mathbf{z} = (x_{s+1}, \dots, x_k)'$. Atunci, integrala (6.4') se scrie, folosind notații convenabile

$$\begin{aligned} \theta &= \int_{(Y)} \int_{(Z)} f(\mathbf{y}, \mathbf{z})p(\mathbf{y}, \mathbf{z})d\mathbf{y}d\mathbf{z} = \int_{(Y)} \tilde{f}(\mathbf{y})p_1(\mathbf{y})d\mathbf{y} \\ p_1(\mathbf{y}) &= \int_{(Z)} p(\mathbf{y}, \mathbf{z})d\mathbf{z}, \quad \tilde{f}(\mathbf{y}) = \int_{(Z)} f(\mathbf{y}, \mathbf{z})p(\mathbf{y}, \mathbf{z})\frac{d\mathbf{z}}{p_1(\mathbf{y})} \end{aligned}$$

unde $\frac{p(\mathbf{y}, \mathbf{z})}{p_1(\mathbf{y})}$ este densitatea condiționată, iar $p_1(\mathbf{y})$ este densitate marginală.

Să notăm $\tilde{\mathbf{Y}}$ vectorul aleator care are densitatea $p_1(\mathbf{y})$ și cu $\mathbf{X} = (\mathbf{Y}, \mathbf{Z})'$, $\tilde{\mathbf{Y}} = \mathbf{Y}$ vectorul aleator corespunzător densității $p(\mathbf{x})$. Atunci putem estima integrala θ în două moduri și anume

$$\bar{\theta}_n = \frac{1}{n} \sum_{i=1}^n f(\mathbf{Y}_i, \mathbf{Z}_i), \quad \tilde{\theta}_n = \frac{1}{n} \sum_{i=1}^n \tilde{f}(\mathbf{Y}_i). \quad (6.4')$$

Se poate arăta că are loc relația

$$Var(\tilde{\theta}_n) \leq Var(\bar{\theta}_n).$$

Intr-adevăr, scriind în detaliu dispersiile avem

$$\begin{aligned} &Var(\bar{\theta}_n) - Var(\tilde{\theta}_n) = \\ &= \frac{1}{n} \int_{(Y)} \left\{ \int_{(Z)} f^2(\mathbf{y}, \mathbf{z}) \frac{p(\mathbf{y}, \mathbf{z})}{p_1(\mathbf{y})} d\mathbf{z} - \left(\int_{(Z)} f(\mathbf{y}, \mathbf{z}) \frac{p(\mathbf{y}, \mathbf{z})}{p_1(\mathbf{y})} d\mathbf{z} \right)^2 \right\} \int_{(Z)} p(\mathbf{y}, \mathbf{z}) d\mathbf{y} \geq 0. \end{aligned}$$

Ultima inegalitate rezultă din faptul că expresia din acolade este dispersia lui $\tilde{\mathbf{Y}}$ (care este pozitivă) iar $p(\mathbf{x}, \mathbf{y}) \geq 0$ fiind densitate de repartiție.

6.4 Rezolvarea unor ecuații operatoriale

În această secțiune ne vom ocupa de rezolvarea sistemelor de ecuații liniare și de rezolvarea unor ecuații integrale.

6.4.1 Rezolvarea sistemelor de ecuații liniare

Să presupunem că sistemul de ecuații liniare este scris sub forma matricială

$$\mathbf{x} = \mathbf{a} + H\mathbf{x}, \mathbf{x} \in R^n, \mathbf{a} \in R^n, H = (h_{ij}), \|H\| = \max_i \left(\sum_j |h_{ij}| \right) < 1. \quad (6.17)$$

(Dacă sistemul este dat sub forma $A\mathbf{x} = \mathbf{a}$ cu $\mathbf{x}, \mathbf{a} \in R^n$, atunci el se scrie sub forma (6.17) dacă $H = (I - A)$, I —matricea unitate $n \times n$). Pentru construirea metodei Monte Carlo de rezolvare a sistemului (6.17) asociem problemei un lanț Markov finit, absorbant și omogen cu $n + 1$ stări astfel:

- la matricea $H^{n \times n}$ asociem matricea de probabilități $P^{n \times n} = (p_{ij})$ cu condiția

$$p_{ij} \geq 0, \sum_{j=1}^n p_{ij} < 1; p_{ij} \neq 0 \Leftrightarrow h_{ij} \neq 0 \quad (6.18)$$

și fie $p_i = 1 - \sum_{j=1}^n p_{ij}$. Lanțul Markov omogen și absorbant va avea matricea probabilităților de trecere

$$P^* = \begin{pmatrix} p_{11} & p_{12} & \dots & p_{1n} & p_1 \\ p_{21} & p_{22} & \dots & p_{2n} & p_2 \\ \cdot & \cdot & \dots & \cdot & \\ p_{n1} & p_{n2} & \dots & p_{nn} & p_n \\ 0 & 0 & \dots & 0 & 1 \end{pmatrix}; \quad (6.18')$$

- în continuare definim *ponderile*

$$v_{ij} = \begin{cases} \frac{h_{ij}}{p_{ij}} & \text{dacă } p_{ij} > 0; \\ 0 & \text{altfel} \end{cases} \quad (6.19)$$

- pentru un $i_0, 1 \leq i_0 \leq n$ generăm o traiectorie a lanțului Markov

$$\gamma = (i_0, i_1, \dots, i_m, i_{m+1}), \quad i_{m+1} = n + 1$$

adică i_{m+1} este stare absorbantă; din construcția lanțului rezultă că traiectoria este finită ($m < \infty$ iar $p_{i_m, i_{m+1}} = p_{i_m}$);

- să considerăm acum expresia

$$V_m(\gamma) = v_{i_0 i_1} v_{i_1 i_2} \dots v_{i_{m-1} i_m}, \quad X(\gamma) = V_m(\gamma) \frac{a_{i_m}}{p_{i_m}}. \quad (6.20)$$

Pentru statistica $X(\gamma)$ este adevărată teorema

Teorema 6. 2 *Statistica $X(\gamma)$ este un estimator primar pentru componenta x_{i_0} a soluției \mathbf{x} a sistemului liniar (6.17).*

Demonstrație. Pentru traiectoria γ dată avem

$$\begin{aligned} E[X(\gamma)|i_0 = i] &= \sum_{\gamma} P(\gamma)X(\gamma) = \\ &= \sum_{m=0}^{\infty} \sum_{i_1 i_2 \dots i_m} p_{ii_1} p_{i_1 i_2} \dots p_{i_{m-1} i_m} p_{i_m} v_{ii_1} v_{i_1 i_2} \dots v_{i_{m-1} i_m} \frac{a_{i_m}}{p_{i_m}} = \\ &= \sum_{m=0}^{\infty} \sum_{i_1 i_2 \dots i_m} h_{ii_1} h_{i_1 i_2} \dots h_{i_{m-1} i_m} a_{i_m} = \\ &= a_i + (Ha)_i + (H^2 a)_i + \dots \end{aligned} \quad (6.20')$$

Ultima formulă reprezintă componenta $x_{i_0} = x_i$ a dezvoltării

$$x = a + Ha + H^2 a + \dots \quad (6.21)$$

adică a soluției sistemului (6.17) și teorema este demonstrată. Deoarece $\|H\| < 1$ rezultă că (6.21) deci și (6.20') converge.

Din cele de mai sus, rezultă că dacă considerăm o selecție $\gamma_1, \gamma_2, \dots, \gamma_N$ de traiectorii independente ale lanțului Markov construit, pornind toate din starea $i_0 = i$ obținem estimatorul secundar al componentei x_i a sistemului de forma

$$\bar{x}_i = \frac{1}{N} \sum_{i=1}^N X(\gamma_i)$$

care este estimator nedeplasat și consistent pentru x_i . Observăm că metoda Monte Carlo ne permite să determinăm *o singură componentă a soluției*, (componenta x_i , $i = i_0$), ceea ce nu putem realiza cu nicio metodă numerică clasică. Acest fapt poate să prezinte un avantaj în cazul unor probleme ingineresti, când de exemplu x_{i_0} reprezintă o componentă importantă a unei structuri de rezistență și numai aceasta este necesar să fie bine calculată, celelalte putând avea același ordin de mărime.

6.4.2 Rezolvarea ecuațiilor integrale

Să considerăm ecuația integrală *de speța doua* în funcția necunoscută $f(x)$ de forma

$$f(x) = g(x) + \int_a^b K(x, y) f(y) dy \quad (6.22)$$

unde nucleul K și funcțiile f, g satisfac condiții astfel încât soluția $f(x)$ să existe pentru orice $x \in [a, b]$. Considerând K drept un operator liniar ecuația (6.22) se poate scrie asemănător lui (6.17) adică

$$f = g + Kf \quad (6.17')$$

care este *tot o ecuație operatorială*. Considerând *normele*

$$\|g\| = \int_a^b |g(u)| du, \quad \|K\| = \sup_x \int_a^b |K(x', x)| dx$$

și iterând nucleul K conform regulei

$$[K^2 f](x) = \int_a^b \int_a^b f(x_0) K(x_0, x_1) K(x_1, x) dx_0 dx_1$$

se arată că dacă $\|K\| < 1$ atunci există un n_0 finit astfel încât

$$f = \sum_{i=1}^{n_0} K^i f + g$$

adică în acest caz există soluție a ecuației integrale.

Un mod direct de rezolvare numerică a ecuației (6.22) constă în a *discretiza ecuația*. Adică, alegem o *grilă* de puncte $a = \alpha_0 < \alpha_1 < \dots < \alpha_n = b$ suficient de *fină* astfel încât ne interesează să calculăm valorile $f_i = f(\alpha_i)$, $1 \leq i \leq n$. Atunci, aproximând integralele prin sume corespunzând fiecărui punct α_i ajungem la un sistem liniar de forma

$$\mathbf{f} = \mathbf{g} + K\mathbf{f} \quad (6.22')$$

unde $\mathbf{f} = (f_1, f_2, \dots, f_n)'$, $\mathbf{g} = (g_1, g_2, \dots, g_n)'$, $g_i = g(\alpha_i)$, $K = (K_{ij})$, $K_{ij} = K(\alpha_i, \alpha_j)$, $1 \leq i, j \leq n$. Acest sistem se rezolvă ca un sistem liniar ca mai sus. Și aici remarcăm avantajul metodei în a determina soluția numai a unei componente f_{i_0} a lui \mathbf{f} .

Putem însă să construim o metodă Monte Carlo asemănătoare celei privind rezolvarea sistemelor de ecuații liniare, folosind un *lanț Markov cu o mulțime continuă de stări și absorbant*. Vom presupune că dorim să estimăm o *funcțională* I_h (definită de produsul scalar) ce depinde de soluția f a ecuației integrale (6.22) sau (6.17') dată de relația

$$I_h = (f, h) = \int_R f(x) h(x) dx, \quad f = Kf + g. \quad (6.23)$$

Lanțul Markov se presupune că este determinat de o *densitate de repartiție inițială* a stărilor $\pi(x)$ și de o *densitate de tranziție* $p(x', x)$; vom nota cu N numărul aleator de *stări finale* ale lanțului. (Lanțul este absorbant!). Dacă x_0, x_1, \dots, x_N este o traiectorie a lanțului să introducem *ponderile*

$$Q_0 = \frac{g(x_0)}{\pi(x_0)}, \quad Q_n = Q_{n-1} \frac{K(x_{n-1}, x_n)}{p(x_{n-1}, x_n)}. \quad (6.24)$$

Date fiind g, K, h , vrem să alegem densitățile $\pi(x), p(x', x)$ astfel încât estimatorul

$$\xi = \sum_{n=0}^N Q_n h(x_n) \quad (6.24')$$

să fie un estimator primar pentru funcționala (f, h) . Procedăm astfel:

- alegem funcțiile $\pi(x), r(x', x)$ cu condițiile

$$\pi(x) \neq 0 \Leftrightarrow g(x) \neq 0, \quad \int_a^b \pi(x) dx = 1,$$

$$r(x', x) \neq 0 \Leftrightarrow K(x', x) \neq 0$$

și construim densitatea de tranziție a lanțului absorbant de forma

$$p(x', x) = r(x', x)[1 - q(x')], \quad \int_a^b p(x', x) dx = 1 - q(x') \leq 1$$

unde $q(x')$ este probabilitatea ca traiectoria lanțului să se intrerupă (lanțul absorbant!). Cu precizările anterioare se poate demonstra teorema următoare, asemănătoare teoremei 6.2.

Teorema 6. 3 *Dacă nucleul K satisface condiția că pentru un n_0 finit dat are loc condiția $\|\hat{K}^{n_0}\| < 1$ unde $\hat{K}(x', x) = |K(x', x)|$ și dacă densitățile π și p sunt selectate ca mai sus, atunci*

$$E[\xi] = E \left[\sum_{n=0}^N Q_n h(x_n) \right] = I_h = (f, h).$$

In plus, lungimea traiectoriei este finită, $E(N) < \infty$.

Demonstrația teoremei, cu excepția relației $E(N) < \infty$ este intru totul asemănătoare teoremei precedente 6.2 și nu o prezentăm aici.

Pentru a estima funcția $f(x)$ în punctul x este suficient să observăm că

$$f(x) = (f, h_x) + g(x), \quad h_x(x') = K(x', x).$$

Dacă $g(x) \geq 0$ și

$$\int_a^b g(x)dx = 1, K(x', x) \geq 0, \int_a^b K(x, x')dx' \leq 1,$$

atunci putem lua

$$\pi(x) = g(x), p(x', x) = K(x', x), Q_n = 1, \xi = \sum_{n=0}^N h(x_n)$$

unde N este lungimea traiectoriei până la absorbție.

6.5 Rezolvarea ecuațiilor cu derivate parțiale

Să considerăm ecuația cu derivate parțiale de ordinul doi

$$\beta_{11} \frac{\partial^2 V}{\partial x^2} + 2\beta_{12} \frac{\partial^2 V}{\partial x \partial y} + \beta_{22} \frac{\partial^2 V}{\partial y^2} + 2\alpha_1 \frac{\partial V}{\partial x} + 2\alpha_2 \frac{\partial V}{\partial y} = F(x, y) \quad (6.25)$$

cu condiția

$$V(x, y) = \varphi(x, y), \quad (x, y) \in C, \quad (6.25')$$

unde $V(x, y)$ este o funcție necunoscută pe domeniul mărginit $\mathcal{D} \subset R^2$, coeficienții β_{ij} , α_i , $i, j = 1, 2$ sunt funcții reale cunoscute definite pe \mathcal{D} , funcția $\varphi(x, y)$ este de asemenea cunoscută, iar $C = \partial\mathcal{D}$ este frontiera lui \mathcal{D} . Problema rezolvării ecuației (6.25) cu condiția *pe contur* (6.25') este cunoscută sub numele de *problema Dirichlet*.

Etapele rezolvării prin metoda Monte Carlo a problemei Dirichlet formulată anterior sunt următoarele:

1) Domeniul D este acoperit de o *rețea dreptunghiulară* de puncte (*sau grilă*), puncte în care se vor calcula valorile funcției V . Să notăm cu (x_i, y_j) nodurile rețelei definite astfel

$$x_i = x_0 + ih, \quad y_i = y_0 + ih, \quad i = 0, \pm 1, \pm 2, \pm 3, \dots \quad (6.26)$$

unde (x_0, y_0) sunt fixate iar h este o constantă suficient de mică (*pasul grilei*). Orice punct (x, y) al rețelei are patru puncte *vecine*

$$P_1 = (x + h, y), P_2 = (x - h, y), P_3 = (x, y + h), P_4 = (x, y - h) \quad (6.26')$$

Considerăm de asemenea punctul vecin suplimentar $P_5 = (x + h, y + h)$. Unele puncte ale rețelei sunt pe curba C sau sunt *cele mai apropiate* de curba C ; să notăm C_h mulțimea acestor puncte.

2) Discretizăm ecuația (6.26) în punctul $P = (x, y)$ în care dorim să estimăm $V(x, y)$. Discretizarea conduce la construirea unor *diferențe finite* $\Delta_x, \Delta_y, \Delta_{xx}, \Delta_{xy}, \Delta_{yy}$, definite astfel:

$$\Delta_x = \frac{V(x+h, y) - V(x, y)}{h}, \Delta_y = \frac{V(x, y+h) - V(x, y)}{h}, \Delta_{xx} = \Delta(\Delta_x), \text{etc.}$$

$$\Delta_{xx} = \frac{V(x+h, y) + V(x-h, y) - 2V(x, y)}{h^2}, \quad (6.26'')$$

$$\Delta_{xy} = \frac{V(x+h, y+h) - V(x+h, y) - V(x, y+h) + V(x, y)}{h^2}$$

$$\Delta_{yy} = \frac{V(x, y+h) + V(x, y-h) - 2V(x, y)}{h^2}.$$

Folosind aceste diferențe în (6.25) deducem expresia lui $V(x, y) = V(P)$ astfel

$$V(P) = \sum_{i=1}^5 p_i(P) V(P_i) - \frac{h^2 F(P)}{D(P)} \quad (6.27)$$

unde

$$p_1(P) = \frac{1}{D}(\beta_{11} - 2\beta_{12}), \quad p_2(P) = \frac{\beta_{11}}{D},$$

$$p_3(P) = \frac{1}{D}(\beta_{22} - 2\beta_{12}), \quad p_4(P) = \frac{\beta_{22}}{D} \quad (6.27')$$

$$p_5(P) = \frac{2\beta_{12}}{D}, \quad D(P) = 2\beta_{11} + 2\beta_{22} - 2\beta_{12} + 2h(\alpha_1 + \alpha_2).$$

Se observă că dacă ecuația (6.25) este de *tip eliptic* atunci $\beta_{11}\beta_{22} - \beta_{12}^2 > 0$ și deci $p_i(P)$ din (6.27') sunt probabilități (sunt pozitive) și

$$\sum_{i=1}^5 p_i(P) = 1 \quad \forall \beta_{ij}, \alpha_i \quad i = 1, 2.$$

Se arată că dacă în (6.27) luăm $h \rightarrow 0$ atunci această expresie converge către $V(x, y)$ care este soluție a ecuației (6.25). Probabilitățile $p_i(P)$, $1 \leq i \leq 5$ definesc un lanț Markov particular numit *mers la întâmplare în plan*. Interpretarea acestui lanț este următoarea: dacă o particulă pornește din punctul $P(x, y)$ atunci ea se deplasează pe grilă în punctele vecine prin salturi, cu probabilitățile $p_i(P)$. Dacă $\beta_{12} = 0$ atunci particola nu se poate deplasa în punctul $P_5 = (x+h, y+h)$. Mersul la întâmplare construit este *absorbant pe frontiera* C_h ; dacă particola atinge un punct $Q \in C_h$ atunci probabilitatea de a părăsi acel punct este zero.

3) Cu ajutorul mersului la întâmplare construit definim estimatorul primar asociat unei traiectorii

$$\gamma = (P, P^{(1)}, P^{(2)}, \dots, P^{(m)}, P^{(m+1)}), \quad P^{(m+1)} = Q_i \in C_h$$

astfel

$$Z_i = - \sum_{j=1}^m \frac{h^2 F(P^{(j)})}{D(P^{(j)})} + \varphi(Q_i). \quad (6.28)$$

Cu notațiile și construcțiile de mai sus este adevărată teorema

Teorema 6.4 *Estimatorul primar (6.28) este un estimator asimptotic nedeplasat pentru soluția $V(P) = V(x, y)$ a ecuației (6.25).*

Demonstrație. Fără a restrânge generalitatea vom presupune că $F(P) > 0$, $\varphi(Q_i) > 0$. Să notăm $W_m(P) = E[Z_{mi}^*]$ cu

$$Z_{mi}^* = - \sum_{j=1}^m \frac{h^2 F(P^{(j)})}{D(P^{(j)})} + \varphi_m(Q_i), \quad (6.28')$$

unde

$$\varphi_m(Q_i) = \begin{cases} \varphi(Q_i), & \text{daca frontiera } C_h \text{ este atinsa in } m \text{ pasi} \\ 0, & \text{in rest} \end{cases}$$

Ținând seama de (6.28) atunci deducem că $W_m(P)$ verifică relația de recurență

$$W_M(P) = \sum_{i=1}^5 p_i(P) W_{m-1}(P_i) - \frac{h^2}{D(P)} F(P) \quad (6.28'')$$

și de aici se deduce $W_{m+1} \geq W_m$ adică W_m este monoton crescător și mărginit (conform (6.28)) de

$$\varphi_{max} + \left[-\frac{h^2}{D} f \right]_{max} \bar{k}_m, \text{ cu } \varphi_{max} = \max_{Q \in C_h} \varphi(Q).$$

Numărul \bar{k}_m este numărul mediu de pași ai unei traiectorii, care oricum are cel mult un număr finit de pași dacă domeniul înconjurat de curba C este mărginit. Deci, pentru un punct P fixat, șirul W_m este convergent, de unde rezultă că estimatorul (6.28) este asimptotic nedeplasat, deci teorema este demonstrată.

4) Un estimator secundar al lui $V(P)$ se obține dacă se consideră n traiectorii $\gamma_1, \gamma_2, \dots, \gamma_n$ ce pornesc toate din punctul $P = (x, y)$ astfel

$$\bar{V} = \frac{1}{n} \sum_{i=1}^n Z_i. \quad (6.28''')$$

Acest estimator este de asemenea asimptotic nedeplasat pentru $V(x, y)$.

Un caz particular de ecuație de tip eliptic este *ecuația Poisson*, adică

$$\nabla V(P) = F(P), \text{ sau } \frac{\partial^2 V}{\partial x^2} + \frac{\partial^2 V}{\partial y^2} = F(x, y)$$

cu condiția pe contur

$$V(P) = \varphi(P), \quad P \in C, \quad C = \mathcal{D} \subset R^2.$$

Aici construcția este asemănătoare, dar desigur mai simplă. Considerăm ca și în cazul general o grilă de puncte care acoperă \mathcal{D} dar ca puncte vecine lui $P = (x, y)$ considerăm numai punctele P_1, P_2, P_3, P_4 , (deoarece $\beta_{12} = 0$). În acest caz prin discretizare obținem $V(P)$ de forma

$$V(P) = \frac{1}{4} \sum_{i=1}^4 V(P_i) - \frac{1}{4} h^2 F(P), \quad p_i(P) = p_i = \frac{1}{4}, \quad D = 4. \quad (6.27')$$

Deci mersul la întâmplare asociat are în acest caz probabilități egale de tranziție din P în punctele vecine $P_i, 1 \leq i \leq 4$. Teorema precedentă este desigur valabilă și în acest caz și anume estimatorul primar este

$$Z_i = - \sum_{j=1}^m \frac{1}{4} h^2 F(P^{(j)}) + \varphi(Q_i)$$

el fiind calculat cu ajutorul traiectoriei γ ca mai sus, iar estimatorul secundar este tot de forma (6.28''').

În final precizăm un algoritm pentru simularea mersului la întâmplare în cazul general al ecuației (6.25). De fapt este necesar să precizăm cum generăm punctul $P^{(j+1)}$ al traiectoriei când plecăm din punctul $P^{(j)}$. Algoritmul pentru generarea acestui punct este

Algoritmul SALT pentru generarea unui salt de mers la întâmplare.

Intrare $x^{(j)}, y^{(j)}$ și h ; (Acesta este un pas pregătitor);

Calculează $p_i = p_i(P^{(j)}), 1 \leq i \leq 5$ cu formulele (6.27');

Calculează $f_i = p_1 + \dots + p_i$, $1 \leq i \leq 5$, $f_5 = 1$;
 Generează $U := \text{random}$; $i := 1$;
while $U > f_i$ **do** $i := i + 1$;
 Calculează coordonatele punctului P_i cu formulele (6.26') în care $x = x^{(j)}$, $y = y^{(j)}$;
 Ia $P^{(j+1)} := P_i$ calculat anterior;
 Dacă $P^{(j+1)} \notin C_h$ atunci ia $P^{(j)} := P^{(j+1)}$, altfel traiectoria se termină.

Repetând algoritmul precedent de la pasul

Generează $U := \text{random}$;

până când pentru prima dată $P^{(j+1)} \in C_h$ se obține traiectoria mersului până la absorbție. În final să observăm că metodele numerice obișnuite pentru rezolvarea problemei Dirichlet se bazează tot pe discretizare. Valorile necunoscute ale funcției $V(P)$ în puncte ale grilei sunt necunoscute ale unui sistem de ecuații liniare de dimensiune foarte mare. Prin rezolvarea acestui sistem liniar se obțin *toate* valorile necunoscute în punctele grilei interioare lui \mathcal{D} . Metoda Monte Carlo descrisă aici permite calculul *separat* al valorii funcției V în fiecare punct P al grilei, fără a mai fi necesar calculul acesteia în alte puncte. Acest fapt, de asemenea poate constitui un avantaj practic.

Exerciții

E6.1 Să se calculeze mai întâi direct, iar apoi utilizând metoda Monte Carlo brută integrala

$$I = \int_0^1 \sqrt{1-x^2} dx.$$

Indicație. Facând o schimbare potrivită de variabilă se arată că $I = \frac{\pi}{4}$. Acelaș fapt se constată dacă observăm că I este aria din primul cadran a discului cu centrul în origine și de rază 1. Cu ajutorul metodei Monte Carlo se obține

$$\frac{\pi}{4} \approx \bar{I}_n = \frac{1}{n} \sum_{i=1}^n \sqrt{1-U_i^2}$$

unde U_i , $1 \leq i \leq n$ sunt numere aleatoare uniforme $0 - 1$. Se observă că $\pi \approx 4\bar{I}_n$, ceea ce reprezintă un alt mod de a aproxima constanta π .

E6.2 Să se aplice metoda variabilelor antitetice la calculul integralei I din exercițiul precedent și dacă $\bar{I}_{a,n}$ este estimația lui I în acest caz să se arate că $\text{Var}(\bar{I}_{a,n}) < \text{Var}(\bar{I}_n)$.

Soluție. estimatorul Monte Carlo antitetic este

$$\bar{I}_{a,n} = \frac{1}{2n} \sum_{i=1}^n \left[\sqrt{1-U^2} + \sqrt{1-(1-U)^2} \right]$$

de unde

$$\begin{aligned} \text{Var}(\bar{I}_{a,n}) &= \frac{1}{n} \left[\frac{1}{4} \{ \text{Var}(\sqrt{1-U^2}) + \text{Var}(\sqrt{1-(1-U)^2}) \} + \right. \\ &\quad \left. + 2\text{Cov}(\sqrt{1-U^2}, \sqrt{1-(1-U)^2}) \right] = \\ &= \frac{1}{2n} \left\{ \text{Var}(\sqrt{1-U^2} + \sqrt{1-(1-U)^2}) \right\} = \\ &= \frac{1}{2n} \left(\frac{2}{3} - \frac{\pi^2}{16} \right) + \frac{1}{2n} E[\sqrt{(U+1)U(U-1)(U-2)}] - \frac{\pi^2}{16}, \end{aligned}$$

Se poate arăta prin calcule relativ simple că media expresiei în U din paranteza dreaptă precedentă este $E_U \approx 0.5806$ de unde rezultă că

$$\text{Var}(\bar{I}_{a,n}) \approx \frac{0.0052}{n}.$$

În mod direct se poate arăta că

$$\text{Var}(\bar{I}_n) = \frac{1}{n} \left(\int_0^1 (1-x^2)dx - \frac{\pi^2}{16} \right) = \frac{1}{n} \left(\frac{2}{3} - \frac{\pi^2}{16} \right) \approx \frac{0.498}{n}$$

de unde rezultă inegalitatea cerută.

E6.3 O problemă interesantă în aplicații este calculul funcției de repartiție normală $N(0, 1)$ adică

$$L(x) = \int_{-\infty}^x \frac{e^{-\frac{y^2}{2}}}{\sqrt{2\pi}} dy = \frac{1}{\sqrt{2\pi}} \int_{-\infty}^x \phi(y) dy.$$

Să se construiască un estimator *după importanță* pentru $L(x)$ utilizând ca densitate de importanță o densitate logistică trunchiată.

Soluție. Să considerăm densitatea logistică

$$f(y) = \frac{\pi e^{-\frac{\pi y}{\sqrt{3}}}}{\sqrt{3}(1 + e^{-\frac{\pi y}{\sqrt{3}}})^2}, \quad y \in (-\infty, +\infty).$$

Trebuie însă să considerăm densitatea logistica (aici non-standard!) trunchiată pe $(-\infty, x)$. Va trebui deci să o normăm cu o constantă $k = k(x)$ în raport cu y (care însă depinde de x), adică să luăm ca densitate de importanță

$$\tilde{f}(y) = f(y)k^{-1} = \frac{\pi e^{-\frac{\pi y}{\sqrt{3}}}(1 + e^{-\frac{\pi x}{\sqrt{3}}})}{\sqrt{3}(1 + e^{-\frac{\pi y}{\sqrt{3}}})^2}, \quad y \in (-\infty, x); \quad \tilde{f}(y) = 0, \quad y < x.$$

În acest caz avem estimatorul primar de importanță

$$L(x) = \frac{1}{1 + e^{-\frac{\pi x}{\sqrt{3}}}} E \left[\frac{\phi(Y)}{f(Y)} \right], \quad Y \rightsquigarrow \tilde{f}(y).$$

Pentru a construi estimatorul secundar trebuie să găsim un generator pentru Y . Se poate aplica metoda inversă pentru funcția de repartiție

$$\tilde{F}(z) = \int_{-\infty}^z \tilde{f}(y) dy = \frac{1 + e^{-\frac{\pi x}{\sqrt{3}}}}{1 + e^{-\frac{\pi z}{\sqrt{3}}}}, \quad z < x$$

adică Y se obține rezolvând ecuația

$$\tilde{F}(Y) = U, \quad U \text{ uniform } 0 - 1.$$

E6.4 (Problema lui Buffon). Un ac de lungime l este aruncat pe o dușumea de parchet care are lățimea lamelelor egală cu d . Lamelele vecine determină deci linii paralele la distanța d . Să se determine probabilitatea ca acul, după ce a căzut pe parchet să atingă o linie despărțitoare a lamelelor parchetului și de aici să se deducă un procedeu de estimare a numărului π .

Soluție. Fie $l \leq d$. Pentru o poziție dată a acului să notăm cu θ unghiul format de ac cu marginea lamelei. Distanța de la ac la linie este $l \cos \theta$ iar probabilitatea ca în poziția dată acul să atingă marginea lamelei este $\frac{2l \cos \theta}{2\pi d}$, iar cum θ poate varia între $(-\pi/2, +\pi/2)$ rezultă că probabilitatea P ca acul să atingă marginea (indiferent de poziția sa) este

$$P = 2 \int_{-\frac{\pi}{2}}^{\frac{\pi}{2}} \frac{l \cos \theta}{2\pi d} d\theta = \frac{2l}{\pi d}.$$

Dacă $l > d$ atunci printr-un raționament asemănător avem

$$P = \int_{-\frac{\pi}{2}}^{\frac{\pi}{2}} \frac{\min(l \cos \theta, d)}{2\pi d} d\theta = \frac{2}{\pi d} \left\{ d \cos^{-1} \frac{d}{l} + l \left(1 - \sqrt{1 - \frac{d^2}{l^2}} \right) \right\}.$$

Pentru estimarea lui π se folosește formula lui P (cazul $l \leq d$), și se estimează P cu

$$\overline{P}_n = \frac{\alpha}{n}$$

unde α este numărul de cazuri când acul atinge o margine a lamelei din n aruncări independente. Simularea aruncării aleatoare a unui ac de lungime l ($l < d$), presupunând că cele două lamele vecine au ca margine comună axa ox , se realizează astfel: se simulează un punct P aleator între 2 lamele ($P \in [-d, d]$); apoi se simulează un θ uniform în $[0, +2\pi]$ și se determină segmentul cu centrul în P , de lungime l , orientat pe direcția θ ; se verifică apoi prin calcul dacă segmentul construit întâlnește una din dreptele $y = 0, y = d, y = -d$ care reprezintă delimitările celor două lamele vecine. Determinarea numărului de aruncări ale acului care intersectează liniile ce delimitează cele 2 lamele vecine (din n aruncări) este acum evidentă. Desigur, această cale de determinare a lui π nu este recomandabilă să se facă cu calculatorul deoarece algoritmul are o complexitate ridicată. Metoda acului lui Buffon are însă importanța ei istorică. (Simularea lui θ se poate face și uniform pe $[-\frac{\pi}{2}, +\frac{\pi}{2}]$).

E6.5 Să se precizeze o metodă Monte Carlo de estimare a numărului π folosind simularea de puncte aleatoare într-un domeniu înconjurat de o elipsă cu centrul în origine și de semiaxe $a > 0, b > 0$.

Indicație. Se folosește ideea de la Exemplul 6.1. Se simulează N puncte (V_1, V_2) aleatoare în dreptunghiul $[-a, a] \times [-b, b]$ și se numără cele ce satisfac relația $\frac{V_1^2}{a^2} + \frac{V_2^2}{b^2} \leq 1$.

E6.6 Un lanț Markov cu stări continue are densitatea de repartiție a stărilor inițiale $\pi(x) \rightsquigarrow N(2, \sqrt{2})$ și densitatea de tranziție $p(x, y) \rightsquigarrow N(x, 2)$, unde x este starea de plecare. Să se prezinte un algoritm de simulare a unei stări a lanțului.

Soluție. Avem deci

$$\pi(x) = \frac{1}{2\sqrt{\pi}} e^{-\frac{(x-2)^2}{4}}, \quad p(x, y) = \frac{1}{2\sqrt{2\pi}} e^{-\frac{(x-y)^2}{8}}.$$

Algoritmul este următorul

Algoritmul MARKOV de simulare a unui lanț Markov gaussian

Generează $X \rightsquigarrow N(2, \sqrt{2})$; (X este starea inițială);

Generează $Y \rightsquigarrow N(X, 2)$; (Y este starea generată, în care se ajunge).

Acest lanț se poate utiliza la rezolvarea ecuației integrale

$$f(x) = \int p(x, y) f(y) dy + g(x), \quad x \in R.$$

6.5. REZOLVAREA ECUAȚIILOR CU DERIVATE PARȚIALE 151

Pentru simularea unei traiectorii de N puncte a lanțului se continuă algoritmul precedent cu instrucțiunile

$X := Y;$ genereaza $Y \rightsquigarrow N(X, 2)$.

Cap. 7

Cateva modele de simulare

În acest capitol vom prezenta cateva modele de simulare din domeniul teoriei aşteptării şi teoriei stocurilor, modele implementabile în limbaje evaluate (ca Pascal, C, C++, etc).

7.1 Generalităţi despre modele de aşteptare

Vom începe cu cateva noţiuni despre modele de aşteptare. Pentru început vom introduce o notaţie specifică unui model de aşteptare şi anume

$$A/S/c : (L_c; d)$$

unde:

A este o informaţie despre repartitia de probabilitate a timpului de intersosire AT sau a sosirilor;

S este o informaţie despre repartitia de probabilitate a duratei serviciului ST ;

c precizează numărul de staţii de serviciu şi topologia lor, adică dacă sunt conectate în serie, în paralel, sau în reţea;

L_c este lungimea maximă a cozii, adică un număr natural pozitiv dacă coada este finită, sau ∞ dacă coada poate avea lungime infinită;

d este disciplina de serviciu care precizează reguli de efectuarea serviciului. De exemplu dacă clienţii sunt serviţi în ordinea sosirilor, atunci disciplina este *FIFO* (adica *First In First Out*). Pot exista şi reguli de tipul *LIFO* (adica *Last In First Out*) sau disciplina de serviciu cu *prioritaţi* în sensul ca unii clienţi, care au prioritaţi pot fi serviţi înaintea altora. În sfârşit, pot exista modele cu *clienţi nedisciplinaţi*; o astfel de situaţie se prezintă în

cazul când clienții care așteaptă mai mult de w_0 unități de timp părăsesc sistemul fără să mai beneficieze de serviciu.

Modelele matematice sunt construite și rezolvate de regula când repartițiile lui AT și ST sunt exponențiale negative, când sistemele au o singură stație sau stații paralele, când disciplina este *FIFO*, și când clienții sunt disciplinați. Toate celelalte tipuri de modele sunt greu de construit în ipoteze generale privind repartițiile sosirilor și serviciilor și de aceea se recurge la simulare. Noi am prezentat (în Cap.1) și câteva modele de simulare în GPSS, care de regulă au condus la programe scurte dar nu și flexibile. Modelele ce vor fi construite în acest capitol vor putea fi extinse la diverse repartiții ale lui AT și ST .

Exemple de modele matematice de așteptare sunt:

$$Exp(\lambda)/Exp(\mu)/1 : (\infty; FIFO) \quad (7.1)$$

care este cel mai simplu model cu o stație de serviciu;

$$Exp(\lambda)/Exp(\mu)/N(paralele); (\infty; FIFO) \quad (7.2)$$

care este un model cu N stații paralele presupuse identice (adică au aceeași repartiție pentru ST -ul fiecăreia), coada poate fi infinită, iar disciplina este standard (*primul venit primul servit*).

În cazul modelelor de simulare, pentru modelele anterioare, vom folosi notațiile:

$$\bullet/\bullet/1 : (\infty; FIFO) \quad (7.1')$$

$$\bullet/\bullet/N : (\infty; FIFO) \quad (7.2')$$

semnul \bullet însemnând că putem folosi orice repartiții de probabilitate pentru AT și ST . De asemenea, în descrierea algoritmilor (sub forma de scheme logice!) vom folosi în locul semnului de atribuire $:=$ semnul $=$. Modelele matematice ale teoriei cozilor se bazează pe utilizarea unor procese Markov particulare numite *processe stochastice de naștere și deces*, procese ce vor fi studiate mai întâi. Numărul de clienți $N(t)$ în sistemul de așteptare la un moment dat de timp t este un astfel de proces stochastic. Aceste procese stau la baza modelării și a altor sisteme naturale cum sunt populațiile biologice (de unde și denumirea lor de *processe de naștere și deces*).

7.1.1 Procese de naștere și deces

Definiția 7.1. *Procesul stochastic discret $N(t)$, cu creșteri independente, se numește proces de naștere și deces, dacă satisface următoarele proprietăți:*

$$P([N(t + \Delta t) = n + 1]/[N(t) = n]) = \lambda_n \Delta t + o(\Delta t);$$

$$P([N(t + \Delta t) = n - 1]/[N(t) = n]) = \mu_n \Delta t + o(\Delta t); \quad (7.3)$$

$$P([N(t + \Delta t) = n \pm i]/[N(t) = n]) = o(\Delta t), i > 1,$$

unde $P(A/B)$ înseamnă probabilitatea lui A condiționată de B , constantele $\{\lambda_n, n \geq 0\}$, $\{\mu_n, n \geq 1\}$, sunt șiruri de numere pozitive date, iar $o(\Delta t)$ este un element al unei clase de funcții ce satisfac condițiile

$$\lim_{\Delta t \rightarrow 0} o(\Delta t) = 0, \lim_{\Delta t \rightarrow 0} \frac{o(\Delta t)}{\Delta t} = 0. \quad (7.4)$$

Procesul este cu creșteri independente în sensul că oricare ar fi $t_1 < t_2 < t_3 < t_4$, variabilele $N(t_2) - N(t_1)$ și $N(t_4) - N(t_3)$ sunt independente stochastice, iar $N(t + h) - N(t) = N(h)$, $\forall t, h > 0$ (adică procesul este de numărare).

Constantele λ_n se numesc *intensități de natalitate* iar constantele μ_n se numesc *intensități de mortalitate*. Aceste constante sunt caracteristice pentru procesul $N(t)$. Funcțiile $o(\Delta t)$ exprimă cantități neglijabile în raport cu Δt , deci care tind la zero odată cu Δt , dar mai repede decât acesta și mulțimea lor este închisă față de operațiile de adunare și înmulțire cu alte funcții sau constante (adică sunt închise la liniaritate). Relațiile (7.3) spun că nașterile și decesele evoluează rar în timp. Intensitățile de natalitate și cele de mortalitate corespund în cazul sistemelor de așteptare sosirilor, respectiv serviciilor (adică *plecărilor*) din sistem.

•**Teorema de bază.** Cu ajutorul proprietăților (7.3) se pot determina probabilitățile $P_n(t) = P[N(t) = n]$, care reprezintă repartiția procesului de naștere și deces.

Teorema 7.1 Probabilitățile $P_n(t)$ satisfac ecuațiile diferențiale

$$P'_0(t) = -\lambda_0 P_0(t) + \mu_1 P_1(t) \quad (7.5)$$

$$P'_n(t) = -(\lambda_n + \mu_n) P_n(t) + \lambda_{n-1} P_{n-1}(t) + \mu_{n+1} P_{n+1}(t), n > 0. \quad (7.6)$$

Demonstrație. Ținând seama de relațiile (7.3) și de regulile de calcul cu probabilități condiționate, pentru $n = 0$ avem

$$P_0(t + \Delta t) = P_0(t)[1 - \lambda_0 \Delta t - o(\Delta t)] + P_1(t)[\mu_1 \Delta t + o(\Delta t)] + o(\Delta t) \quad (7.5')$$

unde ultimul termen reprezintă conform (7.3) probabilitatea ca pe intervalul de timp $[t, t + \Delta t]$ să se nască sau să decedeze mai mult de un individ. Din (7.5') rezultă

$$P_0(t + \Delta t) - P_0(t) = -\lambda_0 P_0(t) \Delta t + \mu_1 P_1(t) \Delta t + o(\Delta t).$$

Dacă în ultima relație împărțim cu Δt și facem $\Delta t \rightarrow 0$, atunci obținem ecuația (7.5). Procedăm în mod asemănător și pentru $n > 0$ și avem

$$\begin{aligned} P_n(t + \Delta t) = & P_n(t)[1 - \lambda_n \Delta t - o(\Delta t)][1 - \mu_n \Delta t - o(\Delta t)] + \\ & + P_{n-1}(t)[\lambda_{n-1} \Delta t + o(\Delta t)][1 - \mu_{n-1} \Delta t - o(\Delta t)] + \\ & + P_{n+1}(t)[1 - \lambda_{n+1} \Delta t - o(\Delta t)][\mu_{n+1} \Delta t + o(\Delta t)] + o(\Delta t), \end{aligned}$$

unde ultimul termen reprezintă de asemenea probabilitatea ca pe intervalul $[t, t + \Delta t]$ să se nască sau să decedeze mai mult de un individ. Din ultima relație deducem

$$\begin{aligned} P_n(t + \Delta t) - P_n(t) = & -(\lambda_{n+} + \mu_n)P_n(t)\Delta t + \lambda_{n-1}P_{n-1}(t)\Delta t + \\ & + \mu_{n+1}P_{n+1}(t)\Delta t + o(\Delta t). \end{aligned}$$

Împărțind ultima relație cu Δt și făcând apoi $\Delta t \rightarrow 0$ obținem relația (7.6) și teorema este demonstrată.

Dându-se condiții inițiale pentru $P_n(t)$ (de exemplu $P_0(0) = 1, P_i(0) = 0, i > 0$), sistemul (7.5), (7.6) are soluție unică. Pe noi ne interesează ca soluția să satisfacă și condiția

$$\sum_{n=0}^{\infty} P_n(t) = 1, \forall t, \quad (7.7)$$

adică să reprezinte într-adevăr repartiția procesului. Teorema ce urmează dă o condiție suficientă în acest sens.

Teorema 7. 2 *Dacă este satisfăcută condiția*

$$\sum_{k=1}^{\infty} \prod_{i=1}^k \frac{\mu_i}{\lambda_{i-1}} = \infty. \quad (7.7')$$

atunci are loc relația (7.7).

Nu prezentăm aici demonstrația acestei teoreme.

Procesul de naștere și deces este staționar dacă $P_n(t) = p_n = \text{const.}$ adică repartiția sa nu depinde de timp. (Procesul se numește *ergodic* dacă $\lim_{t \rightarrow \infty} P_n(t) = p_n = \text{const.}$). Să vedem care este soluția sistemului în acest caz (staționar sau ergodic). Desigur, sistemul (7.5), (7.6) devine sistemul liniar

$$-\lambda_0 p_0 + \mu_1 p_1 = 0 \quad (7.5'')$$

$$-(\lambda_n + \mu_n)p_n + \lambda_{n-1}p_{n-1} + \mu_{n+1}p_{n+1} = 0, n > 0. \quad (7.6'')$$

Pentru a rezolva sistemul să notăm

$$Z_k = -\lambda_k p_k + \mu_{k+1} p_{k+1}.$$

Atunci din (7.5''), (7.6'') rezultă

$$-Z_{n-1} + Z_n = 0$$

adică

$$Z_n = Z_{n-1},$$

iar deoarece din (7.5'') avem $Z_0 = 0$, avem și $Z_n = 0$, de unde

$$p_{n+1} = \frac{\mu_{n+1}}{\lambda_n} p_n, n \geq 0.$$

Prin recurență se deduce că

$$p_n = \prod_{\alpha=0}^{\infty} \frac{\lambda_{\alpha}}{\mu_{\alpha+1}} p_0. \quad (7.8)$$

Utilizând (7.7) se găsește și constanta p_0 și anume

$$p_0 = \left[1 + \sum_{n=1}^{\infty} \prod_{\alpha=0}^{n-1} \frac{\lambda_{\alpha}}{\mu_{\alpha+1}} \right]^{-1}. \quad (7.8')$$

7.1.2 Calculul unor caracteristici ale modelului de așteptare.

Cunoscând probabilitățile p_n se pot calcula cu ușurință câteva caracteristici (parametri de ieșire) pentru sistemul de așteptare cu c stații de serviciu și anume:

Numărul mediu de clienți în sistem

$$E[N(t)] = \sum_{n=0}^{\infty} n p_n;$$

Lungimea medie a cozii

$$E[WL] = \sum_{n=c}^{\infty} (n - c) p_n; \quad (7.9)$$

Timpul mediu de așteptare

$$E[WT] = E[WL]E[ST]; \quad (7.9')$$

Numărul mediu de stații care lenevesc

$$E[NID] = \sum_{n=0}^c (c-n)p_n; \quad (7.10)$$

Timpul mediu de lenevire al celor c stații

$$E[TID] = E[NID]E[AT]. \quad (7.10')$$

7.2 Simularea unui sistem cu o stație

Vom studia pentru început modele de simulare pentru un sistem de așteptare cu o singură stație de serviciu de forma (7.1').

7.2.1 Modelul cu ceas variabil

Prezentăm mai întâi un model de simulare bazat pe ceasul cu creștere variabilă.

Variabilele și parametri modelului, în afară de cele deja cunoscute, adică, AT, ST, WT (timpul de așteptare curent al unui client), TID (timpul de lenevire curent al stației), sunt:

TWT = timpul total de așteptare al clienților;

$TTID$ = timpul total de lenevire al stației;

$ICOUNT$ = contor, care numără clienții serviți;

NS = numărul de clienți ce trebuie serviți (parametru de intrare);

AWT = timpul mediu de așteptare (parametru de ieșire);

$ATID$ = timpul mediu de lenevire (parametru de ieșire al modelului).

Schema logică a modelului de simulare este prezentată în Fig.7.1. În blocul (1) se fac inițializările:

$$TWT = TTID = 0; WT = TID = 0; ICOUNT = 0 \quad (7.11)$$

care sunt necesare pentru calculul mediilor empirice $AWT, ATID$; aici se citește parametri de intrare: NS , și parametri repartițiilor variabilelor AT, ST necesari pentru simularea acestor variabile aleatoare. Tot aici se inițializează contorul $ICOUNT$ care numără serviciile și care prin comparare cu NS impune condiția de terminare a simulării. În blocul (2) se simulează sosirea

unui client. Pentru a înțelege mai departe algoritmul menționăm faptul că în acest model ceasul variabil al simulării nu apare explicit (el este *implicit*), în sensul că de fapt pentru alegerea evenimentului ce trebuie prelucrat se folosește *regula primului eveniment următor*, care este o consecință a tehnicii bazată pe ceasul cu creștere variabilă. Blocul (3) realizează o *ajustare* a timpului de sosire, care permite alegerea evenimentului (următor) ce trebuie prelucrat și care poate conduce fie la calculul timpului de așteptare (în blocul (6)), fie la calculul timpului de lenevire a stației (în blocul (7)). Este evident ce face blocul (4) (care poate fi situat cu același efect și înainte de blocul (8)). Blocul (5) este blocul care alege evenimentul următor, ținând seama și de disciplina *FIFO*, iar blocul (8) precizează condiția de terminare a simulării; el conduce la repetarea blocurilor (2)-(8) până când se simulează NS servicii.

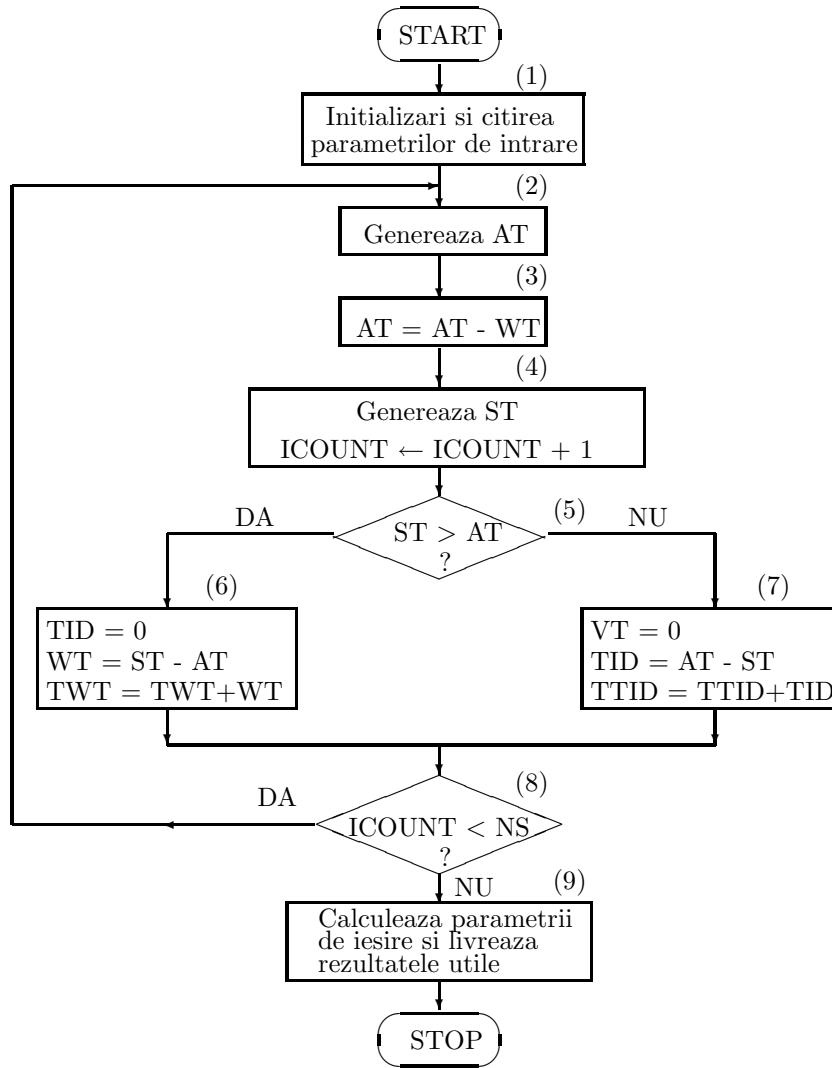


Fig. 7.1. Schema logica a modelului ./1./1: (∞ FIFO),
cu ceas variabil

xx

În sfârșit, blocul (9) calculează parametri de ieșire după formulele

$$AWT = \frac{TWT}{NS}, \quad ATID = \frac{TTID}{NS}. \quad (7.12)$$

7.2.2 Modelul cu ceas constant.

Acest model, față de modelul precedent, folosește în plus variabilele și parametri:

TAT = momentul ultimei sosiri (i.e. *ceasul sosirilor*);

TST = momentul terminării ultimului serviciu (i.e. *ceasul servirilor*);

$CLOCK$ = ceasul simulării, cu creștere constantă;

C = *ora* ceasului (i.e. o constantă cu care se incrementează ceasul);

I = variabila întreagă care reprezintă lungimea curentă a cozii;

NT = parametru de intrare care reprezintă durata impusă a simulării (adică simularea se termină când $CLOCK \geq NT$).

Inițializările în acest model sunt:

$$TWT = TTID = TAT = TST = 0, \text{ } CLOCK = 0, \text{ } I = 0. \quad (7.11')$$

Schema logică a modelului este dată în Fig.7.2. Blocurile (1)-(4) precizează condițiile initiale și determină începerea simulării. În blocul (5) se constată dacă stația este liberă sau ocupată. Dacă stația este ocupată când sosește clientul (adică $TAT \leq TST$), atunci se continuă cu blocul (6): se mărește coada cu o unitate, se calculează timpul curent de așteptare și se actualizează timpul total de așteptare; în continuare blocul (7) decide dacă este necesară creșterea ceasului (în blocul (8), când $CLOCK < TAT$), sau dacă se trece direct la blocul (9) când se generează un nou timp de sosire. Dacă în blocul (5) se decide că stația este liberă (adică $TAT > TST$), atunci se continuă cu blocul (10) care constată dacă coada este vidă sau nu; în caz afirmativ ($I = 0$), în blocul (11) se determină timpul curent de lenevire TID , se actualizează $TTID$ precum și ceasul serviciilor TST cu valoarea ceasului sosirilor; dacă în blocul (10) se găsește coada nevidă, atunci se extrage un client din coadă (conform disciplinei *FIFO*). Mai departe, blocul (13) decide dacă ceasul trebuie actualizat (fapt ce se produce în blocul (14)), după care se continuă cu blocul (15) în care se servește fie clientul sosit (dacă în blocul (10) coada era vidă), fie se servește clientul extras din coada (în blocul (12)). Blocul (16) decide dacă simularea continuă (când $CLOCK < NT$) sau dacă simularea se oprește, caz în care se execută blocul terminal (17) care calculează parametri de ieșire ai modelului și alte statistici interesante.

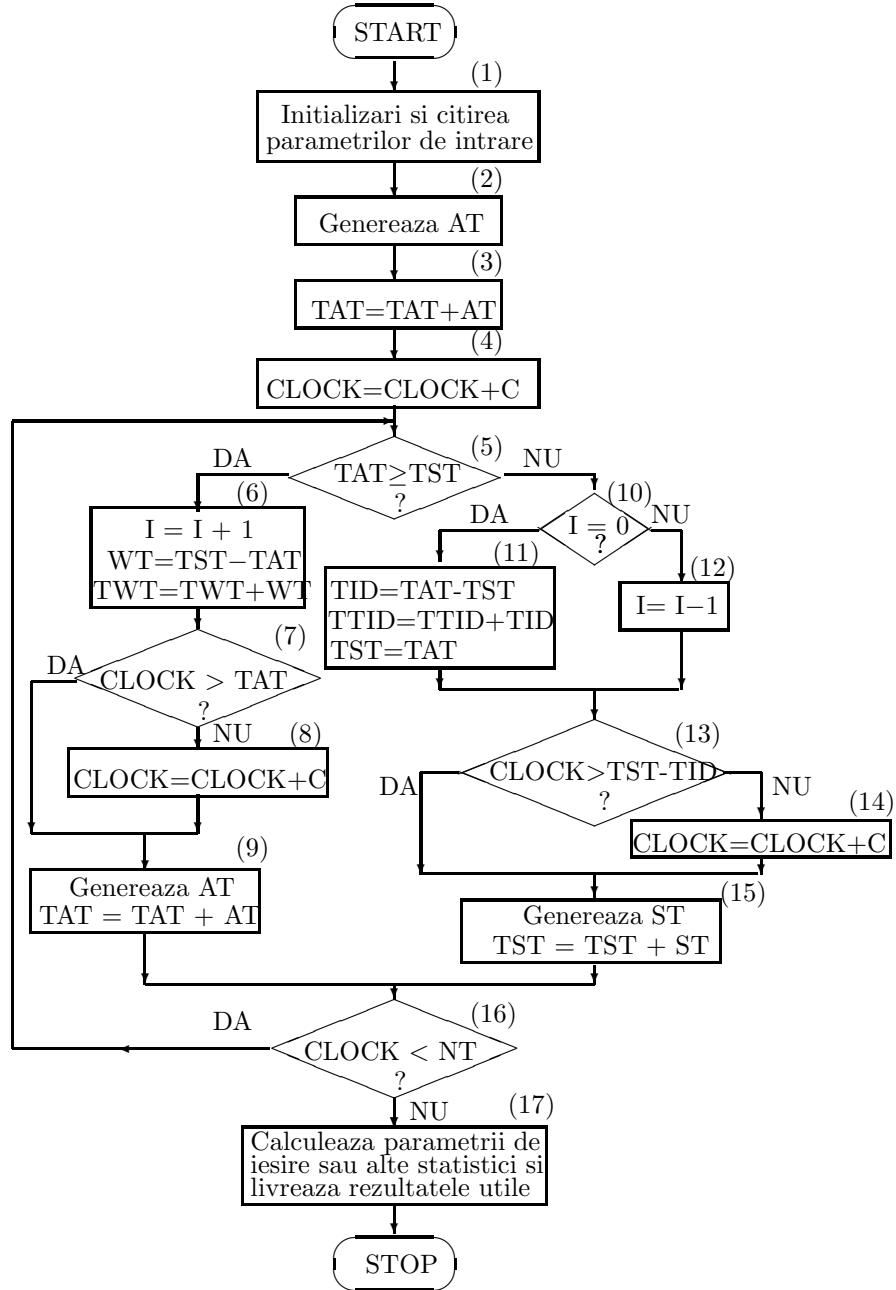


Fig. 7.2. Schema logica a modelului $./1./1: (\infty \text{ FIFO})$; cu ceas constant.

Printre altele se poate calcula durata totală a serviciilor efectuate de sistem

$$SST = TST - TTID \quad (7.13)$$

precum și timpul total petrecut de clienți în sistem

$$TCST = SST + TWT. \quad (7.14)$$

Pentru a calcula AWT , $ATID$ este necesar să introducem în model un contor $ICOUNT$ ce trebuie initializat cu zero și care se actualizează (se incrementează cu o unitate) în blocul (15) când se simulează servirea unui client. Calculul parametrilor AWT , $ATID$ se va realiza în acest caz tot cu formulele (7.10) (în cazul ultimului model se ia $NS = ICOUNT$). Aceasta formulă estimează de fapt valorile medii teoretice $E(WT)$, $E(TID)$ ale timpilor de așteptare și de lenevire. Pentru ca aceste estimări să fie cât mai bune, trebuie ca *volumele de selecție* NS sau $ICOUNT$ să fie suficient de mari, fapt ce se realizează fie când NS este mare, în cazul ceasului cu creștere variabilă, fie când NT este mare, în cazul ceasului cu creștere constantă.

7.2.3 Validarea modelelor cu o stație

Cele două modele simulează același sistem de așteptare, deci validarea lor se face pe baza aceluiași model matematic de așteptare și anume modelul

$$Exp(\lambda)/Exp(\mu)/1 : (\infty, FIFO),$$

adică se consideră că repartițiile duratelor de sosire și de serviciu au repartiții exponențiale negative.

Trebuie să determinăm mai întâi intensitățile $\lambda_n, n \geq 0$, și $\mu_n, n > 0$. Intensitatea unei sosiri va satisface deci relația

$$P(0 < AT < \Delta t) = 1 - e^{-\lambda \Delta t} = 1 - 1 + \lambda \Delta t + o(\Delta t) = \lambda \Delta t + o(\Delta t). \quad (7.15)$$

Deoarece, conform definiției 7.1 trebuie să avem

$$\lambda_n \Delta t + o(\Delta t) = \lambda \Delta t + o(\Delta t),$$

rezultă că

$$\lambda_n = \lambda, \forall n \geq 0. \quad (7.15')$$

În mod asemănător deducem că

$$\mu_n = \mu. \quad (7.15'')$$

Deci conform formulei (7.8) avem

$$p_n = \rho^n p_0, \quad \rho = \frac{\lambda}{\mu}, \quad (7.16)$$

iar din (7.8') rezultă

$$p_0 = [1 + \sum_{n=1}^{\infty} \rho^n]^{-1} = 1 - \rho, \quad (7.16')$$

adică

$$p_n = \rho^n (1 - \rho).$$

Conform relației cunoscute dintre repartiția exponențială negativă și repartiția Poisson, rezultă că λ este numărul mediu de sosiri pe unitatea de timp, iar μ este numărul mediu de clienți serviți pe unitatea de timp. De aceea ρ reprezintă *intensitatea de trafic* a clienților prin sistem. Pentru a avea sens p_0 trebuie ca $0 < \rho < 1$. (Deci un sistem de așteptare cu $\lambda > \mu$ *nu are sens!*). Pentru validarea modelelor de simulare cu o stație putem deci folosi modelul matematic anterior. Formulele (7.9), (7.9'), (7.10), (7.10') devin respectiv

$$\begin{aligned} E[WL] &= \sum_{n=2}^{\infty} (n-1) \rho^n (1-\rho) = \\ &= \rho^2 (1-\rho) \sum_{n=2}^{\infty} (n-1) \rho^{n-2} = \rho^2 (1-\rho) \sum_{n=1}^{\infty} n \rho^{n-1} = \\ &= \frac{\rho^2}{1-\rho}, \\ E[WT] &= E[ST] E[WL] = \frac{1}{\mu} E[WL] = \frac{\rho^2}{\mu(1-\rho)}. \end{aligned} \quad (7.17)$$

$$\begin{aligned} E[NID] &= \sum_{n=0}^1 (1-n) p_n = p_0 = 1 - \rho, \\ E[TID] &= E[AT] E[NID] = \frac{1-\rho}{\lambda}. \end{aligned} \quad (7.18)$$

Validarea modelelor de simulare se realizează când

$$AWT \approx E[WT], \quad ATID \approx E[TID], \quad (7.19)$$

sau dacă

$$|E(WT) - AWT| \leq \epsilon \quad (7.19')$$

cu $\epsilon > 0$ dat, suficient de mic ($\epsilon = \text{eroare}$). Desigur în practică se poate folosi pentru validare numai unul din parametri $E[WT]$ sau $E[TID]$. Dacă (7.19) are loc, atunci înseamnă că în loc de repartiții exponențiale se pot folosi orice repartiții pentru AT și ST .

O caracteristică importantă a unui sistem de așteptare este *factorul de eficiență al sistemului* care se definește astfel

$$I_e = \frac{E(W)}{E(ST)}, E(W) = E[N(t)] \frac{1}{\mu} \quad (7.20)$$

care spune de fapt în ce măsură timpul petrecut de client în sistem a fost folositor pentru el. (Clientul este interesat ca I_e să fie cât mai mic!). Factorul de eficiență se estimează cu ajutorul simulării astfel

$$\bar{I}_e = \frac{TWT + SST}{SST} \quad (7.20')$$

și el poate fi utilizat și pentru validare.

Pentru un model de așteptare cu o stație, cu sosiri exponențiale și servicii oarecare (adică modelul $Exp(\lambda)/B/1 : (\infty; FIFO)$, $E(B) = E(ST) = \frac{1}{\mu}$), s-a arătat că

$$I_e = \frac{\rho}{2(1-\rho)}(1 + C_s^2) \quad (7.20'')$$

unde C_s este coeficientul de variabilitate al timpului de serviciu definit astfel

$$C_s = \frac{\sqrt{Var(ST)}}{E(ST)}.$$

Formula (7.20''), cunoscută sub numele de *Formula lui Pollaczek*, spune în fapt că factorul de eficiență al sistemului de așteptare depinde numai de $\rho = \lambda/\mu$ și de C_s .

7.3 Simularea unui sistem cu N stații paralele

Vom prezenta aici modelul de simulare

$$././N : (\infty, FIFO)$$

în care cele N stații sunt presupuse paralele. În practică un astfel de model se întâlnește la o stație de *service auto*, la o stație de benzină sau la o

bancă (*ghișeele care servesc clienții*), etc. Lista variabilelor și parametrilor modelului este

AT = intervalul de timp (aleator) dintre două venituri consecutive;

$ST(J)$ = durata unui serviciu (aleator) la stația J , $1 \leq J \leq N$, (N este parametru de intrare; tot parametri de intrare sunt parametri repartițiilor de probabilitate ale variabilelor aleatoare AT și $ST(J)$);

WT = timpul de așteptare în coadă al unui client oarecare;

TID = timpul curent de lenevire al stației care începe un serviciu;

TAT = momentul sosirii ultimului client (clientul curent);

$TT(J)$ = timpul stației J la plecarea din ea a ultimului client (*ceasul stației J*);

$TTMIN$ = *ceasul simulării*, cu creștere variabilă (definit ca cel mai mic dintre ceasurile $TT(J)$);

L = stația cu cel mai mic *ceas*, adică $TTMIN = TT(L)$;

NS = numărul de clienți ce trebuie serviți pe parcursul simulării, este parametru de intrare;

$ICOUNT$ = contur care număra serviciile;

$SST(J)$ = suma duratelor de serviciu ale stației J ;

$SWT(J)$ = suma timpilor de așteptare ai clienților serviți de stația J ;

$TTID(J)$ = timpul total de lenevire al stației J ;

$DIF = TAT - TTMIN$ = variabilă de lucru.

Schema logică a modelului de simulare este prezentată în Fig.7.3. În blocul (1) sunt citați parametri de intrare și sunt făcute inițializările

$$TAT = 0, TT(J) = SST(J) = SWT(J) = TTID(J) = 0, 1 \leq J \leq N. \quad (7.21)$$

În continuare, ciclul definit de blocurile (2) și (3) generează $N - 1$ sosiri (se presupune că la începutul simulării un client se află deja în sistem). Ciclul format din blocurile (5) și (6) simulează servirea primilor N clienți (specificați în blocul (4)) și actualizează variabilele $TT(J)$, $TTID(J)$, $ST(J)$, $SST(J)$, $1 \leq J \leq N$. Blocurile (7)-(15) realizează ciclul de simulare al servirii celor NS clienți. Astfel, blocul (7) determină *ceasul* (variabil) al simulării alegând stația L la care se va efectua următorul serviciu, numărat de blocul (8). Blocul (9) controlează și decide terminarea simulării. Blocul (10) simulează o nouă sosire, actualizează momentul ultimei sosiri TAT , și calculează variabila de lucru DIF , al cărei semn este testat de blocul (11). Dacă semnul lui DIF este negativ atunci în blocul (12) se calculează timpul de așteptare al clientului ce urmează să intre în serviciu și se actualizează timpul de așteptare al clienților serviți de stația L , altfel dacă DIF în blocul (11) este pozitiv, atunci în blocul (13) se calculează și actualizează timpul de lenevire

al stației L . În continuare blocul (14) simulează servirea clientului (sosir cel mai de demult conform blocului (12) sau deja sosit conform blocului (10)), conform disciplinei FIFO, de către stația L . Blocul (15) actualizează ceasul stației L care a terminat serviciul și se reia ciclul simulării din blocul (9). Când simularea se termină, se execută blocul (16) care calculează ca de obicei statisticile finale și alte elemente de interes.

• **Validarea modelului cu N stații paralele.** Pentru validare folosim modelul matematic de așteptare

$$Exp(\lambda)/Exp(\mu)/N : (\infty; FIFO) \quad (7.22)$$

adică modelul cu N stații paralele identice, cu timp de intersosire exponențial de parametru λ , cu timpul de servire al fiecărei stații repartizat exponențial de parametru μ , și cu disciplina de serviciu *FIFO*.

Va trebui și în acest caz să determinăm intensitățile $\lambda_n, n \geq 0$ și $\mu_n, n > 0$. Ca și în cazul modelului cu o stație, avem

$$\lambda_n = \lambda, \quad n \geq 0. \quad (7.23)$$

Deoarece intensitatea serviciilor pentru fiecare stație este μ și serviciul se desfășoară în paralel, avem

$$\mu_n = \begin{cases} n\mu, & 1 \leq n \leq N-1, \\ N\mu, & n \geq N. \end{cases} \quad (7.24)$$

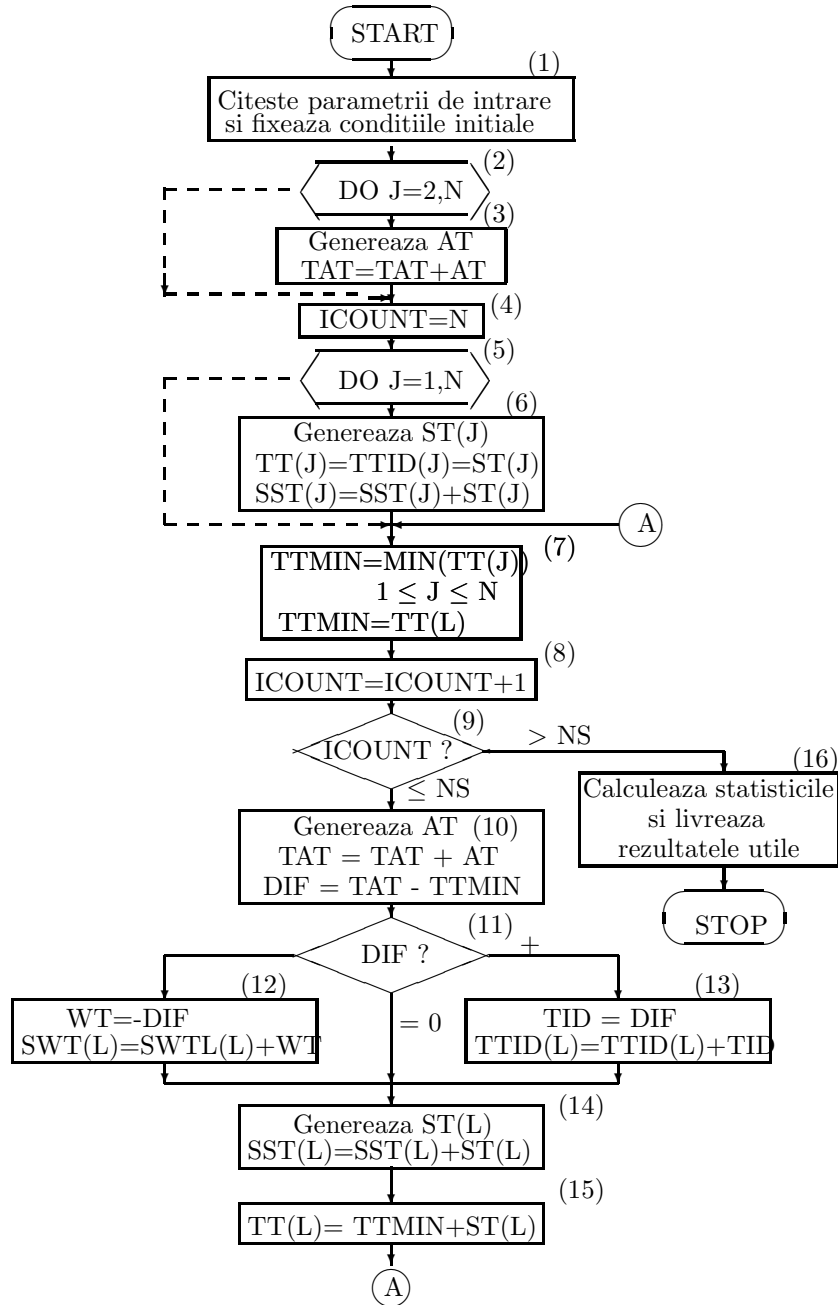


Fig. 7.3. Schema logica pentru simularea unui sistem cu N stații paralele.

Notând ca și în cazul modelului cu o stație

$$\rho = \frac{\lambda}{\mu},$$

conform cu (7.8) deducem

$$p_n = \begin{cases} \frac{\rho^n}{n!} p_0, & 1 \leq n \leq N-1, \\ \frac{\rho^n}{N! N^{n-N}} p_0, & N \leq n < \infty, \end{cases} \quad (7.25)$$

iar din (7.8') rezultă

$$p_0 = \left[\sum_{n=0}^{N-1} \frac{\rho^n}{n!} + \frac{\rho^N}{N!} \frac{N}{N-\rho} \right]^{-1}. \quad (7.25')$$

Lungimea medie a cozii este

$$E(WL) = \sum_{n=N}^{\infty} (n-N)p_n = p_0 \left[\frac{N^N}{N!} \sum_{n=N}^{\infty} n \frac{\rho^n}{N^n} - \frac{N^{N+1}}{N!} \sum_{n=N}^{\infty} \frac{\rho^n}{N^n} \right].$$

Notând

$$\rho^* = \frac{\rho}{N}$$

se deduce prin calcule că

$$\begin{aligned} E(WL) &= p_0 \left[\frac{N^N}{N!} \rho^* \frac{d}{d\rho} \left(\sum_{n=N}^{\infty} \rho^{*n-1} \right) - \frac{N^{N+1}}{N!} \frac{\rho^{*N+1}}{1-\rho^*} \right] = \\ &= \frac{N^N}{N!} \frac{\rho^{*N+1}}{(1-\rho^*)^2} = \frac{\lambda \mu \rho^N}{(N-1)(N\mu - \lambda)^2}. \end{aligned} \quad (7.26)$$

Mărimea ρ^* se numește *intensitatea de trafic a sistemului de așteptare*.

Timpul mediu de așteptare este

$$E(WT) = E(WL)E(S), E(S) = E(ST)/N,$$

unde $E(S)$ este timpul mediu de serviciu al sistemului. În final se obține

$$E(WT) = \frac{\lambda \rho^N}{N(N-1)!(N\mu - \lambda)}. \quad (7.26')$$

În mod asemănător se calculează numărul mediu de stații care lenevesc și timpul mediu de lenevire al stațiilor, adică

$$E(NID) = \sum_{n=0}^{N-1} (N-n)p_n = \left[(N-\rho) \sum_{n=0}^{N-2} \frac{\rho^n}{n!} + \frac{N\rho^{N-1}}{(N-1)!} \right] p_0, \quad (7.27)$$

$$E(TID) = E(NID)E(AT) = \frac{1}{\lambda} \left[(N - \rho) \sum_{n=0}^{N-2} \frac{\rho^n}{n!} + \frac{N\rho^{N-1}}{(N-1)!} \right] p_0. \quad (7.27')$$

Din modelul de simulare se obțin respectiv următoarele estimatii pentru $E(WT)$ și $E(TID)$

$$AWT = \frac{\sum_L SWT(L)}{NS}, \quad (7.26'')$$

$$ATID = \frac{\sum_L TTID(L)}{NS}. \quad (7.27'')$$

Ca și in cazul modelului cu o stație, condițiile de validare pentru acest model sunt

$$|E(WT) - AWT| < \epsilon, \quad |E(TID) - ATID| < \epsilon.$$

In caz de validare, inseamnă că modelul de simulare construit poate fi utilizat și dacă repartițiile variabilelor aleatoare AT și ST sunt oarecare (diferite de exponențiale).

7.4 Modele de simulare pentru stocuri

7.4.1 Introducere in teoria matematică a stocurilor

Un stoc este o resursă de orice fel care are o valoare economică, caracterizată prin *intrări* și *ieșiri*. Ieșirea din resursă este determinată de regulă de cerere, deși nu intotdeauna. (Pot fi scoase din stoc și elemente *expire* sau deteriorate).

Stocuri (numite uneori și *inventare*), există in aproape orice activitate economico-socială (de ex. unitate de producție, unitate comercială, etc). Scopul unui model de stocare este să definească regulile de încărcare optimă a stocului, astfel încât costul (sau profitul) legat de aprovizionarea și întreținerea stocului să fie minim (maxim). Stocul se poate măsura in unități fizice (de ex. kilograme, metri, bucăți, etc), sau in unități valorice convenționale (de regulă unități monetare).

Variabilele și parametri unui model general de stocare sunt:

t =timpul;

$I(t)$ = nivelul curent al stocului;

$a(t)$ = rata intrării in stoc la momentul t ;

$b(t)$ = rata ieșirii sin stoc la momentul t ;

$r(t)$ = rata cererii (când aceasta nu coincide cu ieșirea de altă natură).

Rata cererii, ca și alte elemente ce caracterizează un stoc, pot fi aleatoare.

De regulă, intrarea în stoc se realizează în cantități mari (numite *comenzi*) care se introduc în stoc la intervale de timp numite *cicluri de reprovizionare*.

Costurile sunt (parametri!) de tipul:

h = costul de stocare a unei unități de stoc într-o unitate de timp;

d = costul lipsei unei unități de stoc într-o unitate de timp ;

s = costul de lansare a unei comenzi (costul forței de muncă sau al altor resurse folosite pentru a lansa comanda).

Din cele de mai sus rezultă că *nivelul* stocului la momentul t este

$$I(t) = I_0 + \int_0^t [a(t) - b(t)] dt, \quad (7.28)$$

unde I_0 este nivelul inițial al stocului.

În funcție de elementele de mai sus se definește un obiectiv, să-l notăm $E[a(t), b(t), r(t)]$, care trebuie optimizat. Așa cum am menționat, acest obiectiv poate fi un cost (sau un profit) determinat în funcție de cerere și de costurile h, d, s și de unele necunoscute (comandă sau alte elemente ce vor fi definite mai jos). Când cererea este aleatoare, funcția obiectiv este o *medie* (cost mediu sau beneficiu mediu). De regulă, scopul modelului de stocare este de a defini $a(t)$ optim când se dau $b(t), r(t)$. Uneori însă (de exemplu când stocul este un lac de acumulare), scopul modelului este să determine ieșirea optimă (adică $b(t)$ și/sau $r(t)$) când rata (debitul) intrării $a(t)$ este cunoscut. Pentru a face o alegere ne vom ocupa de primul caz (al stocurilor obișnuite, caz mai frecvent întâlnit),

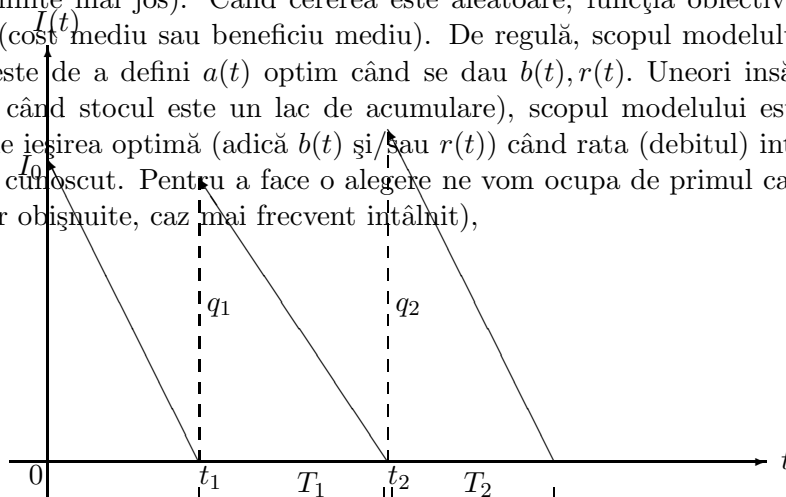


Fig. 7.4. Variația stocului $I(t)$

când se cere intrarea optimă. Am văzut că în acest caz intrarea în stoc se realizează prin comenzi. *Reprovizionarea* stocului și variația acestuia se prezintă grafic în Fig. 7.4. *Comenzile* q_1, q_2, \dots intră în stoc la momentele t_1, t_2, \dots . Intervalul $T_i = t_{i+1} - t_i$ este *ciclul de reprovizionare* care poate fi constant sau variabil.

Reaprovizionarea stocului se realizează printr-un *mecanism* de reaprovizionare descris de Fig. 7.5. Se presupune că stocul nu depășește un *nivel maxim* S . În timp stocul scade cu o rată dată (care este constantă în Fig. 7.5, deoarece variația stocului este liniară); când stocul scade până la un nivel P , numit *nivel reaprovizionare*, atunci se lansează o comandă q care va intra în stoc după *timpul de avans* L . Comenzile intră în stoc la intervale de timp de reaprovizionare de lungime T . Nivelul de reaprovizionare ar trebui să poată satisface cererea pe perioada timpului de avans L . Dar uneori acceptăm ca stocul de rezervă P să poată satisface cererea pe o perioadă de timp de lungime t' , $t' < T$. În acest caz există o perioadă $t'' = T - t'$ când are loc *lipsa de stoc*. Un astfel de model se numește *cu lipsă de stoc* și în el intervine costul d . Conform Fig. 7.5 *cererea ne satisfăcută se păstrează* în sensul că atunci când q intră în stoc se consumă o parte din comandă pentru a satisface cererea care nu a fost satisfăcută pe perioada t'' .

În acest caz se admite că nivelul stocului ia și valori negative, iar nivelul la care se ridică stocul va fi mai mic decât q . Dacă cererea nesatisfăcută *nu se păstrează*, nu se admite stoc negativ și la intrarea lui q în stoc nivelul maxim al stocului devine $S = q$. Pentru un astfel de model *cererea nestisfăcută se pierde*.

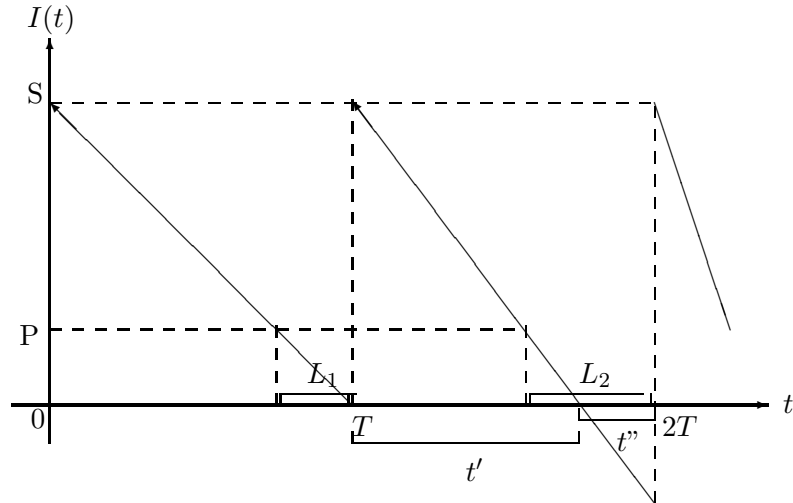


Fig. 7.5. Mecanismul reaprovizionării

În diverse modele de stocare se pot da costurile h, s și/sau d , se dă rata cererii r și timpul de avans L și se cer q, P optime. O mulțime de elemente ce definesc un mecanism de aprovizionare se spune că determină o *politică de*

reaprovizionare. Când r, L nu sunt aleatoare modelul se numește *determinist*; în cazul când cel puțin una din aceste variabile este aleatoare modelul este *stochastic*. Dacă timpul nu intervine în mod explicit în model, spunem că avem de-a face cu un model *static*, altfel, modelul este *dinamic*.

În concluzie, modelele de teoria stocurilor își propun să determine o politică de reaprovizionare optimă.

7.4.2 Modele simple deterministe de stoccare a unui produs

Vom prezenta două din cele mai simple modele statice deterministe pentru stocarea unui produs. Aceste modele vor constitui scheletul pe baza cărora se vor construi modelele de simulare.

• **Modelul clasic al lotului economic.** Acest model, cunoscut și sub numele de **modelul lui Wilson**, are la bază următoarele ipoteze:

- rata cererii r este constantă, cunoscută și cererea este continuă;
- ciclul de reaprovizionare T este constant și ne cunoscut;
- comanda q este constantă și necunoscută; intrările cantităților q în stoc au loc instantaneu la intervale de timp T ;
- timpul de avans L este zero, adică neglijabil; (comenzile q intră în stoc imediat după ce se lansează comanda);
- nivelul de reaprovizionare P este zero (în concordanță cu ipoteza anterioară);
- costurile de stocare h și de lansare s sunt constante date;
- nu se admite lipsă de stoc (adică $d = 0$).

Se observă că între necunoscutele q, T are loc relația

$$T = \frac{q}{r}. \quad (7.29)$$

Variația stocului în cazul acestui model este prezentată în Fig.7.6.

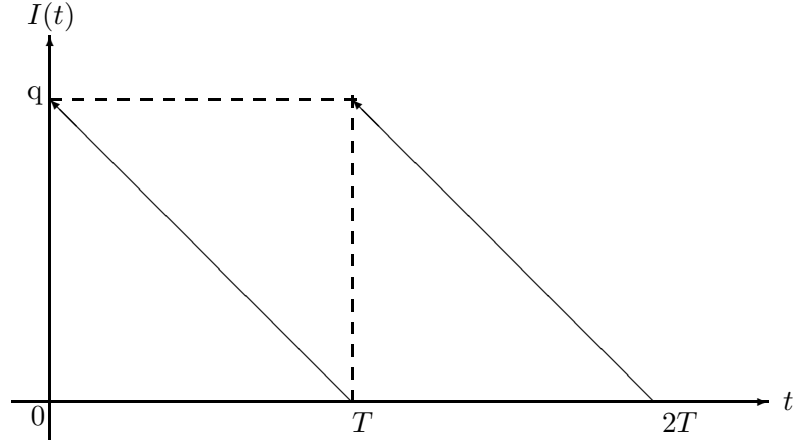


Fig. 7.6. Variația stocului pentru modelul clasic al lotului economic

Costul total de întreținere a stocului pe perioada T este

$$C_T = C_{h,T} + s \quad (7.30)$$

unde $C_{h,T}$ este costul de stocare și s este costul de lansare. Avem

$$C_{h,T} = h \int_0^T I(t) dt = \frac{hq}{2} T = \frac{hq^2}{2r}. \quad (7.30')$$

Funcția obiectiv a modelului constă în a minimiza costul asociat menținerii stocului. Dacă am considera acest cost așa cum este el definit de (7.30), atunci s-ar deduce că $T = 0$ ceea ce nu are sens. De aceea luăm ca obiectiv **minimizarea costului $C(q)$ pe unitatea de timp**, adică, ținând seama și de (7.29) trebuie să impunem condiția

$$C(q) = \frac{C_T}{T} = \frac{hq^2}{2r} \frac{1}{T} + \frac{s}{T} = \frac{hq}{2} + \frac{sr}{q} = \min. \quad (7.31)$$

Impunând condiția de minimum lui $C(q)$ obținem politica optimă de reprovizionare (\hat{q}_0, \hat{T}_0) dată de

$$\hat{q}_0 = \sqrt{\frac{2rs}{h}}, \quad \hat{T}_0 = \frac{\hat{q}_0}{r} = \sqrt{\frac{2s}{rh}} \quad (7.32)$$

iar costul optim (i.e. minim) este

$$\hat{C}_0 = \sqrt{2rsh}. \quad (7.32')$$

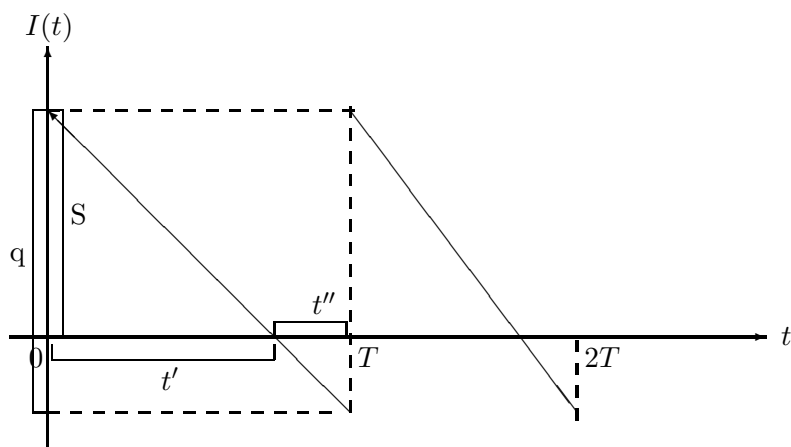
$$C_{h,t} = h \frac{q}{2} t. \quad (7.31')$$
$$C(S, T) = \frac{1}{T} [C_{h,t'} + C_{d,t''} + s] \quad (7.33)$$
$$C(S, T) = \frac{1}{T}(s + h\frac{S}{2}t' + d\frac{q-S}{2}t''), \quad q = rT. \quad (7.33')$$


Fig. 7.7. Variația stocului pentru modelul lipsei de stoc

$$t' = \frac{S}{r}, \quad t'' = T - \frac{S}{r} = \frac{rT - S}{r}$$

de unde se obține în final

$$C(S, T) = \frac{s}{T} + \frac{hS^2}{2rT} + \frac{d(rT - S)^2}{2rT}. \quad (7.34)$$

Impunând condiții de minim în (7.34), adică

$$\frac{\partial C}{\partial S} = 0, \quad \frac{\partial C}{\partial T} = 0,$$

deducem în final valorile \hat{S}_1, \hat{T}_1 care realizează costul minim \hat{C}_1 ,

$$\begin{aligned} \hat{T}_1 &= \sqrt{\frac{2s}{rh}} \sqrt{\frac{1}{\rho}}, \quad \rho = \frac{d}{h+d}, \\ \hat{S}_1 &= \sqrt{\frac{2rs}{h}} \sqrt{\rho}, \quad \hat{q}_1 = \hat{T}_1 r = \sqrt{\frac{2rs}{h}} \sqrt{\frac{1}{\rho}}. \end{aligned} \quad (7.35)$$

Se observă că $0 < \rho < 1$, care conduce la

$$\hat{C}_1 = \sqrt{\rho} \hat{C}_0 < \hat{C}_0,$$

de unde rezultă la prima vedere că modelul clasic al lipsei de stoc este mai bun decât modelul clasic al lotului economic. Coeficientul ρ satisface relația $\rho = \frac{\hat{S}_1}{\hat{q}_1}$, de unde rezultă că $(1 - \rho)\%$ poate fi interpretat ca *indice de lipsă*. Deci dacă s-ar da indicele de lipsă $\alpha = 1 - \rho$ atunci ar rezulta că $d = \frac{1-\alpha}{\alpha}h$ adică ar rezulta că există o dependență strictă între costurile h și d , ceea ce nu este întocmai adevărat în practică. Acest fapt constituie deci o *critică* a modelului clasic al lotului economic.

7.4.3 Modele de simulare particulare

Vom prezenta aici două modele de simulare simple pentru un produs, din care vor rezulta planuri de re aprovizionare și costuri optime. Modelele vor fi construite pe scheletul modelului clasic al lipsei de stoc.

• **Primul model.** În acest model vom folosi următoarele variabile și parametri

H = costul de stochare;

D = costul lipsei de stoc;

S = costul de lansare;

CH = costul total de stocare pe perioada simulată;

CD = costul total al lipsei de stoc pe perioada simulată;

CS = costul total de lansare pe perioada simulată;

TC = costul total ($TS = CH + CD + CS$);

T = momentul de timp (curent) când intră o comandă în stoc;

R = cerera pe unitatea de timp (rata cererii);

VI = nivelul curent al stocului;

Q = comanda optimă;

P = nivelul de reprovizionare;

L = timpul de avans;

$CLOCK$ = ceasul simulării;

BI = nivelul inițial al stocului;

TT = perioada de timp pe care se face simularea.

Parametrii de intrare sunt: H, D, S, P, BI, TT ; variabilele R, L sunt variabile aleatoare de intrare (având repartiții date) iar parametri acestor repartiții sunt de asemenea parametri de intrare; toate celelalte variabile listate anterior sunt variabile de ieșire.

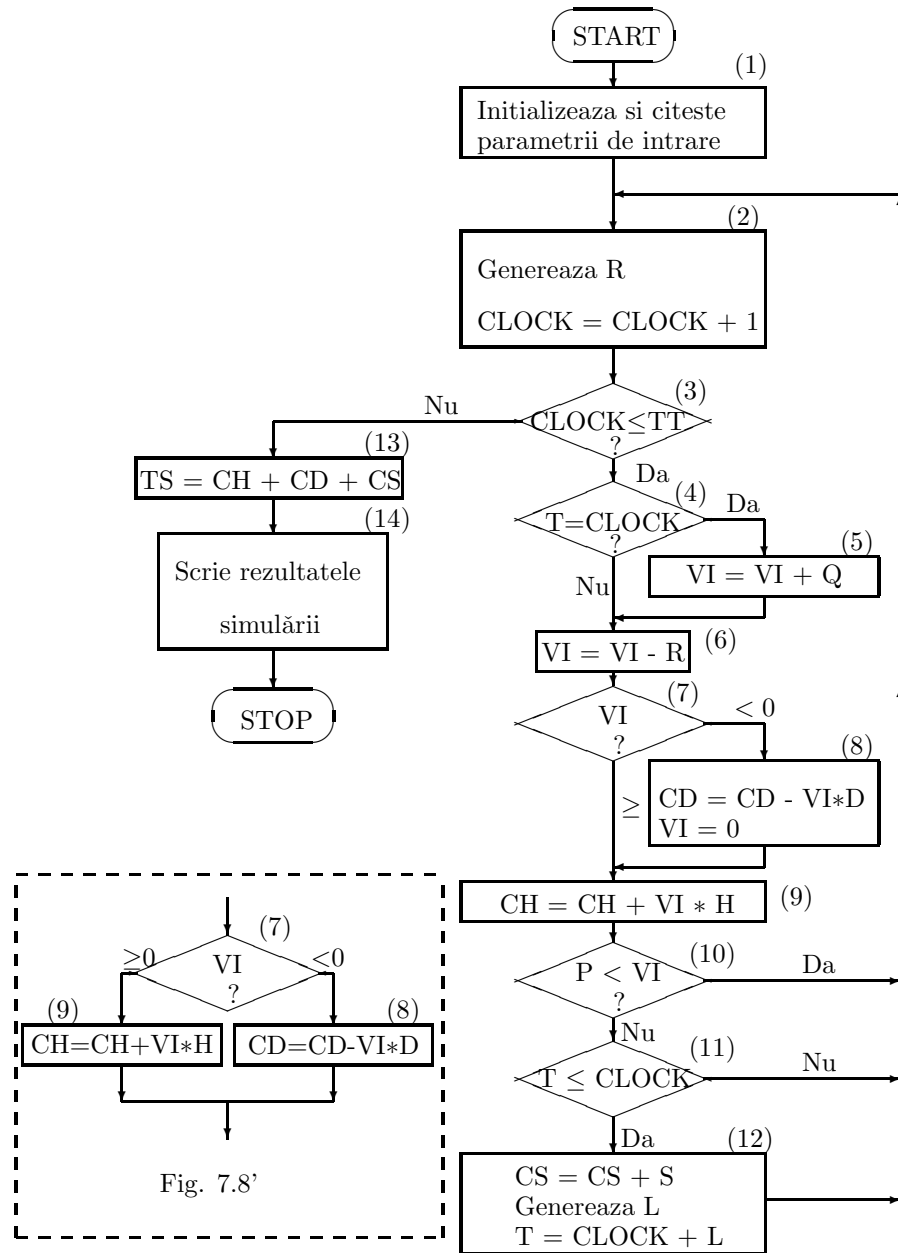


Fig. 7.8. Schema logica pentru primul model

[illegible]

Condițiile inițiale (inclusiv valorile inițiale ale variabilelor) sunt

$$TC = CS = CD = CH = 0, \quad VI = BI, \quad T = CLOCK = 0. \quad (7.36)$$

Mărimea comenzii Q se determină pe parcursul simulării cu formula

$$Q = \sqrt{\frac{2RS}{H}} \sqrt{\frac{H+D}{D}}, \quad R \rightsquigarrow N(m, \sigma), \quad m \gg 3\sigma \quad (7.37)$$

unde R se simulează în prealabil; comanda Q este calculată în ipotezele modelului clasic al lotului economic.

Nivelul de reprovizionare, în ipoteza $R \rightsquigarrow N(m, \sigma)$ se calculează la începutul execuției simulării folosind proprietatea $Prob(R_{(L)} > P) = \alpha$, unde α este un risc mic dat ($\alpha \approx 0.05$), iar $R_{(L)} = R_1 + \dots + R_L$ este cererea pe timpul aleator de avans L , (L -întreg) cu media $l = E[L]$. Deoarece $R_{(L)} \rightsquigarrow N(lm, \sqrt{l}\sigma)$ rezultă că

$$Prob(R_{(L)} > P) = Prob\left(\frac{R_{(L)} - lm}{\sqrt{l}\sigma} > \frac{P - lm}{\sqrt{l}\sigma}\right) = \alpha,$$

și deoarece

$$Z = \frac{R_{(L)} - lm}{\sqrt{l}\sigma} \rightsquigarrow N(0, 1)$$

rezultă

$$\frac{P - lm}{\sqrt{l}\sigma} = z_\alpha, \quad \text{unde} \quad \int_{-\infty}^{z_\alpha} e^{-\frac{t^2}{2}} dt = 1 - \alpha.$$

Din ultima relație rezultă nivelul de reprovizionare de forma

$$P = lm + z_\alpha \sqrt{l}\sigma. \quad (7.38)$$

Schema logică a modelului de simulare este dată de Fig. 7.8 și ea se autoexplică. Modelul de simulare este construit în ipoteza că *cererea nesatisfăcută se pierde*, fapt ilustrat de blocurile (7) și (8) din schemă. Printr-o modificare minoră se poate introduce în model ipoteza că *cererea nesatisfăcută se păstrează*. Acest fapt este ilustrat prin blocurile (7),(8),(9) din figura încadrată 7.8' care ar trebui să înlocuiască blocurile (7),(8) din Fig. 7.8. Introducând în Fig. 7.8 instrucțiuni corespunzătoare de afișare (scriere), se poate obține *planul de reprovizionare* pe perioada simulată TT , constând din momentele intrării în stoc T și comenzile optime Q .

• **Al doilea model.** Acest model este asemănător primului model, dar el folosește unele ipoteze mai generale ce vor fi precizate în continuare.

Astfel, sunt folosite multe din variabilele și parametri primului model, dar sunt incluse și următoarele:

AR = media mobilă a cererii calculată pe M unități de timp precedente;

RS = abaterea medie pătratică a cererii ca medie mobilă pe M perioade de timp precedente;

AL = media mobilă a timpului de avans calculat din datele pe N perioade precedente;

$K = z_\alpha = \alpha$ – cuantila repartiției normale $N(0, 1)$ (folosită și în modelul precedent).

Se presupune deci că rata cererii $R \sim N(\mu(t), \sigma(t))$, are parametri variabili în timp iar L are de asemenea media $E[L] = l(t)$ variabilă în timp. Se presupune că aceste variabile aleatoare au parametri constanți pe perioade mici de timp de lungimi M respectiv N , parametri ce sunt estimați ca medii mobile de forma

$$AR = \frac{\sum_{i=1}^M R_i}{M} = \frac{SUMR}{M} \quad (7.39)$$

$$AL = \frac{\sum_{j=1}^N L_j}{N} = \frac{SUML}{N} \quad (7.40)$$

$$SR = \sqrt{\frac{\sum_{i=1}^M R_i^2}{M} - \left(\frac{\sum_{i=1}^M R_i}{M}\right)^2} = \sqrt{\frac{SSUMR}{M} - \left(\frac{SUMR}{M}\right)^2}. \quad (7.41)$$

În ipoteza parametrilor constanți putem deci aplica formulele de calcul pentru comanda Q și nivelul de reprovizionare L , adică

$$Q = \sqrt{\frac{2 \cdot AR \cdot S}{H}} \sqrt{\frac{H + D}{D}} \quad (7.42)$$

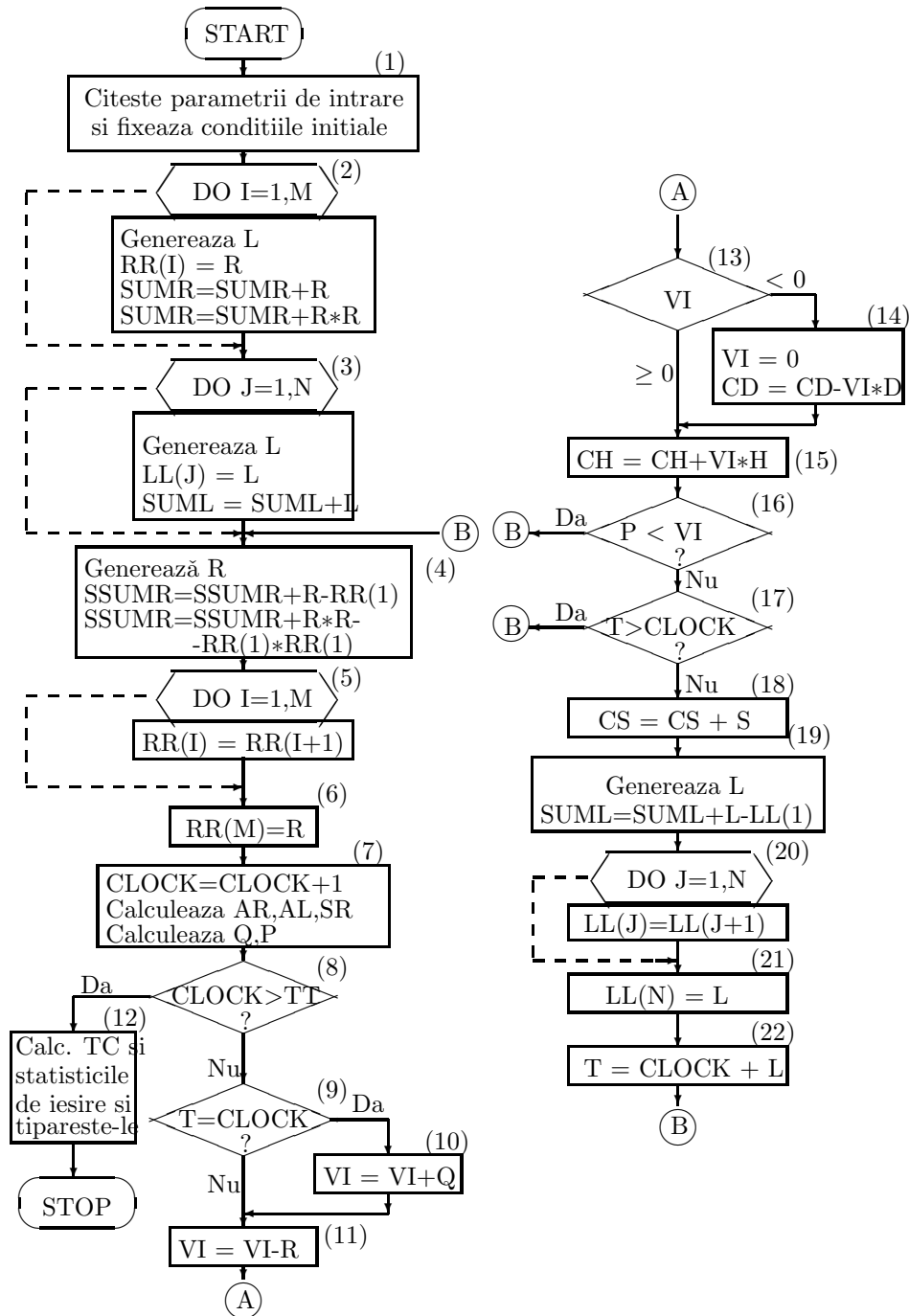


Fig. 7.9. Schema logica pentru al doilea model de stocare

$$P = AL.AR + K\sqrt{AL.SR}. \quad (7.43)$$

Condițiile inițiale sunt (7.36) precum și cele ce rezultă din considerarea noilor variabile adică

$$SUMR = SSUMR = SUML = 0. \quad (7.44)$$

Acest ultim model simulează în mod mai realist decât primul, procesul de reaprovizionare al stocului.

E 7.1. Precizați câteva caracteristici ale modelului de așteptare

$$Exp(\lambda)/Exp(\mu)/1 : (M, FIFO), \quad 0 < M < \infty$$

Indicație. Conform formulelor (7.15'), (7.15'') din § 7.2.3 avem

$$\lambda_n = \lambda, \quad n \geq 0, \quad \mu_n = \mu, \quad 1 \leq n \leq M + 1.$$

$$p_n = \frac{\rho(1-\rho)}{1-\rho^{M+1}} = \frac{\rho(1-\rho)}{K}, \quad K = 1 - \rho^{M+1}.$$

De aici se deduce

$$E[N(t)] = \sum_{n=0}^{\infty} \frac{n\rho^n(1-\rho)}{1-\rho^{N+1}} = \frac{\rho(1+(M+1)(\rho-\rho^M)-\rho^{M+1})}{(1+\rho)(1+\rho^{M+1})}$$

$$E[WL] = \sum_{n=1}^M \frac{(n-1)\rho^n(1-\rho)}{1-\rho^{M+1}} = \frac{\rho^2[(M-1)\rho^m+1-M\rho^{M-1}]}{(1-\rho^{M+1})(1+\rho)}.$$

$$E[WT] = \frac{E[WL]}{\mu}, \quad E[NID] = p_0, \quad E[TID] = \frac{1-\rho}{\lambda(1-\rho^{M+1})}.$$

E 7.2. Fie modelul de așteptare

$$Exp(\lambda)/Exp(\mu)/N : (M, FIFO)$$

adică un model cu N stații paralele identice și cu coada finită M , $M > N$. Să se determine repartiția numărului de clienți în sistem și câteva caracteristici ale modelului.

Indicație. Asemănător exercițiului precedent avem

$$\lambda_n = \lambda, n \geq 0, \quad \mu_n = \begin{cases} n!\mu, & \text{daca } 1 \leq n \leq M \\ N!\mu N^{n-N}, & \text{daca } N < n \leq N+M \end{cases}.$$

Mai departe se continuă calculele ca în exercițiul precedent.

E 7.3. Modificați schema logică din modelul din Secțiunea 7.2 astfel încât clienții posedă două priorități; prioritatea 1 este mai puternică decât prioritatea 2.

Indicație. În blocul (2) se consideră repartiția lui AT ca o amestecare discretă de forma

$$f_{AT}(x) = p_1 f_1(x) + p_2 f_2(x), p_1, p_2 > 0, p_1 + p_2 = 1, f_i - \text{densitati}, i = 1, 2.$$

La generarea lui AT clientul sosit se depune în coadă Q_1 sau Q_2 corespunzătoare priorității. În blocul (4) se va simula timpul de servire conform priorității celei mai mari (adică 1), dacă $Q_1 \neq \emptyset$ sau priorității mai mici dacă $Q_1 = \emptyset$. Se pot calcula timpii de așteptare în funcție de priorități.

E 7.4. La fel ca în exercițiul precedent, modificați schema logică din Fig. 7.3 (a modelului 7.3) presupunând că sosirile provin dintr-o populație cu două priorități.

Indicație. Se vor folosi ideile din exercițiul precedent: timpul de inter-sosire are o repartiție dată de o amestecare discretă de două repartiții.

E 7.5. Ce modificări ar trebui făcute în modelul **7.3** dacă duratele de serviciu ale stațiilor au repartiții diferite.

Indicație. Se va folosi un vector $ST(I)$, $1 \leq I \leq N$ iar în blocurile unde se generează ST se va înlocui această instrucțiune cu *GENEREAZA ST(I)*.

E 7.6. Ce precauții trebuie să se ia în modelele **7.3** dacă cererea R este discretă $Poisson(\lambda)$ și L este $Binom(n, p)$?

Indicație. Toate variabilele din model vor fi discrete, inclusiv *CLOCK*. Nivelul de reprovizionare se va calcula ținând seama că $R_{(l)} \rightsquigarrow Poisson(l\lambda)$.

E 7.7. Să se determine nivelul de reprovizionare P când rata cererii r are repartiția $Exp(\lambda)$.

Indicație. Se folosește condiția $Prob(R_{(L)} > P) = \alpha$, $\alpha - risc$. Deci P este soluția ecuației

$$1 - \alpha = \frac{\lambda^l}{\Gamma(l)} \int_0^P x^{l-1} e^{-\lambda x} dx$$

deoarece $R_{(L)} = r_1 + \dots + r_l \rightsquigarrow Erlang(\lambda, l)$, $l = E[L]$.

Bibliography

- [1] CHISMAN,J. (1989). *Introduction to Simulation and Modeling using GPSS/PC*, Minuteman Software. (Conține și discheta cu versiunea studentască a GPSS/PC).
- [2] ERMAKOV,E.S. (1974). *Metoda Monte Carlo și probleme inrudite*. Editura Tehnică, București. (Traducere din Limba Rusă).
- [3] FISHMAN, G. S. (1978). *Principles of Discrete Event Simulation*. Wiley, New York.
- [4] GORUNESCU, F., PRODAN, A. (2001). *Modelare stohastică și simulare*. Editura Albastră, Cluj-Napoca.
- [5] MORGAN,BYRON T. (1984). *Elements of Simulation*. Chapman & Hall, New York, London.
- [6] ROBERT CHRISTIAN P., CASELLA, GEORGE. (1999). *Monte Carlo Statistical Methods*. Springer Verlag, New York, Berlin.
- [7] ROSS, SHELDON M. (1997) *Simulation. Second Edition*. Academic Press, San Diego, New York, London.
- [8] SPRIET, JAN, VANSTEENKISTE GHISLAIN, C. (1982). *Computer ided Modeling and Simulation*. Academic Press, New York.
- [9] VĂDUVA, I. (1972). "Metoda Monte Carlo". *Culegere tematică, Matematică-Mecanică, Vol. 1, Nr. 1, CIDI, p.131-188*.
- [10] VĂDUVA, I. (1977). *Modele de Simulare cu Calculatorul*. Editura Tehnică, București.
- [11] VĂDUVA,I., ODĂGESCU,I., STOICA,M. (1983).*Simularea Proceselor Economice*. Editura Tehnică, București.

- [12] ZEIGLER, B. P. (1976). *Theory of Modeling and Simulation. (First Edition)*. John Wiley and Sons, New York.
- [13] ZEIGLER, B. P., PRAEHOFER, H. (2000). *Theory of Modeling and Simulation, (Second Edition)*. Academic Press, New York.
- [14] *** (1977). *Limbajul SIMUB. Manual de utilizare*. Centrul de Calcul Al Universității din București. (litografiat).